

Masterarbeit

Christopher Rotzlawski

Entwicklung eines umfeldsensorbasierten
Navigationssystems für die Positionserkennung
autonomer Fahrzeuge in Indoor-Bereichen

Christopher Rotzlawski

Entwicklung eines umfeldsensorbasierten
Navigationssystems für die Positionserkennung
autonomer Fahrzeuge in Indoor-Bereichen

Masterarbeit eingereicht im Rahmen der Masterprüfung
im gemeinsamen Studiengang Mikroelektronische Systeme
am Fachbereich Technik
der Fachhochschule Westküste
und
am Department Informations- und Elektrotechnik
der Fakultät Technik und Informatik
der Hochschule für Angewandte Wissenschaften Hamburg

Betreuender Prüfer : Prof. Dr. rer. nat. Rasmus Rettig
Zweitgutachter : Prof. Dr.-Ing. Stephan Hussmann

Abgegeben am 19. März 2020

Christopher Rotzlawski

Thema der Masterarbeit

Entwicklung eines umfeldsensorbasierten Navigationssystems für die Positionserkennung autonomer Fahrzeuge in Indoor-Bereichen

Stichworte

Positionsbestimmung, Orientierungsbestimmung, Umfelderkennung, Raytracing-Simulation, Autonome Fahren, Robot Operating System (ROS), Linux, Ultraschall

Kurzzusammenfassung

Diese Arbeit befasst sich mit der Entwicklung eines Systems zur Bestimmung von Position und Orientierung autonomer Fahrzeuge in Indoor-Bereichen. Es wird ein Verfahren entwickelt, mit dem eine Umgebungserkennung ermöglicht wird und so eine zeitweise, alternative Methode zur Satellitennavigation darstellt.

Christopher Rotzlawski

Title of the master thesis

Development of a surrounding sensorbased navigation system for the position detection of autonomous vehicles in indoor areas

Keywords

Position detection, Orientation detection, Surround sensing, Raytracing simulation, Autonomous driving, Robot Operating System (ROS), Linux, Ultrasound

Abstract

This thesis deals with the development of a system for the determination of position and orientation of autonomous vehicles in indoor areas. A method is being developed to enable environment detection, providing a temporary, alternative method of satellite navigation.

Inhaltsverzeichnis

1. Einführung und Motivation	7
2. Stand der Technik	10
2.1. Ultraschall	10
2.1.1. Grundlagen	10
2.1.2. Ultraschallsensoren	14
2.1.2.1. Abstandsmessung	15
2.1.2.2. Messbereich	16
2.1.2.3. Einflüsse auf Messergebnisse und Reichweite	16
2.1.3. Positionsbestimmung und Mapping	18
2.1.3.1. Positionsbestimmung	19
2.1.3.2. Mapping	21
2.1.3.3. Raumakustik-Simulator für Ultraschall	24
2.2. Vorarbeiten im Urban Mobility Lab	26
2.2.1. Entwicklungssystem für intelligente Ultraschallsensoren	26
2.2.2. Simulation für das Ultraschall-Raytracing	28
2.2.3. Aktueller Stand des Versuchsfahrzeugs	30
3. Analyse der Anforderungen	32
3.1. Anwendungsfall zur Positionsbestimmung	32
3.2. Anforderungsanalyse	33
4. Systementwurf	36
4.1. Systemarchitektur des umfeldsensorbasierten Navigationssystems	36
4.2. Ultraschallbasiertes Positionierungssystem	37
4.2.1. Architektur des ultraschallbasierten Positionierungssystems	37
4.2.2. Methode zur ultraschallbasierten Positionsbestimmung	39
4.3. Optimierung des Ultraschallsensors	40
5. Realisierung	43
5.1. Ultraschallsensor	43
5.1.1. Komponentenauswahl des Ultraschallmoduls	43
5.1.2. Vertiefung der Ultraschallsensorarchitektur	44

5.1.3. Synchronisation und Spannungsversorgung der Ultraschallsensoren	46
5.1.4. Hardwaredesign	47
5.1.5. Software der Ultraschallsensoren	49
5.2. Ultraschallbasiertes Positionierungssystem	52
5.2.1. Komponentenauswahl der eingebetteten zentralen Recheneinheit	52
5.2.2. Vertiefung der Architektur	55
5.2.3. Ultraschallsensoranordnung	56
5.2.4. Software des ultraschallbasierten Positionierungssystems	58
5.2.5. Algorithmen zur ultraschallbasierten Positionsbestimmung	63
5.3. Umfeldsensorbasiertes Navigationssystem	66
6. Test und Bewertung	68
6.1. Ultraschallsensor	68
6.2. Ultraschallbasiertes Positionierungssystem	71
6.3. Anwendungsfall	76
6.4. Bewertung des umfeldsensorbasierten Navigationssystems	83
7. Zusammenfassung	87
8. Ausblick	89
8.1. Optimierung des ultraschallbasierten Positionierungssystems	89
8.2. Optimierung des umfeldsensorbasierten Navigationssystems	90
8.3. Integration in das Versuchsfahrzeug	90
Abkürzungsverzeichnis	92
Abbildungsverzeichnis	93
Tabellenverzeichnis	96
Literaturverzeichnis	97
A. Hardwaredesign	102
A.1. Pinbelegung der Synchronisationsleitung	102
A.2. Platinenlayout	103
A.3. Schaltplan der Platine	105
A.4. Technische Zeichnungen des Ultraschallsensorgehäuses	107
B. Programmabläufe	109
B.1. Programmabläufe des Ultraschallsensors	109
B.2. Programmabläufe des ultraschallbasierten Positionierungssystems	112
C. Quellcode des Ultraschallsensors	117

D. Quellcode des ultraschallbasierten Positionierungssystems	132
D.1. Systemschnittstelle	132
D.2. Ultraschallsensorschnittstelle	134
D.3. Ultraschallmerkmalsextraktion	147
D.4. 3D-Raytracing-Simulation	152
D.5. Positionsbestimmung	162
E. Quellcode des umfeldsensorbasierten Navigationssystems	167

1. Einführung und Motivation

Unter automatisiertem Fahren bezeichnet man Fahrerassistenzsysteme, mithilfe derer der Fahrzeugführer teilweise entlastet wird, wohingegen beim autonomen Fahren kein Fahrzeugführer mehr erforderlich sein soll. Hierbei sind teilautomatisierte Systeme schon länger als Fahrzeugausstattung verfügbar. Hochautomatisierte Systeme, die ohne menschliche Hilfe Teilbereiche des Fahrens abdecken, sind ebenfalls als Fahrzeugausstattung wählbar beziehungsweise stehen kurz vor der Serienreife. Des Weiteren werden weltweit vollautomatisierte und autonome Fahrzeuge, welche kein menschliches Eingreifen mehr erfordern sollen, auf unterschiedlichen Teststrecken erprobt (vgl. Ethik-Kommission, 2017, S. 6).

Dabei unterteilt man den Automatisierungsgrad in fünf Stufen (siehe Abbildung 1.1). Diese starten mit Stufe 1 beim assistierten Fahren. Hier übernimmt das Fahrzeug zum Beispiel die Längs- oder Querführung. Ab Stufe 2 wird von teilautomatisiertem Fahren gesprochen, bei dem die Längs- und Querführung vom Fahrzeug übernommen wird. Hierbei muss der Fahrer jederzeit in der Lage sein, das Fahrzeug kurzfristig zu übernehmen. Bei Stufe 3, dem hochautomatisierten Fahren, erkennt das Fahrzeug eigenständig die Systemgrenzen. Die Längs- und Querführung muss in diesem Fall nicht dauerhaft überwacht werden. Der Fahrer muss allerdings mit einer gewissen Zeitreserve in der Lage sein, das Fahrzeug nach Aufforderung zu übernehmen. Stufe 4 bedeutet vollautomatisiertes Fahren in spezifischen Anwendungsfällen, die vom Straßentyp, der Geschwindigkeit und den Umgebungsbedingungen abhängig sind. Hier wird die komplette Fahraufgabe an das Fahrzeug übergeben. Die letzte Stufe ist das fahrerlose, autonome Fahren. Dies bedeutet, dass das Fahrzeug alle Anwendungsfälle vollständig allein durchführen kann (vgl. VDA, 2015, S. 14).

Da sich ab der dritten Stufe die Verantwortung mehr Richtung Fahrzeug bewegt, ist es nötig, dass Fahrzeuge selbstständig navigieren können. Hierzu ist eine eigenständige Positionsbestimmung erforderlich. Dies geschieht insbesondere mithilfe von satellitengestützter Navigation (GNSS), wie zum Beispiel GPS oder GLONASS (vgl. Niehues, 2014, S. 1). Um in diesem Bereich robuste Gesamtsysteme mit einer hohen Einsatzbereitschaft zu realisieren, kommt es auf eine hohe Güte der Positionsbestimmung an. Eine bessere Güte resultiert dabei in einer verbesserten Performanz des Gesamtsystems (vgl. Niehues, 2014, S. 2). Dies stellt allerdings Fahrzeuge ab der dritten Automatisierungsstufe vor das Problem, dass eine zuverlässige Positionsbestimmung mithilfe von satellitengestützter Navigation von mehreren Faktoren deutlich beeinflusst werden kann, wie etwa der Beschaffenheit der Umgebung und des Wetters. So kann es dazu kommen, dass unterhalb von Baumkronen in

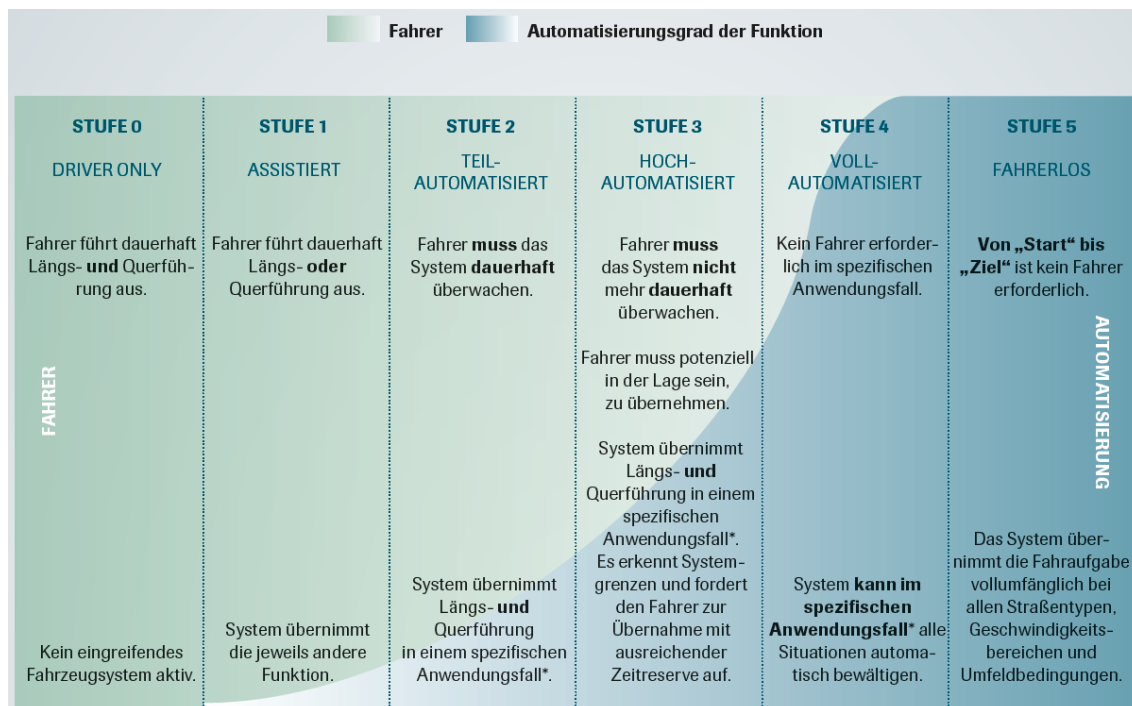


Abbildung 1.1.: Stufen des automatisierten und autonomen Fahrens (VDA, 2015, S. 15)

Allein keine Verbindung zu Navigationssatelliten besteht (vgl. Dudek und Jenkin, 2016, S. 746). In *Urban Canyons*, also in Häuserschluchten, kann es zur Verfälschung des Satellitensignals kommen, da hier oft die Signale der Navigationssatelliten nicht direkt empfangen, sondern über Hauswände zum Empfänger reflektiert werden. Hierbei handelt es sich, wie in Abbildung 1.2 zu sehen, um den sogenannten *Multipath*-Fehler (vgl. NOAA, 2019). Wohingegen bei ungünstiger Beschaffenheit des Wetters, wie zum Beispiel starkem Regen oder Schneefall, die Verbindung zu den Navigationssatelliten auch bei optimaler Beschaffenheit der Umgebung abbrechen kann (vgl. Dudek und Jenkin, 2016, S. 746). Ein erster Ansatz, um die GNSS-basierte Positionsbestimmung kurzzeitig zu verbessern, ist die Kombination mit einem inertialen Navigationssystem (INS). Hierbei wird mithilfe von Inertialsensorik eine weitere zur GNSS-basierten Positionsbestimmung unabhängige Position bestimmt. Anschließend wird mit einem Kalman-Filter aus der GNSS-Position und der INS-Position eine verbesserte Fahrzeugposition ermittelt (vgl. Tanil u. a., 2019, S. 2).

Da bei einem nicht verfügbaren GNSS beziehungsweise einer schlechten Güte der GNSS-Positionsbestimmung ein INS nur kurzzeitig für eine Verbesserung der Positionsbestimmung sorgt, ist ein Ziel des *Urban Mobility Labs* die Entwicklung alternativer Methoden zur Positionsbestimmung von autonomen Fahrzeugen. Hierzu werden Sensorsysteme verwendet und entwickelt, mit deren Hilfe eine Erkennung von Umgebung und Position des Fahrzeugs ohne satellitengestützte Navigation realisiert werden soll. Zum Einsatz kommen hierbei unter

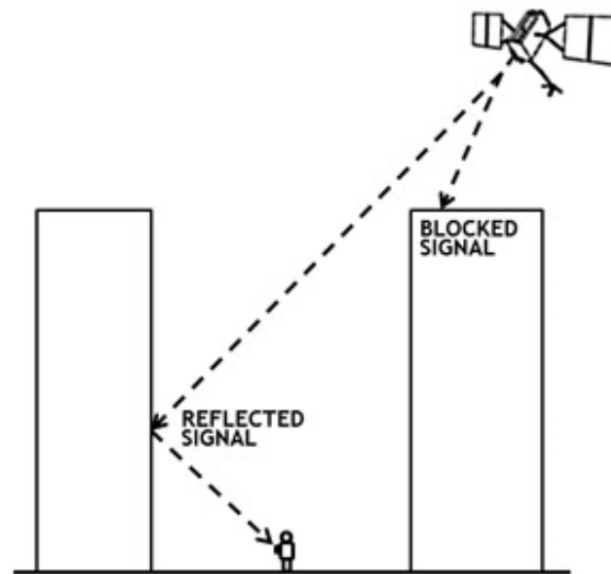


Abbildung 1.2.: Verfälschung des Satellitensignals durch den *Multipath*-Fehler (NOAA, 2019)

anderem Umfoldsensoren, wie zum Beispiel Ultraschall und LiDAR. Des Weiteren soll eine Positionsbestimmung mithilfe von kamerabasierten Systemen umgesetzt werden, die auf Stereo- und sphärische Kameras zurückgreifen.

Da Signale von Navigationssatelliten in Indoor-Bereichen nicht verfügbar beziehungsweise stark verfälscht sind und die Erkennung beziehungsweise Korrektur der Position kaum möglich ist, ist das Ziel dieser Arbeit die Entwicklung eines umfoldsensorbasierten Navigationssystems. Mit diesem soll eine Bestimmung von Position und Orientierung eines autonomen Fahrzeugs in Indoor-Bereichen, wie zum Beispiel Tiefgaragen, ermöglicht werden. Des Weiteren sollen verdeckte Objekte, die sich außerhalb des sichtbaren Bereichs befinden, erkannt werden. Dies soll mithilfe von Ultraschall als Umfoldsensorik realisiert werden, da dies mit der Auswertung von Mehrfachreflexionen möglich ist. Bei der Verwendung weiterer Umfoldsensorik neben Ultraschall sollen die Position und die Orientierung mithilfe von Sensordatenfusion aus den einzelnen Teilsystemen bestimmt werden. Hierbei soll das umfoldsensorbasierte Navigationssystem modular und skalierbar sein. Des Weiteren ist eine Integration des Systems in das Versuchsfahrzeug des *Urban Mobility Lab* geplant.

2. Stand der Technik

Das folgende Kapitel beschreibt gängige Grundbegriffen, die im Zusammenhang mit dieser Arbeit stehen. Hierbei wird zunächst auf das Thema Ultraschall eingegangen. Des Weiteren werden relevante Vorarbeiten des *Urban Mobility Lab* beschrieben.

2.1. Ultraschall

Im folgenden Abschnitt werden zunächst Grundlagen, die im Zusammenhang mit dem Thema Ultraschall stehen, beschrieben. Anschließend wird auf Ultraschallsensoren, die Abstandsmessung mit Ultraschallsensoren und deren Eigenschaften näher eingegangen. Abschließend wird der aktuelle Stand der Technik im Bezug auf Positionsbestimmung und Mapping mithilfe von Ultraschall beschrieben.

2.1.1. Grundlagen

Schallwellen sind mechanische Wellen, die sich in Gasen und anderen Medien ausbreiten. Dabei werden Schallwellen, deren Frequenz über 20 kHz liegt, als Ultraschall bezeichnet. Die Schallwellen breiten sich hierbei als longitudinale Druckwellen aus, bei dem der Druck der Schallwelle periodisch um den normalen Raumdruck schwankt (vgl. Eichler, 2014, S. 173).

Dabei ist die Schallgeschwindigkeit von der Umgebungstemperatur, dem Umgebungsdruck und der Dichte der Luft abhängig. So kann mit Formel 2.1 die Schallgeschwindigkeit in idealen Gasen berechnet werden. Hierbei ist γ das Verhältnis der spezifischen Wärmekapazität, P der Umgebungsdruck und ρ die temperaturabhängige Dichte der Luft (vgl. Albuquerque, 2013, S. 25).

$$c = \sqrt{\gamma \frac{P}{\rho}} \quad (2.1)$$

Hierbei beträgt die temperaturabhängige Dichte der Luft bei 0°C $1,2922 \frac{\text{kg}}{\text{m}^3}$ und bei 20°C $1,2041 \frac{\text{kg}}{\text{m}^3}$. Das Verhältnis der spezifischen Wärmekapazität von Luft ist dabei $\gamma = 1,402$. Der

Umgebungsdruck weist einen Wert von 101325 Pa auf. So erhält man bei einer Umgebungstemperatur von 0°C folgende Schallgeschwindigkeit (vgl. Albuquerque, 2013, S. 25):

$$c_0 = \sqrt{1,402 \frac{101325 \text{ Pa}}{1,2922 \frac{\text{kg}}{\text{m}^3}}} = 331,57 \frac{\text{m}}{\text{s}} \quad (2.2)$$

Für eine Umgebungstemperatur von 20°C hingegen berechnet sich eine Schallgeschwindigkeit von (vgl. Albuquerque, 2013, S. 25):

$$c_0 = \sqrt{1,402 \frac{101325 \text{ Pa}}{1,2041 \frac{\text{kg}}{\text{m}^3}}} = 343,48 \frac{\text{m}}{\text{s}} \quad (2.3)$$

Des Weiteren kann die Schallgeschwindigkeit als Funktion der absoluten Temperatur T_K dargestellt werden (siehe Formel 2.4). Hierbei stellt R die universelle Gaskonstante und M die Masse des Gases dar. Hierdurch ist die Schallgeschwindigkeit proportional zur Quadratwurzel der absoluten Temperatur (vgl. Albuquerque, 2013, S. 25).

$$c = \sqrt{\gamma \frac{RT_K}{M}} \quad (2.4)$$

Da die Schallgeschwindigkeit unter typischen Raumbedingungen bei Druckschwankungen näherungsweise konstant ist, kann diese als Funktion der Umgebungstemperatur beschrieben werden. Mit der folgenden Formel kann die Schallgeschwindigkeit berechnet werden, wobei die Temperatur θ in $^\circ \text{C}$ angegeben wird (vgl. Albuquerque, 2013, S. 25):

$$c_{Luft} = c_0 \sqrt{\frac{T_K}{273,15}} = 331,57 \sqrt{\frac{\theta}{273,15} + 1} \frac{\text{m}}{\text{s}} \quad (2.5)$$

Näherungsweise kann die Schallgeschwindigkeit mit der folgenden vereinfachten Formel berechnet werden (vgl. Eichler, 2014, S. 175):

$$c_{Luft} = \left(331,4 + 0,6 \frac{\theta}{^\circ \text{C}} \right) \frac{\text{m}}{\text{s}} \quad (2.6)$$

In Abbildung 2.1 ist ein Vergleich der Formeln 2.5 und 2.6 zu sehen. Hierbei ist zu erkennen, dass im Bereich von 0°C bis 30°C der Fehler, der durch die vereinfachte Formel verursacht wird, bei maximal $0,17 \frac{\text{m}}{\text{s}}$ liegt und somit vernachlässigbar klein ist.

Die Schallgeschwindigkeit wird des Weiteren von der relativen Luftfeuchtigkeit beeinflusst. Hierbei erhöht sich diese bei einer Änderung der relativen Luftfeuchtigkeit von 0% auf 100% gleichzeitig um circa $0,2 \frac{\text{m}}{\text{s}}$. Der dabei entstehende maximale Fehler beträgt bei einer Umgebungstemperatur von 20°C 0,058% und ist damit vernachlässigbar klein. Eine Kompen-

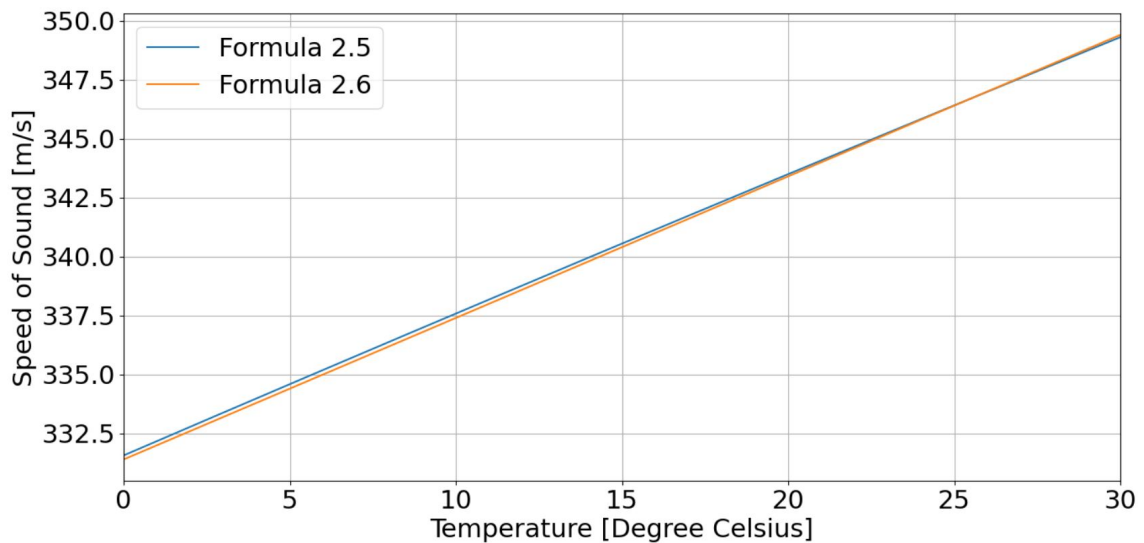


Abbildung 2.1.: Vergleich der Formeln 2.5 und 2.6 zur Berechnung der Schallgeschwindigkeit

sation der Messergebnisse ist somit in den meisten Fällen nicht erforderlich (vgl. Hering und Schönfelder, 2012, S. 277).

Ein weiterer Punkt, der die Schallwellen beeinflusst, ist die Absorption in Luft. Die Intensität I nimmt dabei mit zunehmenden Weg x ab. Hierbei hängt die Absorption von der Frequenz der Schallwellen ab, das heißt, dass mit zunehmender Frequenz die maximale Reichweite sinkt (siehe Abbildung 2.2). In die Berechnung der Intensität fließt des Weiteren ein Proportionalitätsfaktor a ein (vgl. Hering und Schönfelder, 2012, S. 110):

$$I = I_0 e^{-af^2x} \quad (2.7)$$

Die Absorption wird dabei durch innere Reibung, Wärmeleitung und molekulare Absorption verursacht. Die innere Reibung beschreibt die dynamische Viskosität. Bei Absorption durch Wärmeleitung verursachen die Schallwellen hingegen periodische Temperaturänderungen innerhalb des Mediums, wodurch den Schallwellen Energie entzogen wird. Die durch die Schallwellen angeregten Rotations- und Schwingungsfreiheitsgrade der Moleküle führen zur molekularen Absorption. Hierbei wird den Schallwellen Translationsenergie entzogen (vgl. Lerch u. a., 2009, S. 35).

Des Weiteren wird die Dämpfung der Schallwellen vom Luftdruck beeinflusst. Hierbei nimmt mit steigendem Luftdruck die Absorption ab und die maximale Reichweite der Schallwellen zu (vgl. Hering und Schönfelder, 2012, S. 111).

Ein wichtiger Parameter für ultraschallbasierte Messverfahren ist die Wellenlänge λ (siehe Formel 2.8). Diese wird hierbei mithilfe der Schallgeschwindigkeit und der Frequenz f des

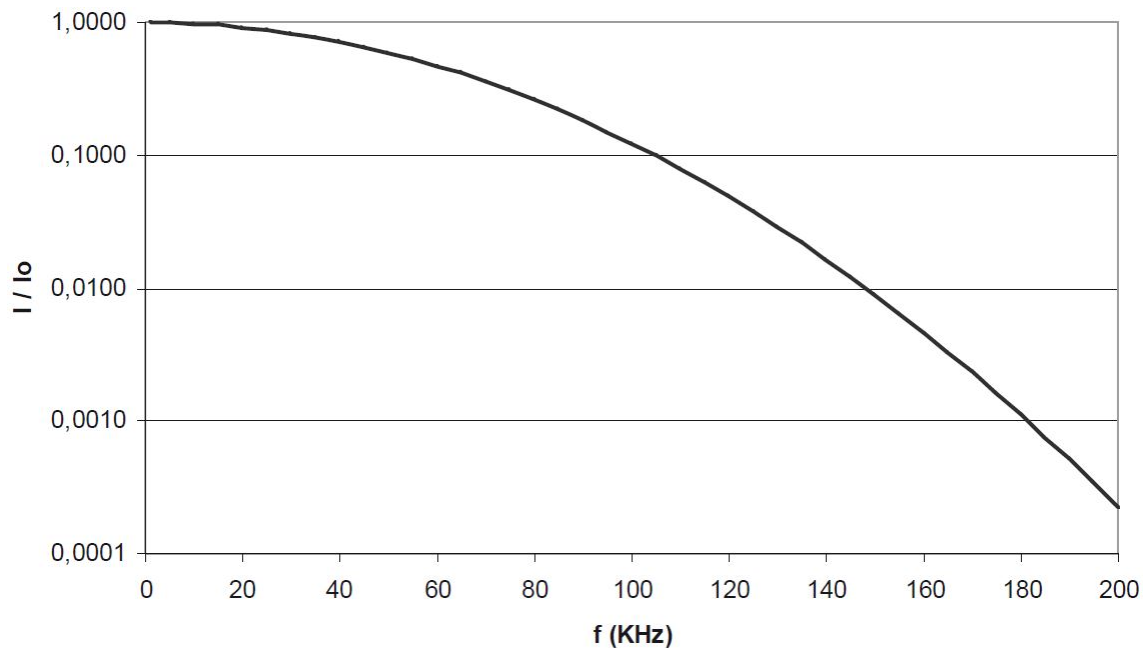


Abbildung 2.2.: Abhängigkeit der Schallintensität I von der Frequenz f (Hering und Schönfelder, 2012, S. 111)

Ultraschalls berechnet (vgl. Eichler, 2014, S. 164).

$$\lambda = \frac{c_{Luft}}{f} \quad (2.8)$$

In diesem Zusammenhang reichen die Anwendungsbereiche für Ultraschall von einfachen Distanzmessungen in Luft über komplexe Signalverarbeitungsprozesse auf Festkörperwellenbasis bis hin zu medizinischen Diagnostikverfahren. Aufgrund der hohen Dämpfung und sehr kleinen Wellenlänge geht hierbei der technisch nutzbare Bereich selten über eine Frequenz von 1 GHz hinaus (vgl. Lerch u. a., 2009, S. 573). Dabei stellt die Frequenz bei technischen Anwendungen einen Kompromiss zwischen Ortsauflösung und Dämpfung dar. Bei höheren Frequenzen ist die Ortsauflösung bedingt durch die kürzeren Wellenlängen höher. Gleichzeitig steigt hierbei aber auch die Dämpfung, wodurch die Reichweite sinkt (vgl. Lerch u. a., 2009, S. 575).

Gegenüber anderen Sensoren, wie zum Beispiel optischen Abstandssensoren, weisen Ultraschallsensoren den Nachteil der Richtcharakteristik beim Senden und Empfang der Schallwellen auf (siehe Abbildung 2.3). Hierdurch kann der ausgesendete Ultraschallpuls so gebündelt und gerichtet werden, dass dieser nicht zum Ultraschallsensor zurückkehrt (vgl. Lerch u. a., 2009, S. 575).

Eine weitere Eigenschaft von Ultraschallsensoren ist der Dopplereffekt. Hierbei wird durch

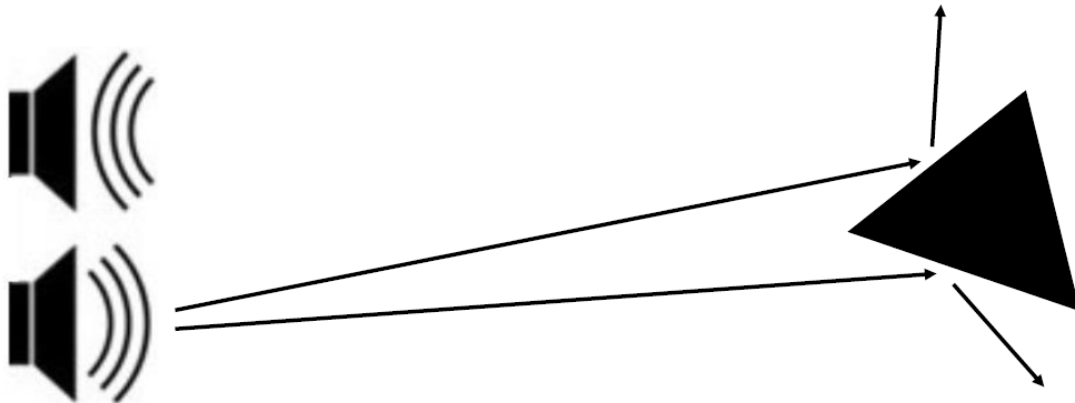


Abbildung 2.3.: Gerichtete Reflexion von Ultraschall an einem Objekt

sich bewegende Objekte die Frequenz der reflektierten Schallwellen verändert. Hierdurch kann es dazu kommen, dass die Frequenz der reflektierten Schallwellen außerhalb der Bandbreite des Ultraschallsensors liegt und diese nicht als Ultraschallecho erkannt werden. Im folgenden Beispiel wird die Frequenz der empfangenen Ultraschallechos berechnet (siehe Formel 2.9). Dabei beträgt die Sendefrequenz $f_S = 42 \text{ kHz}$, die Geschwindigkeit des Objektes $v_0 = 120 \frac{\text{km}}{\text{h}}$ und die Umgebungstemperatur 20°C . Es ist zu erkennen, dass die empfangene Frequenz mit $f_E = 46,08 \text{ kHz}$ deutlich von der gesendeten Frequenz abweicht (vgl. Lerch u. a., 2009, S. 583).

$$f_E = f_S \left(1 + \frac{v_0}{c_{\text{Luft}}} \right) = 46,08 \text{ kHz} \quad (2.9)$$

2.1.2. Ultraschallsensoren

Ultraschallsensoren finden unter anderem Anwendung in Luft, Wasser, biologischem Gewebe oder Festkörpermaterialeien.

Eine typische Anwendung in Luft ist dabei die Abstands- und Geschwindigkeitsmessung. Bei der Ermittlung des Abstands wird dabei die Laufzeit gemessen, die der ausgesendete Ultraschallpuls benötigt, um zum Sensor zurückzugelangen. Zur Ermittlung der Geschwindigkeit wird hingegen die Dopplerverschiebung gemessen, die das reflektierte Ultraschallecho aufweist. Ein für Ultraschallsensoren typischer Frequenzbereich liegt hierbei zwischen 25 kHz und 500 kHz . Dabei ist ein Vorteil von Ultraschallsensoren im Vergleich zu optischen Sensoren, dass diese auch unter optisch nicht transparenten Umgebungsbedingungen ihre Anwendung finden und unempfindlich gegenüber Schmutz sind (vgl. Lerch u. a., 2009, S. 581).

Ein weiterer Vorteil von Ultraschallsensoren ist, dass diese im Vergleich zu anderen Abstandssensoren, kostengünstig und leicht realisiert werden können und einen geringen Energieverbrauch aufweisen. Teilweise sind Ultraschallsensoren in gewissen Anwendungsfällen, zum Beispiel Unterwasser oder bei geringer Sicht, die einzig realisierbaren Abstandssensoren (vgl. Kleeman und Kuc, 2016, S. 754).

Andere Ultraschallanwendungen befinden sich im Bereich der Messverfahren für biologische Gewebe. Dabei steht im Vordergrund, mithilfe der Ultraschallwellen innere Ortsinformationen über die zumessenden Objekte zu gewinnen, wie zum Beispiel bei der 3D-bildgebenden medizinischen Diagnostik. Die hierbei verwendeten Frequenzen liegen im Bereich zwischen $2,5\text{ MHz}$ und 15 MHz . Im Vergleich zu Gasen liegt dabei die Ausbreitungsgeschwindigkeit mit $1500\frac{\text{m}}{\text{s}}$ deutlich höher. Durch die höhere Ausbreitungsgeschwindigkeit erhöht sich die Wellenlänge proportional (siehe Formel 2.8). Da hierbei allerdings deutlich höhere Frequenzen verwendet werden, ist die Wellenlänge deutlich niedriger als bei Luftanwendungen. So beträgt bei 20° Umgebungstemperatur und einer Frequenz von 40 kHz die Wellenlänge $8,59\text{ mm}$. Bei Anwendungen in biologischen Geweben beträgt die Wellenlänge bei einer Frequenz von $2,5\text{ MHz}$ hingegen $0,6\text{ mm}$. Hierdurch wird eine deutlich höhere Auflösung realisiert (vgl. Lerch u. a., 2009, S. 587).

Zum Anwendungsbereich von Ultraschall gehören ebenfalls Unterwasseranwendungen wie das Echolotverfahren. Dabei werden zum Beispiel Tiefenbestimmungen zum Meeresboden durchgeführt. Des Weiteren können mithilfe der Echolotung Objekte geortet werden, die sich in einer vorgegebenen Richtung befinden, zum Beispiel senkrecht unter einem Schiff (vgl. Lerch u. a., 2009, S. 550). Die typische Schallgeschwindigkeit in Wasser bei einer Temperatur von 20°C beträgt $1484\frac{\text{m}}{\text{s}}$ (vgl. Lerch u. a., 2009, S. 540). Die hierbei verwendeten Frequenzen liegen für Tiefwasser bis 11 km bei bis zu 15 kHz . Für Anwendungen bis zu einer Tiefe von 3 km liegen die Frequenzen im Bereich von 30 kHz bis 100 kHz . In Flachwasser unter 300 m Tiefe werden hingegen Frequenzen über 200 kHz verwendet (vgl. Lerch u. a., 2009, S. 551).

Ein weiterer Anwendungsbereich liegt bei Messverfahren in Festkörpermaterialien, wie zum Beispiel die zerstörungsfreie Werkstoffprüfung, bei der Fehler im Materialinneren erkannt und visualisiert werden (vgl. Lerch u. a., 2009, S. 660).

2.1.2.1. Abstandsmessung

Die Abstandsmessung mithilfe von Ultraschallsensoren erfolgt zunächst mit dem Aussenden von einem Ultraschallpuls. Die Zeit, die der Ultraschallwandler, der die Ultraschallwellen erzeugt, zum Ausschwingen benötigt, bestimmt die Blindzone, in der keine Objekte erkannt

werden können, da hierbei die zurückkommenden reflektierten Echos nicht von dem Ausschwingen unterschieden werden können. Werden Ultraschallwellen von einem Objekt zurück zum Sensor reflektiert, versetzen diese den Ultraschallwandler in Schwingung, der hierdurch eine elektrische Spannung erzeugt. Überschreitet die Amplitude der elektrischen Spannung dabei einen festgelegten Schwellwert, wird das Signal als gültiges Ultraschallecho gewertet. Um die Distanz d zwischen Ultraschallsensor, als Sender und Empfänger des Ultraschalls, und detektierten Objekt zu ermitteln, wird die Schallgeschwindigkeit c_{Luft} und die Laufzeit t der Ultraschallwellen benötigt (vgl. Reif, 2014, S. 325):

$$d = \frac{c_{Luft} t}{2} \quad (2.10)$$

2.1.2.2. Messbereich

Die für den Messbereich von Ultraschallsensoren beeinflussenden Faktoren sind unter anderem die Sendefrequenz, Schallamplitude und Messempfindlichkeit. Mit steigender Frequenz sinkt gleichzeitig die maximale Reichweite. Der Vorteil von höheren Frequenzen ist, dass diese eine kürzere Zykluszeit zulassen (vgl. Hering und Schönfelder, 2012, S. 180).

Schallkeulen, an deren Grenze der Schalldruck des Sendepulses eine Dämpfung von 3 dB aufweist, haben dabei typischerweise einen Öffnungswinkel von 5° bis 8° (siehe Abbildung 2.4). Kleine Objekte mit einer ungeeigneten Form, wie zum Beispiel runde Objekte, können außerhalb der Schallkeule schwierig erkannt werden. Wohingegen große Objekte, die zum Beispiel eine flache Oberfläche aufweisen, auch außerhalb der Schallkeule detektiert werden können (vgl. Hering und Schönfelder, 2012, S. 179).

2.1.2.3. Einflüsse auf Messergebnisse und Reichweite

Die Eigenschaften von Objekten, die sich innerhalb des Messbereichs eines Ultraschallsensors befinden, beziehungsweise die Umgebungsbedingungen können teilweise sehr stark das Messergebnis und die Reichweite beeinflussen.

Zu den Objekteigenschaften, die die Ergebnisse und die Reichweite beeinflussen können, zählt zum Beispiel die Form. Bei runden Formen werden die Ultraschallwellen in unterschiedliche Richtungen reflektiert, wodurch nur ein geringer Teil zurück zum Ultraschallsensor gelangt (siehe Abbildung 2.5a). Hierbei nimmt dieser Effekt mit kleiner werdenden Radius zu (Hering und Schönfelder, 2012, S. 181).

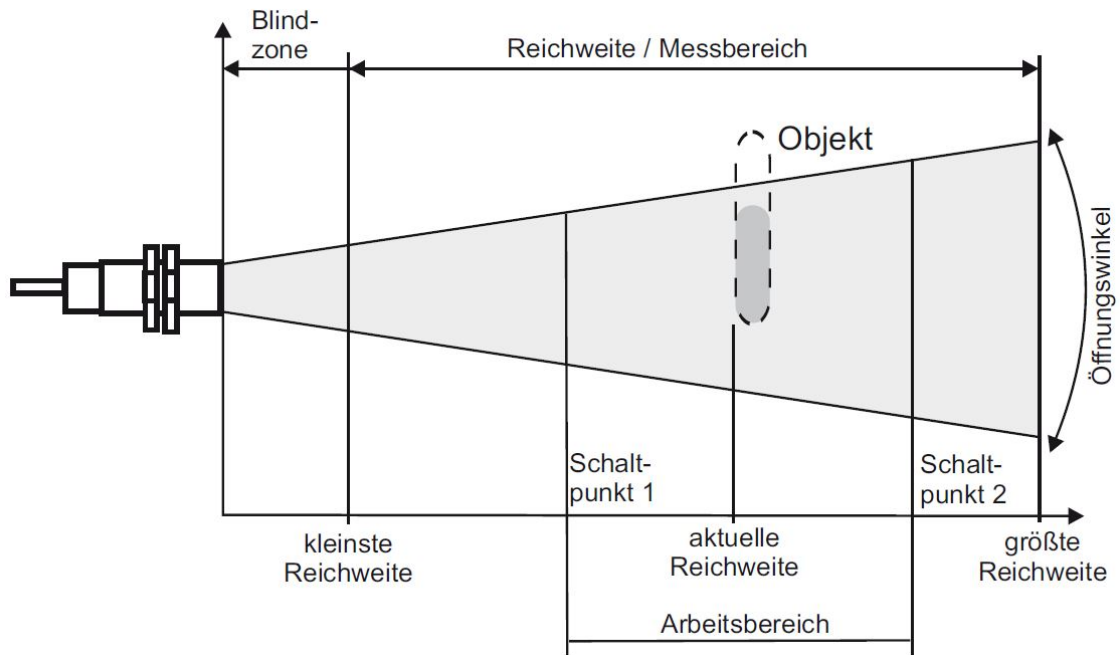


Abbildung 2.4.: Messbereich eines Ultraschallsensors (Hering und Schönfelder, 2012, S. 180)

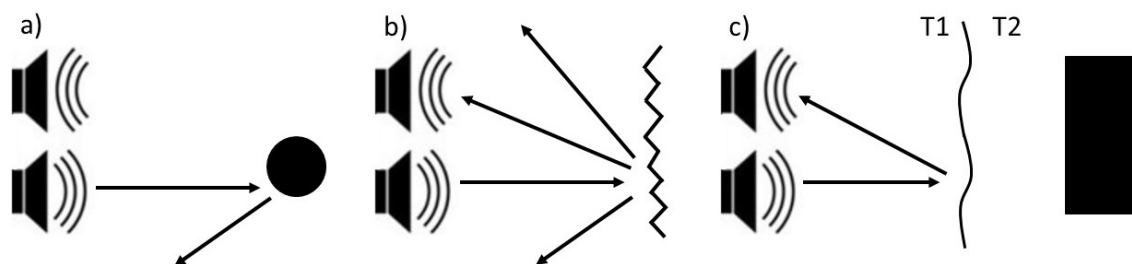


Abbildung 2.5.: Beispielhafte Beeinflussungen von Ultraschallmessungen

Des Weiteren kann die Materialhärte des Objekts den Anteil der reflektierten Schallwellen erheblich beeinflussen. Hierbei nimmt mit abnehmender Materialhärte die Absorption der Schallwellen zu (Hering und Schönfelder, 2012, S. 182).

Eine weitere wichtige Objekteigenschaft ist die Beschaffenheit der Oberfläche. So können bei rauen Oberflächen die Ultraschallwellen diffus reflektiert werden (siehe Abbildung 2.5b). Da in diesem Fall nicht alle Schallwellen in Richtung des Ultraschallsensors reflektiert werden, wird eine Erkennung des entsprechenden Objekts erschwert (Hering und Schönfelder, 2012, S. 182).

Die Objekttemperatur kann hierbei ebenfalls Beeinflussungen ausüben. Wärmekonvektionen können dazu führen, dass Ultraschallwellen abgelenkt beziehungsweise abgeschwächt werden, sodass das Objekt nicht erkannt wird. Des Weiteren kann es dazu kommen, dass die Schallwellen, wie in Abbildung 2.5c zu sehen, an der Grenzfläche der unterschiedlich temperierten Luftmassen reflektiert werden und nicht an dem Objekt (Hering und Schönfelder, 2012, S. 182).

Zu den Umgebungsbedingungen, die einen hohen Einfluss ausüben können, zählen starke Luftbewegungen, bei denen die Messergebnisse instabil werden können. Dies kommt allerdings erst ab Strömungsgeschwindigkeiten von einigen $\frac{m}{s}$ zu tragen (Hering und Schönfelder, 2012, S. 182).

2.1.3. Positionsbestimmung und Mapping

Für die Bereiche der Positionsbestimmung und des Mappings mithilfe von Ultraschall existieren unterschiedliche Methoden und Ansätze, auf die im Folgenden eingegangen wird. Ein weiterer Punkt, auf den im Folgenden ebenfalls eingegangen wird, sind Simulationsmethoden, mit denen ultraschallbasierte Positionsbestimmungen simuliert werden können. Hierzu ist in Tabelle 2.1 eine Übersicht der einzelnen Projekte der folgenden Abschnitte zu sehen.

Abschnitt	Projekt
Positionsbestimmung	Dynamisches, hybrides Ultraschall-Lokalisierungssystem (vgl. Seong und Byung, 2013)
	48-kanaliger Ultraschallring zur kontinuierlichen Echowverarbeitung (vgl. Browne und Kleeman, 2009)
Mapping	Multi-Ultraschallsensorsystem zur Echolokalisierung (vgl. Wu u. a., 2016)
	Generierung von 2D-Indoor-Karten mithilfe von Ultraschall (vgl. Rodin und Stajduhar, 2017)
	Indoor-Mapping für mobile Roboter mit einer Ultraschallsensorbank (vgl. Ilias u. a., 2016)
Raumakustik-Simulator für Ultraschall	Raumakustik-Simulator für Ultraschall (vgl. Albuquerque u. a., 2008), (vgl. Albuquerque, 2013)

Tabelle 2.1.: Übersicht der Projekte der folgenden Abschnitte

2.1.3.1. Positionsbestimmung

Bei der ultraschallbasierten Positionsbestimmung bestehen unterschiedliche Ansätze. Ein Ansatz ist, dass Ultraschallsender und -empfänger auf unterschiedliche Systeme aufgeteilt werden. Das heißt, dass die Ultraschallsender fest in einem Gebiet verbaut werden und die Ultraschallempfänger zum Beispiel auf einem mobilen Roboter platziert werden. Ein weiterer Ansatz ist, dass Ultraschallsender und -empfänger zusammen auf einem mobilen Roboter platziert werden.

Dynamisches, hybrides Ultraschall-Lokalisierungssystem

Bei dem dynamischen, hybriden Ultraschall-Lokalisierungssystem handelt es sich um ein Navigationssystem für autonome, mobile Indoor-Roboter, bei denen mehrere Ultraschall-distanzmessungen und ein extended Kalman-Filter (EKF) verwendet werden (vgl. Seong und Byung, 2013, S. 4562).

Hierbei werden Ultraschallsender an definierten Positionen der Raumdecke platziert (siehe Abbildung 2.6). Des Weiteren befinden sich drei Ultraschallempfänger auf dem mobilen Roboter. Unter Verwendung von Odometrie und den Ultraschallentfernungsmessungen wird mithilfe eines EKF-basierten Algorithmus die Position und die Orientierung bestimmt. Dabei wird eine dynamische Entfernungsschätzung angewendet, um die relevanten Signale von den Ultraschallsendern zu verfolgen und irrelevante auszublenden. So kann eine hybride Selbstlokalisierung ermöglichen werden (vgl. Seong und Byung, 2013, S. 4563).

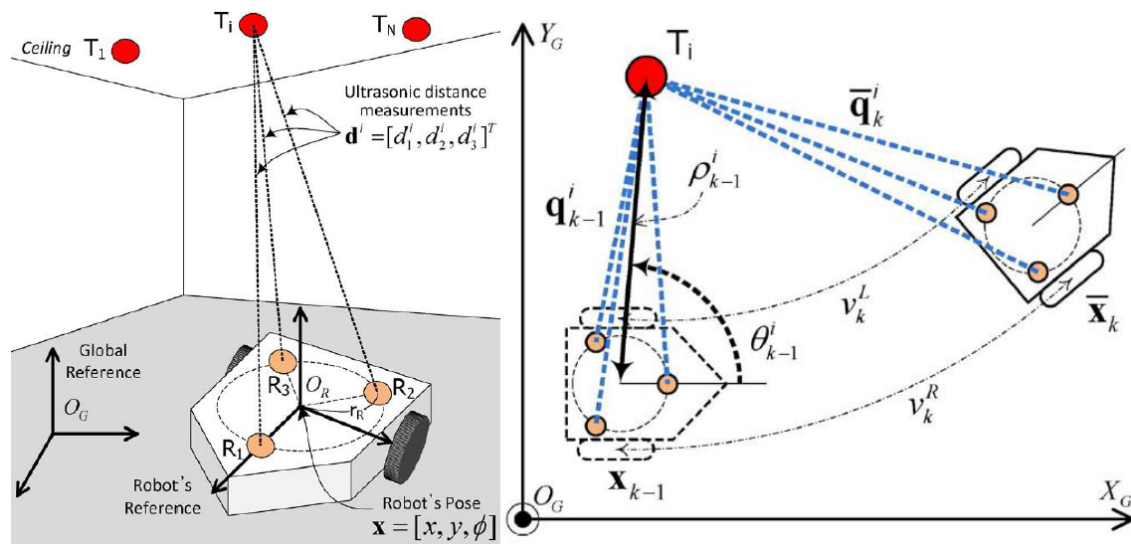


Abbildung 2.6.: Dynamisches, hybrides Ultraschall-Lokalisierungssystem (Seong und Byung, 2013, S. 4568)

Um die Abstände zwischen den Ultraschallempfängern des mobilen Roboters und den fest verbauten Ultraschallsendern zu ermitteln, werden die einzelnen Ultraschallsender durch eine Befehlsnachricht vom mobilen Roboter aktiviert. Dabei findet die Kommunikation für diese Befehlsnachrichten über RF-Module statt. Mithilfe des zeitlichen Abstands der Antwort des jeweiligen Ultraschallsenders über das RF-Modul und dem ausgesendeten Ultraschallpuls kann der mobile Roboter dem Abstand zu dem Ultraschallsender berechnen (vgl. Seong und Byung, 2013, S. 4564).

Die Vorteile eines solchen Systems sind, dass durch die bekannte Position der fest verbauten Ultraschallsender eine Positionsbestimmung mithilfe einfacher geometrischer Berechnungen möglich ist. Ein Nachteil des Systems ist hierbei allerdings, dass der mobile Roboter die fest verbauten Ultraschallsender benötigt und somit nicht flexibel im Bezug auf neue Einsatzorte ist.

48-kanaliger Ultraschallring zur kontinuierlichen Echoverarbeitung

Der 48-kanalige Ultraschallring ist ein echtzeitfähiges System, das eine direkte Filterung auf der Systemhardware ermöglicht (siehe Abbildung 2.7a). Hierdurch wird, mit Anwendungsfokus auf mobilen Robotern, eine verringerte Latenz der Messungen realisiert. Der Ultraschallring wurde mit einem einzigen Ultraschallsender umgesetzt, der den Sendeimpuls in alle Richtungen gleichmäßig und gleichzeitig aussendet. Die 48 Ultraschallempfänger sind dabei auf zwei übereinanderliegenden Ebenen so angeordnet, dass eine 360°-Abdeckung ermöglicht wird (vgl. Browne und Kleeman, 2009, S. 4040).

Die Signalverarbeitung erfolgt dabei auf einem FPGA, auf dem zunächst die einzelnen Signale der Ultraschallempfänger gefiltert werden (siehe Abbildung 2.7b). Anschließend werden alle Signale in einem Multiplexer vereint. Abschließend zu einem Messdurchlauf werden in den Ultraschallechos einzelne Peaks ermittelt (vgl. Browne und Kleeman, 2009, S. 4043).

Wird ein zurückkommender Ultraschallpuls erkannt, werden die Daten in der Nachverarbeitung bearbeitet. Hierbei wird zunächst die Laufzeit des Ultraschallpulses berechnet. Im zweiten Schritt wird die Peilung des Ultraschallpulses ermittelt. Abschließend werden diese validiert, um redundante beziehungsweise unzuverlässige Ultraschallpulse zu entfernen (vgl. Browne und Kleeman, 2009, S. 4044).

Das 48-kanalige Ultraschallringsystem dient hierbei als Grundlage für Lokalisierungs- und Mappingprobleme (vgl. Browne und Kleeman, 2009, S. 4046). Dabei ist der Vorteil des Systems, das für jede Messung nur ein Ultraschallpuls ausgesendet wird und dieser von allen Ultraschallempfängern empfangen werden kann. Der Nachteil des Systems ist der relativ große und komplexe Hardwareaufbau.

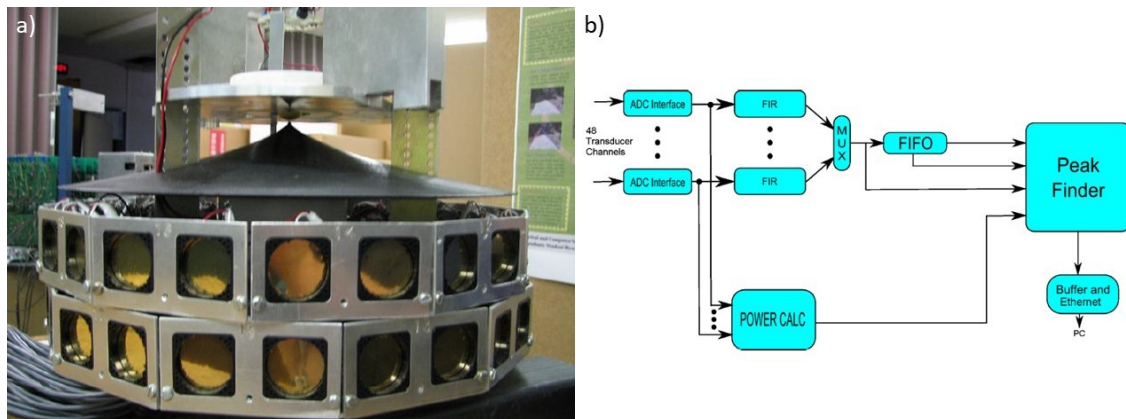


Abbildung 2.7.: a) 48-kanaliger Ultraschallring und b) FPGA-Signalverarbeitungspfad (Browne und Kleeman, 2009, S. 4043)

2.1.3.2. Mapping

Für das Mapping mithilfe von Ultraschallsensoren bestehen ebenfalls unterschiedliche Ansätze. Diese unterscheiden sich zum Großteil in der Anzahl der verwendeten Ultraschallsensoren. Hierbei werden mit einer Anzahl von einem Sensor bis hinzu 16 Sensoren Wände und Objekte kartiert.

Multi-Ultraschallsensorsystem zur Echolokalisierung

Das Projekt MUSSE (Multi-Ultrasonic-Sensor System for Echolocation) beschreibt die Umsetzung eines Multi-Ultraschallsensorsystems für das simultane Lokalisieren und Kartieren (SLAM) eines Open Source Roboters. Hierbei wird das System aufbauend auf dem Robot Operating System (ROS) implementiert. Das System basiert auf acht Ultraschallsensoren, die von einem zentralen Raspberry Pi gesteuert werden (siehe Abbildung 2.8). Hierbei kann das Sensorsystem auf einem Multiagentensystem, bestehend aus drei identischen Robotern von denen einer als Master operiert, angewendet werden (vgl. Wu u. a., 2016, S. 79).

Um Objekte zu erkennen, werden die Distanzen der ersten zurückkommenden Echos berechnet. Um hierbei eine gute Objekterkennung zu realisieren, werden die einzelnen Objekte mehrfach gemessen. Des Weiteren wird der Roboter nach den jeweiligen Messungen gedreht, um die einzelnen Messpunkte zu einem Objekt zu verbinden. Zur Messung werden hierbei die acht Ultraschallsensoren nacheinander einzeln angesteuert und ausgewertet (vgl. Wu u. a., 2016, S. 80).

Die eigentliche Kartierung erfolgt durch mehrere unabhängige Roboter. Dies reduziert zum einen die Zeit des Kartierens. Des Weiteren wird hierdurch der Einfluss von einzelnen Fehl-

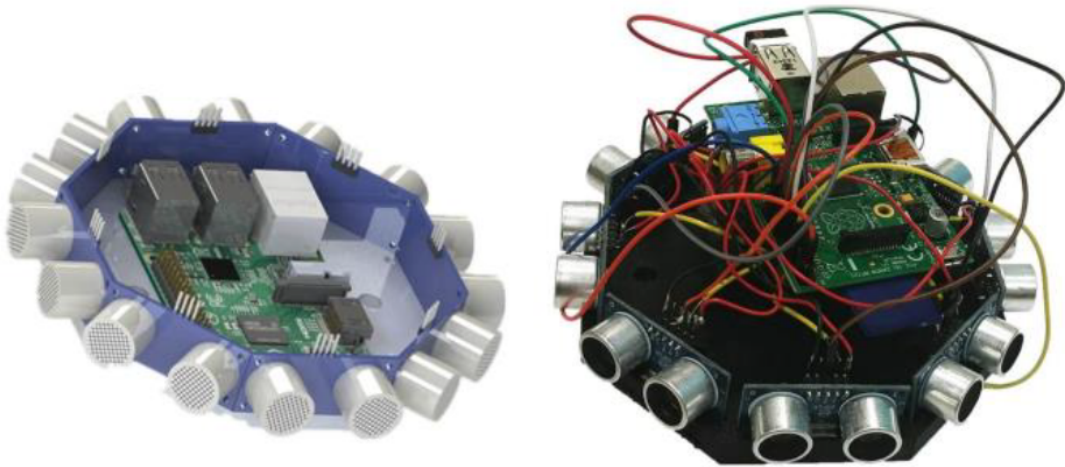


Abbildung 2.8.: Multi-Ultraschallsensorsystem zur Echolokalisierung (Wu u. a., 2016, S. 80)

messungen der Roboter auf das Gesamtergebnis reduziert. Das Mapping erfolgt hierbei durch eine gitterbasierte Karte (vgl. Wu u. a., 2016, S. 82).

Generierung von 2D-Indoor-Karten mithilfe von Ultraschall

Die Generierung von 2D-Indoor-Karten erfolgt mithilfe eines Ultraschallsensors, der auf einem autonom fahrenden Roboter montiert ist. Hierbei wird eine Methode verwendet, mit der unerwünschte Messergebnisse ausgefiltert werden. Bei den unerwünschten Messergebnissen handelt es sich um Präzisionsabnahme oder Ultraschallechos von verdeckten Objekten, die sich hinter einer Ecke verbergen (vgl. Rodin und Stajduhar, 2017, S. 1021).

Für das Mapping werden einfache Geometrien und eine Cluster-Analyse verwendet. Dabei dreht sich der Roboter im Kreis und misst die Abstände des ersten zurückkommenden Ultraschallechos, was in dem Fall eine Wand widerspiegelt. Um in den Messergebnissen die Wände zu erkennen und unerwünschte Messergebnisse zu filtern, wird ein K-Mean-Algorithmus als Cluster-Analyse verwendet. Die Filterung von relevanten Clustern, die Wände darstellen, und Clustern mit unerwünschten Messergebnissen wird anhand der Clustergröße durchgeführt. Dabei werden kleine Clustergrößen aus den Ergebnissen entfernt (vgl. Rodin und Stajduhar, 2017, S. 1023).

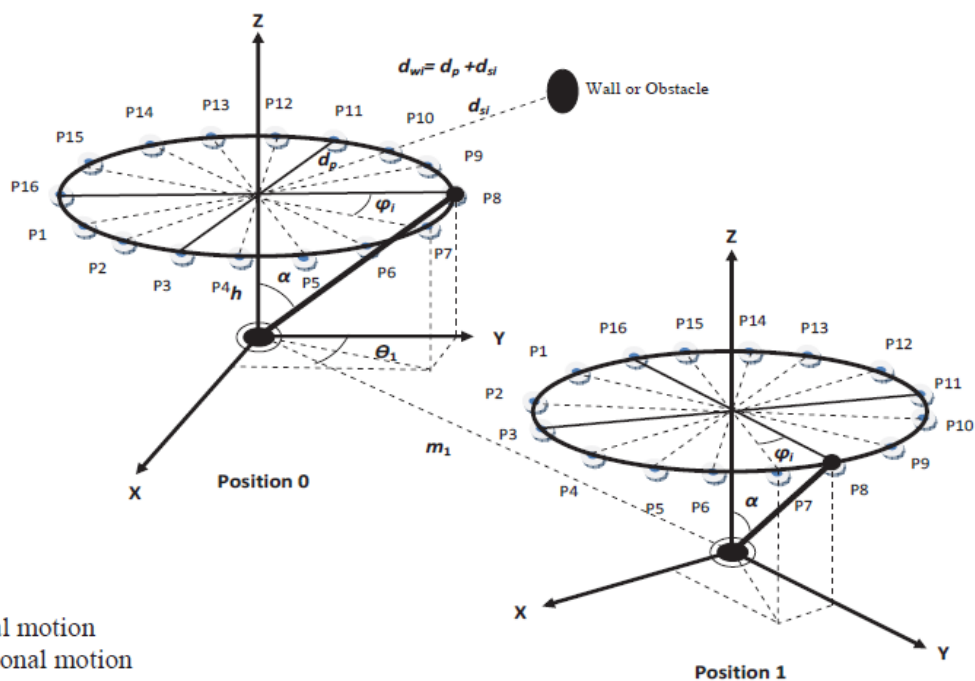
Indoor-Mapping für mobile Roboter mit einer Ultraschallsensorbank

Bei der Ultraschallbank für das Indoor-Mapping mobiler Roboter handelt es sich um ein System, bei dem 16 Ultraschallsensoren in einer sechseckigen Form angeordnet sind und das Umfeld zu 360° abdecken. Hierbei soll ein 2D- und 3D-Mapping in Echtzeit realisiert werden.

Das Ziel der Ultraschallbank ist dabei die genaue Kartierung von Wänden in Bezug auf deren Form und Umfang (vgl. Ilias u. a., 2016, S. 189).

Für die Ultraschallbank werden 16 Ultraschallsensoren, die jeweils um $22,5^\circ$ versetzt sind, verwendet. Hierdurch sollen die Auswirkung von toten Winkeln bei den einzelnen Ultraschallsensoren reduziert werden (vgl. Ilias u. a., 2016, S. 190).

Jeder Sensor bestimmt den jeweiligen Abstand zu einer Wand eigenständig. Anschließend werden mithilfe einer Koordinatentransformation die Abstände in eine Karte eingetragen. Nach jedem Distanzmessungszyklus dreht sich der mobile Roboter um einen definierten Winkel, um den Vorgang zu wiederholen (siehe Abbildung 2.9). Ebenfalls nach jedem Distanzmessungszyklus fährt der mobile Roboter auf eine andere Position, wobei nur soweit gefahren wird, dass keine Kollision mit einer Wand entsteht (vgl. Ilias u. a., 2016, S. 191).



θ - rotational motion

m - translational motion

d_p - sensors distance from the center of the sensor bank

φ_i - angular position of the sensor with respect to Z-axis (center of sensor bank)

α - sensor position with respect to the origin

h - center of sensor bank above from robot base along its Z-axis

d_{si} - distance between obstacle and sensor position

d_{wi} - distance between the center of sensor bank and obstacle

Abbildung 2.9.: Positionsveränderung der Ultraschallbank (Ilias u. a., 2016, S. 190)

Um aus der Kartierung Phantom-Punkte zu entfernen, wird im Anschluss ein Optimierungsalgorithmus angewandt. Bei diesem werden die empfangenen Echos der jeweiligen Ultra-

schallsensoren mit denen der Nachbarsensoren verglichen. Somit werden Echos, die zum Beispiel durch Mehrfachreflexion entstehen, ausgefiltert (vgl. Ilias u. a., 2016, S. 191).

Mit der Ultraschallbank können somit einfache geometrische Wandformen gemessen und kartiert werden (vgl. Ilias u. a., 2016, S. 193).

2.1.3.3. Raumakustik-Simulator für Ultraschall

Der Raumakustik-Simulator dient dem Vergleich verschiedener Ultraschall-Lokalisierungs-Algorithmen in kontrollierten Umgebungen. Hierbei wird die Annahme getroffen, dass eine Simulation deutlich schneller umgesetzt werden kann als ein reales Mess-Set-up. Ein weiterer Vorteil ist, dass eine Simulation verschiedener Algorithmen deutlich einfacher unter denselben Bedingungen durchgeführt werden kann, als Tests mit realen Ultraschallsignalen (vgl. Albuquerque, 2013, S. 21).

Dabei basiert der Raumakustik-Simulator auf einer hybriden Methode, bei der die Reflexionen als spiegelnd betrachtet werden. Beeinflussungsfaktoren bei der Simulation sind Reflexionen an Wänden und Objekten, die Schalldämpfung und die Eigenschaften des Ultraschallsensors (vgl. Albuquerque u. a., 2008, S. 1).

Mit dem Simulator werden Mehrfachreflexionen simuliert, sodass nicht nur das Ultraschallecho mit der kürzesten Laufzeit ermittelt wird, sondern auch Ultraschallechos, die über mehrere Objekte zum Ultraschallempfänger reflektiert werden. Dabei setzt sich der Simulator aus einem Schallausbreitungsmodell, einem Mehrfachreflexionsmodell, einem Ultraschallsendermodell und einem Modell für das Rauschen zusammen (vgl. Albuquerque u. a., 2008, S. 2).

Das Schallausbreitungsmodell beachtet dabei den Temperatureinfluss auf die Schallgeschwindigkeit, die Streuung der Schallenergie im Verhältnis zum zurückgelegten Weg und die Abnahme der Schallenergie durch Luftverluste (vgl. Albuquerque u. a., 2008, S. 2).

Bei dem Mehrfachreflexionsmodell wird eine hybride Methode aus Raytracing und der Bildquellen-Methode angewendet. Hierbei betrachtet die Raytracing-Methode die Ultraschallwellen als eine große Anzahl an Strahlen, die von dem Ultraschallsender emittiert werden. Die einzelnen Pfade der Strahlen werden dabei berechnet. Bei einer Berührung eines Objekts tritt eine Reflexion auf, von der aus ein neuer Pfad berechnet wird. Um zu erkennen, ob ein Ultraschallempfänger von den einzelnen Strahlen getroffen wird, wird um die einzelnen Empfänger ein Schnittvolumen definiert. Mit der Raytracing-Methode sind genaue Simulationsergebnisse sehr rechenintensiv. Die Bildquellen-Methode hingegen basiert auf

dem Prinzip, dass alle Reflexionen spiegelnd sind. Hierbei wird bei einer Reflexion die Quelle an der Oberfläche des Reflexionsobjekts gespiegelt (siehe Abbildung 2.10a). Das Verhalten der realen Quelle wird dabei auf die gespiegelte virtuelle Quelle übertragen. Dieses Spiegeln wird bei weiteren Reflexionen fortgeführt. Die Bildquellen-Methode ist sehr genau, wobei die Anzahl der gespiegelten Bilder mit der Anzahl der Reflexionen schnell ansteigt. Bei der hybriden Methode wird bei dem Mehrfachreflexionsmodell zunächst die Bildquellen-Methode angewandt, um alle virtuellen Ultraschallquellen zu ermitteln. Anschließend werden die virtuellen Quellen mit der Raytracing-Methode überprüft, wobei nur Strahlen berücksichtigt werden, die von dieser erzeugt werden. So können die Ultraschallstrahlen vom Empfänger zur realen Quelle zurückverfolgt werden. Dabei wird mithilfe der hybriden Methode die Anzahl der Empfangswellen am Ultraschallempfänger deutlich reduziert (vgl. Albuquerque u. a., 2008, S. 3).

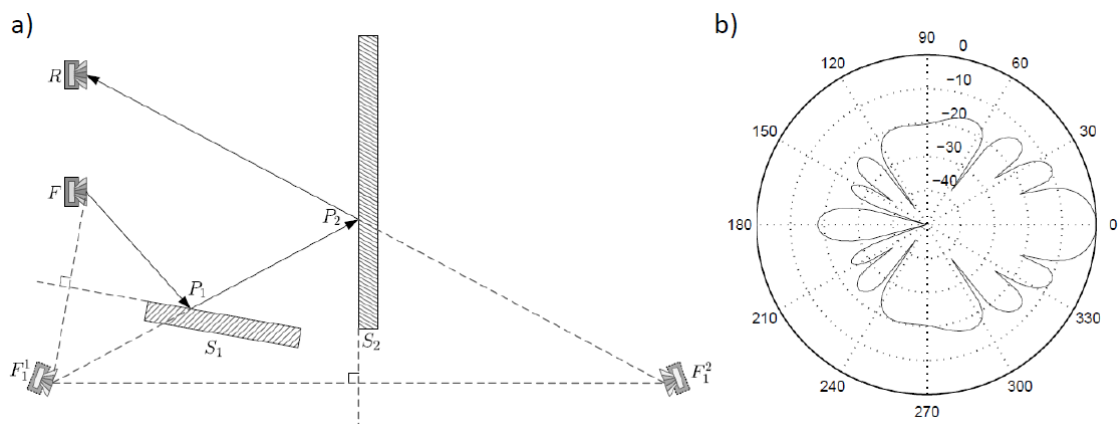


Abbildung 2.10.: a) Spiegelungen der Bildquellen-Methode (Albuquerque u. a., 2008, S. 3) und b) Abstrahlcharakteristik des Ultraschallsendermodells (Albuquerque u. a., 2008, S. 4)

Das Modell des Ultraschallsenders folgt der Annahme, dass dieser translatorische Bewegungen entlang einer Zylinderachse beim Aussenden von Ultraschallwellen durchführt. Die hierbei erzeugten Ultraschallwellen werden dabei im Bezug auf die Intensität nicht gleichmäßig in alle Richtungen ausgestrahlt. Zur Berechnung der Abstrahlcharakteristik, wie in Abbildung 2.10b zu sehen, wird eine Strahlfunktion verwendet (siehe Formel 2.11). In die Formel fließen dabei der Radius a des angenommenen Zylinders des Ultraschallsenders, die Wellenlänge λ und der Abstrahlwinkel θ ein. Des Weiteren wird innerhalb der Strahlfunktion eine Bessel-Funktion ersten Grades J_1 angewandt (vgl. Albuquerque u. a., 2008, S. 4).

$$H(a, \lambda, \theta) = 2 \frac{J_1\left(\frac{2\pi a}{\lambda} \sin\theta\right)}{\frac{2\pi a}{\lambda} \sin\theta} \quad (2.11)$$

Abschließend wird mit einem Rausch-Modell auf die empfangenen Ultraschallechos ein weißes und gaußsches Rauschen modelliert. Die Stärke des Rauschens ist hierbei einstellbar (vgl. Albuquerque u. a., 2008, S. 4).

2.2. Vorarbeiten im Urban Mobility Lab

Zu den Vorarbeiten des *Urban Mobility Lab*, die für die Weiterarbeit im Rahmen dieser Masterarbeit genutzt werden, zählt unter anderem ein Entwicklungssystem für intelligente Ultraschallsensoren zur Lokalisation und Umgebungserkennung. Eine weitere Vorarbeit der Entwicklungen des *Urban Mobility Lab* ist eine 2D-Simulation für das Ultraschall-Raytracing. Abschließend wird der aktuelle Stand des Versuchsfahrzeugs beschrieben.

2.2.1. Entwicklungssystem für intelligente Ultraschallsensoren

Im Rahmen der Bachelorarbeit wurde ein Entwicklungssystem für intelligente Ultraschallsensoren konzipiert und umgesetzt. Mit dem System ist es möglich, Algorithmen und Methoden zur Lokalisation und Umgebungserkennung zu entwickeln (vgl. Rotzlawski, 2018, S. 3).

Das Entwicklungssystem besteht dabei aus mehreren Ultraschallsensoren, die beliebig angeordnet werden können (siehe Abbildung 2.11). Des Weiteren besteht das System aus einer Datenauswertung, die auf einem Rechner läuft, die die Ultraschallsensoren steuert und auswertet. Hierbei ist das System über ein Ethernetnetzwerk in einer Sterntopologie angeordnet (vgl. Rotzlawski, 2018, S. 35).

Zur Kommunikation zwischen der Datenauswertung und den Ultraschallsensoren wurden unterschiedliche Ethernetpakete definiert. Mit diesen Paketen kann man unter anderem den Status der Ultraschallsensoren abfragen. Des Weiteren wird den Sensoren über die Statusabfrage der Master- beziehungsweise Slavestatus mitgeteilt. Eine Messung der Umgebungsbedingungen kann ebenfalls angefordert werden. Die Ultraschallmessung wird über ein Anweisungspaket an den Master-Ultraschallsensor gestartet werden (vgl. Rotzlawski, 2018, S. 37).

Der Ultraschallsensor basiert auf einem *Arduino Due*. Für die Ethernetanbindung wurde das Board um ein Ethernet-Shield erweitert. Zur Messung der Umgebungsbedingungen besitzt jeder Ultraschallsensor einen entsprechenden Sensor. Für das Aussenden von Ultraschallpulsen besteht der Sendepfad aus einer Sendeverstärkerschaltung und einem Ultraschalllautsprecher. Die Ultraschallechos werden mit der Empfängerschaltung empfangen, welche

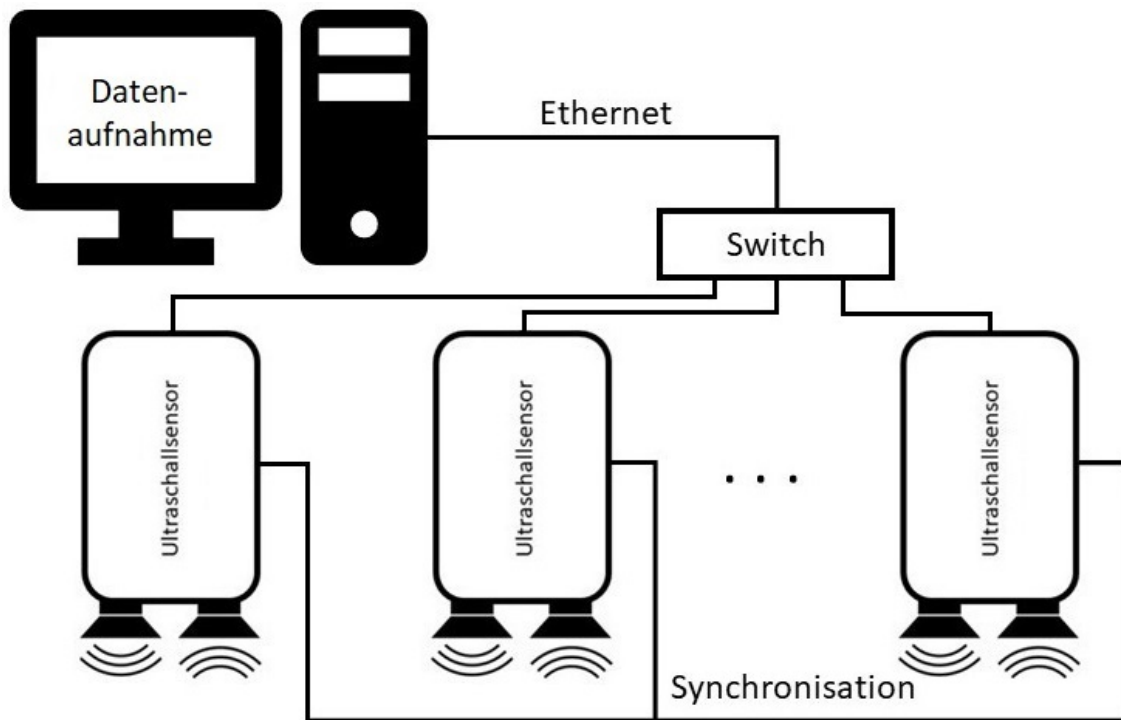


Abbildung 2.11.: Entwicklungssystem in Mehrfachanordnung (Rotzlawski, 2018, S. 36)

aus einem MEMS-Mikrofon und einer Verstärkerschaltung besteht. Die Spannungsversorgung des Ultraschallsensors erfolgt dabei über einen 5 V-Akku. Zur Synchronisation sind alle Ultraschallsensoren über eine Synchronisationsleitung verbunden (vgl. Rotzlawski, 2018, S. 39). Abbildung 2.12 zeigt die Architektur des Ultraschallsensors.

Der Messdurchlauf wird gestartet, indem der Mastersensor die Messung mithilfe der Synchronisationsleitung auf allen Sensoren gleichzeitig startet. Gleichzeitig zum Starten der Messung sendet der Mastersensor den Ultraschallpuls aus. Am Ende des Messdurchlaufs beendet der Mastersensor ebenfalls über die Synchronisationsleitung die Messung auf allen Sensoren. Der Ultraschallsendepuls kann hierbei variable in Bezug auf Frequenz und Dauer eingestellt werden (vgl. Rotzlawski, 2018, S. 49).

Im Vorfeld dieser Masterarbeit wurde eine Analyse zum Austausch der Sende- und Empfangspfade des Ultraschallsensors durchgeführt. Hierbei wurde der Ultraschallsensor mit dem Ultraschallmodul *MaxBotix XL-MaxSonar MB1300* verglichen (vgl. MaxBotix, 2015, S. 9). Da die empfangenen Echosignale des Ultraschallsensors deutlich verrauscht sind (vgl. Rotzlawski, 2018, S. 73), ist das Ergebnis des Vergleichs, dass mit dem *MaxBotix*-Modul eine höhere Reichweite der Ultraschallsensoren realisiert werden kann. Der Nachteil eines Austauschs ist hingegen, dass hierdurch der Sendepuls im Bezug auf Frequenz und Dauer nicht mehr einstellbar ist.

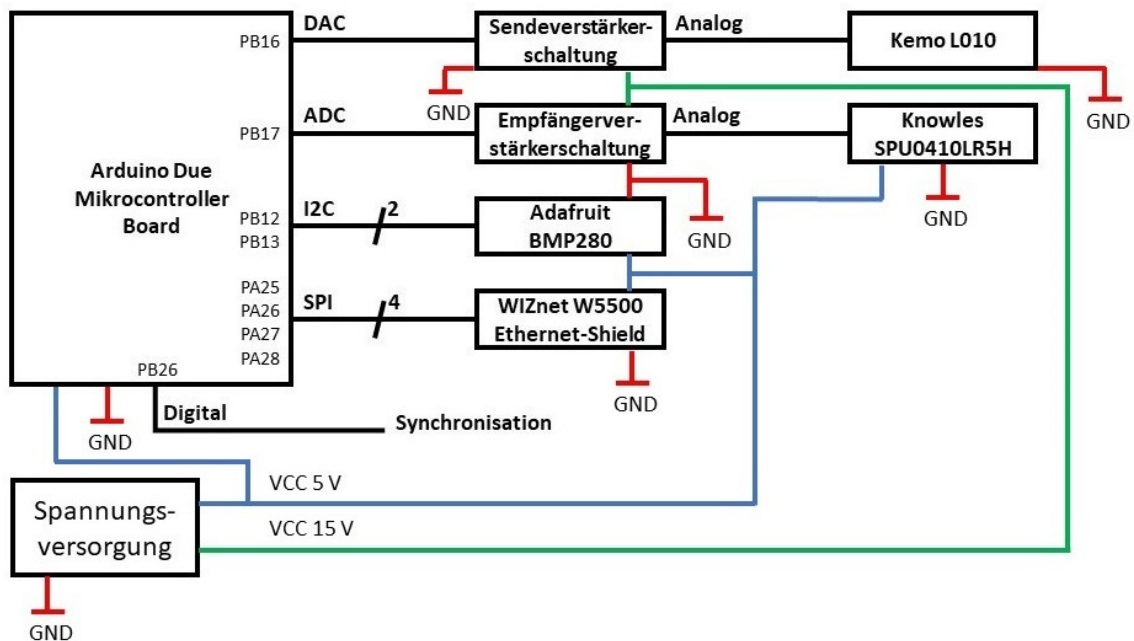


Abbildung 2.12.: Architektur des Ultraschallsensors (Rotzlawski, 2018, S. 39)

2.2.2. Simulation für das Ultraschall-Raytracing

Ein weiteres Projekt des *Urban Mobility Lab* ist eine 2D-Raytracing-Simulation für Ultraschall, die mit dem Raumakustik-Simulator aus Abschnitt 2.1.3.3 vergleichbar ist. Hierbei wurde mithilfe von *MATLAB* eine Simulation umgesetzt, mit der Ultraschallwellen in einzelne Strahlen aufgeteilt werden. Die einzelnen Pfade der Strahlen werden dabei berechnet. Trifft ein Strahl ein Objekt, wird dieser an dem Objekt reflektiert. Hiermit wird eine Simulation von Mehrfachreflexionen ermöglicht. Die Ergebnisse der Simulation können hierbei visualisiert werden.

In Abbildung 2.13 ist das Ergebnis der Pfade der einzelnen Strahlen zu sehen, wobei hier nur Strahlen geplottet werden, die einen Ultraschallsensor treffen. Hierbei wird ein schmaler Gang simuliert. Der rote beziehungsweise grüne Punkt stellen Ultraschallempfänger dar. Wohingegen der blaue Punkt einen Ultraschallsender und -empfänger darstellt. Die einzelnen Strahlen sind ebenfalls mithilfe der Farbe den einzelnen Ultraschallempfängern zuzuordnen.

Der dazugehörige zeitliche Verlauf der ankommenden Ultraschallechos ist in Abbildung 2.14 zu sehen. Die zeitlichen Verläufe der Ultraschallsensoren werden einzeln dargestellt, wobei *R1* den Ultraschallsender und -empfänger darstellt. *R2* und *R3* sind hingegen die Ultraschallempfänger. Zusätzlich wurden in Abbildung 2.14 die simulierten zeitlichen Verläufe der Ultraschallsensoren mit einer realen Messung des schmalen Gangs verglichen. Die einzelnen Peaks stellen die simulierten Ultraschallechos dar. Wohingegen die Hüllkurven die realen

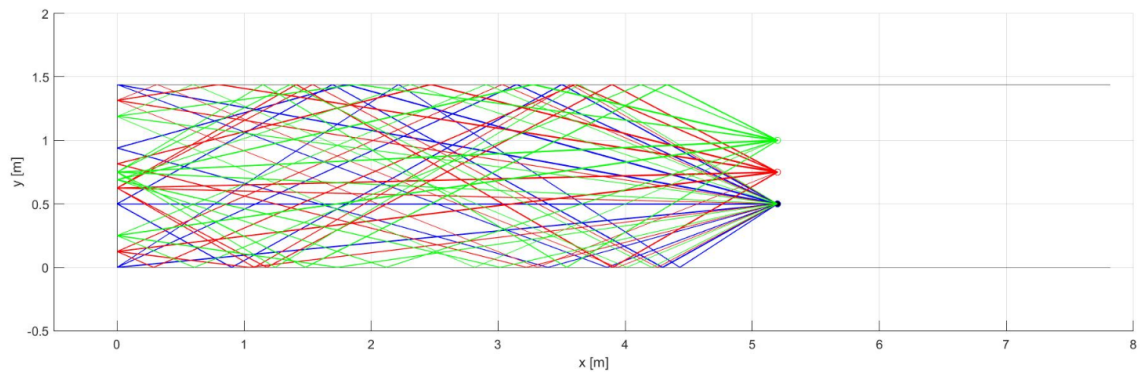


Abbildung 2.13.: Raytracing-Ergebnis der Simulation

Messungen der Ultraschallsensoren darstellen. Hierbei wurde die reale Messung mit dem *MaxBotix XL-MaxSonar MB1300* als Ultraschallsensor durchgeführt (vgl. MaxBotix, 2015, S. 9). Die Ultraschallsensoren werden dabei identisch zur Abbildung 2.13 platziert.

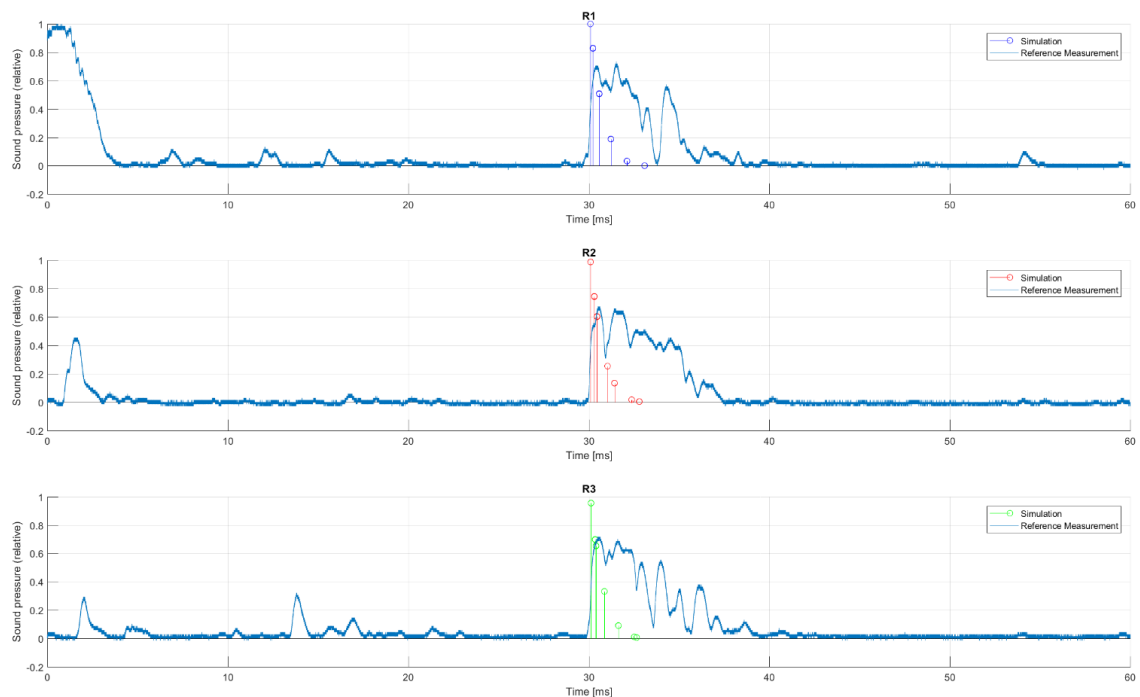


Abbildung 2.14.: Vergleich der 2D-Raytracing-Simulation mit einer realen Ultraschallmessung

Da es sich bei der Ultraschall-Raytracing-Simulation um eine zwei dimensionale Simulation handelt, werden Reflexionen, die zum Beispiel von Deckenlampen reflektiert werden, nicht berechnet. Des Weiteren werden hierdurch auch Mehrfachreflexionen über den Boden oder

der Decke, das heißt, die über drei Dimensionen verlaufen, nicht simuliert. Die dadurch entstehenden Abweichungen sind dabei deutlich zu erkennen.

2.2.3. Aktueller Stand des Versuchsfahrzeugs

Im Rahmen einer Bachelorarbeit im *Urban Mobility Lab* wurde das Versuchsfahrzeug mit einem Industrie-PC ausgestattet (vgl. Vater, 2018, S. 3). Des Weiteren ist das Versuchsfahrzeug mit einem Messaufbau auf dem Dach ausgestattet (siehe Abbildung 2.15). Abbildung 2.16 zeigt das Blockschaltbild des Messaufbaus mit den einzelnen Sensorsystemen.

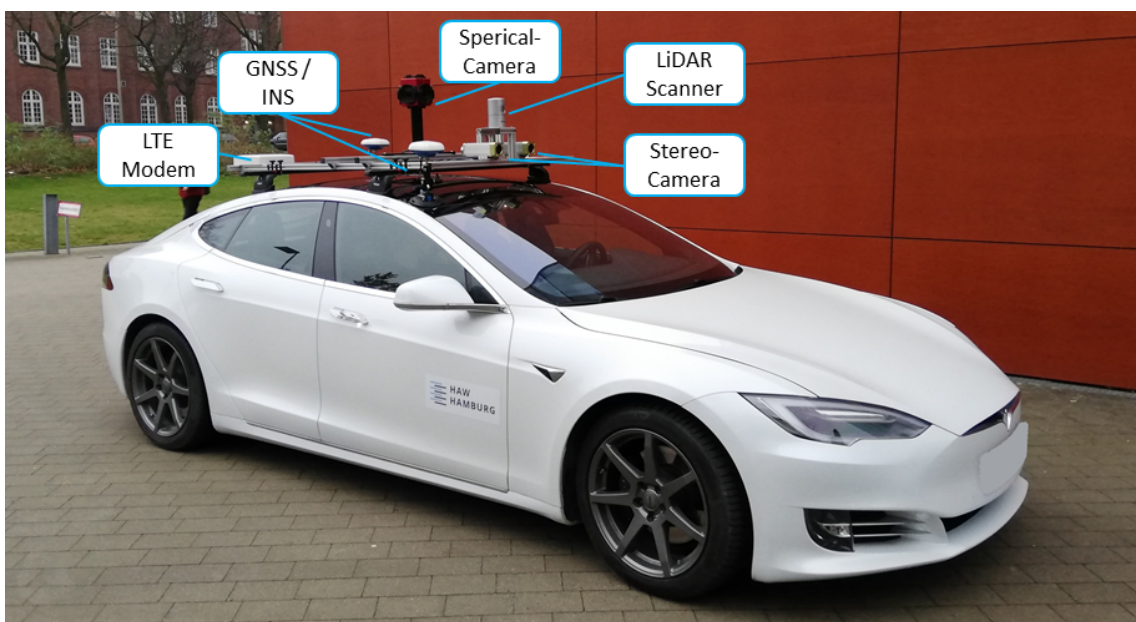


Abbildung 2.15.: Messaufbau auf dem Versuchsfahrzeug

Hierbei dient der Messaufbau zur Erforschung und Entwicklung von Systemen zur Fahrzeugpositionsbestimmung und Umgebungswahrnehmung. Mit dem GNSS/INS-System wird dabei eine hochpräzise Positionsbestimmung ermöglicht. Der LiDAR-Scanner hingegen dient zur Umgebungswahrnehmung, mit der ebenfalls eine Positionsbestimmung ermöglicht wird. Aktuelle Projekte beschäftigen sich mit der sphärischen und der Stereo-Kamera. Hierbei soll über Bilddaten der Umgebung eine Positionsbestimmung realisiert werden.

Mit einem weiteren Systembestandteil, dem LTE-Modem, ist es möglich, das Mobilfunknetz während der Fahrt zu vermessen. Mit einer nachgelagerten Datenauswertung wird eine messtechnische Beurteilung des Mobilfunknetzes realisiert.

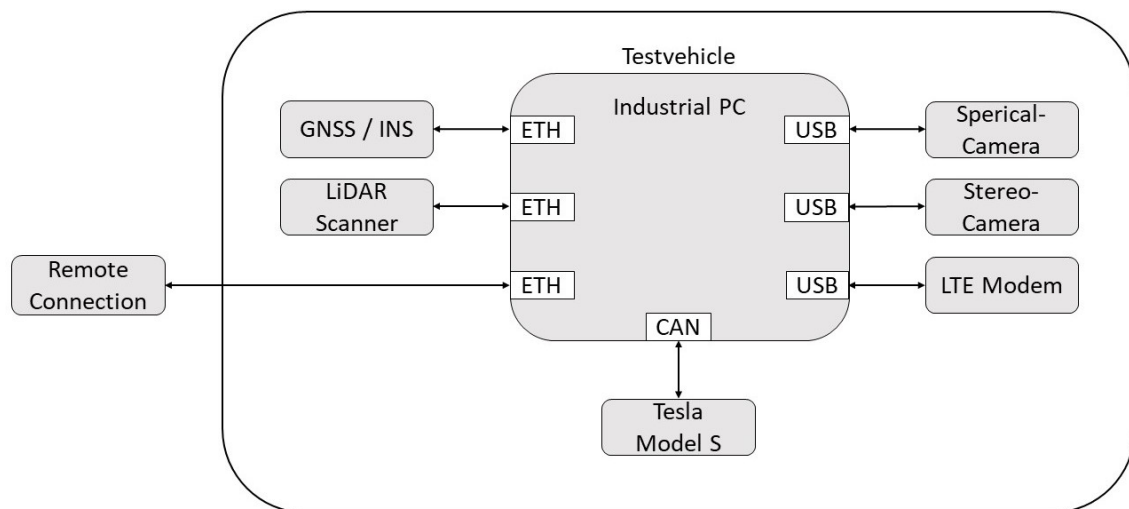


Abbildung 2.16.: Messsystemarchitektur des Versuchsfahrzeugs

Ebenfalls ein Bestandteil des Systems ist eine CAN-Schnittstelle. Hiermit kann die Kommunikation auf dem CAN-Bus des Fahrzeugs aufgenommen und analysiert werden. Abschließend besitzt der Messaufbau eine Remote-Schnittstelle, mit der der Industrie-PC gesteuert werden kann.

3. Analyse der Anforderungen

Die Analyse der Anforderungen befasst sich zunächst mit einem typischen Anwendungsfall für das Navigationssystem zur Positionserkennung autonomer Fahrzeuge. Abschließend werden die Anforderungen an das System analysiert und definiert.

3.1. Anwendungsfall zur Positionsbestimmung

Ein typischer Anwendungsfall des zu entwickelnden Systems befindet sich in Indoor-Bereichen, wie zum Beispiel Tiefgaragen oder Parkhäuser. Eine herkömmliche Positionsbestimmung mithilfe von GNSS-Satelliten ist in diesen Fällen nicht möglich, da hier die Satellitensignale über den *Multipath*-Fehler stark verfälscht werden beziehungsweise erst gar nicht am Fahrzeug ankommen. Eine Erkennung von verdeckten Objekten, die sich außerhalb des sichtbaren Bereichs befinden, ist mithilfe der regulären Anwendung von Umfeldsensorik in Fahrzeugen, wie zum Beispiel Kamerasysteme oder herkömmlichen Ultraschallsensoren, ebenfalls nicht möglich (siehe Abbildung 3.1). So werden verdeckte Objekte von Kamerasystemen generell nicht erkennbar. Eine Erkennung mithilfe von Ultraschallsensoren, bei der nur das erste zurückkommende Ultraschallecho ausgewertet wird, ist ebenfalls nicht möglich.

Mithilfe des umfeldsensorbasierten Navigationssystems soll eine Positionsbestimmung in einem im Vorfeld bekannten Indoor-Bereich ermöglicht werden. Dies soll mit der im *Urban Mobility Lab* vorhandenen Umfeldsensorik realisiert werden, wie in etwa dem *Velodyne HDL-32E* LiDAR-Scanner oder dem Ultraschallsensorsystem zur Entwicklung intelligenter Ultraschallsensoren aus Abschnitt 2.2.1. Ebenfalls soll mit dem umfeldsensorbasierten Navigationssystem eine Erkennung von verdeckten Objekten, die sich hinter einer Wand verbergen, ermöglicht werden.

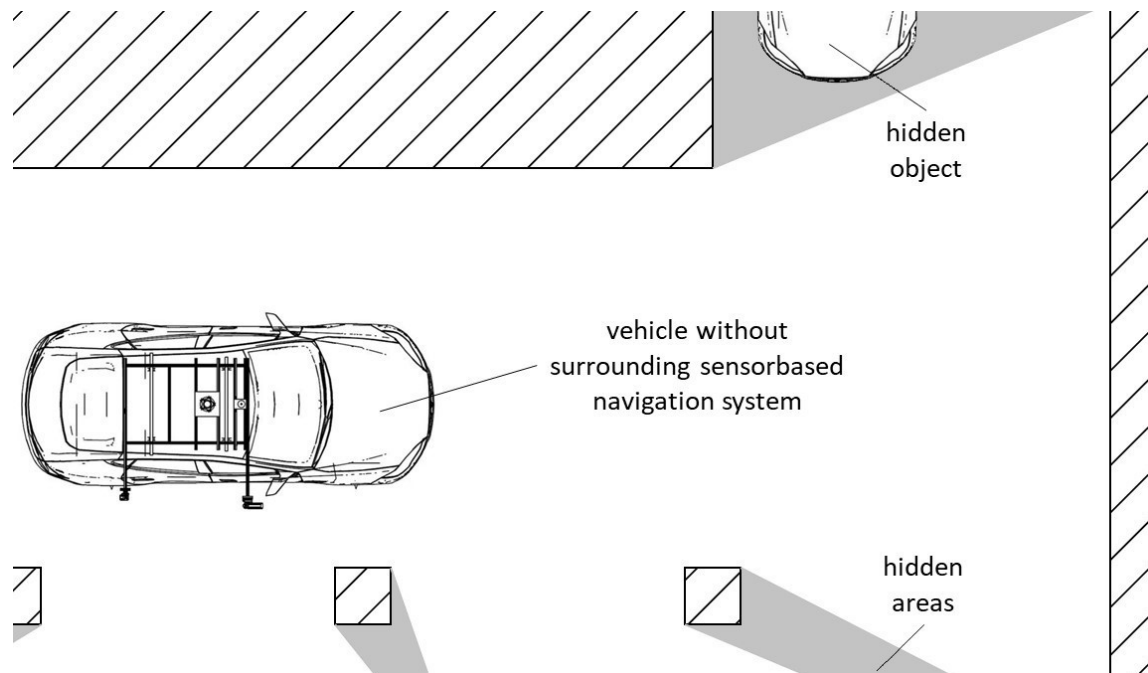


Abbildung 3.1.: Anwendungsfall mit einem Fahrzeug ohne umfeldsensorbasiertes Navigationssystem

3.2. Anforderungsanalyse

Die Anforderungen werden aufbauend auf der Aufgabenstellung und des Anwendungsfalls definiert. Hierbei werden die Anforderungen, wie in Tabelle 3.1 zu sehen, nach Möglichkeit mit einem Wert quantifiziert.

Um eine zeitweise, alternative Methode zur GNSS-basierten Navigation zu realisieren, ist es notwendig, mit dem System die Fahrzeugposition und -orientierung zu bestimmen. Hierbei muss das Navigationssystem auf mindestens ein Umfeldsensoren zurückgreifen. Dabei soll Ultraschall vorrangig als Umfeldsensorik verwendet werden. Des Weiteren soll eine Erkennung von Objekten ermöglicht werden, die sich nicht im direkten Sichtfeld befinden. Hierzu ist es notwendig, eine Erkennung der Umgebung und von Objekten zu realisieren. Um dies zu ermöglichen, wird die Detektionsreichweite der einzelnen Umfeldsensoren auf mindestens 5 m festgelegt.

Da sich in Indoor-Bereichen, wie zum Beispiel in Parkhäusern, Personen aufhalten, wird als maximale Geschwindigkeit $6 \frac{km}{h}$ angenommen, was $1,67 \frac{m}{s}$ entspricht. Dabei soll eine ausreichend hohe Messfrequenz erreicht werden. Hierbei soll spätestens nach einem gefahrenen Meter eine neue Position ermittelt werden. Hieraus folgt, dass die Messfrequenz des

Systems bei mindestens 1,67 Hz liegen soll (siehe Formel 3.1).

$$f_S = \frac{v_0}{\Delta x} = 1,67 \text{ Hz} \quad (3.1)$$

Um Kollisionen zu vermeiden, wird ein Sicherheitsabstand zu Objekten und Wänden von 0,5 m angenommen. Hierzu wird die Genauigkeit der Positionserkennung auf unter 0,05 m festgelegt, um bei einer Unterschreitung des Mindestabstands durch Ungenauigkeiten des Systems eine Kollision zu verhindern. Für die Orientierungserkennung hingegen wird eine Genauigkeit von unter 10° festgelegt.

Um die Position und Orientierung des Fahrzeugs bei der Verwendung von mindestens einem weiteren Umfeldsensordatenfusion ermittelt werden. Hierbei soll das Navigationssystem modular um weitere Umfeldsensordatenfusion erweiterbar sein. Um die Sicherheit des Fahrzeugs im Bezug auf die Positions- und Orientierungsbestimmung zu gewährleisten, müssen mögliche Fehler und Ausfälle der Teilsysteme erkannt werden. Hierbei soll das Navigationssystem weiterhin funktionsfähig sein.

Um mithilfe von Ultraschall eine Erkennung von Umgebung und Objekten eindeutig zu realisieren, soll dieses System aus mindestens zwei Sensoren bestehen. Diese sollen in Bezug auf Anordnung und Anzahl modular und skalierbar sein.

Da eine Integration des Navigationssystems in das Versuchsfahrzeug geplant ist, muss dies ermöglicht werden, ohne dass dadurch die Zulassung für den Straßenverkehr erlischt. Hierbei soll bei der Integration ein rückstandsfreier Ein- beziehungsweise Ausbau ermöglicht werden. Da bei dem Industrie-PC des Versuchsfahrzeugs als Betriebssystem *Ubuntu 16.04* zum Einsatz kommt, muss die Software des Navigationssystems auf diesem lauffähig sein. Hierbei soll das Navigationssystem in das Messsystem des Versuchsfahrzeugs integriert werden. Daraus folgt, dass die Implementierung des Navigationssystems unter Verwendung von ROS erfolgen soll. Die Spannungsversorgung des Systems soll dabei durch das Versuchsfahrzeug beziehungsweise dem Industrie-PC erfolgen. Hierzu muss das System auf 5 V beziehungsweise 12 V Spannungsversorgung ausgelegt werden.

Das Navigationssystem wird unter regengeschützten Bedingungen betrieben, da dieses für Indoor-Bereiche realisiert werden soll. Des Weiteren wird die Annahme getroffen, dass die Umgebungstemperatur in diesen Bereichen im Bereich von 0 °C bis 30 °C liegt.

Um die Positionsbestimmung des umfeldsensorbasierten Navigationssystems mit einer GNSS-basierten Positionsbestimmung vergleichbar zu machen, soll die Ausgabe der Position in Längen- und Breitengrad erfolgen.

ID	Beschreibung	Wert
1	Erkennung der Fahrzeugposition	
2	Erkennung der Fahrzeugorientierung	
3	Verwendung von Umfeldsensordaten	$n \geq 1$
4	Verwendung eines Ultraschallsensorsystems	
5	Erkennung von Objekten, die sich nicht im direkten Sichtfeld befinden	
6	Erkennung der Umgebung und von Objekten	
7	Möglichst hohe Detektionsreichweite der einzelnen Umfeldsensordaten	$x \geq 5 \text{ m}$
8	Ausreichend hohe Messfrequenz	$f \geq 1,67 \text{ Hz}$
9	Einsatzfähigkeit des Navigationssystems bei Schrittgeschwindigkeit	$v \leq 6 \frac{\text{km}}{\text{h}}$
10	Möglichst hohe Genauigkeit der Positionserkennung	$\Delta x < 0,05 \text{ m}$
11	Möglichst hohe Genauigkeit der Orientierungserkennung	$\Delta \phi < 10^\circ$
12	Bei der Verwendung von mehreren Umfeldsensordaten Positions- und Orientierungsbestimmung durch Sensordatenfusion	
13	Navigationssystem modular erweiterbar um weitere Umfeldsensordaten	
14	Funktionsfähigkeit des Navigationssystems bei Ausfall von Teilsystemen	
15	Verwendung von mindestens zwei Ultraschallsensoren	$n \geq 2$
16	Modulare und skalierbare Anordnung der Ultraschallsensoren	
17	Integration in das Versuchsfahrzeug ohne Erlöschen der Straßenverkehrszulassung	
18	Rückstandsfreier Ein- und Ausbau für das Versuchsfahrzeug	
19	Software des Navigationssystems lauffähig auf <i>Ubuntu 16.04</i>	
20	Implementierung des Navigationssystems mithilfe von ROS	
21	Spannungsversorgung durch Versuchsfahrzeug beziehungsweise Industrie-PC	5V, 12V
22	Betrieb unter regengeschützten Bedingungen	
23	Betrieb bei Umgebungstemperaturen für Indoor-Bereiche	0 °C bis 30 °C
24	Ausgabe der Position in geografischen Koordinaten	

Tabelle 3.1.: Anforderungen an das umfeldsensorbasierte Navigationssystem

4. Systementwurf

Aufbauend auf den analysierten Anforderungen wird in diesem Kapitel zunächst eine Systemarchitektur des umfeldsensorbasierten Navigationssystems konzipiert. Des Weiteren werden eine Architektur und eine Methode zur Positionsbestimmung des ultraschallbasierten Positionierungssystems entworfen. Abschließend wird ein Konzept zur Optimierung des Ultraschallsensorsystems entwickelt.

4.1. Systemarchitektur des umfeldsensorbasierten Navigationssystems

Um das umfeldsensorbasierte Navigationssystem zur Bestimmung von Position und Orientierung realisieren zu können, wird eine Systemarchitektur gewählt (siehe Abbildung 4.1), bei der die einzelnen positionsbestimmenden Systeme parallel angeordnet sind (vgl. Kichun u. a., 2015, S. 5121).

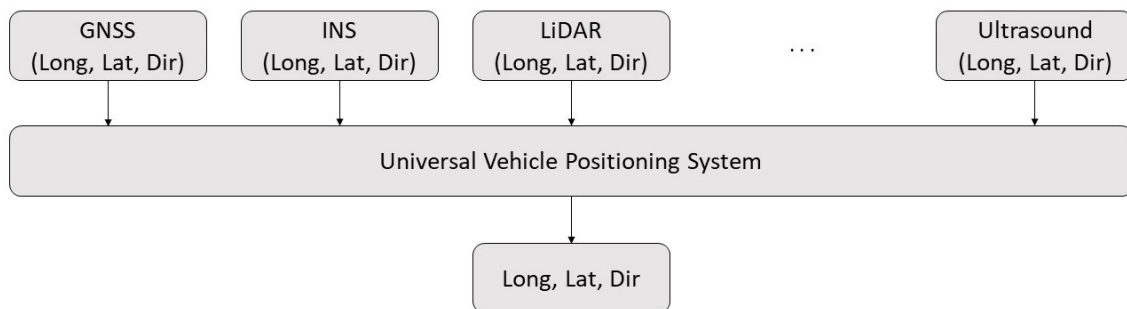


Abbildung 4.1.: Systemarchiturentwurf des Gesamtsystems

Hierbei stellt das *Universal Vehicle Positioning System* (UVPS) das umfeldsensorbasierte Navigationssystem dar. Dabei werden die Daten der einzelnen Teilsysteme zu Positions- und Orientierungsdaten des Navigationssystems fusioniert. Des Weiteren wird das GNSS/INS-System in das UVPS integriert, da die umfeldsensorbasierten Systeme eine zeitweise, alternative Erweiterung zu diesem darstellen. Hierdurch kann ebenfalls die Funktionsfähigkeit

des Navigationssystems gewährleistet werden, wenn Teilsysteme ausfallen oder nicht verfügbar sind. Ein weiterer Punkt, der für die gewählte Systemarchitektur spricht, ist, dass das Navigationssystem modular und skalierbar um weitere umfeldsensorbasierte Sensorsysteme erweiterbar ist.

Die analysierten Anforderungen aus Tabelle 3.1, die mit der entworfenen Systemarchitektur erfüllt werden, sind in Tabelle 4.1 zu sehen.

ID	Beschreibung
12	Bei der Verwendung von mehreren Umfeldsensordatenfusion
13	Navigationssystem modular erweiterbar um weitere Umfeldsensordatenfusion
14	Funktionsfähigkeit des Navigationssystems bei Ausfall von Teilsystemen

Tabelle 4.1.: Erfüllte Anforderungen der Systemarchitektur des umfeldsensorbasierten Navigationssystems

4.2. Ultraschallbasiertes Positionierungssystem

Der folgende Abschnitt beschreibt die Konzeptionierung des ultraschallbasierten Positionierungssystems. Hierbei wird zunächst auf die Architektur des ultraschallbasierten Positionierungssystems eingegangen. Abschließend wird eine Methode zur ultraschallbasierten Positionsbestimmung entwickelt.

4.2.1. Architektur des ultraschallbasierten Positionierungssystems

Abbildung 4.2 zeigt die Architektur des ultraschallbasierten Positionierungssystems (UPS) und stellt eine dezentrale, hierarchische Struktur mit unterschiedlichen Ebenen dar (vgl. Gotlib u. a., 2019, S. 8). Die oberste Ebene ist der Industrie-PC des Versuchsfahrzeugs, auf dem das UVPS implementiert wird. Die untere Ebene hingegen ist das UPS.

Das UPS unterteilt sich des Weiteren nochmals in zwei hierarchische Ebenen. Hierbei ist die obere Ebene eine zentrale Recheneinheit, die das Positionierungssystem steuert und die Kommunikation mit dem UVPS übernimmt. Auf der unteren Ebene befinden sich die Ultraschallsensoren des Ultraschallsensorsystems aus Abschnitt 2.2.1.

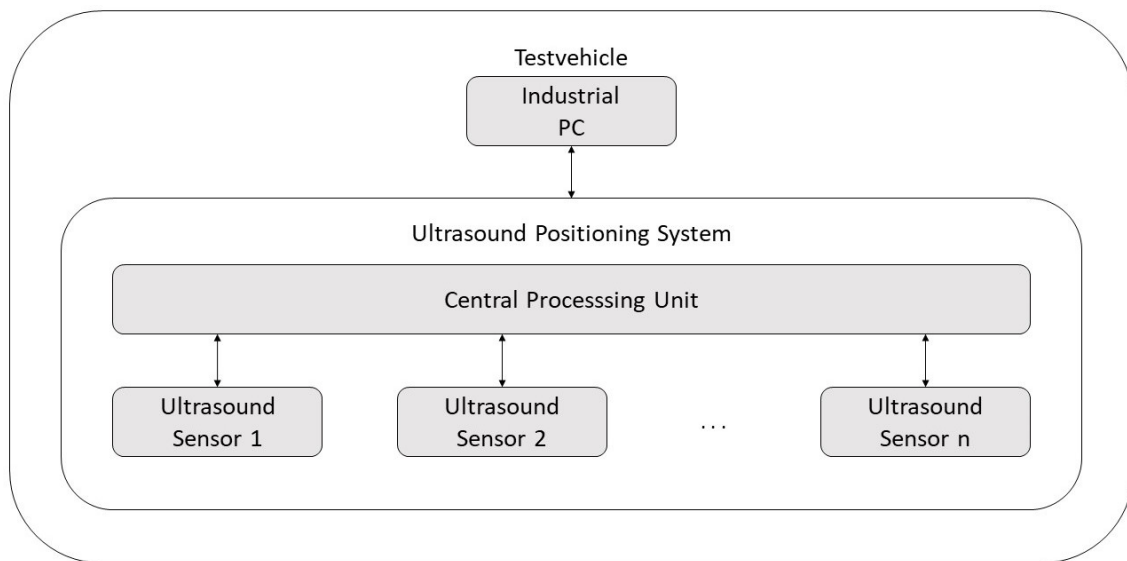


Abbildung 4.2.: Architekturentwurf des ultraschallbasierten Positionierungssystems

Diese Architektur ermöglicht eine modulare und skalierbare Anordnung der Ultraschallsensoren in Bezug auf Anzahl und Positionierung auf dem Fahrzeug. Ein möglicher Ausfall einzelner Ultraschallsensoren kann hierdurch ebenfalls abgefangen werden. Des Weiteren ist hierbei auch eine einfache Anbindung an den Industrie-PC des Versuchsfahrzeugs möglich. Ein weiterer Vorteil dieses dezentralen Architekturkonzepts ist, dass hierbei die Rechenlast zur Positionsbestimmung auf die zentrale Recheneinheit des UPS ausgelagert wird.

Tabelle 4.2 zeigt die Anforderungen aus Tabelle 3.1, die mit der entwickelten Architektur des UPS erfüllt werden.

ID	Beschreibung
3	Verwendung von Umfeldsensordaten
4	Verwendung eines Ultraschallsensorsystems
14	Funktionsfähigkeit des Navigationssystems bei Ausfall von Teilsystemen
15	Verwendung von mindestens zwei Ultraschallsensoren
16	Modulare und skalierbare Anordnung der Ultraschallsensoren
17	Integration in das Versuchsfahrzeug ohne Erlöschen der Straßenverkehrszulassung

Tabelle 4.2.: Erfüllte Anforderungen der Architektur des ultraschallbasierten Positionierungssystems

4.2.2. Methode zur ultraschallbasierten Positionsbestimmung

Für die Methode zur ultraschallbasierten Bestimmung von Position und Orientierung wird die Annahme getroffen, dass mithilfe von Ultraschallsensoren, die nicht nur das erste zurückkommende Ultraschallecho auswerten, die Umgebung durch Mehrfachreflexionen und mehrere zurückkommende Ultraschallechos charakterisiert werden kann (siehe Abbildung 4.3). Zur Charakterisierung einer Umgebung tragen markante Umgebungsbestandteile bei, wie zum Beispiel Wände oder Säulen. Mit der hierbei messbaren Ultraschallechosignatur ist eine Zuordnung zu einer Position und Orientierung möglich.

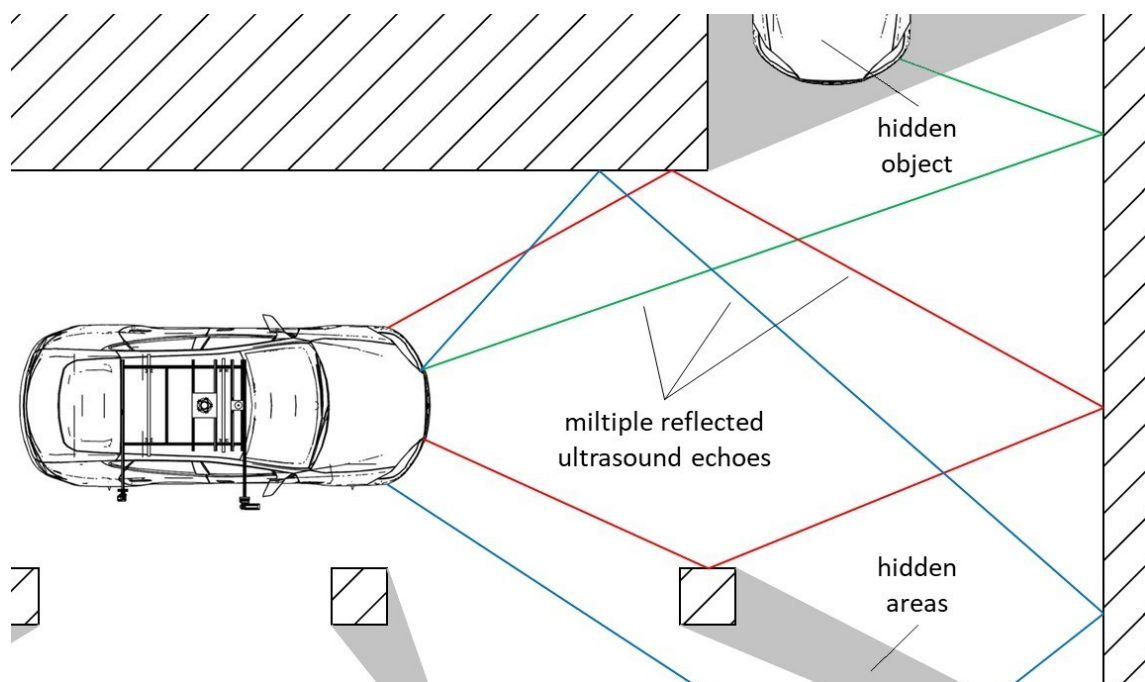


Abbildung 4.3.: Konzept zur Erkennung von Umgebung und verdeckten Objekten

Das Konzept sieht zur Positions- und Orientierungsbestimmung eine parallele Ultraschallmessung und -simulation vor (siehe Abbildung 4.4). Hierbei wird bei einer bereits bekannten Umgebung, in Form einer hinterlegten Karte, die Positionsermittlung durch einen Vergleich aus Messung und Simulation ermöglicht. Bei einer zu geringen Übereinstimmung wird dabei die Position optimiert, bis eine gültige Position gefunden wird.

Zur Simulation der Umgebung wird die Raytracing-Simulation aus Abschnitt 2.2.2 verwendet. Da die Ultraschallmessung eine Ultraschallsignatur einer 3D-Umgebung wiedergibt, wird die Simulation auf drei Dimensionen erweitert, um den Vergleich zwischen Messung und Simulation zu verbessern. Mit dem Vergleich zwischen Messung und Simulation können hierbei

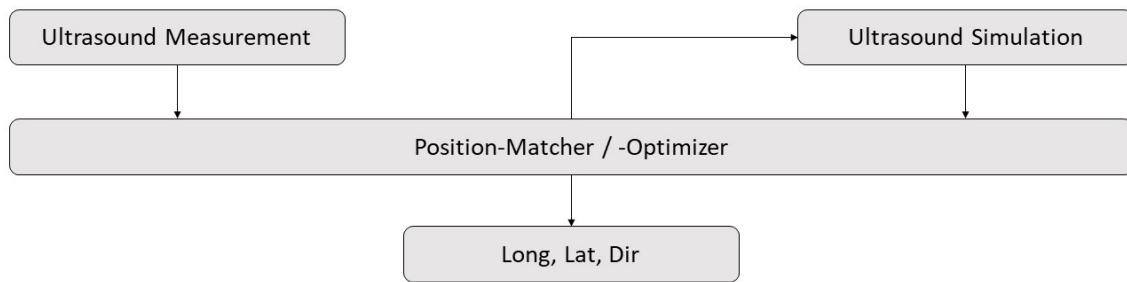


Abbildung 4.4.: Methodenkonzept der ultraschallbasierten Positions- und Orientierungsbestimmung

ebenfalls Objekte, die nicht fest in der Umgebung integriert sind beziehungsweise sich außerhalb des sichtbaren Bereichs befinden, erkannt werden.

In Tabelle 4.3 sind die aus Tabelle 3.1 erfüllten analysierten Anforderungen zu sehen.

ID	Beschreibung
1	Erkennung der Fahrzeugposition
2	Erkennung der Fahrzeugorientierung
5	Erkennung von Objekten, die sich nicht im direkten Sichtfeld befinden
6	Erkennung der Umgebung und von Objekten

Tabelle 4.3.: Erfüllte Anforderungen der Methode zur ultraschallbasierten Positionsbestimmung

4.3. Optimierung des Ultraschallsensors

Aufbauend auf dem Ultraschallsensorsystem aus Abschnitt 2.2.1 wird das Ultraschallsensorsystem optimiert und an die Aufgabe des UVPS angepasst. Hierzu wird die Architektur des Ultraschallsensors optimiert. Damit das Ultraschallsensorsystem flexibler eingesetzt werden kann, betrifft ein weiterer Optimierungsansatz die Spannungsversorgung des Ultraschallsensors. Des Weiteren wird ein Konzept zur verbesserten Synchronisation der Ultraschallsensoren untereinander entwickelt.

Architektur des Ultraschallsensors

Die Optimierung der Ultraschallsensorarchitektur sieht vor, dass diese im Hinblick auf eine modulare, skalierbare Anordnung und einer möglichst hohen Detektionsreichweite angepasste wird (siehe Abbildung 4.5). Bei dem Konzept der optimierten Ultraschallsensorarchitektur bleibt die variable Zuteilung des Masterstatus weiterhin erhalten, wodurch die Ultraschallsensoren identisch aufgebaut werden können.

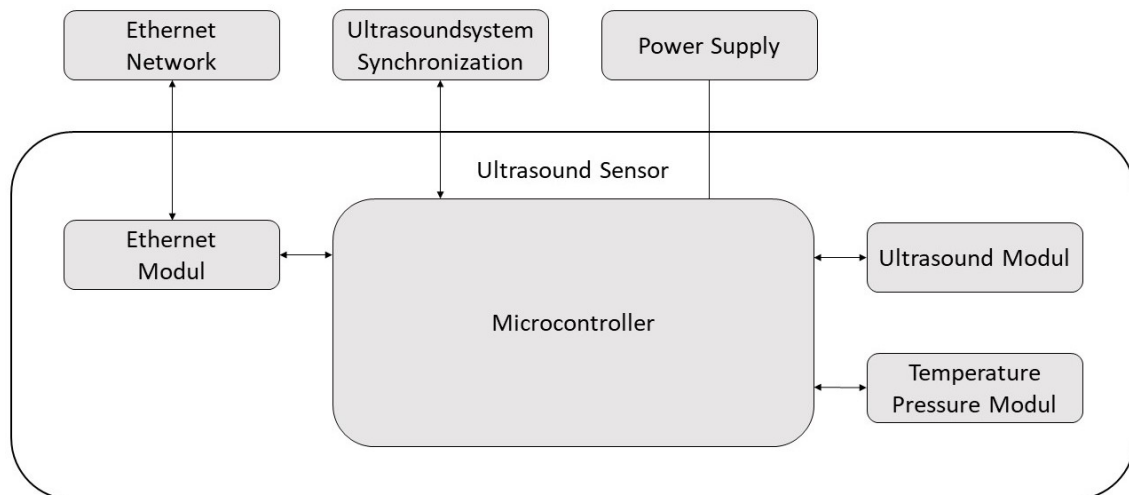


Abbildung 4.5.: Architekturentwurf des optimierten Ultraschallsensors

Die Analyse im Vorfeld dieser Arbeit hat gezeigt, dass durch den Austausch der Pfade für das Senden und Empfangen von Ultraschall eine höhere Detektionsreichweite realisiert werden kann. Um eine Detektionsreichweite von mindestens 5 m zu realisieren, werden diese durch ein Ultraschallmodul ausgetauscht, welches Senden und Empfangen kann. Die Module für das Messen von Umgebungstemperatur und -druck beziehungsweise der Ethernetkommunikation bleiben hingegen bestehen. Ebenfalls bestehen bleibt das Mikrocontrollerboard als Recheneinheit des Ultraschallsensors.

Spannungsversorgung des Ultraschallsensors

Da die Spannungsversorgung der Ultraschallsensoren mithilfe von integrierten 5 V-Akkus und der Erzeugung von unterschiedlichen Betriebsspannungen (vgl. Rotzlawski, 2018, S. 48) den Bauraum der Ultraschallsensoren erhöht und hierbei eine Überwachung der Akkuladestände nötig ist, wird die Spannungsversorgung von einer internen hinzu einer externen Spannungsversorgung umgewandelt. Hierbei wird die Spannungsversorgung über das Versuchsfahrzeug beziehungsweise dem Industrie-PC erfolgen. Hierzu werden alle Ultraschallsensoren von derselben Spannungsquelle versorgt.

Synchronisation der Ultraschallsensoren

Die Synchronisation der Ultraschallsensoren untereinander wird von einer einfachen Verbindungsleitung zu einer Ringleitung optimiert (siehe Abbildung 4.6). Hierbei wird die Funktion der Synchronisationsringleitung, dem vom Mastersensor gesteuerten Starten und Beenden einer Ultraschallmessung, beibehalten. Zusätzlich wird die Synchronisationsringleitung um die Funktion des Auslösens eines Resets der Ultraschallsensoren erweitert. Damit der Mastersensor nicht für jede Messung einzeln ausgewählt und gestartet werden muss, wird die Weitergabe des Masterstatus über die Synchronisationsringleitung realisiert. Hierdurch wird die modulare und skalierbare Anwendung der Ultraschallsensoren weiter erhöht.

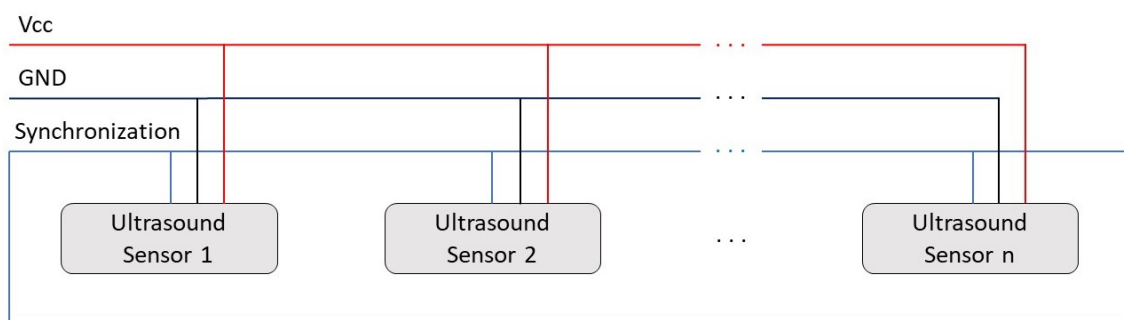


Abbildung 4.6.: Entwurf zur Synchronisation des Ultraschallsensorsystems

Die durch das Konzept des optimierten Ultraschallsensors erfüllten Anforderungen an das UVPS aus Tabelle 3.1 sind in Tabelle 4.4 zu sehen.

ID	Beschreibung
7	Möglichst hohe Detektionsreichweite der einzelnen Umfeldsensorsysteme
15	Verwendung von mindestens zwei Ultraschallsensoren
16	Modulare und skalierbare Anordnung der Ultraschallsensoren
21	Spannungsversorgung durch Versuchsfahrzeug beziehungsweise Industrie-PC

Tabelle 4.4.: Erfüllte Anforderungen des optimierten Ultraschallsensors

5. Realisierung

Die Realisierung beschreibt zunächst die Umsetzung des optimierten Ultraschallsensors. Aufbauend darauf folgt die Umsetzung des ultraschallbasierten Positionierungssystems. Den Kapitelabschluss bildet die Realisierung des umfeldsensorbasierten Navigationssystems als Gesamtsystem.

5.1. Ultraschallsensor

Aufbauend auf dem optimierten Konzept erfolgt folgend die Umsetzung der Ultraschallsensoren. Hierzu wird zunächst für das Ultraschallmodul eine Komponentenauswahl getroffen. Anschließend erfolgt eine Ausarbeitung einer definierten Ultraschallsensorarchitektur. Des Weiteren werden die Synchronisation und Spannungsversorgung der Ultraschallsensoren realisiert. Ein weiterer Bestandteil der Umsetzung ist das Hardwaredesign des Ultraschallsensors. Abschließend wird die Software des Ultraschallsensors an die Optimierungen angepasst.

5.1.1. Komponentenauswahl des Ultraschallmoduls

Als Ultraschallmodul wird ein *MaxBotix XL-MaxSonar*-Modul verwendet, da dieses die Erkennung von mehreren zurückkommende Ultraschallechos ermöglicht (vgl. MaxBotix, 2015, S. 1). Hierzu wird als Ultraschallmodul der *XL-MaxSonar 1360* verwendet, da dieser im Vergleich zum *XL-MaxSonar 1300* eine höhere Reichweite aufweist. Ein Vergleich der Spezifikationen des Ultraschallmoduls mit den Anforderungen auf Tabelle 3.1 ist in Tabelle 5.1 zu sehen.

Hierbei bietet das Ultraschallmodul mit bis zu 10,68 m eine hohe Detektionsreichweite, was eine ausreichend hohe Reichweite darstellt. Des Weiteren liefert das Ultraschallmodul ein analoges und ein digitales Ausgangssignal. Mit dem digitalen Ausgangssignal ist allerdings nur eine einfache Distanzmessung möglich. Das analoge Ausgangssignal liefert eine Hüllkurve der zurückkommenden Ultraschallechos, womit eine Erkennung von Objekten und der Umgebung ermöglicht wird. Der *XL-MaxSonar MB1360* hat eine feste Messzeit vom 100 ms.

Spezifikation	Wert	Anforderung
Detektionsbereich	0,2 ... 10,68 m	$x \geq 5 \text{ m}$
Messrate	max. 8,3 Hz	$f \geq 1,67 \text{ Hz}$
Messfrequenz	42 kHz	-
Ausgangssignal	Amplituden der Ultraschallechos (analog) einfache Distanz (digital)	-
Operationsmodi	frei laufend getriggert	-
Spannungsversorgung	3,3 ... 5 V	5 V, 12 V
Betriebstemperatur	-40 ... 65 °C	0 °C bis 30 °C

Tabelle 5.1.: Spezifikationen des *MaxBotix XL-MaxSonar MB1360* im Vergleich zu den Anforderungen

Beim Start einer Messung benötigt das Modul zusätzlich 20,5 ms für die Kalibrierung. Hierdurch kann eine Messrate von 8,3 Hz realisiert werden (vgl. MaxBotix, 2015, S. 1).

Durch die kompakte Bauform und der integrierten Verstärkerschaltung kann der *XL-MaxSonar MB1360* leicht und platzsparend in den Ultraschallsensor integriert werden. Des Weiteren ist der Sensor durch seine Eigenschaften für Multisensorsysteme und den Einsatz für autonome mobile Systeme, wie etwa das autonome Fahren, geeignet.

Da eine Erkennung von mehreren zurückkommenden Ultraschallechos nur über den analogen Pfad des Moduls möglich ist, wird dieses an den A-/D-Wandler des *Arduino Dues* angeschlossen.

5.1.2. Vertiefung der Ultraschallsensorarchitektur

Im Folgenden wird die Architektur des Ultraschallsensors detaillierter definiert (siehe Abbildung 5.1). Hierzu werden die einzelnen Module in die Ultraschallsensorarchitektur integriert. Des Weiteren wird die Architektur um die Schnittstellenart, die die einzelnen Module am Mikrocontroller verwenden, erweitert.

Vergleichbar zur Ultraschallsensorarchitektur aus Abschnitt 2.2.1 sind das *Arduino Due* Mikrocontrollerboard und das *WIZnet W5500* Ethernet-Shield. Hierbei wird zur Kommunikation zwischen Mikrocontrollerboard und Ethernet-Shield weiterhin SPI als Schnittstelle verwendet. Durch das Ethernet-Shield ist der Ultraschallsensor weiterhin an ein Ethernetnetzwerk angeschlossen.

Das Modul zum Messen von Umgebungsdruck und -temperatur wird leicht angepasst. Da das *Adafruit BMP280* Board nur als Verbindungsboard dient, wird auf dieses verzichtet und

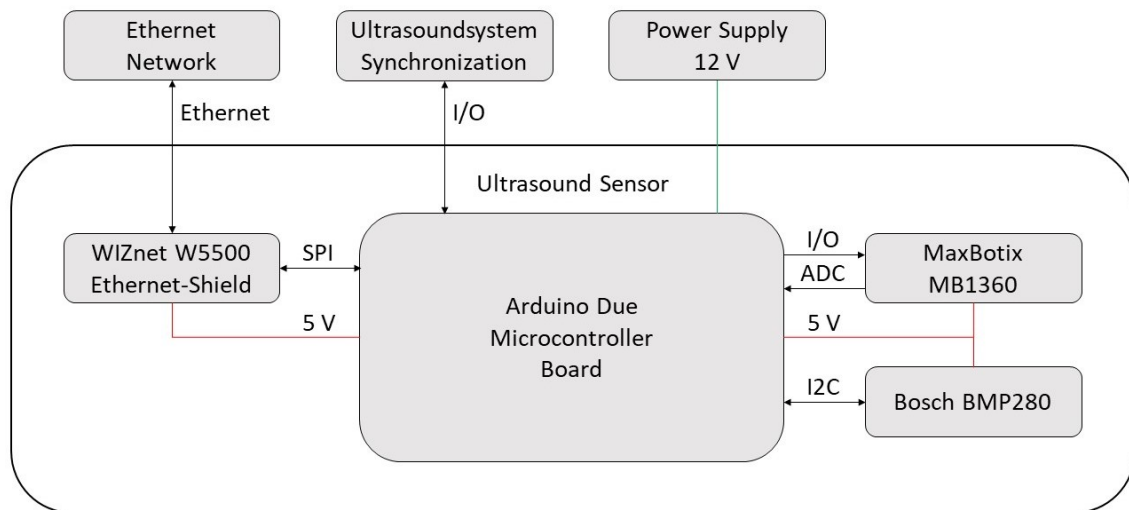


Abbildung 5.1.: Definierte Architektur des Ultraschallsensors

der *Bosch BMP280* direkt angesteuert. Als Schnittstelle zum Mikrocontrollerboard wird weiterhin I2C verwendet.

Durch die Verwendung des *MaxBotix* Ultraschallmoduls werden die Pfade zum Senden und Empfangen von Ultraschall eingespart, da diese auf dem Modul integriert sind. Um eine Messung des Ultraschallmoduls auszulösen, wird dieses an einen I/O-Pin des *Arduino Dues* angeschlossen. Die Schnittstelle zur Digitalisierung der empfangenen Ultraschallechos ist hingegen ein ADC-Pin des Mikrocontrollerboards.

Des Weiteren werden als Schnittstellen zur Synchronisation der Ultraschallsensoren untereinander und der Weitergabe des Masterstatus I/O-Pins des Mikrocontrollerboards verwendet.

Da der *Arduino Due* über einen integrierten Spannungsregler verfügt, der 5 V zur Verfügung stellt, werden die einzelnen Module des Ultraschallsensors über diesen mit Betriebsspannung versorgt. Hierzu wird der *Arduino Due* an eine externe 12 V Spannungsquelle angeschlossen.

Durch den Wegfall der Sende- und Empfangspfade und den Verzicht auf das *Adafruit* Board wird Bauraum eingespart, wodurch eine deutlich kompaktere Bauform realisiert wird.

5.1.3. Synchronisation und Spannungsversorgung der Ultraschallsensoren

Die Synchronisation der Ultraschallsensoren erfolgt, wie im Kapitel Systementwurf beschrieben, über eine Ringleitung. Hierbei wird die Ringleitung über die Funktion der Spannungsversorgung der Ultraschallsensoren erweitert (siehe Abbildung 5.2). Die Umsetzung der Ringleitung erfolgt als zehnadriges Flachbandkabel mit Pfostenverbindern (siehe Anhang A.1). Die Verbindung zu den einzelnen Ultraschallsensoren erfolgt dabei über je zwei Wannenstecker. Das Flachbandkabel hat hierbei einen Aderquerschnitt von $0,09 \text{ mm}^2$.

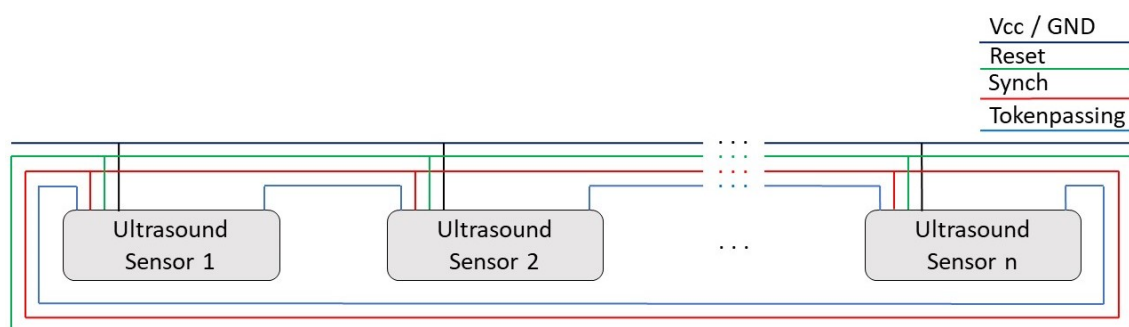


Abbildung 5.2.: Synchronisation und Spannungsversorgung der Ultraschallsensoren

Für die Aderanzahl, die für die Spannungsversorgung verwendet werden, wird die Annahme getroffen, dass maximal sechs Ultraschallsensoren mit einer Ringleitung synchronisiert und mit Spannung versorgt werden. Hierfür werden für die Spannungsversorgung drei Adern des Flachbandkabels verwendet, um die Stromstärke pro Ader auf maximal 1 A zu begrenzen. Des Weiteren werden vier Flachbandadern als Masse verwendet.

Die restlichen drei Flachbandadern dienen der Synchronisation der Ultraschallsensoren. Hierbei wird eine Ader zur Synchronisation der Messung verwendet. Das heißt, dass die Ultraschallmessungen der Ultraschallsensoren synchronisiert gestartet und beendet werden. Über eine weitere Ader kann ein Reset der Ultraschallsensoren, die mit der Ringleitung verbunden sind, ausgelöst werden. Hierbei wird der Reset vom Ultraschallsensor mit dem Masterstatus ausgelöst.

Die letzte Ader wird für die Weitergabe des Masterstatus verwendet. Hiermit kann der Masterstatus über ein Token Passing nach einem Messdurchlauf an den jeweils nächsten Ultraschallsensor weitergegeben werden. Mit dem Token Passing wird realisiert, dass der jeweilige Messprozess nur einmal angestoßen und allen Ultraschallsensoren an der Ringleitung einmal der Masterstatus zugeteilt wird. Der Messprozess unterteilt sich dabei in unterschiedliche Messdurchläufe, bei denen der jeweilige Ultraschallsensor mit dem Masterstatus einen

Ultraschallpuls aussendet und den Messdurchlauf über die Synchronisationsleitung startet und wieder beendet.

5.1.4. Hardwaredesign

Dieser Abschnitt beschreibt zunächst das Platinenlayout, um die Synchronisation und Spannungsversorgung der Ultraschallsensoren zu realisieren. Des Weiteren wird mit dem Platinenlayout die Integration des Ultraschallmoduls und des Moduls zur Messung von Umgebungstemperatur und -druck in den Ultraschallsensor umgesetzt. Anschließend erfolgt die Realisierung des Ultraschallsensorgehäuses.

Platinendesign

Um eine möglichst kompakte Bauform zu realisieren und den Formfaktor des *Arduino Dues* zu bewahren (vgl. Arduino, 2020), wird die Platine neben dem Ethernet-Shield auf dem Mikrocontrollerboard platziert. Hierbei werden die Verbindungen zwischen Platine und Mikrocontrollerboard mithilfe von Stiftleisten hergestellt. Dabei wird die Grundfläche der Platine auf $53,4\text{ mm} \times 35,95\text{ mm}$ festgelegt (siehe Anhang A.2 und A.3).

Damit auf der Platine eine Verbindung zur Ringleitung zum Synchronisieren und zur Spannungsversorgung realisiert wird, werden auf dieser zwei Wannenstecker platziert. Zur Stabilisierung der Spannungsversorgung wird ein $470\text{ }\mu\text{F}$ Kondensator verwendet. Des Weiteren wird die Spannungsversorgung mit dem 12 V Eingang des *Arduino Dues* verbunden (siehe Abbildung 5.3). Um die einzelnen Komponenten mit Spannung zu versorgen, wird die 5 V Spannung des Mikrocontrollerboards verwendet. Zusätzlich wird eine $3,3\text{ V}$ Spannung auf der Platine erzeugt.

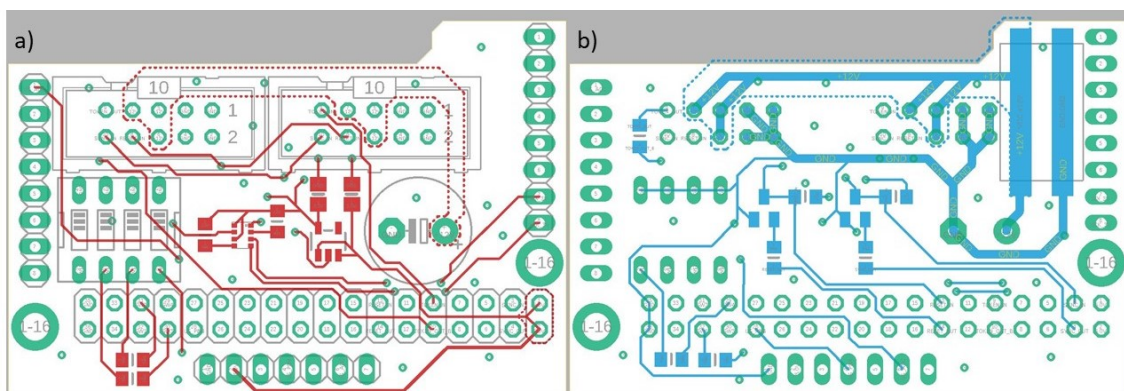


Abbildung 5.3.: Platinenlayout a) Oberseite und b) Unterseite

Ein weiterer Punkt ist die Zuweisung der Sensornummer. Da das softwaretechnische Zuweisen der Sensornummer fehleranfällig ist und der Ultraschallsensor bei einer neuen Sensornummer neu programmiert werden muss, wird auf der Platine ein 4-poliger DIP-Schalter platziert, über den die Sensornummer zugewiesen werden kann. Da der DIP-Schalter mit I/O-Pins des Mikrocontrollers verbunden ist und diese bei Betätigung auf Masse gezogen werden, werden zwischen den I/O-Pins und dem DIP-Schalter Widerstände platziert, um den Strom zu begrenzen.

Das Synchronisieren und Resetten der Ultraschallsensoren wird mithilfe identischer Open-Collector Schaltungen mit Pull-Up Widerstand realisiert. Hierbei werden die Leitungen mit dem Pull-Up Widerstand auf 3,3 V gehalten. Zum Resetten beziehungsweise Synchronisieren schaltet der Ultraschallsensor mit dem Masterstatus den NMOS-Transistor und zieht die jeweilige Leitung auf Masse.

Des Weiteren wird der Ausgangspin, der das Token des Masterstatus an den nächsten Ultraschallsensor weitergibt, über die Ringleitung mit dem Eingangspin des nächsten Ultraschallsensors verbunden. Hierbei wird ebenfalls ein Widerstand zwischen den Pins platziert, um den Strom zu begrenzen.

Der *Bosch BMP280* Sensor wird auf der Oberseite der Platine platziert und mit der erzeugten 3,3 V Spannung versorgt. Das Ultraschallmodul wird mit einer 90° Stiftleiste angebracht und in Längsrichtung des Mikrocontrollerboards ausgerichtet. Hierdurch wird eine flexible Verbindung zwischen Platine und Ultraschallmodul realisiert, wobei das Ultraschallmodul modular ausgetauscht werden kann.

Die aufgebaute und auf den *Arduino Due* aufgesteckte Platine ist in Abbildung 5.4a zu sehen. Abbildung 5.4b zeigt die Verbindung zwischen der Spannungsversorgung und dem 12 V Eingang des *Arduino Dues*. Hierdurch kann ein *Arduino Due* mit externer Spannung versorgt werden, wodurch durch die Ringleitung die jeweils anderen *Arduino Dues* mit Spannung versorgt werden.

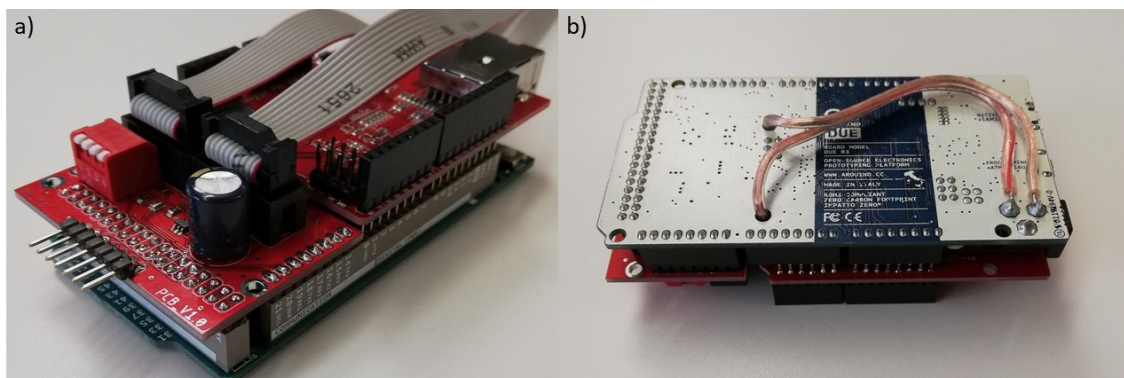


Abbildung 5.4.: a) aufgebaute Platine und b) Spannungsversorgung des *Arduino Dues*

Gehäuse

Damit der Ultraschallsensor flexibel an dem Versuchsfahrzeug angebracht werden kann, wird ein Gehäuse für diesen entworfen (siehe Abbildung 5.5). Hierzu nimmt das Gehäuse ein Grundvolumen von $68\text{ mm} \times 43\text{ mm} \times 125\text{ mm}$ ein (siehe Anhang A.4), wodurch eine kompakte Bauform erreicht wird und der Formfaktor des *Arduino Dues* mit zwei aufgesteckten Platinen erhalten bleibt.

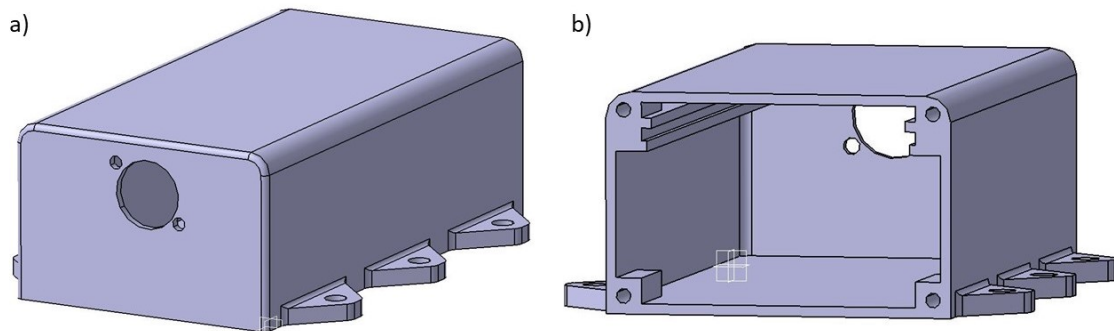


Abbildung 5.5.: CAD-Modell des Ultraschallsensorgehäuses a) Vorderansicht und b) Rückansicht

Die Verbindung des Ultraschallmoduls mit dem Gehäuse wird durch eine Verschraubung an der Vorderseite realisiert. Hierbei erfolgt die Anbringung von der Innenseite des Gehäuses, wobei das Ultraschallmodul durch eine Bohrung nach außen ragt. Die Positionierung des Mikrocontrollerboards erfolgt mithilfe von Führungsschienen. Hiermit kann das Mikrocontrollerboard in das Gehäuse geschoben werden, wobei die Führungsschienen die Zusammenführung der Verbindung zwischen der Platine und dem Ultraschallmodul gewährleisten.

Um das Mikrocontrollerboard in dem Gehäuse zu fixieren und um das Gehäuse zu verschließen, wird an der Rückseite des Gehäuses ein Deckel angebracht. Des Weiteren verfügt das Gehäuse zur flexiblen und modularen Anbringung an das Versuchsfahrzeug über sechs Laschen zur Befestigung. Hierbei wird das Ultraschallsensorgehäuse mit einem 3D-Druck als Rapid Prototyping Verfahren hergestellt. Des Weiteren ist in Abbildung 5.6 ein optischer Vergleich zwischen dem Ultraschallsensor aus Abschnitt 2.2.1 und dem optimierten Ultraschallsensor zu sehen.

5.1.5. Software der Ultraschallsensoren

Da das Hardwaredesign deutlich verändert wurde, ist ebenfalls eine Optimierung der Ultraschallsensorsoftware erforderlich (siehe Anhang C). Hierbei wird der Softwareablauf deutlich verschlankt.

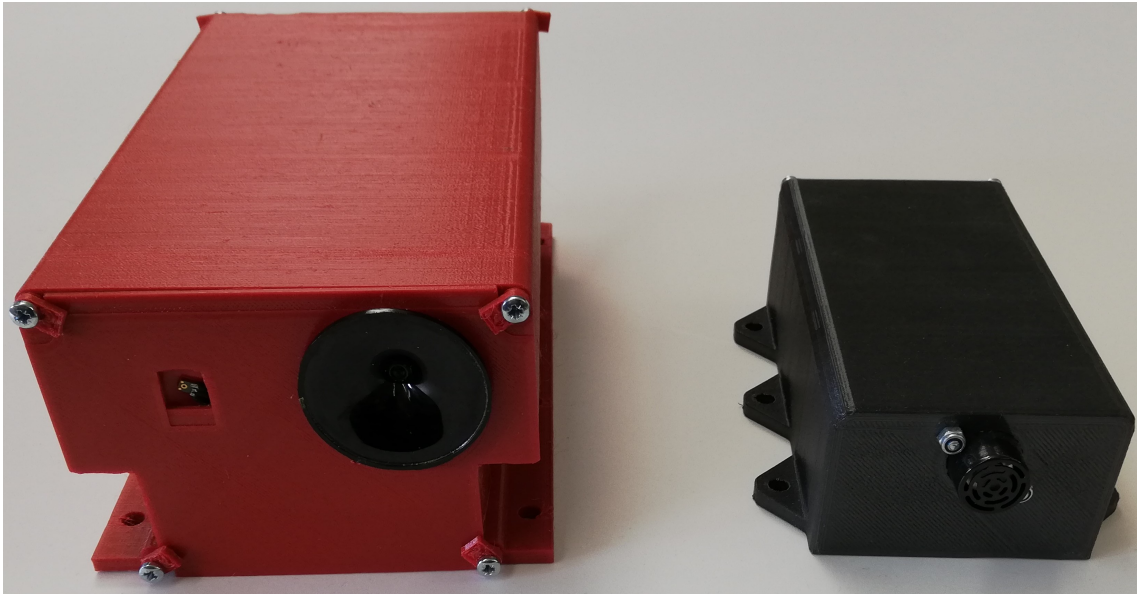


Abbildung 5.6.: Links der Ultraschallsensor aus Abschnitt 2.2.1 und rechts der optimierte Ultraschallsensor

Hierzu wird zunächst der Ablauf des Hauptprogramms angepasst (siehe Anhang B.1). Der Hauptablauf wird so angepasst, dass die Ultraschallsensoren automatisch während des Systemstarts den Slavestatus erhalten. Dadurch entfällt die Zuteilung des Slavestatus über das Ethernetprotokoll. Hierbei muss nur noch an den Ultraschallsensor, der den Masterstatus erhält und den Messprozess startet, ein Ethernetprotokoll gesendet werden. Des Weiteren wird der Systemstart der Ultraschallsensoren angepasst. Dieser erhält zusätzlich eine Power-Up-Phase von 200 ms für den Start des Ultraschallmoduls (vgl. MaxBotix, 2015, S. 6). Ebenfalls Bestandteil des Systemstarts ist die Abfrage der Sensornummer, mit der die IP-Adresse festgelegt wird. Dies geschieht über die Abfrage der entsprechenden Eingangspins des Mikrocontrollerboards. An den Abfragen des Status beziehungsweise der Anforderung einer Umgebungstemperatur und -druck Messung wird hingegen nichts verändert.

Ein weiterer Punkt der Optimierung ist die Anpassung des Slavemode. Hier erfolgt am Ende eines Messdurchlaufs, durch das Hinzufügen des Token Passings, eine Abfrage, ob der entsprechende Ultraschallsensor das Mastertoken erhalten hat und hierdurch einen neuen Messdurchlauf startet.

Im Bezug auf das verwendete Ultraschallmodul erfolgt die Optimierung des Mastermode. Hierbei wird am Start einer Messung zunächst das Ultraschallmodul angesteuert. Das Ultraschallmodul benötigt dabei $20,5\text{ ms}$, um eine Messung zu starten, da dieses vor einer Messung kalibriert wird (vgl. MaxBotix, 2015, S. 6). Da der Ultraschallsendepfad entfernt wurde, wird die Erzeugung des Sendepulses nicht mehr benötigt und wird ebenfalls entfernt.

Des Weiteren wird die eigentliche Messung über die Ringleitung gestartet. Hierbei dauert eine Messung 100 ms . Am Ende einer Messung wird das Token Passing implementiert, bei dem das Mastertoken an den nächsten Ultraschallsensor weitergegeben wird. Das Token Passing wird so implementiert, dass dieses aktiviert beziehungsweise deaktiviert werden kann.

Das Resetten der Ultraschallsensoren erfolgt bei aktiviertem Token Passing dabei nach einem Messprozess. Das heißt, wenn alle Ultraschallsensoren für ein Messdurchlauf das Mastertoken hatten und dies wieder an den ersten Ultraschallsensor übergeben wird. Bei deaktiviertem Token Passing hingegen wird von dem jeweiligen Ultraschallsensor mit dem Mastertoken das Resetten direkt nach dem ersten Messdurchlauf durchgeführt.

Eine weitere Softwareoptimierung betrifft die Abtastrate des A-/D-Wandlers. Da das Ultraschallmodul eine deutlich niedrigere Frequenzbandbreite als das MEMS-Mikrofon des Ultraschallsensors aus Abschnitt 2.2.1 besitzt und dadurch eine Abtastrate von 200 kHz nicht erforderlich ist, wird diese reduziert. Die typische Bandbreite von Ultraschallsensoren liegt im Bereich von 1 kHz bis $2,5\text{ kHz}$. Da in dem Datenblatt des Ultraschallmoduls diesbezüglich keine Angabe gemacht wird, wird eine Bandbreite von $2,5\text{ kHz}$ angenommen. Für diesen Fall sollte die Abtastrate unter Beachtung des Abtasttheorems bei mindestens 5 kHz liegen (siehe Formel 5.1). Um allerdings eine gute Unterscheidung von mehreren zurückkommenen Ultraschallechos zu realisieren und diesbezüglich eine hohe Auflösung zu erhalten, wird die Abtastrate auf 100 kHz festgelegt.

$$f_s \geq 2B_{US} \geq 5\text{ kHz} \quad (5.1)$$

Da der Hauptprogrammablauf optimiert wurde, müssen mit dem Ethernetprotokoll deutlich weniger Parameter übertragen werden. Hierbei wird die Komplexität des Ethernetprotokolls reduziert. Des Weiteren werden dem Ethernetprotokoll Identifier- und Check-Bytes hinzugefügt, um Fehler in der Kommunikation abzufangen und ein Fehlverhalten der Ultraschallsensoren zu vermeiden. Das überarbeitete Ethernetprotokoll ist in Tabelle 5.2 zu sehen. Die Kommunikation wird ebenfalls so angepasst, dass für die Ethernetpakete nur ein Ethernetport verwendet wird.

Nachricht	Instruktion		Antwort		
	Identifizier	Check	Identifizier	Check	Daten
Status	0x4242	Counter 2 byte	0x4242	Counter	- - -
Temperatur & Druck	0xABCD	Counter 2 byte	0xABCD	Counter	- - -
			0xABCD	- - -	3 byte Druck 3 byte Temperatur 24 byte Kalibrierung
Messung	0xF00F	Counter 2 byte	0xF00F (Antwort)	Counter	- - -
			0xF00F (Messung)	- - -	2 byte UDP-Counter 1460 byte Daten
			0xF042 (Ende)	- - -	2 byte UDP-Counter
Fehler	- - -	- - -	0xFFFF	0xFFFF	- - -

Tabelle 5.2.: Aufbau des Ethernetprotokolls zur Kommunikation

5.2. Ultraschallbasiertes Positionierungssystem

Im folgenden Abschnitt wird zunächst die Auswahl der eingebetteten zentralen Recheneinheit beschrieben. Aufbauend darauf erfolgt eine detailliertere Architektur des ultraschallbasierten Positionierungssystems. Ein weiterer Punkt ist die Anordnung der Ultraschallsensoren. Anschließend wird die Software des ultraschallbasierten Positionierungssystems realisiert. Aufbauend auf der Software folgt die Umsetzung der Algorithmen zur ultraschallbasierten Positionsbestimmung.

5.2.1. Komponentenauswahl der eingebetteten zentralen Recheneinheit

Da die zentrale Recheneinheit für die Berechnungen und damit für die Positionsbestimmung des UPS zuständig ist, üben die Eigenschaften der zentralen Recheneinheit einen großen Einfluss auf die Leistungsfähigkeit des UPS aus. Hierbei wird als zentrale Recheneinheit ein eingebettetes System verwendet. Hierzu werden der *Raspberry Pi 4 Model B* (vgl. RaspberryPi, 2020, S. 1) und der *NVIDIA Jetson Nano* (vgl. NVIDIA, 2020a, S. 1) miteinander verglichen. Abschließend wird ein Board als eingebettete zentrale Recheneinheit ausgewählt.

Raspberry Pi 4 Model B

Das *Raspberry Pi 4 Model B* Board ist ein Einplatinencomputer mit vier ARM-Prozessoren und einem Takt von $1,5\text{ GHz}$. Das Board verfügt über einen wählbaren Arbeitsspeicher von 1 GB bis 4 GB . Hauptspeicher ist auf dem Board keiner vorhanden. Dies wird hingegen mit einer SD-Karte gelöst, die ebenfalls mit dem Image des Betriebssystems geflasht wird. Die für den Einsatz als eingebettete zentrale Recheneinheit relevanten Schnittstellen sind jeweils zwei USB 2.0 und 3.0 Buchsen, eine WLAN- sowie eine Gigabit-Ethernet-Schnittstelle. Des Weiteren verfügt das Board über 40 GPIO-Pins. Ein weiteres Merkmal des *Raspberry Pi* ist eine im SoC integrierte GPU-Einheit, die im Datenblatt allerdings nicht weiter spezifiziert wird (vgl. RaspberryPi, 2020, S. 6).

Es wird für das Board eine Spannungsversorgung von 5 V benötigt. Hierbei sollte das Board mit mindestens $2,5\text{ A}$ in der Spitze versorgt werden können. Des Weiteren kann das Board über eine optionale Platine mithilfe von PoE mit Spannung versorgt werden (vgl. RaspberryPi, 2020, S. 6).

Die Maße des *Raspberry Pi 4 Model B* betragen $85\text{ mm} \times 56\text{ mm} \times 20\text{ mm}$. Das Board verfügt über keine passive beziehungsweise aktive Kühlung, die allerdings nachgerüstet werden kann (vgl. RaspberryPi, 2020, S. 6).

NVIDIA Jetson Nano

Bei dem *NVIDIA Jetson Nano* handelt es sich um ein System on Module. Hierbei verfügt das Board über vier ARM-Prozessoren mit einem Takt von $1,43\text{ GHz}$. Der Arbeitsspeicher beträgt dabei 4 GB . Das Board verfügt ebenfalls, wie das *Raspberry Pi* Board, über keinen integrierten Hauptspeicher. Dieser muss dem Board mithilfe einer SD-Karte zur Verfügung gestellt werden, auf der ebenfalls das Image des Betriebssystems gespeichert wird. Das Board verfügt als Schnittstelle über vier USB 3.0 Buchsen. Des Weiteren besitzt das Board eine Gigabit-Ethernet- und eine WLAN-Schnittstelle. Die Anzahl der GPIO-Pins beträgt 40. Des Weiteren verfügt das Board über eine Grafikeinheit mit 128 Kernen. Dabei eignet sich der *Jetson Nano* für Anwendungen im Bereich des maschinellen Lernens (vgl. NVIDIA, 2020a, S. 1).

Die Spannungsversorgung, die das Board benötigt, beträgt 5 V . Hierbei wird ein Maximalstrom von 4 A benötigt. Das Board kann dabei über PoE mit Spannung versorgt werden (vgl. NVIDIA, 2020a, S. 1).

Die Abmessungen des *NVIDIA Jetson Nano* betragen $100\text{ mm} \times 80\text{ mm} \times 29\text{ mm}$. Des Weiteren verfügt das Board über einen Kühlkörper als passive Kühlung, wobei ein Lüfter als aktive Kühlung nachgerüstet werden kann (vgl. NVIDIA, 2020a, S. 1).

Auswahl der eingebetteten zentralen Recheneinheit

Vergleicht man die beiden eingebetteten Systeme miteinander, weisen beide identische Eigenschaften auf (siehe Tabelle 5.3). Hierbei besitzt der *Jetson Nano* einen etwas niedrigeren Prozessortakt. Des Weiteren benötigt der *Jetson Nano* mehr Strom. Dieser hat allerdings die Möglichkeit der Spannungsversorgung mithilfe von PoE bereits integriert und benötigt keine zusätzliche Platine. Betrachtet man die GPIO-Pins und die Schnittstellen, sind beide Systeme identisch ausgestattet. Ebenfalls identische Eigenschaften weisen die Systeme im Hinblick auf Arbeitsspeicher und Hauptspeicher auf. Im Bezug auf eine Kühlung ist der *Jetson Nano* bereits mit einem passiven Kühlkörper ausgestattet. Der *Raspberry Pi* weist in dem Vergleich eine deutlich geringere Abmessung auf. Ein weiterer Punkt ist die Grafikeinheit. Diese fällt beim *NVIDIA Jetson Nano* deutlich größer aus als bei dem *Raspberry Pi 4 Model B*.

Eigenschaft	Raspberry Pi 4 Model B	NVIDIA Jetson Nano
Prozessortakt	1,5 GHz	1,43 GHz
Prozessorkerne	4	4
Grafikeinheit	auf SoC integriert	Grafikeinheit mit 128 Kernen
Arbeitsspeicher	1 GB bis 4 GB	4 GB
Speicher	SD-Karte benötigt	SD-Karte benötigt
Schnittstellen	2x USB 2.0, 2x USB 3.0, Gigabit-Ethernet, WLAN	4x USB 3.0, Gigabit-Ethernet, WLAN
Anzahl GPIOs	40	40
Energieversorgung	5 V und 2,5 A, optional über PoE mit zusätzlicher Platine	5 V und 4 A, optional über PoE
Abmessungen	85 mm x 56 mm x 20 mm	100 mm x 80 mm x 29 mm
Kühlung	passiv und aktiv optional	passiver Kühlkörper, aktiv optional

Tabelle 5.3.: Gegenüberstellung der eingebetteten Systeme

Da der *Raspberry Pi* zwar im Bezug auf Abmessungen und Stromverbrauch bessere Eigenschaften aufweist, der *Jetson Nano* allerdings eine deutlich größere grafische Einheit besitzt, wird dieser als eingebettete zentrale Recheneinheit ausgewählt. Hierbei können große parallele Berechnungen, wie zum Beispiel Teile der Raytracing-Simulation, zur Entlastung des Hauptprozessors auf die grafische Einheit ausgelagert werden. Ein weiterer Vorteil des *NVIDIA Jetson Nano* ist die Auslegung auf maschinelles Lernen, wodurch die eingebettete zentrale Recheneinheit flexibler im Bezug auf mögliche Anwendungen in diesem Bereich wird.

5.2.2. Vertiefung der Architektur

Die vertiefte Architektur des UPS ist in Abbildung 5.7 zu sehen. Hierzu werden die einzelnen Teilsysteme und Bestandteile definiert und in das System integriert.

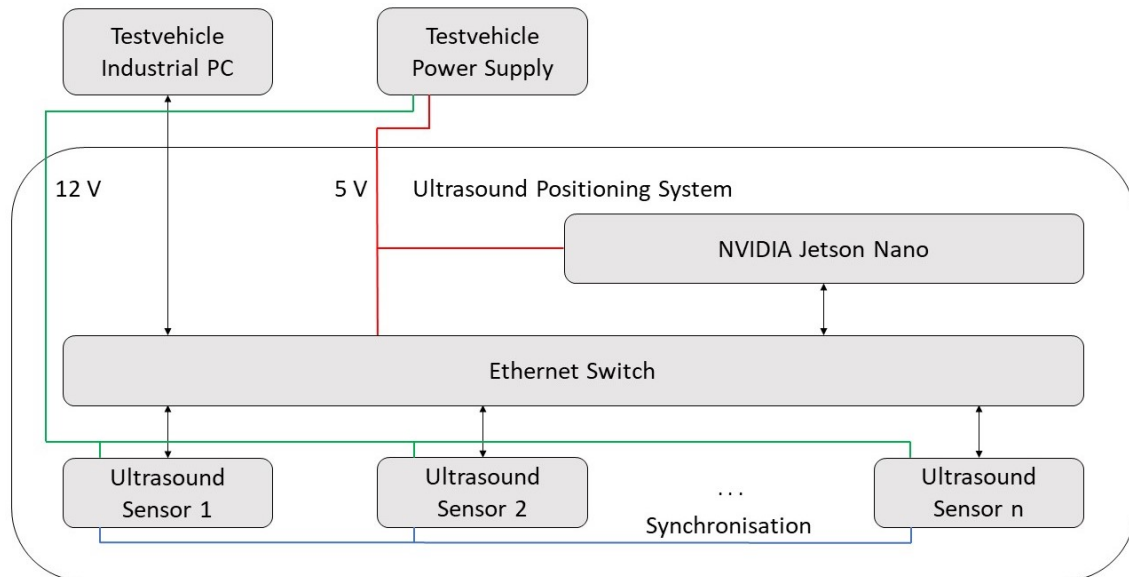


Abbildung 5.7.: Definierte Architektur des ultraschallbasierten Positionierungssystems

Hierbei wird weiterhin Ethernet als zentrales Kommunikationsnetz verwendet. Über das Ethernetnetzwerk erfolgt dabei sowohl die Kommunikation zwischen der eingebetteten zentralen Recheneinheit, dem *NVIDIA Jetson Nano*, und den Ultraschallsensoren, als auch zwischen der eingebetteten zentralen Einheit und dem Industrie-PC, auf dem das UVPS läuft. Des Weiteren wird für das Ethernetnetzwerk die Sterntopologie des Ultraschallsensorsystems aus Abschnitt 2.2.1 beibehalten. Hierbei dient ein Ethernet-Switch als zentraler Sternpunkt.

Ebenfalls werden die Ultraschallsensoren in variabler Anzahl und die Synchronisation der Ultraschallsensoren in die Architektur integriert.

Des Weiteren werden die externen Spannungsversorgungen in die Architektur integriert. Hierbei werden das *NVIDIA Jetson Nano* Board und der Ethernet-Switch mit 5 V und die Ultraschallsensoren mit 12 V versorgt. Dabei wird die 5 V Spannungsversorgung zunächst mithilfe eines Akkus realisiert.

5.2.3. Ultraschallsensoranordnung

Um das UPS einfach zu halten, werden für die Umsetzung zunächst zwei unterschiedliche Sensoranordnungen verwendet. Hierdurch ist es möglich die Eigenschaften der Positions- und Orientierungsbestimmung mithilfe von Ultraschall zu erkennen und zu analysieren.

Hierzu wird zunächst das System mit nur einem Sensor aufgebaut. Dabei wird der Sensor an der Front auf der Längsachse des Fahrzeugs platziert. Bei dieser Sensoranordnung dürfte es zu Vieldeutigkeiten in der Positions- und Orientierungsbestimmung kommen. So ist zum Beispiel eine solche Vieldeutigkeit der Raytracing-Simulation in Abbildung 5.8 zu sehen.

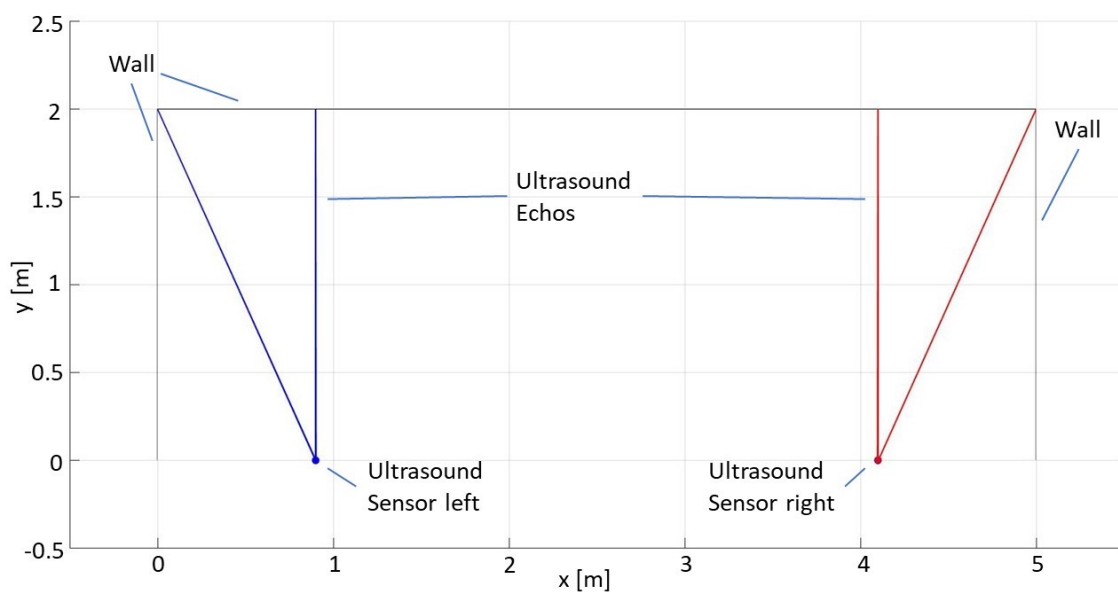


Abbildung 5.8.: Ultraschall-Raytracing Vergleich bei Verwendung eines Sensors

Hierbei ist der Ultraschallsensor bei der ersten Messung in Richtung der rechten Ecke und bei der zweiten Messung in Richtung der linken Ecke platziert. Dabei stellen die roten beziehungsweise blauen Linien die jeweils zurückkommenden Ultraschallechos dar. Obwohl die Ultraschallechos zum Teil aus unterschiedlichen Richtungen beim Sensor ankommen, sieht der zeitliche Verlauf der Messungen identisch aus (siehe Abbildung 5.9). So befinden sich zum Beispiel in einem quadratischen Raum, in dem sich keine anderen Objekte befinden, mit dieser Sensoranordnung pro Position jeweils sieben weitere Positionen mit einer identischen Ultraschallechosignatur.

Eine weitere Ultraschallsensoranordnung besteht aus zwei Ultraschallsensoren. Hierbei bleibt die Position des ersten Sensors erhalten. Der zweite Sensor wird 25 cm rechts neben dem ersten platziert. Des Weiteren wird der zweite Sensor um 45° nach rechts verdreht.

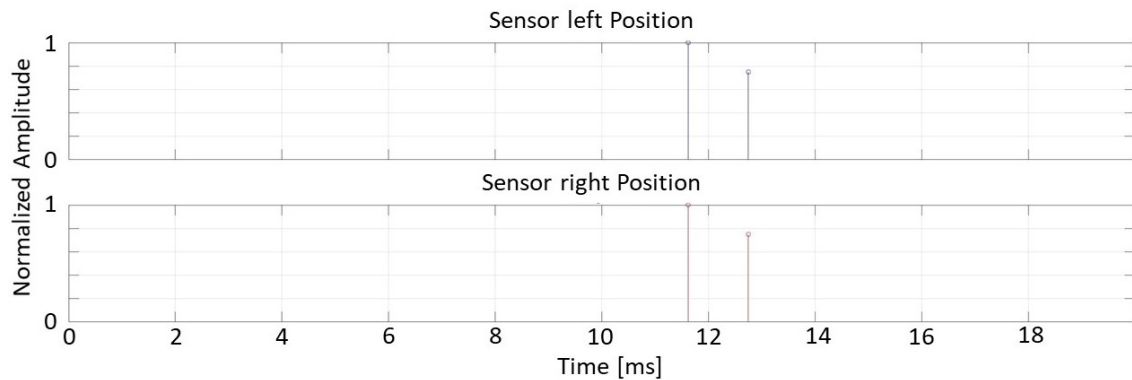


Abbildung 5.9.: Vergleich des zeitlichen Verlaufs der Ultraschallechos bei Verwendung eines Sensors

Durch eine solche asymmetrische Anordnung, bei der beide Sensoren separat einen Ultraschallpuls aussenden, wird die Anzahl an Vieldeutigkeiten pro Position und Orientierung reduziert. In Abbildung 5.10 sind die zurückkommenden Ultraschallechos zu sehen.

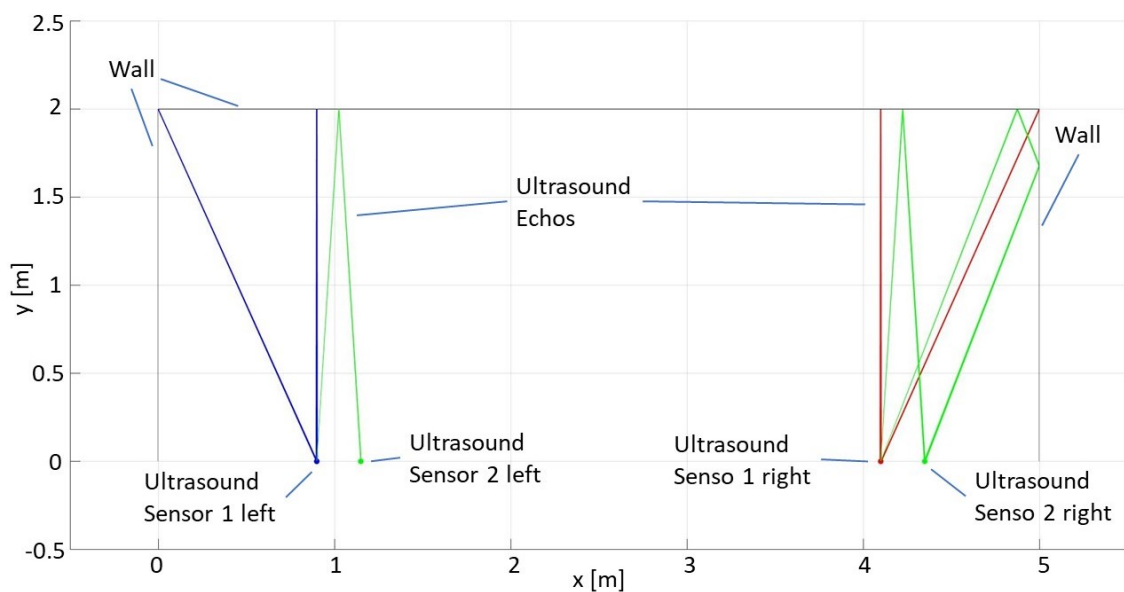


Abbildung 5.10.: Ultraschall-Raytracing Vergleich bei Verwendung von zwei asymmetrisch angeordneten Sensoren

Hierbei wird der Ultraschallpuls durch den ersten mittig platzierten Ultraschallsensor ausgesendet. So kann in dem Beispiel des quadratischen Raums unterschieden werden, ob die Sensoren in Richtung der rechten oder linken Ecke platziert sind, da mithilfe des zweiten Sensors in Richtung der rechten Ecke eine andere Ultraschallechosignatur empfangen wird

(siehe Abbildung 5.11). Hierbei reduziert sich bei einer Position die Anzahl möglicher anderer Positionen auf drei mit identischer Ultraschallechosignatur.

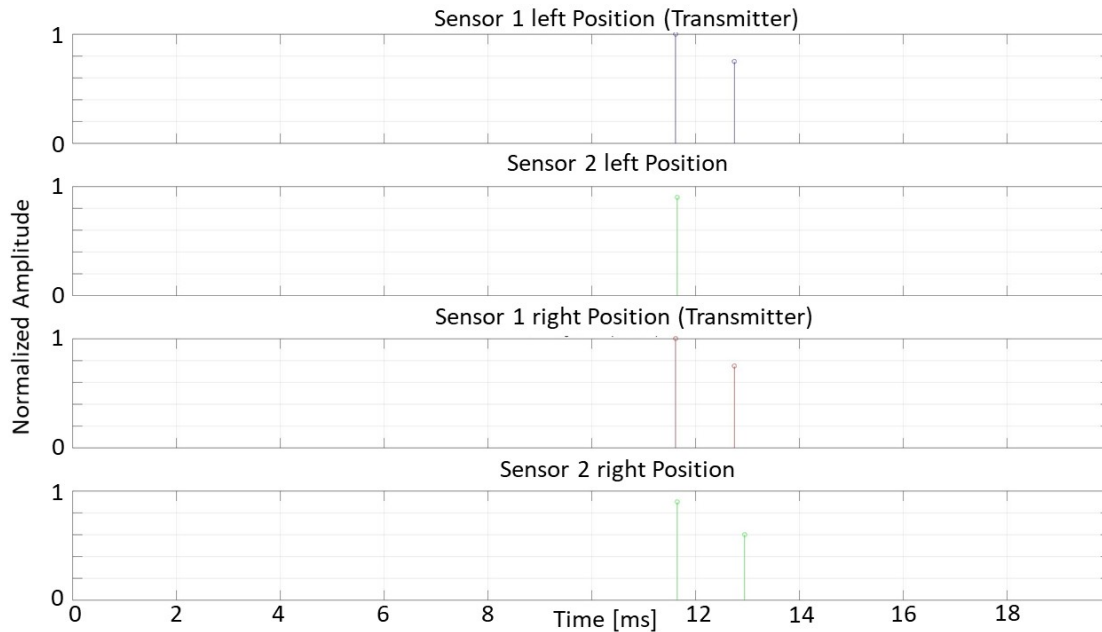


Abbildung 5.11.: Vergleich des zeitlichen Verlaufs der Ultraschallechos bei Verwendung von zwei Sensoren

5.2.4. Software des ultraschallbasierten Positionierungssystems

Die Realisierung der Software erfolgt aufbauend auf dem Meta-Betriebssystem ROS (vgl. ROS, 2020). Da ROS für modulare Systeme, bei denen die einzelnen Nodes mithilfe von Topics kommunizieren, ausgelegt ist, wird die Gesamtfunktionalität der Software in mehrere Softwaremodule unterteilt (siehe Abbildung 5.12). Hierbei erfolgt die Realisierung in den Programmiersprachen C++ und Python (siehe Anhang D). Die Programmabläufe sind zu den einzelnen Softwaremodulen in Anhang B.2 zu sehen. Des Weiteren wird als Betriebssystem der eingebetteten zentralen Recheneinheit ein von *NVIDIA* auf die ARM-Architektur angepasstes *Ubuntu 18.04* verwendet (vgl. *NVIDIA*, 2020b). Hierdurch fällt die Auswahl der ROS-Version auf *Melodic Morenia* (vgl. ROS, 2020).

Hierbei werden in den einzelnen Softwaremodulen mögliche Fehler abgefangen und behandelt. Um andere Systeme nicht zu beeinträchtigen oder die Fahrzeugposition zu verfälschen, wird das ultraschallbasierte Positionierungssystem im Fehlerfall beendet.

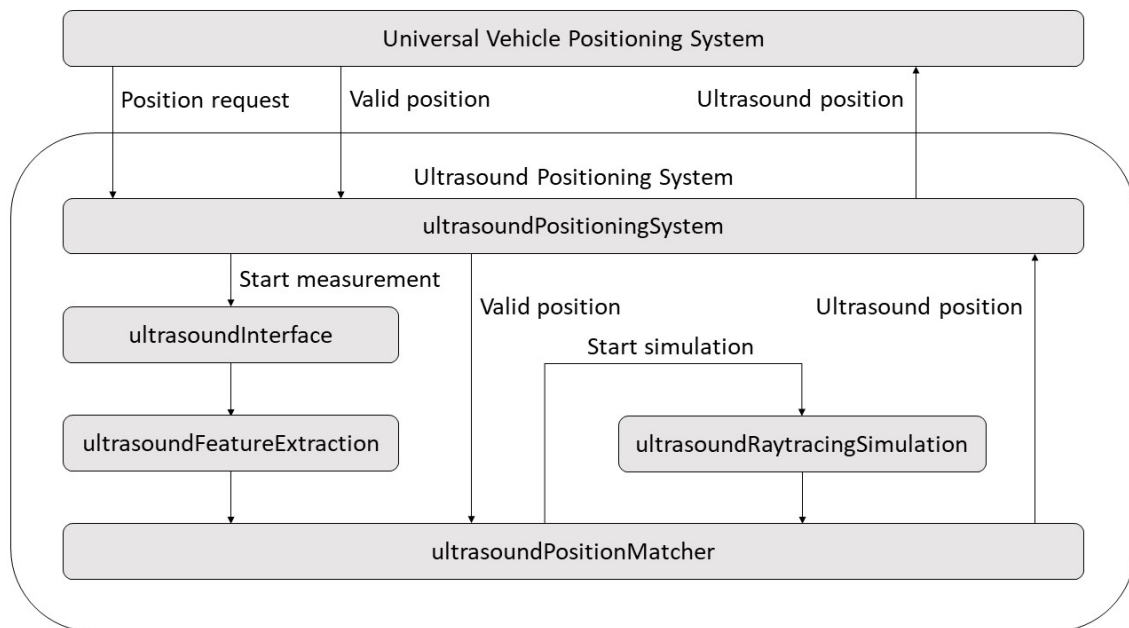


Abbildung 5.12.: Softwarearchitektur des ultraschallbasierten Positionierungssystems

Systemschnittstelle

Der Node *ultrasoundPositioningSystem* dient als Systemschnittstelle und übernimmt die Kommunikation mit dem UVPS. Des Weiteren steuert der Node das UPS.

Hierzu führt der Node beim Start des Systems einen Test der anderen Softwaremodule auf fehlerfreie Funktion durch. Bei einer fehlerfreien Funktion wird das System frei gegeben. Erfolgt vom UVPS eine Positionsanfrage, wird die Positionsbestimmung gestartet, indem die Ultraschallsensorschnittstelle aktiviert wird. Ebenfalls wird die gültige Fahrzeugposition, die vom UVPS mitgeteilt wird, im System aktualisiert. Des Weiteren übermittelt der Node die mithilfe von Ultraschall bestimmte Fahrzeugposition an das UVPS.

Ultraschallsensorschnittstelle

Das Softwaremodul *ultrasoundInterface* stellt die Ultraschallsensorschnittstelle zu den Ultraschallsensoren bereit, womit diese gesteuert und ausgewertet werden.

Bei einer angeforderten Ultraschallmessung startet das Modul einen Messdurchlauf der Ultraschallsensoren. Die ankommenden Ultraschallechos der einzelnen Ultraschallsensoren werden dabei überprüft und sortiert. Bei fehlerfreien Daten werden diese an die Ultraschallmerkmalsextraktion weitergegeben.

Ultraschallmerkmalsextraktion

Der *ultrasoundFeatureExtraction* Node verarbeitet die mit der Ultraschallsensorschnittstelle empfangenen Ultraschallechos und dient der Merkmalsextraktion.

Zur Verarbeitung der Ultraschallechos wird bei diesen zunächst der vom Ultraschallmodul der Ultraschallsensoren vorhandene Offset herausgerechnet. Anschließend werden die Ultraschallechos normalisiert. Des Weiteren werden die Echos der einzelnen Ultraschallsensoren zu einer Ultraschallsignatur zusammengefügt (vgl. Browne und Kleeman, 2009, S. 4043). Abschließend erfolgt die Weitergabe der Ultraschallsignatur an die Positionsbestimmung.

Des Weiteren ist dieser Node für eine mögliche Erweiterung um weitere Merkmalsextraktionen vorbereitet.

3D-Raytracing-Simulation

Das Modul *ultrasoundRaytracingSimulation* basiert auf der Simulation aus Abschnitt 2.2.2, welche auf drei Dimensionen erweitert und an die Anforderungen des UPS angepasst wird. Da ROS *MATLAB* als Programmiersprache nicht unterstützt, erfolgt die Implementierung mithilfe von Python (vgl. ROS, 2020).

Die Struktur der Simulation bleibt dabei bestehen. Hierbei werden zunächst bei den einzelnen Ultraschallstrahlen Objekttreffer und deren Reflexionsparameter berechnet. Anschließend erfolgt die Überprüfung, ob ein Ultraschallsensor von dem Strahl getroffen wird. Werden mehrere Treffer ermittelt, wird der Treffer mit der kürzesten Entfernung als gültig gewertet. Wird ein Sensor von einem Strahl getroffen, wird die Pfadberechnung des jeweiligen Strahls beendet. Ebenfalls beendet wird die Pfadberechnung, wenn die zurückgelegte Strahllänge einen sensorspezifischen Maximalwert überschreitet. So beträgt die maximale Strahllänge für das Ultraschallmodul zum Beispiel die doppelte Reichweite, also 21,36 m. Dieser Ablauf wird iterativ für jeden Ultraschallstrahl durchgeführt.

Der zu simulierende Bereich wird als objektbasierte Karte realisiert. Hierbei werden die einzelnen Objekte, wie zum Beispiel Wände, mithilfe von Ebenen in der Parameterdarstellung modelliert. Der Detaillierungsgrad der Karte stellt dabei einen Kompromiss dar. Mit einem niedrigeren Detaillierungsgrad wird eine kürzere Rechenzeit ermöglicht. Wohingegen eine Karte mit einem höheren Detaillierungsgrad die Simulationsergebnisse eine höhere Übereinstimmung mit der Ultraschallmessung aufweisen.

Die Anzahl der Strahlen, auf die der Ultraschallpuls aufgeteilt wird, errechnet sich aus den sensorspezifischen Parametern. Hierzu wird zunächst die Schrittweite w mithilfe der minimalen Objektgröße x , die noch detektiert werden soll, berechnet (siehe Formel 5.2). Die Schrittweite muss kleiner gleich der halben minimalen Objektgröße sein, um das Abtasttheorem einzuhalten. Anschließend erfolgt die Berechnung der Winkelauflösung α_R (siehe

Abbildung 5.13). Diese werden mit der Schrittweite und der maximalen Distanz d , an der Objekte mit der minimalen Objektgröße erkannt werden sollen, ermittelt (siehe Formel 5.3). Abschließend wird die Schallkeule des Ultraschallpulses mit der Winkelauflösung auf die einzelnen Strahlen aufgeteilt. Trifft man die Annahmen, dass Objekte mit einer Größe von 10 cm in einer Entfernung von 6 m noch detektiert werden sollen, beträgt die Winkelauflösung $0,0083\text{ rad}$. Mit der Schallkeulengrenze des Ultraschallmoduls von ca. $33,7^\circ$ (vgl. MaxBotix, 2015, S. 14) kommt man auf eine Anzahl von 16533 Strahlen.

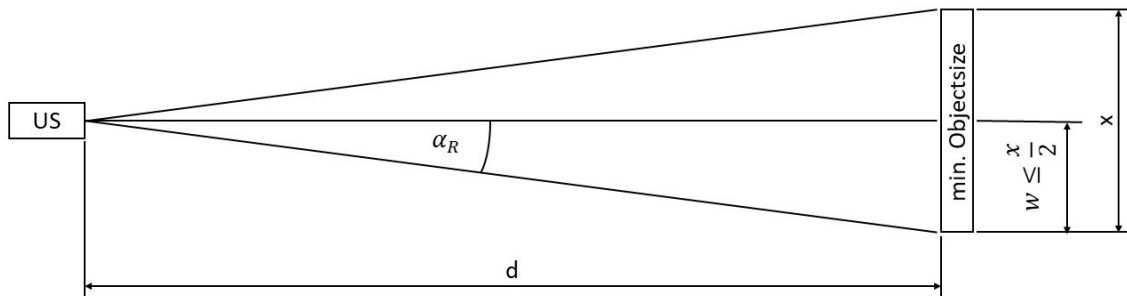


Abbildung 5.13.: Berechnung der Winkelauflösung der Ultraschallstrahlen

$$w \leq \frac{x}{2} \quad (5.2)$$

$$\alpha_R = \arctan\left(\frac{w}{d}\right) \quad (5.3)$$

Des Weiteren wird für die Implementierung der Simulation die Annahme getroffen, dass das Fahrzeug eben auf dem Boden steht. Hierdurch bleiben die Höhe der Fahrzeugposition und der Elevationswinkel des Fahrzeugs zum Boden konstant, was eine Reduzierung der zu simulierenden Positionen zur Folge hat. Daraus folgt eine deutlich geringere Rechenlast bei der Bestimmung von Position und Orientierung.

Eine weitere Anpassung betrifft die Berechnung der Abstrahlcharakteristik des Ultraschall-senders. In Abbildung 5.14 ist der Vergleich der Abstrahlcharakteristik des Ultraschallmoduls mit der berechneten Abstrahlcharakteristik der Raytracing-Simulation zu sehen. Hierbei zeigt die grüne Kurve die Messkurve des Ultraschallmoduls und die blaue die berechnete Abstrahlcharakteristik der Formel 2.11 aus Abschnitt 2.1.3.3. Es ist zu sehen, dass die Berechnung deutlich von der Messung abweicht. Hierzu wird die Berechnung soweit angepasst, dass die Formel 2.11 auf einen Anteil von 20% reduziert wird. So stellt die orangene Kurve, die optimierte Berechnung der Abstrahlcharakteristik, einen guten Kompromiss dar. Da der optimierte Ultraschallsensor einen Teil der Ultraschallechos durch das Gehäuse abschirmt, wird das Empfangen von Ultraschallechos in der Simulation auf $\pm 90^\circ$ begrenzt.

Des Weiteren wird, da ein 3D-Raytracing rechenintensiv ist, die Simulation mithilfe von Multiprocessing auf mehrere Prozesse aufgeteilt. Hierbei wird eine dynamische Anzahl an Pro-

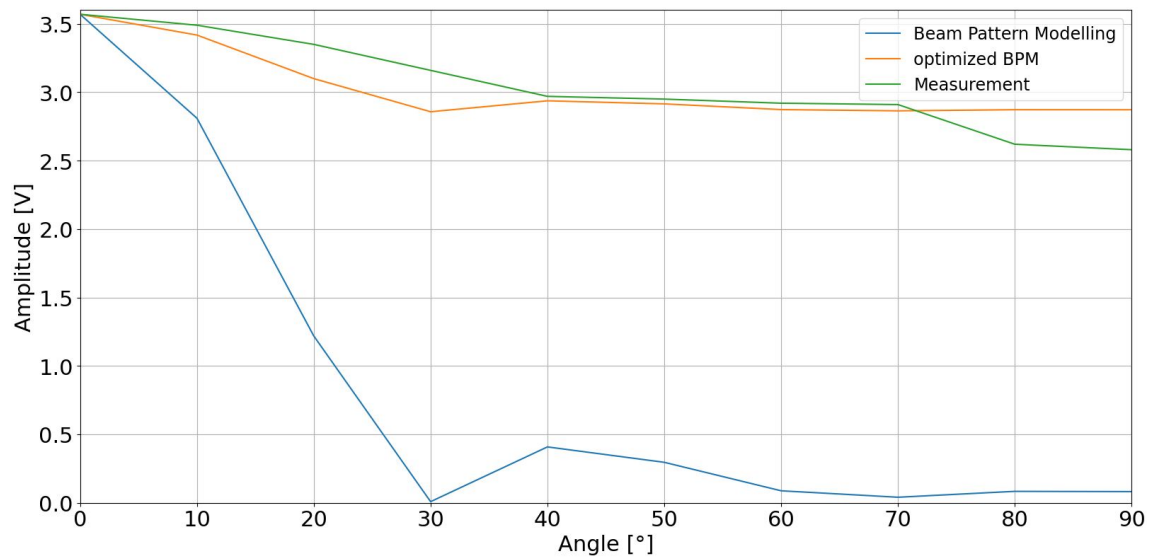


Abbildung 5.14.: Vergleich der Abstrahlcharakteristik des Ultraschallmoduls mit der Simulationsberechnung

zessen erzeugt, die sich an den verfügbaren Prozessorkernen orientiert. Eine Optimierung im Hinblick auf eine GPU-Auslagerung der Berechnungen ist bei der vorhandenen Struktur der Simulation nicht möglich. Hierbei ist durch eine GPU-Auslagerung eine hohe Anzahl an Arbeitsspeicherzugriffen erforderlich, wodurch eine kürzere Berechnungszeit nicht ermöglicht wird. Ein weiterer Punkt ist die Berechnungsdauer der einzelnen Strahlen. Hierbei benötigen die Strahlen eine unterschiedliche Anzahl an Rechenschritten. Bei einer GPU-Auslagerung werden alle Strahlen mit derselben Anzahl an Rechenschritten berechnet. Das heißt, auch wenn einzelne Strahlen ein Abbruchkriterium erreichen, werden diese weiter mitberechnet, bis der letzte Strahl das Abbruchkriterium erreicht hat.

Da eine Simulation von mehreren Positionen zeitintensiv ist und damit die geforderte Messfrequenz des Gesamtsystems nicht erreicht werden kann, ist die Simulation durch eine Look-Up-Tabelle austauschbar. Hierbei werden die Ergebnisse der einzelnen Positionen im Vorfeld berechnet und abgespeichert.

Das Ergebnis der Raytracing-Simulation ist zum einen der zeitliche Verlauf der zurückkommenden Ultraschallechos. Diese bestehen je Ultraschallecho aus einem Tupel mit Zeitangabe und Amplitude. Des Weiteren wird für jedes zurückkommende Ultraschallecho der Strahlpfad ausgegeben, der visualisiert werden kann.

Positionsbestimmung

Die Positionsbestimmung wird durch den Node *ultrasoundPositionMatcher* durchgeführt. Dieser führt dabei den Vergleich der Ultraschallmessung mit der 3D-Raytracing-Simulation durch. Hierzu startet der Node nach Erhalt der verarbeiteten Ultraschallsignatur die Simulation und handelt die Simulationsergebnisse. Die eigentliche Bestimmung von Position und Orientierung erfolgt dabei innerhalb des Nodes mithilfe des Algorithmus zur Positionsbestimmung. Hierbei wird unter anderem die gültige Position des Fahrzeugs verwendet. Die Positionsparameter bestehen dabei aus der Position, der Orientierung und einem Genauigkeitswert. Abschließend erfolgt die Übermittlung der Positionsparameter an die System-schnittstelle.

5.2.5. Algorithmen zur ultraschallbasierten Positionsbestimmung

Der Algorithmus führt den Vergleich zwischen Ultraschallmessung und Simulation durch, um somit eine Bestimmung von Position und Orientierung zu realisieren. Hierzu wird die Karte der Raytracing-Simulation in ein festes Raster aufgeteilt. Des Weiteren wird für die Orientierung eine feste Schrittweite implementiert. Dies minimiert die Anzahl an möglichen Positionen und reduziert somit den Rechenaufwand, um die Position und Orientierung zu bestimmen. Ein weiterer Punkt ist, dass hierdurch die Größe der Look-Up-Tabelle begrenzt wird.

Um die Simulationsergebnisse mit der Ultraschallmessung vergleichen zu können, wird aus den Ultraschalltupeln der Simulation eine Ultraschallsignatur erzeugt. Hierzu werden die Tupel zu einem zeitlichen Verlauf zusammengefügt und mit einer Hüllkurve eingehüllt. Abbildung 5.15 zeigt unterschiedliche Hüllkurven. Hierbei zeigt die blaue Kurve jeweils ein Ultraschallecho. Die orangenen Kurven zeigen unterschiedliche Hüllkurven, mit denen einzelne Peaks eingehüllt werden. Bei den Hüllkurven handelt es sich um eine \cos -Funktion, eine Gauß-Funktion und eine \cos^2 -Funktion. Es ist zu erkennen, dass bei einzelnen Peaks der \cos^2 -Funktion die größte Übereinstimmung mit dem Ultraschallecho aufweist. Bei veräuschten Peaks, wenn sich mehrere Ultraschallechos überlagern, weist die \cos -Funktion hingegen die größte Übereinstimmung auf. Da der Fokus auf der Detektion von mehreren zurückkommenden Ultraschallechos liegt, wird als Hüllkurve die \cos -Funktion verwendet. Ein weiterer Punkt ist der Offset des Ultraschallmoduls, wodurch die Wurzeln der Peaks nicht sichtbar sind. Hierdurch weist die \cos -Funktion in den Bereichen des Anfangs beziehungsweise Endes der einzelnen zurückkommenden Ultraschallechos eine höhere Übereinstimmung auf.

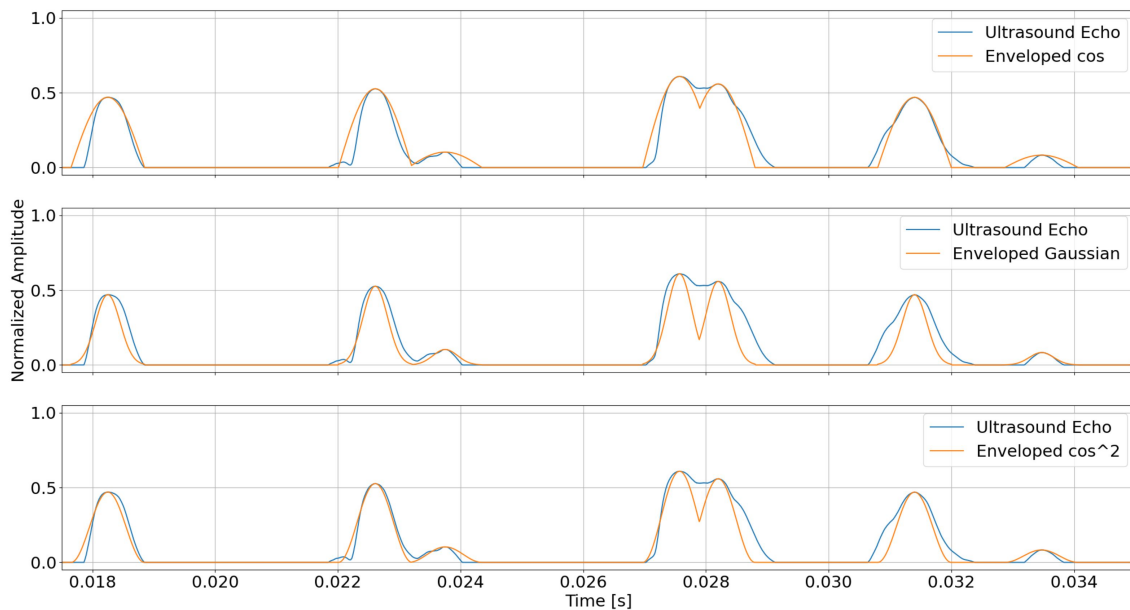


Abbildung 5.15.: Vergleich der Hüllkurven mit einem Ultraschallecho

Um die Signatur der eingehüllten Simulation mit der Signatur der Ultraschallsensoren zu vergleichen, wird eine Kreuzkorrelation verwendet. Hierbei werden die Signaturen pro Messdurchlauf einzeln mithilfe der Formel 5.4 verglichen (vgl. Ohm und Lücke, 2014, S. 215). Nach jeder Korrelation wird das Maximum in dem Korrelationsergebnis ermittelt, um mit diesem das t , der Position des Maximums, zu bestimmen. Da bei zwei Signalen, die zu 100% übereinstimmen, das Maximum der Korrelation in der Mitte der Zeitreihe liegt, beschreibt hierbei das t die Wahrscheinlichkeit der Position. Mit dem t und einer Gauß-Funktion wird anschließend im nächsten Schritt die Wahrscheinlichkeit bestimmt, mit der die verglichene Position bewertet werden kann. Abschließend wird aus den Wahrscheinlichkeiten der einzelnen Messdurchläufe eine Gesamtwahrscheinlichkeit berechnet. Dabei werden zur Positions- und Orientierungsbestimmung mehrere mögliche Positionen simuliert und mit der Ultraschallsignatur verglichen. Die Position mit der größten Gesamtwahrscheinlichkeit wird am Ende der Simulationen als gefundene Position gewertet. Abbildung 5.16 zeigt hierbei die Gauß-Funktion bei einer Zeitreihenlänge von 10000. Die optimale Übereinstimmung sollte dabei mit t bei 5000 liegen.

$$R_{xy}[n] = \sum_{m=-\infty}^{\infty} x^*[m]y[m+n] \quad (5.4)$$

Es werden zwei Strategien, mit der die möglichen Positionen, die simuliert und mit der Ultraschallsignatur verglichen werden, implementiert. Hierbei handelt es sich um eine globale Positionsbestimmung und einer Positionsvorhersage.

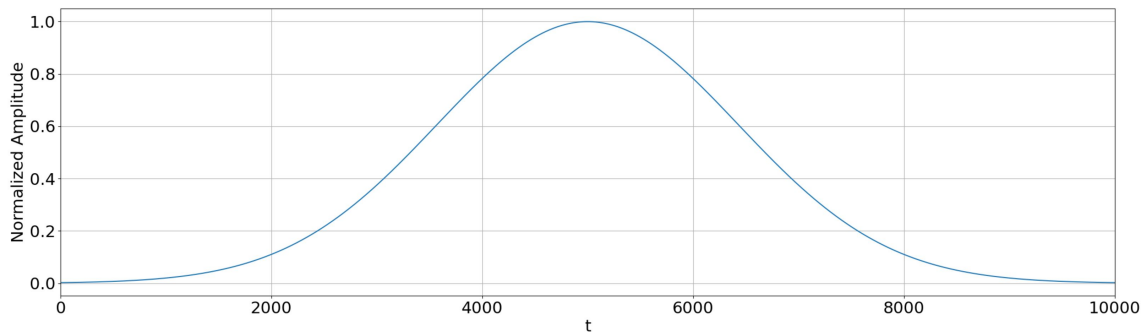


Abbildung 5.16.: Gauß-Funktion zur Bestimmung der Wahrscheinlichkeit einer gefundenen Position

Globale Positionsbestimmung

Bei der globalen Positionsbestimmung werden alle Positionen mit dazugehörigen Orientierungen der Karte simuliert und mit der Ultraschallsignatur verglichen. Hierbei wird die gültige beziehungsweise letzte bekannte Fahrzeugposition nicht zur Bestimmung der neuen Position und Orientierung verwendet. Ebenfalls findet keine Überprüfung auf Plausibilität der neuen Position und Orientierung statt. Hierdurch können die generelle Eigenschaft des UPS und die Auswirkungen der Vieldeutigkeiten auf dieses analysiert werden.

Positionsvorhersage

Die Positionsvorhersage wählt mögliche Positionen und Orientierungen aus, um diese zu simulieren und mit der Ultraschallsignatur zu vergleichen. Hierzu wird die letzte gültige beziehungsweise bekannte Fahrzeugposition verwendet. Des Weiteren ist hier nach einem Systemstart, wenn noch keine Fahrzeugposition vorhanden ist, ein hinterlegter Startpunkt nötig. Hierdurch wird die Anzahl der zu simulierenden und zu vergleichenden Positionen deutlich reduziert. Ebenfalls werden durch diese Vorgehensweise die Auswirkungen der Vieldeutigkeiten auf die Positions- und Orientierungsbestimmung reduziert. Bei dieser Vorgehensweise ist es nötig, dass bei einer falsch bestimmten Position und Orientierung, diese korrigiert werden, um eine zuverlässige Positions- und Orientierungsbestimmung zu realisieren.

So zeigt Abbildung 5.17 eine schematische Darstellung der Positionsvorhersage. Die blauen Kurven stellen dabei die möglichen Trajektorien des Fahrzeugs bei einem Positionswechsel dar. So kann in dem Beispiel das Fahrzeug nur die drei linken und drei rechten Positionen anfahren. Des Weiteren ist es möglich, dass das Fahrzeug auf der letzten bekannten Position stehen bleibt. Die grünen Pfeile zeigen hierbei die möglichen Orientierungen an, die das Fahrzeug auf den jeweiligen Positionen annehmen kann.

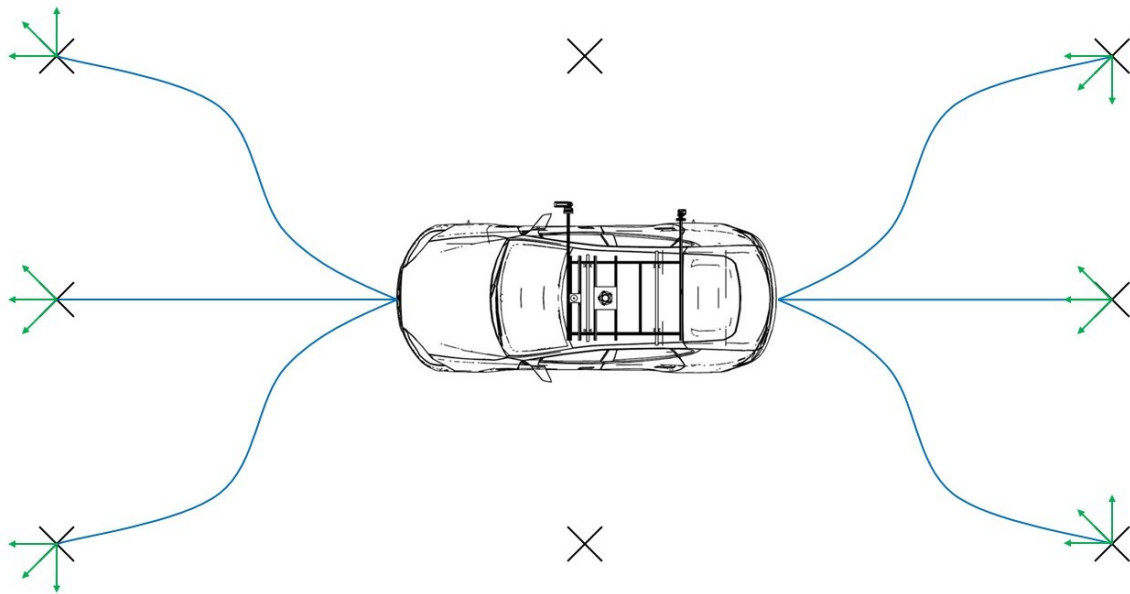


Abbildung 5.17.: Schematische Darstellung der Positionsvorhersage

5.3. Umfeldsensorbasiertes Navigationssystem

Aufbauend auf den Systementwurf wird die Architektur des UVPS weiter definiert. Hierzu wird parallel zum GNSS/INS-System des Versuchsfahrzeugs das UPS in das UVPS integriert (siehe Abbildung 5.18).

Des Weiteren wird eine Rückführung der Positionsdaten an das UPS hinzugefügt. Hiermit ist eine Korrektur der Position möglich und gegebenenfalls falsch detektierte Positionen üben keine große Auswirkung auf die Bestimmung von Position und Orientierung aus.

Das umfeldsensorbasierte Navigationssystem in Form des *Universal Vehicle Positioning System* stellt auf dem aktuellen Stand eine Schnittstelle zum UPS dar (siehe Anhang E). Eine Erweiterung um weitere umfeldsensorbasierte Positionierungssysteme ist möglich. Ebenfalls ist eine Erweiterung um eine Sensordatenfusion innerhalb des UVPS möglich, um zum Beispiel die GNSS/INS-Position mit dem UPS zu verbessern.

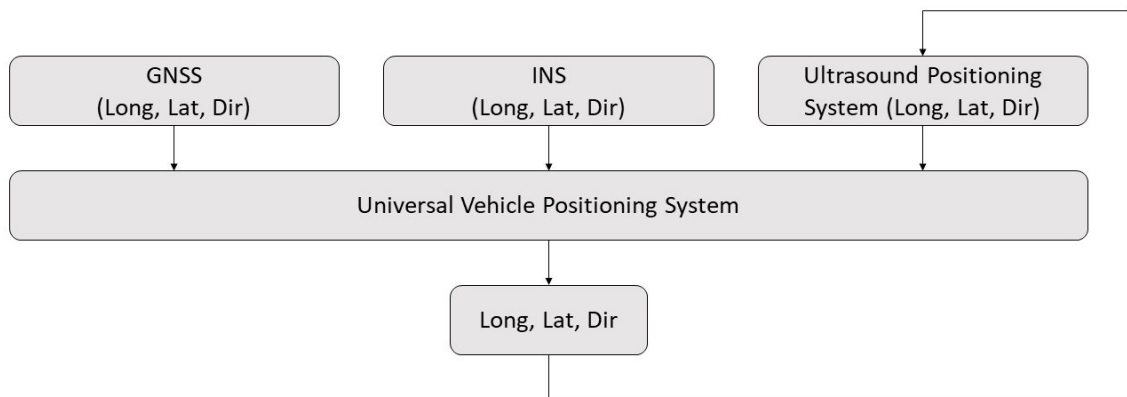


Abbildung 5.18.: Architektur des umfeldsensorbasierten Navigationssystems

6. Test und Bewertung

Um die Einsatzfähigkeit des umfeldsensorbasierten Navigationssystems darzustellen, wird zunächst der Ultraschallsensor getestet. Anschließend erfolgt ein Test des ultraschallbasierten Positionierungssystems. Des Weiteren erfolgt ein Funktionalitätstest des Gesamtsystems anhand eines Anwendungsfalls. Hierbei orientieren sich die Tests an den Anforderungen an das System. Den Abschluss des Kapitels bildet die Bewertung des umfeldsensorbasierten Navigationssystems.

6.1. Ultraschallsensor

Die Tests des optimierten Ultraschallsensors beschreiben die funktionalen Eigenschaften. Zunächst wird das zeitliche Verhalten der Ultraschallsensoren ermittelt. Abschließend wird die Spannungsversorgung des Ultraschallsensors beurteilt.

Die zeitliche Analyse befasst sich mit der Synchronisation der Ultraschallsensoren untereinander. Des Weiteren wird die Dauer eines Messdurchlaufs analysiert. Hierbei erfolgen die Tests mit zwei Ultraschallsensoren, die mit der Synchronisationsringleitung verbunden sind. Die Ermittlung des zeitlichen Verhaltens erfolgt dabei mit einem *PicoScope* (vgl. PicoTechnology, 2020).

Synchronisation der Ultraschallmessung

Zunächst wird die Synchronisation zum Starten und Beenden einer Messung getestet. Die Zeit, die die Open-Collector Schaltung vom softwaretechnischen Ansteuern bis zum Schalten der Synchronisationsleitung benötigt, beträgt $2,46 \mu s$. Der Jitter bewegt sich im Bereich von einigen wenigen *ns* und ist damit vernachlässigbar klein. Da der Timer zur Zeitmessung erst mit dem Interrupt der Synchronisationsleitung gestartet wird, ist diese Verzögerung vernachlässigbar. In Abbildung 6.1 ist die zeitliche Abweichung beim Starten einer Messung der Ultraschallsensoren untereinander zu sehen. Diese beträgt $0,5 \mu s$, wobei hier der Jitter ebenfalls vernachlässigbar klein ist. Hierbei stellt der obere Verlauf den Ultraschallsensor dar, der die Messung startet. Es ist zu erkennen, dass der auslösende Sensor den Interrupt

für den Messungsstart verzögert auslöst. So entsteht bei einer angenommenen Raumtemperatur von 20°C beim Starten zwischen den Sensoren eine Distanzabweichung von $171,7\ \mu\text{m}$ (siehe Formel 6.1).

$$E_D = c_{\text{Luft}}\Delta t = 171,7\ \mu\text{m} \quad (6.1)$$

Beim Beenden einer Messung ist der Ablauf der Verzögerung identisch. Das heißt, der auslösende Ultraschallsensor beendet die Messung nach dem zweiten Ultraschallsensor. Dabei beträgt die zeitliche Verzögerung $1,95\ \mu\text{s}$ und der Jitter $0,46\ \mu\text{s}$. Da das Ultraschallmodul mit $100\ \text{kHz}$ abgetastet wird und somit alle $10\ \mu\text{s}$, spielt die zeitliche Verzögerung beim Beenden des Messdurchlaufs keine Rolle.



Abbildung 6.1.: Zeitliches Verhalten der Synchronisation des Messungsstarts

Resetten der Ultraschallsensoren

Ein weiterer Test ist die Messung des zeitlichen Verhaltens der Ultraschallsensoren untereinander im Bezug auf das Auslösen eines Resets. Hierbei beträgt die Zeitdifferenz zwischen softwaretechnischen Auslösen und Schalten der Resetleitung $2,37\ \mu\text{s}$. Der Jitter ist hierbei vernachlässigbar klein. Die zeitliche Differenz zwischen den Ultraschallsensoren beim Auslösen des Interrupts beträgt $0,4\ \mu\text{s}$ und der Jitter $0,08\ \mu\text{s}$. Da das Resetten der Ultraschallsensoren am Ende eines Messprozesses durchgeführt wird und kein weiterer Messdurchlauf anschließend stattfindet, wirken sich die zeitlichen Abweichungen nicht auf die Messergebnisse aus.

Token Passing

Der Test des Token Passings ermittelt die Zeit, die für dieses benötigt wird. In Abbildung 6.2 stellt der obere Verlauf den Zeitpunkt der Tokenweitergabe des ersten Ultraschallsensors dar. Der untere Verlauf hingegen das Auslösen des Interrupts des zweiten Ultraschallsensors. Hierbei beträgt die Zeitdifferenz $26,1 \mu s$. Der Jitter weist einen Wert von $0,4 \mu s$ auf. Da das Token Passing zwischen den Messdurchläufen stattfindet, wirkt sich die zeitliche Differenz nicht auf die Messergebnisse aus. Diese wirkt sich hingegen nur auf die Dauer eines gesamten Messprozesses des Ultraschallsensorsystems aus. Geht man von sechs Ultraschallsensoren an einer Ringleitung aus, so erhöht sich die Durchlaufzeit eines gesamten Messprozesses um maximal $157,8 \mu s$. Da der Messprozess in diesem Fall insgesamt $720 ms$ dauert, ist die Dauer des Token Passings vernachlässigbar klein.

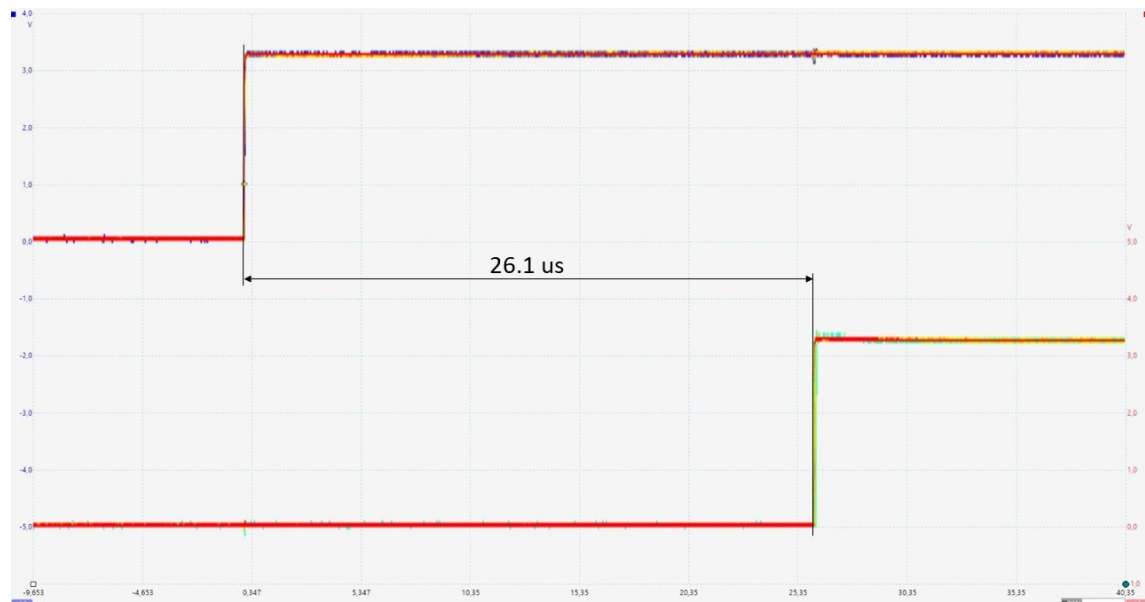


Abbildung 6.2.: Zeitliches Verhalten des Token Passings der Ultraschallsensoren

Dauer eines Messdurchlaufs

Bei der Ermittlung der Dauer eines Messdurchlaufs kommt der Verlauf aus Abbildung 6.3 heraus. Hier zeigt die steigende Flanke den Messungsstart und die fallende Flanke das Ende der Messung. Hierbei beträgt die Dauer $120 ms$, wobei diese sich aus $20 ms$ Kalibrierzeit des Ultraschallmoduls und $100 ms$ der eigentlichen Messung zusammensetzen. Da die Darstellung sich im ms -Bereich befindet und der Jitter sich im ns -Bereich bewegt, ist dieser vernachlässigbar klein.

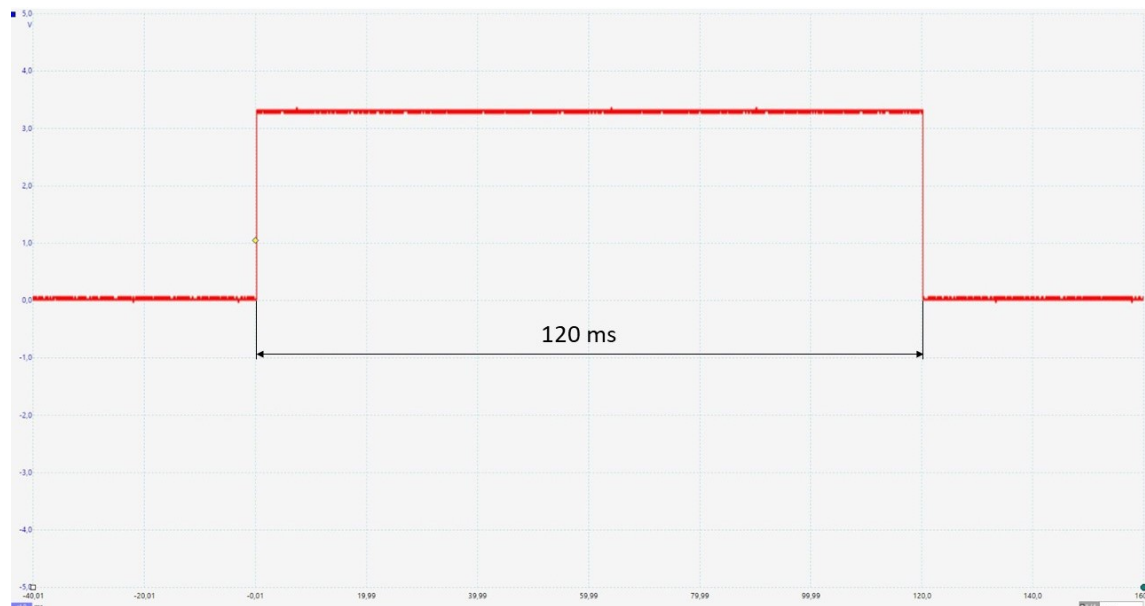


Abbildung 6.3.: Dauer eines Messdurchlaufs der Ultraschallsensoren

Spannungsversorgung

Zur Beurteilung der Spannungsversorgung wird der Strom gemessen, den ein einzelner Ultraschallsensor benötigt. Dies geschieht mit einem *PicoScope* und einem Shunt-Widerstand.

Das Ergebnis der Strommessung ist, dass der Ultraschallsensor im Idle-Zustand bei 12 V Spannungsversorgung ca. 120 mA benötigt. Im Betrieb benötigt der Ultraschallsensor in der Spitze bis zu 167 mA. Bei einer angenommenen maximalen Anzahl von 6 Ultraschallsensoren, die mit einer Ringleitung verbunden sind, bedeutet dies, dass insgesamt ein Maximalstrom von 1 A benötigt wird. Hierdurch wird eine einzelne Ader der Spannungsversorgung mit ca. 333 mA belastet. Da es sich hierbei allerdings um eine Ringleitung handelt, dürfte dieser Wert deutlich niedriger liegen. Hierbei ist zu erkennen, dass die Spannungsversorgung eine ausreichend hohe Kapazität aufweist, da die einzelnen Adern mit maximal 1 A belastet werden dürfen.

6.2. Ultraschallbasiertes Positionierungssystem

Die folgenden Tests beschreiben das Verhalten des UPS. Hierzu erfolgt zunächst eine Abstandsmessung von mehreren Objekten. Darauf folgend wird ein Vergleich von einer UI-

traschallmessung mit der 3D-Raytracing-Simulation durchgeführt. Abschließend erfolgt die Bewertung des zeitlichen Verhaltens des gesamten UPS.

Abstandsmessung

Die Ermittlung des maximalen Abstands erfolgt mit einem Ultraschallsensor und mehreren Objekten (siehe Abbildung 6.4). Als Objekte dienen hierbei zwei Pylonen und eine Trennwand. Die Pylonen sind dabei am seitlichen Rand der Ultraschallkeule platziert. Der Abstand zwischen den Pylonen und dem Ultraschallsensor betragen $4,33\text{ m}$ beziehungsweise $7,12\text{ m}$. Die Trennwand wird in direkter Flucht mit dem Ultraschallsensor platziert. Mit dieser wird der maximal mögliche Abstand ermittelt, in dem Objekte erkannt werden können.

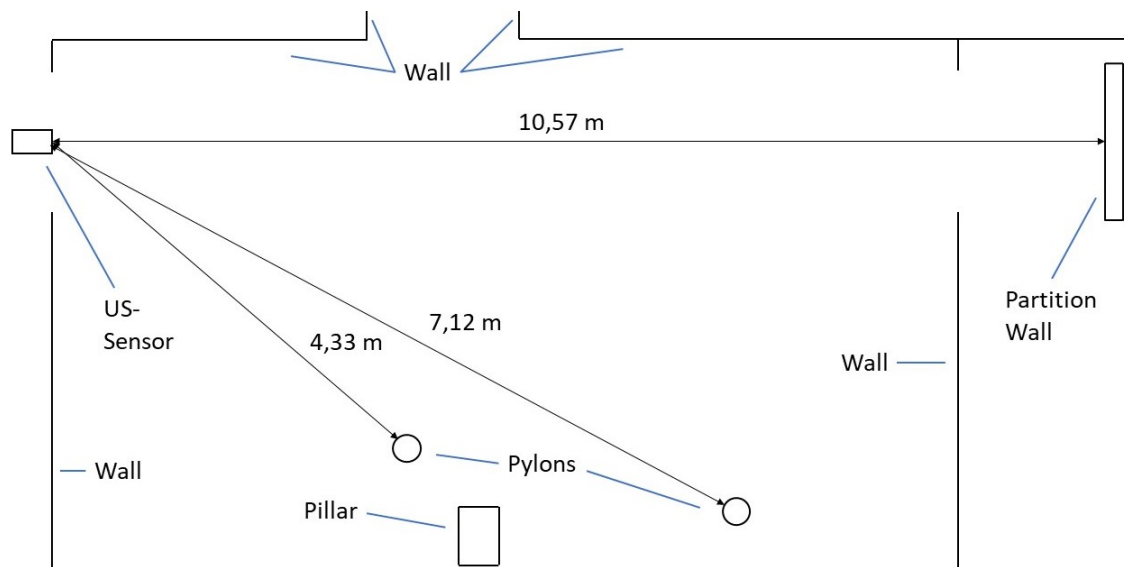


Abbildung 6.4.: Testszenario für die Abstandsmessung

Abbildung 6.5 zeigt das Ergebnis des Tests. Die Peaks mit den Nummern 2 und 6 sind hierbei die Ultraschallechos der zwei Pylonen. Mit den Nummern 1, 3 bis 5 und 7 markierte Peaks stellen Reflexionen von Raumbestandteilen dar, wie zum Beispiel Lampen oder Wände. Der bei diesem Test ermittelte maximale Abstand beträgt $10,57\text{ m}$. Dieser wird durch die Peaks mit der Nummer 8 dargestellt, wobei der zweite Peak eine Mehrfachreflexion über den Boden ist. Des Weiteren zeigt dieser Test, dass mit dem UPS eine Erkennung von mehreren Objekten und der Umgebung möglich ist.

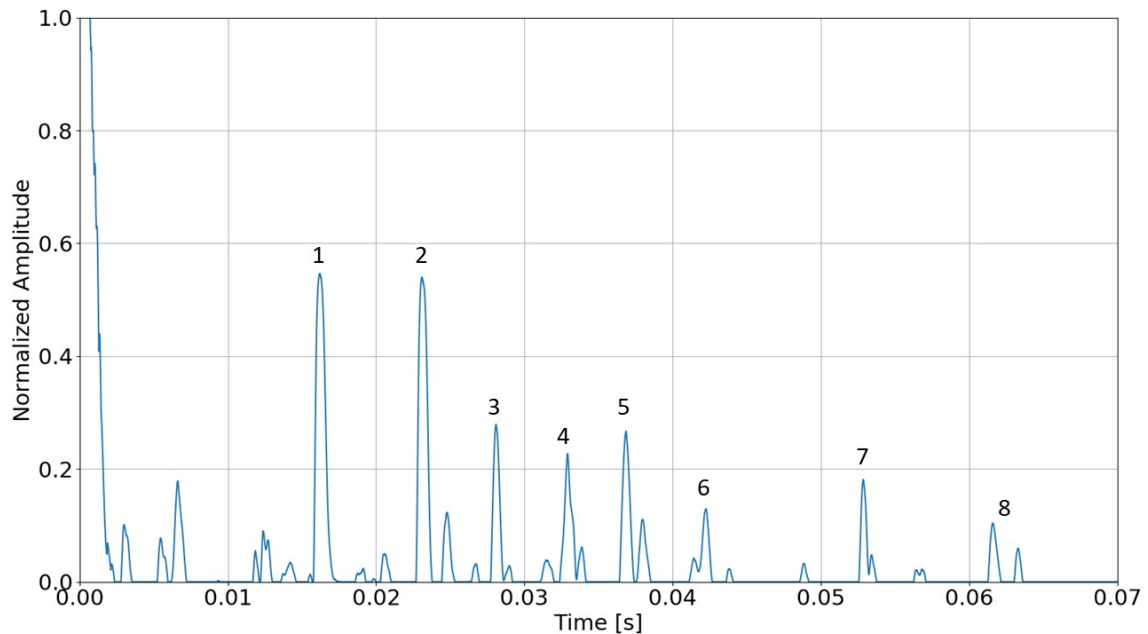


Abbildung 6.5.: Test zur Ermittlung des maximalen Abstands

3D-Raytracing-Simulation

Der folgende Test vergleicht die Ergebnisse der 3D-Raytracing-Simulation mit den zurückkommenden Ultraschallechos des Ultraschallsensors. Der Test erfolgt dabei mit der ersten Ultraschallsensoranordnung, also einem Sensor. Die Grundabmessung des Testraums ist in Abbildung 6.6 zu sehen. Dieser hat dabei eine Höhe von 2,1 m. Das blaue Kreuz stellt hierbei den Koordinatenursprung dar. Das rote Kreuz hingegen ist die Testposition. Der Ultraschallsensor wird bei diesem Test auf einer Höhe von 1,12 m befestigt. Für die Messung wird eine Raumtemperatur von 21°C angenommen. Die minimale Objektgröße, die bei einer Entfernung von 6 m noch erkannt werden soll, beträgt bei diesem Test 1 cm.

In Abbildung 6.7 sind die, für diesen Test, visualisierten Strahlpfade der Simulation zu sehen. Die magentafarbenen Linien sind dabei die simulierten zurückkommenden Ultraschallechos. Hierbei ist zu erkennen, dass die Ultraschallechos nicht nur den direkten Weg nehmen, sondern auch über mehrere Flächen reflektiert werden können.

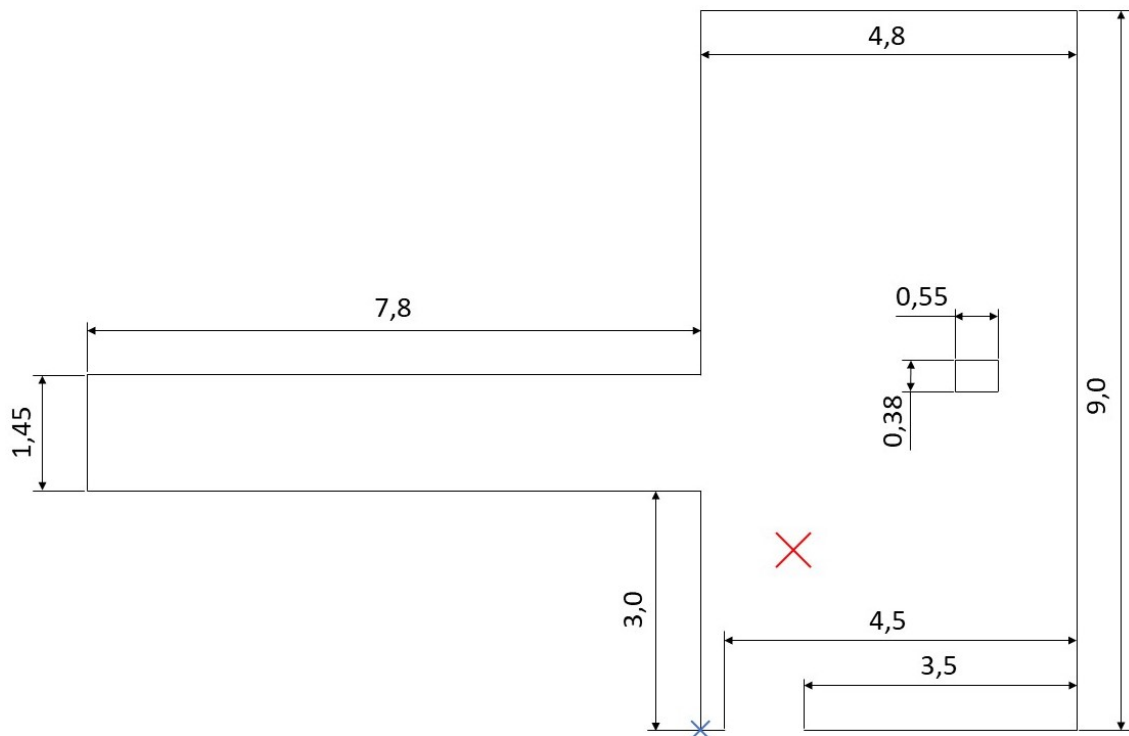


Abbildung 6.6.: Grundabmessung des Testraums

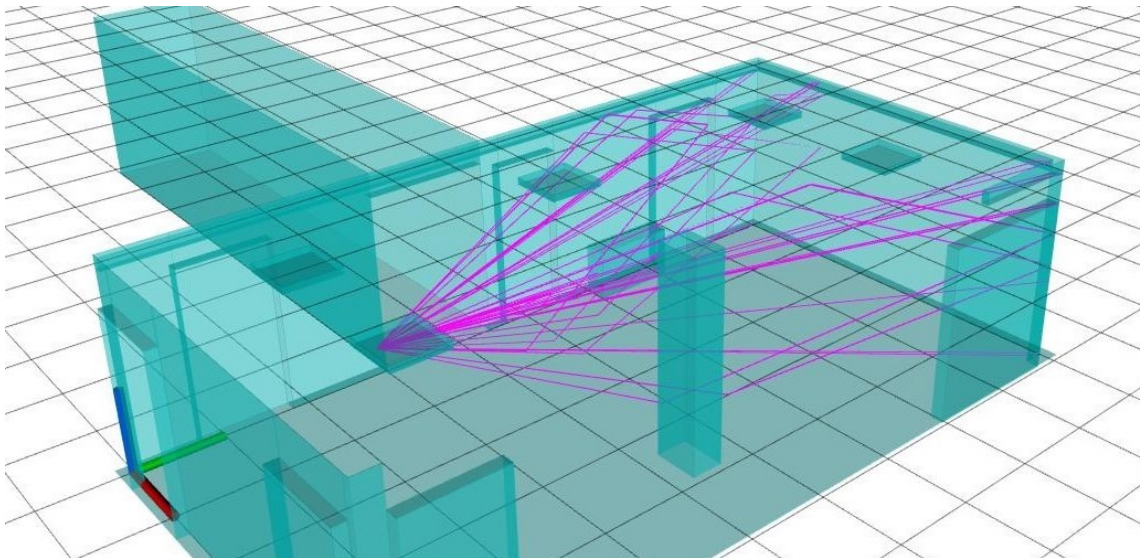


Abbildung 6.7.: Visualisierte Strahlpfade der 3D-Raytracing-Simulation

Abbildung 6.8 zeigt den Vergleich der Ultraschallmessung mit dem Ergebnis der Simulation. Die Nummern sind dabei den einzelnen Peaks beziehungsweise Peakclustern der Ultra-

schallmessung zuzuordnen. Hierbei ist zu erkennen, dass ein Teil der zurückkommenden Ultraschallechos, mit den Nummern 2 beziehungsweise 4 bis 6, eine hohe Übereinstimmung mit der Simulation aufweisen. Hingegen sind die ersten zwei Ultraschallechos mit der Nummer 1, die bei ca 0,015 s liegen, in dem Simulationsergebnis nicht vorhanden. Diese werden von der Decke des seitlichen Gangs reflektiert. Dies liegt an der angenommenen idealen Reflexion der Simulation. Des Weiteren weist das Ultraschallecho bei Nummer 3 zu dem simulierten Ultraschallecho eine leichte Verschiebung auf. Hierbei handelt es sich um ein verschiebbares Objekt im Raum.

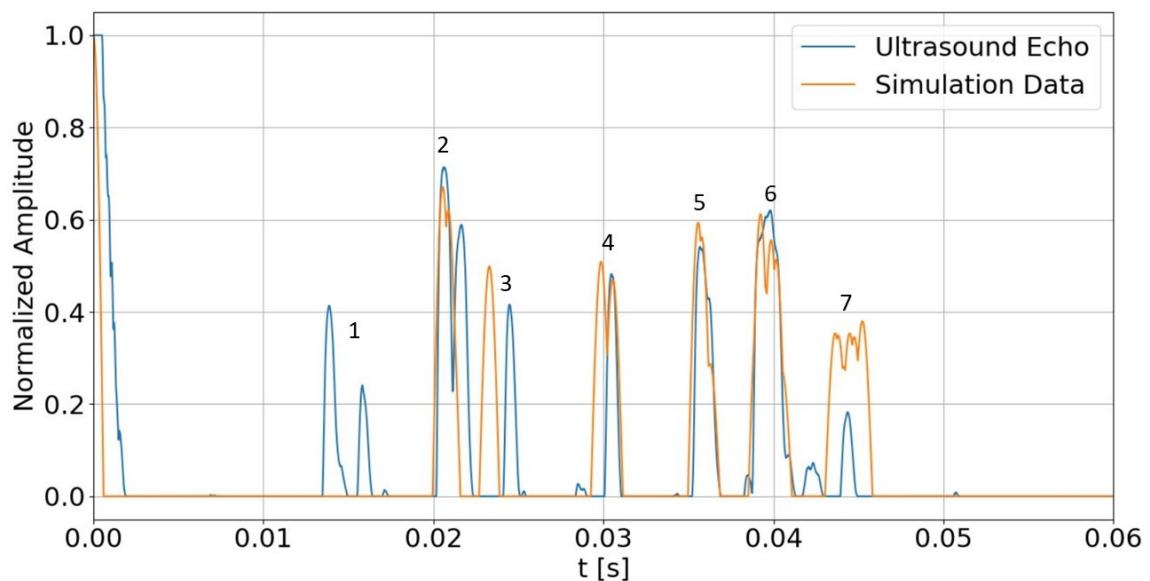


Abbildung 6.8.: Vergleich zwischen Ultraschallmessung und 3D-Raytracing-Simulation

Vergleicht man andere Positionen in dem Raum, so sind die Ergebnisse der Vergleiche identisch. Dabei sind bei diesem Test deutlich die Eigenschaften der 3D-Raytracing-Simulation zu erkennen. An realen Objekten werden hierbei die Ultraschallwellen nicht komplett in einem idealen Winkel reflektiert. So sind in den Ultraschallmessungen Echos zu sehen, die in der Simulation nicht zu sehen sind, da hier von idealen Reflexionen ausgegangen wird. Des Weiteren können verschiebbare Objekte einen Unterschied beim Vergleich zwischen Ultraschallmessung und Simulation verursachen, wenn diese ihre Position verändern. Ein weiterer Punkt stellt der Detaillierungsgrad der Karte dar. Dieser kann bei einer zu niedrigen Detaillierung zu schlechteren Übereinstimmungen führen.

Ein weiterer Punkt ist die Ausführungszeit der 3D-Raytracing-Simulation. Diese beträgt auf einem Rechner mit 14 CPU-Kernen, also 28 Prozessen und einem Takt von $2,87\text{ GHz}$ $0,42\text{ min}$. Der Jitter beträgt hierbei $0,46\text{ min}$. Es ist zu erkennen, dass eine zur Ultraschallmessung parallele Simulation zeitintensiv ist. Somit ist eine Bestimmung von Position und

Orientierung mit der Simulation im Vergleich zu einer Look-Up-Tabelle deutlich zeitintensiver.

Zeitliches Verhalten

Um das zeitliche Verhalten des UPS zu beurteilen, wird der Test mit den zwei verwendeten Sensoranordnungen durchgeführt. Hierbei wird zunächst das zeitliche Verhalten mit einem Ultraschallsensor ermittelt. Anschließend erfolgt der Test mit zwei Ultraschallsensoren. Dabei werden die beiden Algorithmen zur Positionsbestimmung einzeln betrachtet. Die Beurteilung des zeitlichen Verhaltens erfolgt mithilfe der Ausführungszeit des UPS, bis eine Position bestimmt wurde. Des Weiteren wird bei diesem Test die Positionsbestimmung mithilfe einer Look-Up-Tabelle als Simulationsersatz durchgeführt.

Die Ausführungszeit des UPS beträgt bei einem Sensor und der globalen Positionsbestimmung ca. 78,6 s. Hierbei beträgt der Jitter 3,6 s. Die Positionsvorhersage, bei der deutlich weniger Positionen verglichen werden, benötigt ca. 3,42 s. Der Jitter ist hierbei vernachlässigbar klein.

Das Ergebnis der Ausführungszeit für zwei Sensoren und der globalen Positionsbestimmung liegt bei 456,6 s. Der Jitter beträgt dabei 1,2 s. Die Positionsvorhersage benötigt hingegen 22,2 s, wobei der Jitter vernachlässigbar klein ist.

Es ist bei diesem Test deutlich zu erkennen, dass die Ausführungszeit exponentiell zur Anzahl der Ultraschallsensoren steigt. So benötigt das UPS für zwei Sensoren ca. sechsmal solange, wie für einen Sensor. Hierbei unterliegt die Ausführungszeit einer relativ hohen Schwankung, da das UPS mit *Ubuntu 18.04* auf einem nicht echtzeitfähigen Betriebssystem ausgeführt wird.

6.3. Anwendungsfall

Für den Anwendungsfall wird der Testraum der 3D-Raytracing-Simulation aus Abschnitt 6.2 verwendet. Hierbei wird der Raum in ein festes Rastermaß von 7 x 7 Positionen aufgeteilt. Das Rastermaß in x-Richtung beträgt dabei 0,6 m und in y-Richtung 1,125 m. Die Winkelschrittweite wird auf 45° festgelegt. Somit ist der Raum in 49 Positionen mit jeweils 8 möglichen Orientierungen aufgeteilt. Der gefahrene Testweg ist in Abbildung 6.9 zu sehen. Die roten Kreuze mit den grünen Pfeilen zeigen die jeweiligen Position mit Orientierung. Bei der Wahl der jeweils nächsten Position wird hierbei die Regel der Positionsvorhersage beachtet.

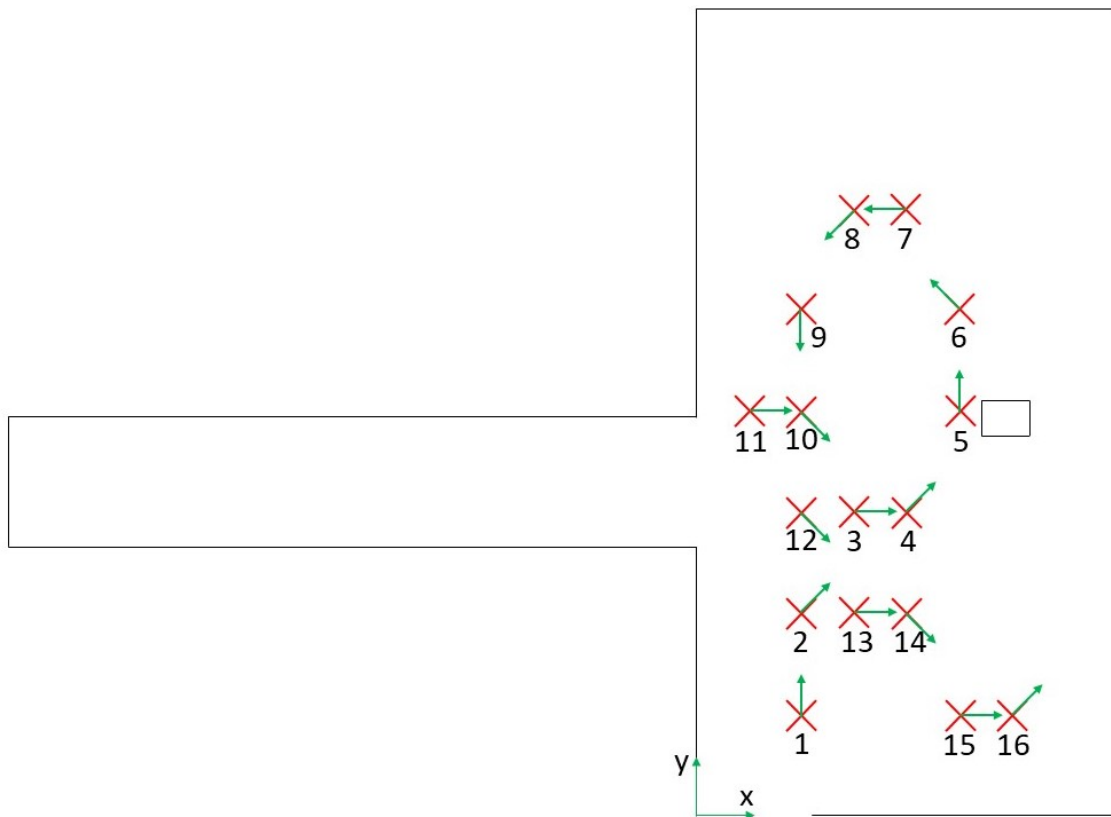


Abbildung 6.9.: Bewegungspfad des Anwendungsfalls im Testraum

Im Folgenden wird der Test zunächst mit dem Algorithmus der globalen Positionsbestimmung durchgeführt. Anschließend erfolgt der Test des Algorithmus mit der Positionsvorhersage. Die Testergebnisse werden jeweils mit den zwei entwickelten Ultraschallsensoranordnungen ermittelt. Hierbei werden die Ultraschallsensoren auf einer Höhe von 1,12 m platziert.

Globale Positionsbestimmung

Tabelle 6.1 zeigt die Ergebnisse des Algorithmus mit globaler Positionsbestimmung und den beiden Ultraschallsensoranordnungen. Hierbei werden die Sollpositionen mit den vom UPS bestimmten Positionen verglichen. Die mittleren Spalten stellen dabei die Ergebnisse der ersten Ultraschallsensoranordnung mit einem Sensor dar. Die Spalten auf der rechten Seite hingegen die zweite Ultraschallsensoranordnung mit zwei Sensoren. Es ist zu erkennen, dass beide Sensoranordnungen bezüglich fünf Positionen die Position korrekt bestimmen.

Nr	Sollposition $x ; y ; \phi$	Ultraschallsensoranordnung			
		1 Sensor		2 Sensoren	
1	1,2 ; 1,125 ; 90	1,2 ; 1,125 ; 90	✓	1,2 ; 7,875 ; 180	✗
2	1,2 ; 2,25 ; 45	2,4 ; 7,875 ; 270	✗	1,2 ; 7,875 ; 180	✗
3	1,8 ; 3,375 ; 0	3,0 ; 5,625 ; 180	✗	3,0 ; 5,625 ; 180	✗
4	2,4 ; 3,375 ; 45	1,2 ; 7,875 ; 180	✗	2,4 ; 1,125 ; 0	✗
5	3,0 ; 4,5 ; 90	3,0 ; 4,5 ; 270	✗	3,0 ; 4,5 ; 90	✓
6	3,0 ; 5,625 ; 135	3,0 ; 5,625 ; 135	✓	3,0 ; 5,625 ; 135	✓
7	2,4 ; 6,75 ; 180	2,4 ; 5,625 ; 180	✗	2,4 ; 5,625 ; 180	✗
8	1,8 ; 6,75 ; 225	3,0 ; 2,25 ; 315	✗	3,0 ; 2,25 ; 315	✗
9	1,2 ; 5,625 ; 270	2,4 ; 4,5 ; 315	✗	1,2 ; 7,875 ; 180	✗
10	1,2 ; 4,5 ; 315	1,2 ; 4,5 ; 315	✓	1,2 ; 4,5 ; 315	✓
11	0,6 ; 4,5 ; 0	2,4 ; 3,375 ; 315	✗	1,2 ; 6,75 ; 180	✗
12	1,2 ; 3,375 ; 315	2,4 ; 4,5 ; 315	✗	1,2 ; 7,875 ; 180	✗
13	1,8 ; 2,25 ; 0	3,0 ; 7,875 ; 180	✗	3,0 ; 1,125 ; 180	✗
14	2,4 ; 2,25 ; 315	2,4 ; 2,25 ; 315	✓	2,4 ; 2,25 ; 315	✓
15	3,0 ; 1,125 ; 0	3,0 ; 1,125 ; 0	✓	3,0 ; 1,125 ; 0	✓
16	3,6 ; 1,125 ; 45	1,2 ; 1,125 ; 225	✗	3,0 ; 2,25 ; 315	✗

Tabelle 6.1.: Auswertung der globalen Positionsbestimmung

Betrachtet man das Ergebnis der Position 5 mit einem Sensor, so ist die Eigenschaft eines symmetrischen Raums zu erkennen. Hierbei zeigt Abbildung 6.10 einen Vergleich der Ultraschallechos mit der Simulation der Sollorientierung mit 90° . Wohingegen Abbildung 6.11 den Vergleich mit der gefundenen Orientierung von 270° zeigt. Die beiden Simulationen weisen einen ähnlichen Verlauf auf, wobei der Simulationsverlauf der 270° -Orientierung bei dem großen Peakcluster eine etwas bessere Übereinstimmung zeigt. Hierdurch wird durch das UPS die Position mit der 270° -Orientierung ermittelt.

Abbildung 6.12 zeigt den Vergleich der Position 5 mit den zwei Ultraschallsensoren der zweiten Sensoranordnung. Der obere Verlauf zeigt die zusammengeführten Ultraschallsignale der beiden Ultraschallsensoren, bei dem der erste Sensor den Ultraschallpuls aussendet. Beim unteren Verlauf sendet hingegen der zweite Sensor den Puls aus. Die Verläufe aus Ultraschallsignal und simulierten Ultraschallsignalen weisen dabei eine hohe Übereinstimmung auf. Es ist hierbei zu erkennen, dass bei Verwendung von zwei Sensoren statt einem, die Vieldeutigkeiten zum Teil reduziert werden und die Position in diesem Fall korrekt erkannt wird.

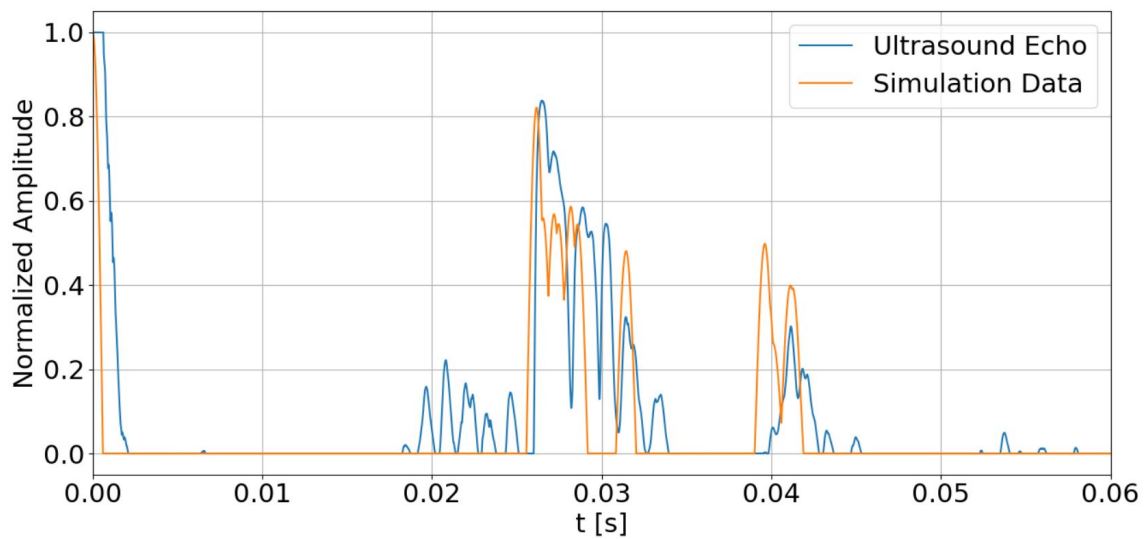


Abbildung 6.10.: Vergleich der Position 5 zwischen Ultraschallsignal und Simulation der Sollposition

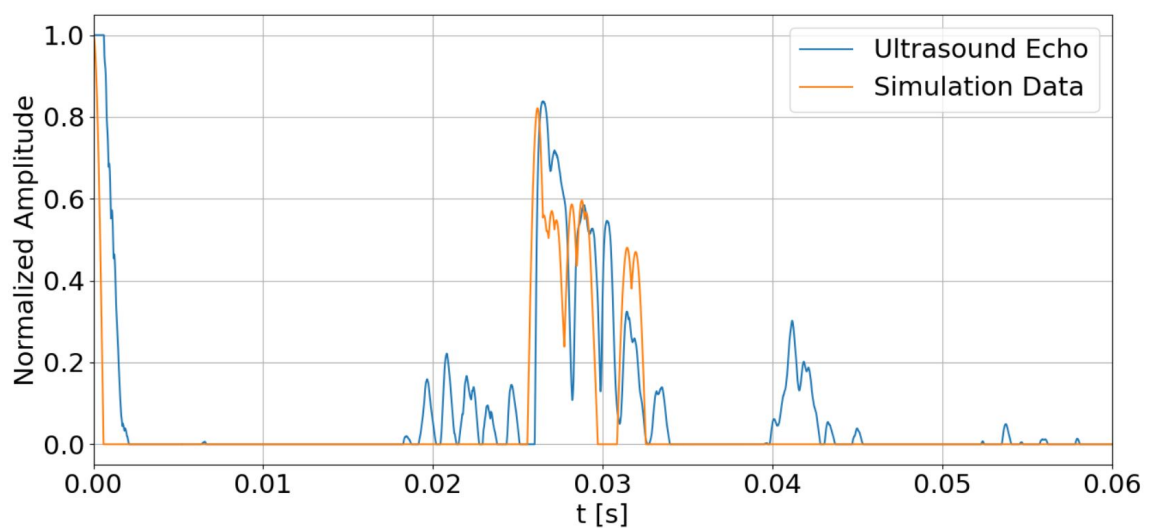


Abbildung 6.11.: Vergleich der Position 5 zwischen Ultraschallsignal und Simulation der bestimmten Position

Durch den Test der globalen Positionsbestimmung ist zu erkennen, dass bei einer unregelmäßigen Positionsbestimmung die Vieldeutigkeiten der Ultraschallsignaturen eine große Beeinflussung ausüben. Hierbei verhalten sich die zwei Ultraschallsensoranordnungen identisch und weisen ähnliche Ergebnisse auf.

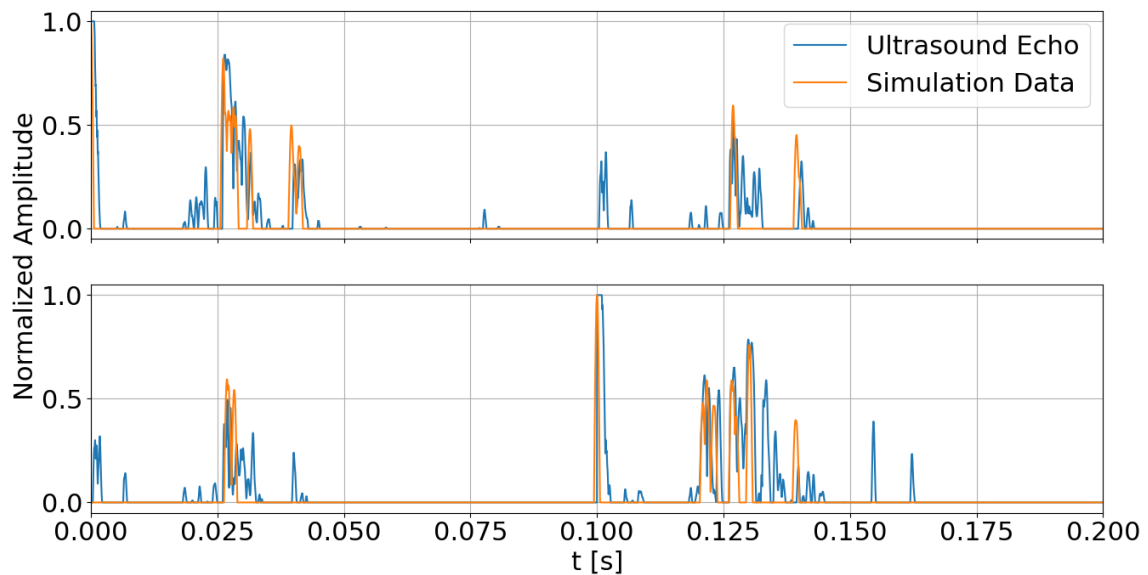


Abbildung 6.12.: Vergleich der Position 5 zwischen Ultraschallsignal und Simulation mit zwei Ultraschallsensoren

Positionsvorhersage

In Tabelle 6.2 ist das Ergebnis des Algorithmus mit Positionsvorhersage zu sehen. In den Testergebnissen sind ebenfalls beide Ultraschallsensoranordnungen wie in Tabelle 6.1 enthalten. Hierbei ist zu erkennen, dass die erste Sensoranordnung mit einem Ultraschallsensor acht Positionen richtig ermittelt. Die zweite Sensoranordnung mit zwei Ultraschallsensoren ermittelt hingegen elf Positionen richtig.

In Abbildung 6.13 ist der Vergleich der Position 16 zwischen den Ultraschallechos und der Simulation der Sollposition zu erkennen. Hierbei werden die Verläufe der zweiten Ultraschallsensoranordnung dargestellt. Der obere Plot zeigt die Signaturen, bei dem der erste Ultraschallsensor den Ultraschallpuls aussendet. Beim unteren Verlauf sendet der zweite um 45° im Uhrzeigersinn verdrehte Sensor den Ultraschallpuls aus. Des Weiteren stellen die einzelnen Plots die aus den Ultraschallsignalen der Ultraschallsensoren erstellten Ultraschallsignaturen dar. Abbildung 6.14 hingegen zeigt den Vergleich der Ultraschallechos mit dem Simulationsergebnis der vom UPS bestimmten Position. Dabei ist zu erkennen, dass bei der simulierten Sollposition der erste Sensor als Pulssender kaum Echos verursacht. Die Ultraschallsignaturen, die durch den zweiten Ultraschallsensor als Pulssender generiert werden, weisen hingegen einen identischen Verlauf auf. Dadurch, dass der Verlauf der durch den erste Ultraschallsensor generierten Ultraschallsignatur aus Abbildung 6.14 eine höhere Übereinstimmung aufweist, wird Position 16 in diesem Fall falsch bestimmt.

Nr	Sollposition $x ; y ; \phi$	Ultraschallsensoranordnung			
		1 Sensor		2 Sensoren	
1	1,2 ; 1,125 ; 90	1,2 ; 1,125 ; 90	✓	1,2 ; 1,125 ; 90	✓
2	1,2 ; 2,25 ; 45	1,2 ; 2,25 ; 90	✗	1,2 ; 3,375 ; 135	✗
3	1,8 ; 3,375 ; 0	1,2 ; 1,125 ; 135	✗	2,4 ; 2,25 ; 315	✗
4	2,4 ; 3,375 ; 45	2,4 ; 3,375 ; 45	✓	2,4 ; 3,375 ; 45	✓
5	3,0 ; 4,5 ; 90	3,0 ; 4,5 ; 90	✓	3,0 ; 4,5 ; 90	✓
6	3,0 ; 5,625 ; 135	3,0 ; 5,625 ; 135	✓	3,0 ; 5,625 ; 135	✓
7	2,4 ; 6,75 ; 180	2,4 ; 5,625 ; 180	✗	2,4 ; 6,75 ; 180	✓
8	1,8 ; 6,75 ; 225	3,0 ; 6,75 ; 180	✗	1,8 ; 6,75 ; 225	✓
9	1,2 ; 5,625 ; 270	1,8 ; 5,625 ; 225	✗	0,6 ; 4,5 ; 270	✗
10	1,2 ; 4,5 ; 315	1,2 ; 4,5 ; 315	✓	1,2 ; 4,5 ; 315	✓
11	0,6 ; 4,5 ; 0	0,6 ; 5,625 ; 0	✗	1,2 ; 4,5 ; 315	✗
12	1,2 ; 3,375 ; 315	1,2 ; 3,375 ; 315	✓	1,2 ; 3,375 ; 315	✓
13	1,8 ; 2,25 ; 0	1,2 ; 2,25 ; 225	✗	1,8 ; 2,25 ; 0	✓
14	2,4 ; 2,25 ; 315	2,4 ; 2,25 ; 315	✓	2,4 ; 2,25 ; 315	✓
15	3,0 ; 1,125 ; 0	3,0 ; 1,125 ; 0	✓	3,0 ; 1,125 ; 0	✓
16	3,6 ; 1,125 ; 45	3,6 ; 1,125 ; 315	✗	4,2 ; 1,125 ; 315	✗

Tabelle 6.2.: Auswertung der Positionsvorhersage

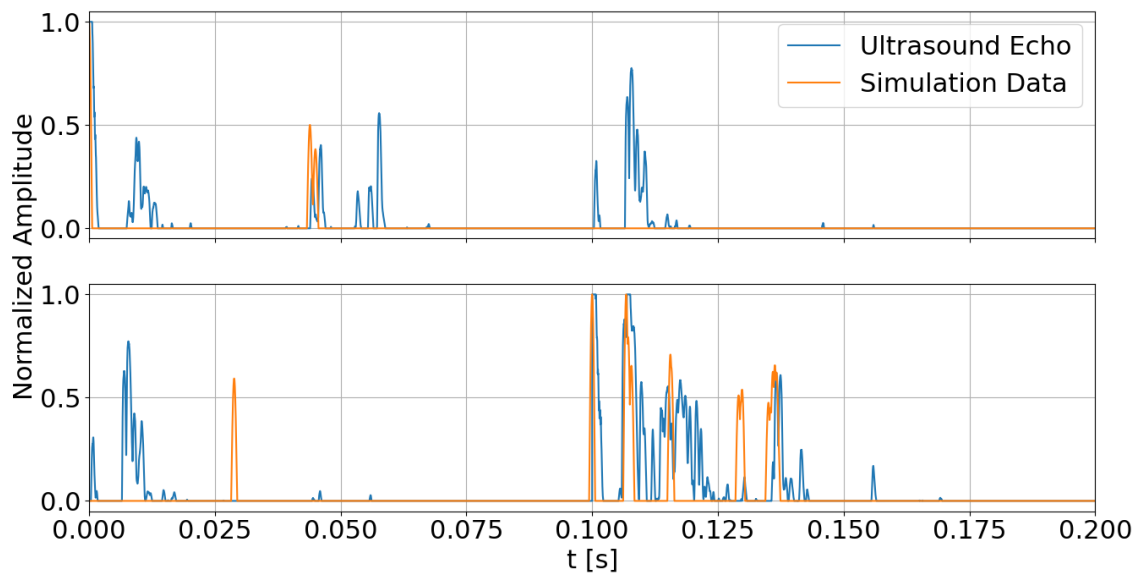


Abbildung 6.13.: Vergleich der Position 16 zwischen Ultraschallsignal und Simulation der Sollposition

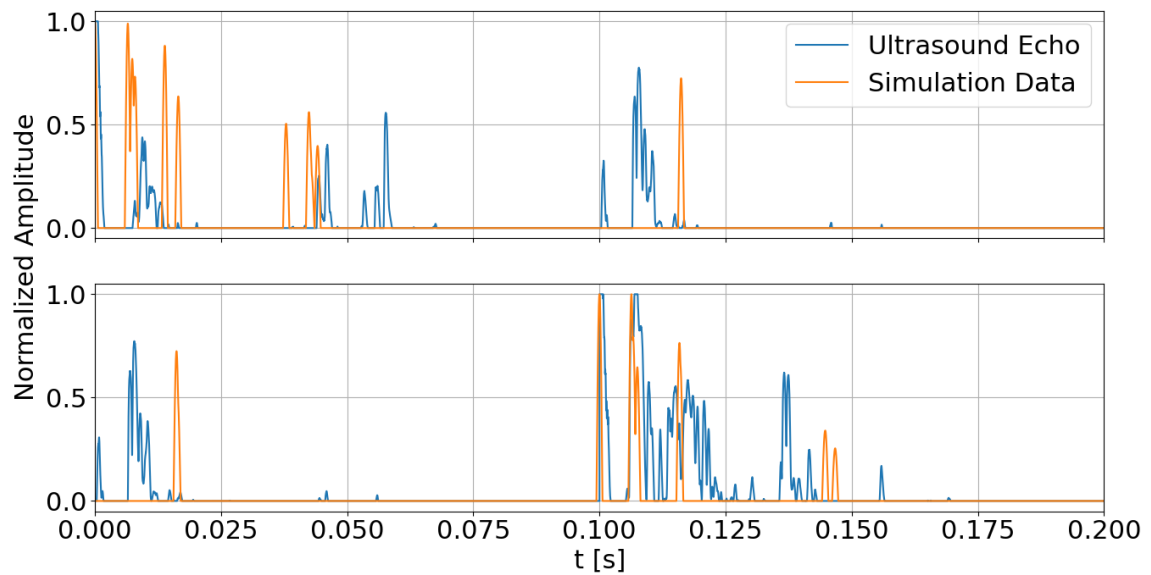


Abbildung 6.14.: Vergleich der Position 16 zwischen Ultraschallsignal und Simulation der bestimmten Position

Fazit des Anwendungsfalls

Vergleicht man die Ultraschallsensoranordnungen mithilfe des Anwendungsfalls miteinander, ist zu erkennen, dass die Anzahl der Vieldeutigkeiten reduziert werden kann, dies aber zum Teil bei einer ungünstigen Sensoranordnung zu neuen Vieldeutigkeiten führt. Ein weiteres Ergebnis des Anwendungsfalls ist, dass der Algorithmus mit der Positionsvorhersage eine deutlich geringere Fehleranfälligkeit im Bezug auf Vieldeutigkeiten aufweist. Es ist ebenfalls zu erkennen, dass mit einer höheren Anzahl an asymmetrisch angeordneten Ultraschallsensoren in Verbindung mit der Positionsvorhersage eine deutlich bessere Erkennung von Position und Orientierung realisiert werden kann. Der Anwendungsfall zeigt, dass eine Positions- und Orientierungsbestimmung mithilfe einer parallelen Ultraschallmessung und Simulation der Umgebung ermöglicht wird. Hierbei wurde eine Genauigkeit in x-Richtung von $0,6\text{ m}$ und in y-Richtung von $1,125\text{ m}$ erreicht. Die maximale Abweichung der Orientierung liegt in diesem Fall durch die 45° -Schrittweite bei $22,5^\circ$.

6.4. Bewertung des umfeldsensorbasierten Navigationssystems

Das umfeldsensorbasierte Navigationssystem wird anhand der analysierten Anforderungen aus Abschnitt 3.2 bewertet. Die Bewertung mit den ermittelten Werten ist dabei in Tabelle 6.3 zu sehen.

Aus der Durchführung des Anwendungsfalls folgt, dass eine Erkennung der Fahrzeugposition und -orientierung ermöglicht wird. Hierbei hängt das Ergebnis von der möglichen Symmetrie des Raums und der gewählten Ultraschallsensoranordnung ab.

Für das UVPS wird das UPS als Umfeldsensoren-system verwendet, wodurch sich eine Anzahl an Systemen von eins ergibt. Der ROS-Node ist hingegen für weitere Umfeldsensoren-systeme vorbereitet und kann modular erweitert werden.

Durch die Tests der Abstandsmessung und der 3D-Raytracing-Simulation des UPS ist zu sehen, dass eine Erkennung von Umgebung und Objekten ermöglicht wird. Hierbei hat der Abstandstest eine maximale Detektionsreichweite von $10,57\text{ m}$ des UPS ergeben. Der Test der 3D-Raytracing-Simulation und der Anwendungsfall zeigen, dass die Simulation und die Ultraschallmessung zum Teil hohe Übereinstimmungen aufweisen. Hierdurch ist eine Erkennung von Objekten, die sich außerhalb des direkten Sichtfelds befinden, möglich. Dies stellt einen identifizierten Optimierungsansatz dar. Ein weiterer identifizierter Optimierungsansatz, der im weiteren Verlauf umgesetzt werden kann, ist die Ausgabe der Position in geografischen Koordinaten.

Betrachtet man das zeitliche Verhalten des UPS bei Verwendung des positionsvorhersagen-Algorithmus, so erhält man mit der Ausführungszeit bei der Ultraschallsensoranordnung mit einem Sensor eine Messfrequenz von $0,28\text{ Hz}$. Die Messfrequenz bei Verwendung der zweiten Ultraschallsensoranordnung beläuft sich auf $0,05\text{ Hz}$. In beiden Fällen wird die Ziel-messfrequenz von mindesten $1,67\text{ Hz}$ deutlich unterschritten.

Da die Platzierung des UPS auf dem Dachgepäckträger des Versuchsfahrzeugs vorgesehen ist und bei maximalen Geschwindigkeiten von $6\frac{\text{km}}{\text{h}}$ keine großen Kräfte wirken, ist das System für diese Geschwindigkeiten einsatzfähig. Die beim Anwendungsfall ermittelte Genauigkeit der Positionserkennung beläuft sich in x-Richtung auf $0,6\text{ m}$ und in y-Richtung auf $1,125\text{ m}$. Die erzielte Genauigkeit wird dabei durch das gewählte Rastermaß der Umgebungskarte beeinflusst. Durch eine feinere Einteilung der Umgebungskarte kann eine höhere Genauigkeit erzielt werden. Die für den Anwendungsfall festgelegte Winkelschrittweite führt zu einer Genauigkeit der Orientierungserkennung von 45° . Hierbei kann ebenfalls durch eine feinere Winkelschrittweite eine höhere Genauigkeit erzielt werden.

Da für das UVPS mit dem UPS nur ein Umfeldsensoren-system verwendet wird, entfällt die Verwendung einer Sensordatenfusion zur Ermittlung von Fahrzeugposition und -orientierung. Des Weiteren werden mögliche Fehlfunktionen des UPS abgefangen. Bei einem Fehlverhalten wird das UPS beendet. Dies führt zu keiner Beeinträchtigung des UVPS. Hierdurch ist die Funktionsfähigkeit des UVPS bei einem Ausfall von Teilsystemen gewährleistet.

Analysiert man den festgelegten Adressraum des Ethernetnetzwerks des UPS, so sind 254 IP-Adressen möglich, wobei zwei davon für den Industrie-PC des Versuchsfahrzeugs und den *NVIDIA Jetson Nano* reserviert sind. Hierdurch sind in dem Ethernetnetzwerk theoretisch bis zu 252 Ultraschallsensoren möglich. Da die Abtastrate der Ultraschallsensoren von 200 kHz auf 100 kHz reduziert wurde, reduziert sich ebenfalls das Datenaufkommen pro Ultraschallsensor auf $1,91 \frac{\text{Mbit}}{\text{s}}$ im Ethernetnetzwerk. Geht man von einem $100 \frac{\text{Mbit}}{\text{s}}$ -Ethernetnetzwerk aus, so ergibt sich eine maximale Anzahl von 52 Ultraschallsensoren.

Die Anordnung der Ultraschallsensoren des UPS ist hierbei modular und skalierbar im Bezug auf Anzahl und Positionierung. Durch die Möglichkeit der Platzierung der Ultraschallsensoren auf dem Dachgepäckträger des Versuchsfahrzeugs ist ein rückstandsfreier Ein- und Ausbau möglich. Ebenfalls wird eine Integration ohne Erlöschen der Straßenverkehrszulassung realisiert.

Das UVPS wurde mit *Ubuntu 16.04* als Basis implementiert. Für das UPS wird hingegen *Ubuntu 18.04* als Betriebssystem verwendet. Hierbei zeigt der Anwendungsfall, dass zwischen den Systemen eine problemlose Kommunikation möglich ist. Da es sich bei dem UPS um ein eingebettetes System handelt, zeigt die Verwendung eines anderen Betriebssystems keine Auswirkungen. Hierbei ist als Ergebnis zu erkennen, dass das UVPS auf *Ubuntu 16.04* lauffähig ist. Des Weiteren wurden sowohl das UVPS als auch das UPS mithilfe von ROS implementiert.

Als Spannungsversorgung für das UPS werden 5 V und 12 V verwendet. Hierbei werden die Ultraschallsensoren mit 12 V Spannung versorgt. Der *NVIDIA Jetson Nano* und der Ethernet-Switch werden hingegen mit 5 V Spannung versorgt. Da ein Betrieb unter regengeschützten Bedingungen vorgesehen ist, ist eine Abdichtung der Ultraschallsensoren nicht nötig. Hierbei ist ein Betrieb unter regengeschützten Bedingungen möglich. Da sich der analysierte Temperaturbereich für den Betrieb des UVPS innerhalb des standardmäßigen Betriebsbereichs von Elektronikkomponenten befindet, sollte ein Betrieb unter diesen Umgebungstemperaturen möglich sein. Da aber das *Arduino Due* Board keine Spezifikationen für Umgebungstemperaturen hat und die entwickelte Platine zur Synchronisation und Spannungsversorgung der Ultraschallsensoren in diesem Zusammenhang nicht getestet wurde, kann eine Beurteilung dieser Anforderung nicht erfolgen.

Betrachtet man die einzelnen Bewertungen der Anforderungen an das UVPS, ist zu erkennen, dass dieses für den geplanten Einsatz als zeitweise, alternative Methode zur satellitenbasierten Positionsbestimmung geeignet ist. Hierbei zeigen das UVPS und das UPS Potenzial für mögliche Verbesserungen.

ID	Beschreibung	Wert	Bewertung
1	Erkennung der Fahrzeugposition		✓
2	Erkennung der Fahrzeugorientierung		✓
3	Verwendung von Umfeldsensordaten	$n = 1$	✓
4	Verwendung eines Ultraschallsensorsystems		✓
5	Erkennung von Objekten, die sich nicht im direkten Sichtfeld befinden		✗
6	Erkennung der Umgebung und von Objekten		✓
7	Möglichst hohe Detektionsreichweite der einzelnen Umfeldsensordaten	$x \leq 10,57 \text{ m}$	✓
8	Ausreichend hohe Messfrequenz	$f \leq 0,28 \text{ Hz}$	✗
9	Einsatzfähigkeit des Navigationssystems bei Schrittgeschwindigkeit	$v \leq 6 \frac{\text{km}}{\text{h}}$	✓
10	Möglichst hohe Genauigkeit der Positionserkennung	$\Delta x = 0,6 \text{ m}$ $\Delta y = 1,125 \text{ m}$	✗
11	Möglichst hohe Genauigkeit der Orientierungserkennung	$\Delta \phi = 45^\circ$	✗
12	Bei der Verwendung von mehreren Umfeldsensordaten Positions- und Orientierungsbestimmung durch Sensordatenfusion		–
13	Navigationssystem modular erweiterbar um weitere Umfeldsensordaten		✓
14	Funktionsfähigkeit des Navigationssystems bei Ausfall von Teilsystemen		✓
15	Verwendung von mindestens zwei Ultraschallsensoren	$n \leq 52$	✓
16	Modulare und skalierbare Anordnung der Ultraschallsensoren		✓
17	Integration in das Versuchsfahrzeug ohne Erlöschen der Straßenverkehrszulassung		✓
18	Rückstandsfreier Ein- und Ausbau für das Versuchsfahrzeug		✓
19	Software des Navigationssystems lauffähig auf <i>Ubuntu 16.04</i>		✓
20	Implementierung des Navigationssystems mithilfe von ROS		✓
21	Spannungsversorgung durch Versuchsfahrzeug beziehungsweise Industrie-PC	$5 \text{ V}, 12 \text{ V}$	✓
22	Betrieb unter regengeschützten Bedingungen		✓
23	Betrieb bei Umgebungstemperaturen für Indoor-Bereiche	$0^\circ \text{ C bis } 30^\circ \text{ C}$	✗
24	Ausgabe der Position in geografischen Koordinaten		✗

Tabelle 6.3.: Bewertung des umfeldsensordatenbasierten Navigationssystems anhand der Anforderungen

7. Zusammenfassung

Im Rahmen dieser Arbeit wurde ein umfeldsensorbasiertes Navigationssystem für die Positionserkennung autonomer Fahrzeuge realisiert. Das System ermöglicht eine zu GNSS-basierten Systemen zeitweise, alternative Methode zur Positions- und Orientierungsbestimmung autonomer Fahrzeuge in Indoor-Bereichen. Dazu wird als Umfeldsensorysystem ein ultraschallbasiertes Positionierungssystem verwendet.

Das umfeldsensorbasierte Navigationssystem ist hierbei in Anzahl und Art der verwendeten Umfeldsensorysysteme modular und skalierbar. Des Weiteren ermöglicht das Navigationssystem eine leichte Integration in das Versuchsfahrzeug des *Urban Mobility Lab*.

Hierbei besteht das ultraschallbasierte Positionierungssystem aus einer eingebetteten zentralen Recheneinheit und einem synchronisierten Ultraschallsensorysystem. Das ultraschallbasierte Positionierungssystem ist dabei im Bezug auf Anzahl und Anordnung der verwendeten Ultraschallsensoren modular und skalierbar. Als Anordnungen wurden zwei unterschiedliche Ultraschallsensoryanordnungen entwickelt. Mithilfe von Ultraschall und der Detektion von Mehrfachreflexionen wird eine Erkennung von Umgebung und Objekten realisiert. Durch eine parallele Anordnung von Ultraschallmessung und simulierten Ultraschallechos wird eine ultraschallbasierte Bestimmung von Position und Orientierung ermöglicht.

Die auf drei Dimensionen erweiterte Raytracing-Simulation des *Urban Mobility Lab* unterteilt die Ultraschallwellen in einzelne Strahlen und berechnet durch Mehrfachreflexionen die jeweiligen Pfade. Hierbei werden die Strahlen in einer im Vorfeld definierten Karte simuliert. Des Weiteren berechnet die Simulation die Abstrahlcharakteristik des Ultraschallsensors beim Aussenden und Empfangen der einzelnen Strahlen. Das Ergebnis der Raytracing-Simulation ist der zeitliche Verlauf der zurückkommenden Ultraschallechos.

Als Ultraschallsensorysystem wird ein im *Urban Mobility Lab* bereits vorhandenes System verwendet und optimiert. Hierzu wird das Senden und Empfangen von Ultraschall in ein Ultraschallmodul ausgelagert. Eine weitere Optimierung des Ultraschallsensors ist die Synchronisation der Ultraschallsensoren untereinander. Des Weiteren wird über die Synchronisation ein Token Passing realisiert, mit dem der jeweilige Ultraschallsensor bestimmt wird, der den Ultraschallpuls aussendet. Hierzu wird ein Platinendesign umgesetzt. Ebenfalls optimiert wird die Spannungsversorgung der Ultraschallsensoren. Um diese zu vereinfachen, wird die interne Spannungsversorgung zu einer externen Spannungsversorgung geändert.

Zur Bestimmung von Position und Orientierung wurden zwei Algorithmen implementiert. Die globale Positionsbestimmung vergleicht hierbei die aufgenommenen Ultraschallechos mit den simulierten Ultraschallechos jeder einzelnen Position und Orientierung. Der Algorithmus mit Positionsvorhersage hingegen verwendet die letzte bekannte Position und ermittelt mögliche Positionen, um die Simulationsergebnisse dieser mit dem aufgenommenen Ultraschallecho zu vergleichen.

Der abschließende Test führt zunächst eine Beurteilung des optimierten Ultraschallsensors durch. Der anschließende Test bewertet das ultraschallbasierte Positionierungssystem. Ein weiterer Test ist die Anwendung des umfeldsensorbasierten Navigationssystems anhand eines Anwendungsfalls. Des Weiteren erfolgt eine Bewertung des gesamten umfeldsensorbasierten Navigationssystems. Hierbei orientieren sich die Tests und Bewertungen an den analysierten Anforderungen.

Aus der Bewertung des umfeldsensorbasierten Navigationssystems folgt, dass dieses als zeitweise, alternative Methode zur Bestimmung von Position und Orientierung autonomer Fahrzeuge eingesetzt werden kann. Das umfeldsensorbasierte Navigationssystem ist hierbei eine Basis für weitere Optimierungen und Erweiterungen, die im Anschluss an diese Arbeit erfolgen können.

8. Ausblick

Das entwickelte umfeldsensorbasierte Navigationssystem zeigt Potenzial für mögliche Verbesserungen. Hierzu beschreibt der Ausblick die identifizierten Optimierungsansätze für das ultraschallbasierte Positionierungssystem. Ein weiterer Punkt ist die Weiterentwicklung des umfeldsensorbasierten Navigationssystems. Abschließend wird auf die Integration des Systems in das Versuchsfahrzeug eingegangen und dessen Anwendung beschrieben.

8.1. Optimierung des ultraschallbasierten Positionierungssystems

Ein Ansatz zur Optimierung des ultraschallbasierten Positionierungssystems ist die Detektion von verdeckten Objekten. Hierbei kann bei einer korrekt bestimmten Position und Orientierung die Ultraschallsignatur mit der Signatur der Simulation verglichen werden. Bei einem ausreichend hohen Detailgrad der Simulationskarte kann die Signatur der Simulation von der Ultraschallsignatur subtrahiert werden. Die übrig bleibenden Ultraschallechos könnten hierbei Aufschluss über verdeckte Objekte geben. Hierzu kann sich zum Beispiel ein Machine-Learning-Algorithmus eignen.

Ein weiterer identifizierter Optimierungsansatz beschreibt die Bestimmung von Position und Orientierung. Hierzu kann diese mithilfe eines Machine-Learning-Algorithmus realisiert werden, wie zum Beispiel dem *Deep Gaussian Process Regression Model* (vgl. Teng u. a., 2018, S. 1). Um in diesem Fall einen großen Datensatz unter definierten Bedingungen zu erhalten, eignet sich zur Erzeugung die 3D-Raytracing-Simulation. Da die Simulation allerdings ideale Bedingungen darstellt, können die Simulationsergebnisse mit einem künstlichen Rauschen versehen werden. Erzeugt man so aus den einzelnen Simulationsergebnissen mehrere Datenpunkte mit unterschiedlichen Rauschfaktoren, erhöht dies die Datenvielfalt des Datensatzes. Mit einem Machine-Learning-Algorithmus kann es ebenfalls möglich sein, von einer unbekanntem Umgebung, von der noch keine Karte vorhanden ist, automatisiert eine Karte zu erstellen.

Um das ultraschallbasierte Positionierungssystem besser in das umfeldsensorbasierte Navigationssystem zu integrieren, ist es nötig, die Positions- und Orientierungsangaben an

geografische Koordinaten anzupassen. Dies kann mithilfe eines Wrappers leicht realisiert werden. Dabei ist es nötig, genaue geografische Koordinaten der jeweiligen Karte zu ermitteln.

Da das ultraschallbasierte Positionierungssystem nicht in allen Bereichen einsetzbar ist, eignet sich die Verwendung von sogenannten *Geofences*. Hierbei wird das Gebiet, in dem das System angewendet werden kann, mithilfe von geografischen Koordinaten abgegrenzt. Bei der Einfahrt in ein solches Gebiet kann damit die Aktivierung des Systems erfolgen. Solche Gebiete können zum Beispiel in Kartendiensten wie etwa *OpenStreetMap* integriert werden.

8.2. Optimierung des umfeldsensorbasierten Navigationssystems

Der Optimierungsansatz des umfeldsensorbasierten Navigationssystems betrifft die Sensordatenfusion. Diese ist nötig, um die Position und Orientierung des Fahrzeugs mithilfe von mehreren Systemen zu bestimmen. Hierzu kann zum Beispiel der im Rahmen einer Bachelorarbeit im *Urban Mobility Lab* entwickelte Kalman-Filter erweitert werden (vgl. Mohr, 2016, S. 3). Somit kann die GNSS-basierte Bestimmung von Position und Orientierung mithilfe des ultraschallbasierten Positionierungssystems bei stark verfälschten beziehungsweise nicht vorhandenen Satellitensignalen zeitweise verbessert werden.

Des Weiteren können mithilfe einer Sensordatenfusion im *Urban Mobility Lab* entwickelte Positionierungssystem in das umfeldsensorbasierte Navigationssystem integriert werden. Hierzu zählen unter anderem das im Rahmen einer Masterarbeit entwickelte hochpräzise System zur Positionsbestimmung von Fahrzeugen in urbanen Gebieten (vgl. Wegner, 2017, S. 3) und das im Rahmen einer Bachelorarbeit entwickelte LiDAR-basierte SLAM-System (vgl. Vater, 2018, S. 3). Weitere Systeme, die in das umfeldsensorbasierte Navigationssystem integriert werden können, sind die Entwicklungen aus zwei aktuellen Masterarbeiten des *Urban Mobility Lab* zur Positionsbestimmung mithilfe einer sphärischen- beziehungsweise einer Stereo-Kamera.

8.3. Integration in das Versuchsfahrzeug

Im Anschluss an diese Arbeit kann die Integration des umfeldsensorbasierten Navigationssystems in das Versuchsfahrzeug erfolgen. Da die Ultraschallsensoren einen rückstandsfreien Ein- beziehungsweise Ausbau ermöglichen, kann die Integration auf dem Dachgepäckträger des Versuchsfahrzeugs ohne Erlöschen der Straßenverkehrszulassung erfolgen. Hierbei

ist durch die Eigenschaften des Dachgepäckträgers eine variable Anordnung der Ultraschallsensoren möglich. In Abbildung 8.1 ist eine mögliche asymmetrische Sensoranordnung zu sehen, die aus sechs Ultraschallsensoren besteht. Hierbei stellen die roten Linien die Grenzen der jeweiligen Ultraschallkeulen dar. Durch die asymmetrische Anordnung und der teilweisen Überschneidung der Ultraschallkeulen kann die Auswirkung von Vieldeutigkeiten auf die Bestimmung von Position und Orientierung minimiert werden. Hierbei ist eine einfache Portierung der Software auf den Industrie-PC des Versuchsfahrzeugs durch die Verwendung von *Ubuntu 16.04* als Betriebssystem und ROS als Meta-Betriebssystem möglich.

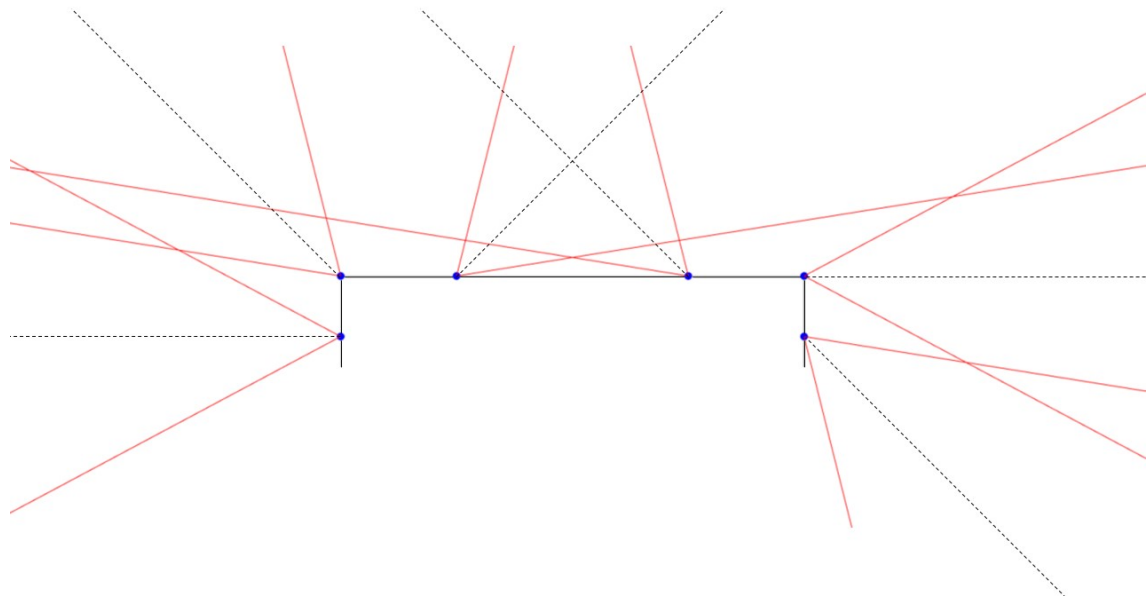


Abbildung 8.1.: Mögliche Sensoranordnung der Ultraschallsensoren auf dem Versuchsfahrzeug

Abkürzungsverzeichnis

ADC	Analog to Digital Converter
CAN	Controller Area Network
EKF	Extended Kalman-Filter
GLONASS	Global Navigation Satellite System
GNSS	Global Navigation Satellite System
GPS	Global Positioning System
INS	Inertial Navigation System
LiDAR	Light Detection and Ranging
MUSSE	Multi-Ultrasonic-Sensor System for Echolocation
PoE	Power over Ethernet
ROS	Robot Operating System
SLAM	Simultaneous Localization and Mapping
SoC	System on Chip
UPS	Ultrasound Positioning System / ultraschallbasiertes Positionierungssystem
UVPS	Universal Vehicle Positioning System / umfeldsensorbasiertes Navigationssystem

Abbildungsverzeichnis

1.1. Stufen des automatisierten und autonomen Fahrens (VDA, 2015, S. 15)	8
1.2. Verfälschung des Satellitensignals durch den <i>Multipath</i> -Fehler (NOAA, 2019)	9
2.1. Vergleich der Formeln 2.5 und 2.6 zur Berechnung der Schallgeschwindigkeit	12
2.2. Abhängigkeit der Schallintensität I von der Frequenz f (Hering und Schönfelder, 2012, S. 111)	13
2.3. Gerichtete Reflexion von Ultraschall an einem Objekt	14
2.4. Messbereich eines Ultraschallsensors (Hering und Schönfelder, 2012, S. 180)	17
2.5. Beispielhafte Beeinflussungen von Ultraschallmessungen	17
2.6. Dynamisches, hybrides Ultraschall-Lokalisierungssystem (Seong und Byung, 2013, S. 4568)	19
2.7. a) 48-kanaliger Ultraschallring und b) FPGA-Signalverarbeitungspfad (Browne und Kleeman, 2009, S. 4043)	21
2.8. Multi-Ultraschallsensorsystem zur Echolokalisierung (Wu u. a., 2016, S. 80) .	22
2.9. Positionsveränderung der Ultraschallbank (Ilias u. a., 2016, S. 190)	23
2.10. a) Spiegelungen der Bildquellen-Methode (Albuquerque u. a., 2008, S. 3) und b) Abstrahlcharakteristik des Ultraschallsendermodells (Albuquerque u. a., 2008, S. 4)	25
2.11. Entwicklungssystem in Mehrfachanordnung (Rotzlawski, 2018, S. 36)	27
2.12. Architektur des Ultraschallsensors (Rotzlawski, 2018, S. 39)	28
2.13. Raytracing-Ergebnis der Simulation	29
2.14. Vergleich der 2D-Raytracing-Simulation mit einer realen Ultraschallmessung .	29
2.15. Messaufbau auf dem Versuchsfahrzeug	30
2.16. Messsystemarchitektur des Versuchsfahrzeugs	31
3.1. Anwendungsfall mit einem Fahrzeug ohne umfeldsensorbasiertes Navigati- onssystem	33
4.1. Systemarchitekturentwurf des Gesamtsystems	36
4.2. Architekturentwurf des ultraschallbasierten Positionierungssystems	38
4.3. Konzept zur Erkennung von Umgebung und verdeckten Objekten	39
4.4. Methodenkonzept der ultraschallbasierten Positions- und Orientierungsbe- stimmung	40

4.5. Architekturentwurf des optimierten Ultraschallsensors	41
4.6. Entwurf zur Synchronisation des Ultraschallsensorsystems	42
5.1. Definierte Architektur des Ultraschallsensors	45
5.2. Synchronisation und Spannungsversorgung der Ultraschallsensoren	46
5.3. Platinenlayout a) Oberseite und b) Unterseite	47
5.4. a) aufgebaute Platine und b) Spannungsversorgung des <i>Arduino Dues</i>	48
5.5. CAD-Modell des Ultraschallsensorgehäuses a) Vorderansicht und b) Rückansicht	49
5.6. Links der Ultraschallsensor aus Abschnitt 2.2.1 und rechts der optimierte Ultraschallsensor	50
5.7. Definierte Architektur des ultraschallbasierten Positionierungssystems	55
5.8. Ultraschall-Raytracing Vergleich bei Verwendung eines Sensors	56
5.9. Vergleich des zeitlichen Verlaufs der Ultraschallechos bei Verwendung eines Sensors	57
5.10. Ultraschall-Raytracing Vergleich bei Verwendung von zwei asymmetrisch angeordneten Sensoren	57
5.11. Vergleich des zeitlichen Verlaufs der Ultraschallechos bei Verwendung von zwei Sensoren	58
5.12. Softwarearchitektur des ultraschallbasierten Positionierungssystems	59
5.13. Berechnung der Winkelauflösung der Ultraschallstrahlen	61
5.14. Vergleich der Abstrahlcharakteristik des Ultraschallmoduls mit der Simulationsberechnung	62
5.15. Vergleich der Hüllkurven mit einem Ultraschallecho	64
5.16. Gauß-Funktion zur Bestimmung der Wahrscheinlichkeit einer gefundenen Position	65
5.17. Schematische Darstellung der Positionsvorhersage	66
5.18. Architektur des umfeldsensorbasierten Navigationssystems	67
6.1. Zeitliches Verhalten der Synchronisation des Messungsstarts	69
6.2. Zeitliches Verhalten des Token Passings der Ultraschallsensoren	70
6.3. Dauer eines Messdurchlaufs der Ultraschallsensoren	71
6.4. Testszenario für die Abstandsmessung	72
6.5. Test zur Ermittlung des maximalen Abstands	73
6.6. Grundabmessung des Testraums	74
6.7. Visualisierte Strahlpfade der 3D-Raytracing-Simulation	74
6.8. Vergleich zwischen Ultraschallmessung und 3D-Raytracing-Simulation	75
6.9. Bewegungspfad des Anwendungsfalls im Testraum	77
6.10. Vergleich der Position 5 zwischen Ultraschallsignal und Simulation der Sollposition	79

6.11. Vergleich der Position 5 zwischen Ultraschallsignal und Simulation der bestimmten Position	79
6.12. Vergleich der Position 5 zwischen Ultraschallsignal und Simulation mit zwei Ultraschallsensoren	80
6.13. Vergleich der Position 16 zwischen Ultraschallsignal und Simulation der Sollposition	81
6.14. Vergleich der Position 16 zwischen Ultraschallsignal und Simulation der bestimmten Position	82
8.1. Mögliche Sensoranordnung der Ultraschallsensoren auf dem Versuchsfahrzeug	91
A.1. Pinbelegung der Synchronisationsleitung	102
A.2. Platinenlayout der Oberseite	103
A.3. Platinenlayout der Unterseite	104
B.1. Ablauf des Hauptprogramms des Ultraschallsensors	109
B.2. Ablauf des Mastermode des Ultraschallsensors	110
B.3. Ablauf des Slavemode des Ultraschallsensors	111
B.4. Ablauf der Systemschnittstelle des ultraschallbasierten Positionierungssystems	112
B.5. Ablauf der Ultraschallsensorschnittstelle des ultraschallbasierten Positionierungssystems	113
B.6. Ablauf der Ultraschallmerkmalsextraktion des ultraschallbasierten Positionierungssystems	114
B.7. Ablauf der 3D-Raytracing-Simulation des ultraschallbasierten Positionierungssystems	115
B.8. Ablauf der Positionsbestimmung des ultraschallbasierten Positionierungssystems	116

Tabellenverzeichnis

2.1. Übersicht der Projekte der folgenden Abschnitte	18
3.1. Anforderungen an das umfeldsensorbasierte Navigationssystem	35
4.1. Erfüllte Anforderungen der Systemarchitektur des umfeldsensorbasierten Navigationssystems	37
4.2. Erfüllte Anforderungen der Architektur des ultraschallbasierten Positionierungssystems	38
4.3. Erfüllte Anforderungen der Methode zur ultraschallbasierten Positionsbestimmung	40
4.4. Erfüllte Anforderungen des optimierten Ultraschallsensors	42
5.1. Spezifikationen des <i>MaxBotix XL-MaxSonar MB1360</i> im Vergleich zu den Anforderungen	44
5.2. Aufbau des Ethernetprotokolls zur Kommunikation	52
5.3. Gegenüberstellung der eingebetteten Systeme	54
6.1. Auswertung der globalen Positionsbestimmung	78
6.2. Auswertung der Positionsvorhersage	81
6.3. Bewertung des umfeldsensorbasierten Navigationssystems anhand der Anforderungen	86
A.1. Pinbelegung der Synchronisationsleitung	102
A.2. Pinbelegung des Synchronisationsboards auf dem Arduino Due	106
A.3. Bauteilliste des Synchronisationsboards	106

Literaturverzeichnis

- [Albuquerque u. a. 2008] ALBUQUERQUE, Daniel ; VIEIRA, Jose ; BASTOS, Carlos A. C.: Room Acoustics Simulator for Ultrasonic Robot Location. In: *Researchgate* (2008), Januar, S. 1 – 5. – URL https://www.researchgate.net/publication/228888202_Room_Acoustics_Simulator_for_Ultrasonic_Robot_Location. – Abruf: 2019-12-04
- [Albuquerque 2013] ALBUQUERQUE, Daniel F.: *Sistema de Localizacao com Ultrassons - Ultrasonic Location System*. Aveiro, Universidade de Aveiro, Dissertation, 2013. – URL <http://repositorio.ipv.pt/handle/10400.19/3036>. – Abruf: 2018-05-07
- [Arduino 2020] ARDUINO: *Website Arduino Due*. 2020. – URL <https://store.arduino.cc/usa/arduino-due>. – Abruf: 2020-03-14
- [Browne und Kleeman 2009] BROWNE, Damien ; KLEEMAN, Lindsay: An Advanced Sonar Ring Design with 48 Channels of Continuous Echo Processing using Matched Filters. In: *2009 IEEE/RSJ International Conference on Intelligent Robots and Systems* (2009), Oktober, S. 4040 – 4046. – URL <https://ieeexplore.ieee.org/stamp/stamp.jsp?tp=&arnumber=5354228>. – Abruf: 2019-09-27. – ISSN 2153-0866
- [Dudek und Jenkin 2016] DUDEK, Gregory ; JENKIN, Michael: *Springer Handbook of Robotics*. Kap. Inertial Sensing, GPS and Odometry, S. 737 – 752. Berlin : Springer, 2016. – ISBN 978-3-319-32550-7
- [Eichler 2014] EICHLER, Jürgen: *Physik für das Ingenieurstudium: Prägnant mit vielen Kontrollfragen und Beispielaufgaben*. 5. vollst. überarb. u. erw. Aufl. Wiesbaden : Springer Vieweg, 2014. – URL <https://link.springer.com/book/10.1007%2F978-3-658-04626-2>. – Abruf: 2018-02-27. – ISBN 978-3-658-04626-2
- [Ethik-Kommission 2017] ETHIK-KOMMISSION: *Automatisiertes und vernetztes Fahren*. Berlin : Bundesministerium für Verkehr und digitale Infrastruktur, Juni 2017. – URL https://www.bmvi.de/SharedDocs/DE/Publikationen/DG/bericht-der-ethik-kommission.pdf?__blob=publicationFile. – Abruf: 2019-10-19

- [Gotlib u. a. 2019] GOTLIB, Adam ; LUKOJC, Kornelia ; SZCZYGIELSKI: Localization-based software architecture for 1:10 scale autonomous car. In: *2019 International Interdisciplinary PhD Workshop (IIPhDW)* (2019), Mai, S. 7 – 11. – URL <https://ieeexplore.ieee.org/stamp/stamp.jsp?tp=&arnumber=8755418>. – Abruf: 2020-01-06. ISBN 978-1-7281-0423-2
- [Hering und Schönfelder 2012] HERING, Ekbert ; SCHÖNFELDER, Gert: *Sensoren in Wissenschaft und Technik: Funktionsweise und Einsatzgebiete*. Wiesbaden : Vieweg + Teubner, 2012. – URL <https://link.springer.com/book/10.1007%2F978-3-8348-8635-4>. – Abruf: 2018-02-27. – ISBN 978-3-8348-0169-2
- [Ilias u. a. 2016] ILIAS, Bukhari ; SHUKOR, Shazmin A. A. ; ADOM, Abdul H. ; IBRAHIM, Mohd F. ; YAACOB, Sazali: A Novel Indoor Mobile Robot Mapping with USB-16 Ultrasonic Sensor Bank and NWA Optimization Algorithm. In: *2016 IEEE Symposium on Computer Applications & Industrial Electronics (ISCAIE)* (2016), Mai, S. 189 – 194. – URL <https://ieeexplore.ieee.org/stamp/stamp.jsp?tp=&arnumber=7575061>. – Abruf: 2019-09-27. ISBN 978-1-5090-1543-6
- [Kichun u. a. 2015] KICHUN, Jo ; KIM, Junsoo ; KIM, Dongchul ; JANG, Chulhoon ; SUNWOO, Mayoungho: Development of Autonomous Car - Part II: A Case Study on the Implementation of an Autonomous Driving System Based on Distributed Architecture. In: *IEEE Transactions on Industrial Electronics* Vol. 62 (2015), August, Nr. 8, S. 5119 – 5132. – URL <https://ieeexplore.ieee.org/document/7056521>. – Abruf: 2019-08-03. – ISSN 1557-9948
- [Kleeman und Kuc 2016] KLEEMAN, Lindsay ; KUC, Roman: *Springer Handbook of Robotics*. Kap. Sonar Sensing, S. 753 – 781. Berlin : Springer, 2016. – ISBN 978-3-319-32550-7
- [Lerch u. a. 2009] LERCH, Reinhard ; SESSLER, Gerhard ; WOLF, Dietrich: *Technische Akustik: Grundlagen und Anwendungen*. Berlin : Springer, 2009. – URL <https://link.springer.com/book/10.1007%2F978-3-540-49833-9>. – Abruf: 2018-02-27. – ISBN 978-3-540-49833-9
- [MaxBotix 2015] MAXBOTIX: *XL-MaxSonar - EZ Series Datasheet*. 2015. – URL https://www.maxbotix.com/documents/XL-MaxSonar-EZ_Datasheet.pdf. – Abruf: 2020-02-24
- [Mohr 2016] MOHR, Philipp: *Bachelorthesis: Development of a Kalman Filter for Multiple-Sensor Embedded Systems in Urban Public Transportation Applications*. Hamburg : Hochschule für Angewandte Wissenschaften Hamburg, 2016. – URL <http://edoc.sub.uni-hamburg.de/haw/volltexte/2017/3853/>. – Abruf: 2019-07-23

- [Niehues 2014] NIEHUES, Daniel: *Hochgenaue Positionsbestimmung von Fahrzeugen als Grundlage autonomer Fahrregime im Hochgeschwindigkeitsbereich*. Dresden, Technische Universität Dresden, Dissertation, Mai 2014. – URL <http://tud.qucosa.de/api/qucosa%3A26709/attachment/ATT-0/>. – Abruf: 2019-10-20
- [NOAA 2019] NOAA: *GPS Accuracy*. National Oceanic and Atmospheric Administration, 2019. – URL <https://www.gps.gov/systems/gps/performance/accuracy/>. – Abruf: 2019-10-20
- [NVIDIA 2020a] NVIDIA: *NVIDIA Jetson Nano System-on-Module Datasheet*. 2020. – URL https://developer.download.nvidia.com/assets/embedded/secure/jetson/Nano/docs/JetsonNano_DataSheet_DS09366001v1.0.pdf?0I_b6PxOtlRxoiJ79MGMIIndw3pXN-LmS5DsltZD2zCcdSSa-PT5ZCHZD_we_9GNm3DMInxwWBhNK2BiqzhvyTQWnpfXHmJt20V1egbTLC1krav496giMvg3HooAREzOQxvjpgrtP48DujW_gMjy7tRKaj8otrdrRaIIcDfr0PGGJYGGd45A. – Abruf: 2020-02-28
- [NVIDIA 2020b] NVIDIA: *Website NVIDIA L4T*. 2020. – URL <https://developer.nvidia.com/embedded/linux-tegra>. – Abruf: 2020-03-14
- [Ohm und Lüke 2014] OHM, Jens R. ; LÜKE, Hans D.: *Signalübertragung - Grundlagen der digitalen und analogen Nachrichtenübertragungssysteme*. 12. Aufl. Berlin : Springer Vieweg, 2014. – URL <https://link.springer.com/book/10.1007%2F978-3-642-53901-5>. – Abruf: 2018-05-09. – ISBN 978-3-642-53901-5
- [PicoTechnology 2020] PICOTECHNOLOGY: *Website Pico Technology*. 2020. – URL <https://www.picotech.com/>. – Abruf: 2020-03-14
- [RaspberryPi 2020] RASPBERRYPI: *Raspberry Pi 4 Model B Datasheet*. 2020. – URL https://www.raspberrypi.org/documentation/hardware/raspberrypi/bcm2711/rpi_DATA_2711_1p0_preliminary.pdf. – Abruf: 2020-02-28
- [Reif 2014] REIF, Konrad: *Automobilelektronik: Eine Einführung für Ingenieure*. 5. überarb. Aufl. Wiesbaden : Springer Vieweg, 2014. – URL <https://link.springer.com/book/10.1007%2F978-3-658-05048-1>. – Abruf: 2018-02-27. – ISBN 978-3-658-05048-1
- [Rodin und Stajduhar 2017] RODIN, R. ; STAJDUHAR, I.: The Challenge of Measuring Distance to Obstacles for The Purpose of Generating a 2-D Indoor Map Using an Autonomous Robot Equipped with an Ultrasonic Sensor. In: *2017 40th International Convention on Information and Communication Technology, Electronics and Microelectronics (MIPRO)* (2017), Mai, S. 1021 – 1026. – URL <https://ieeexplore.ieee.org/>

- stamp/stamp.jsp?tp=&arnumber=7973574. – Abruf: 2019-09-27. ISBN 978-953-233-090-8
- [ROS 2020] ROS: *Website Robot Operating System (ROS)*. 2020. – URL <http://wiki.ros.org/de/ROS/Introduction>. – Abruf: 2020-03-14
- [Rotzlawski 2018] ROTZLAWSKI, Christopher: *Bachelorarbeit: Konzeption und Umsetzung eines Entwicklungssystems für intelligente Ultraschallsensoren in Mehrfachanordnung zur Lokalisation und Umgebungserkennung in komplexen Umgebungen*. Hamburg : Hochschule für Angewandte Wissenschaften Hamburg, 2018. – URL <http://edoc.sub.uni-hamburg.de/haw/volltexte/2018/4340/>. – Abruf: 2019-07-23
- [Seong und Byung 2013] SEONG, Jim K. ; BYUNG, Kook K.: Dynamic Ultrasonic Hybrid Localization System for Indoor Mobile Robots. In: *IEEE Transactions on Industrial Electronics* Vol. 60 (2013), Oktober, Nr. 10, S. 4562 – 4573. – URL <https://ieeexplore.ieee.org/stamp/stamp.jsp?tp=&arnumber=6290366>. – Abruf: 2019-09-27. – ISSN 1557-9948
- [Tanil u. a. 2019] TANIL, Cagatay ; KHANAFSEH, Samer ; JOERGER, Mathieu ; KUJUR, Birendra ; KRUGER, Brett ; GROOT, Lance de ; PERVAN, Boris: Optimal INS/GNSS Coupling for Autonomous Car Positioning Integrity. In: *Proceedings of the 32nd International Technical Meeting of the Satellite Division of The Institute of Navigation (ION GNSS+ 2019)* (2019), September, S. 3123 – 3140. – URL https://www.researchgate.net/profile/Cagatay_Tanil/publication/336180346_Optimal_INSGNSS_Coupling_for_Autonomous_Car_Positioning_Integrity/links/5d938262a6fdcc2554aba25d/Optimal-INS-GNSS-Coupling-for-Autonomous-Car-Positioning-Integrity.pdf. – Abruf: 2019-10-19
- [Teng u. a. 2018] TENG, Fei ; TAO, Wenyuan ; OWN, Chung-Ming: Localization Reliability Improvement Using Deep Gaussian Process Regression Model. In: *Sensors - Open Access Journal* Vol. 18 (2018), November, S. 1 – 19. – URL <https://www.mdpi.com/1424-8220/18/12/4164>. – Abruf: 2020-02-14. – ISSN 1424-8220
- [Vater 2018] VATER, Tobias: *Bachelorthesis: Inline-Auswertung und -Korrektur multipler, komplexer, fusionierter, bildgebender Sensoren für das automatisierte Fahren*. Hamburg : Hochschule für Angewandte Wissenschaften Hamburg, 2018. – URL <http://edoc.sub.uni-hamburg.de/haw/volltexte/2018/4304/>. – Abruf: 2019-07-23
- [VDA 2015] VDA: *Automatisierung*. Berlin : Verband der Automobilindustrie, September 2015. – URL <https://www.vda.de/de/services/Publikationen/automatisierung.html>. – Abruf: 2019-10-20

- [Wegner 2017] WEGNER, Mario: *Masterthesis: Konzeption und Entwicklung eines hochpräzisen Systems zur Positionsbestimmung von Fahrzeugen in urbanen Gebieten*. Hamburg : Hochschule für Angewandte Wissenschaften Hamburg, 2017. – URL <http://edoc.sub.uni-hamburg.de/haw/volltexte/2017/3957/>. – Abruf: 2019-07-23
- [Wu u.a. 2016] WU, Xiaodong ; ABRAHANTES, Miguel ; EDINGTON, Mark: MUSE: A Designed Multi-Ultrasonic-Sensor System for Echolocation on Multiple Robots. In: *2016 Asia-Pacific Conference on Intelligent Robot Systems (ACIRS)* (2016), Juli, S. 79 – 83. – URL <https://ieeexplore.ieee.org/stamp/stamp.jsp?tp=&arnumber=7556192>. – Abruf: 2019-09-27. ISBN 978-1-5090-1362-3

A. Hardwaredesign

A.1. Pinbelegung der Synchronisationsleitung

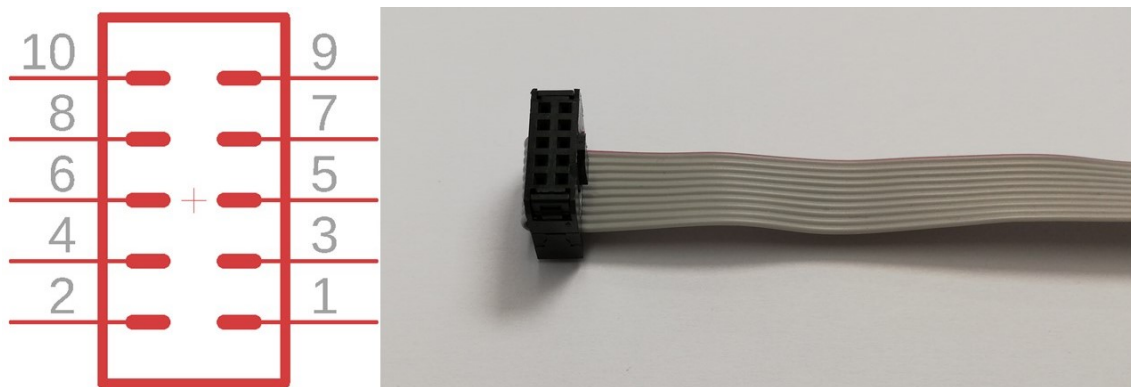


Abbildung A.1.: Pinbelegung der Synchronisationsleitung

Pin	Belegung	Pin	Belegung
1	Ground	2	Ground
3	Ground	4	Ground
5	12 V	6	12 V
7	12 V	8	Reset
9	Token Passing	10	Synchronisierung

Tabelle A.1.: Pinbelegung der Synchronisationsleitung

A.2. Platinenlayout

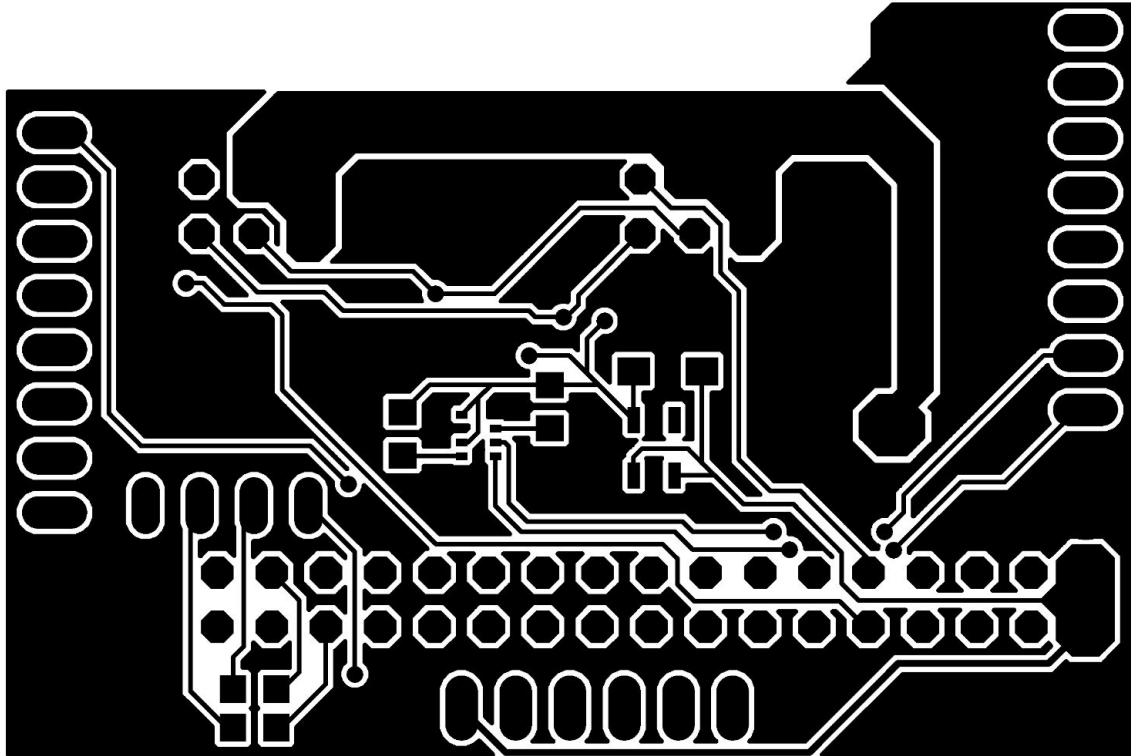


Abbildung A.2.: Platinenlayout der Oberseite

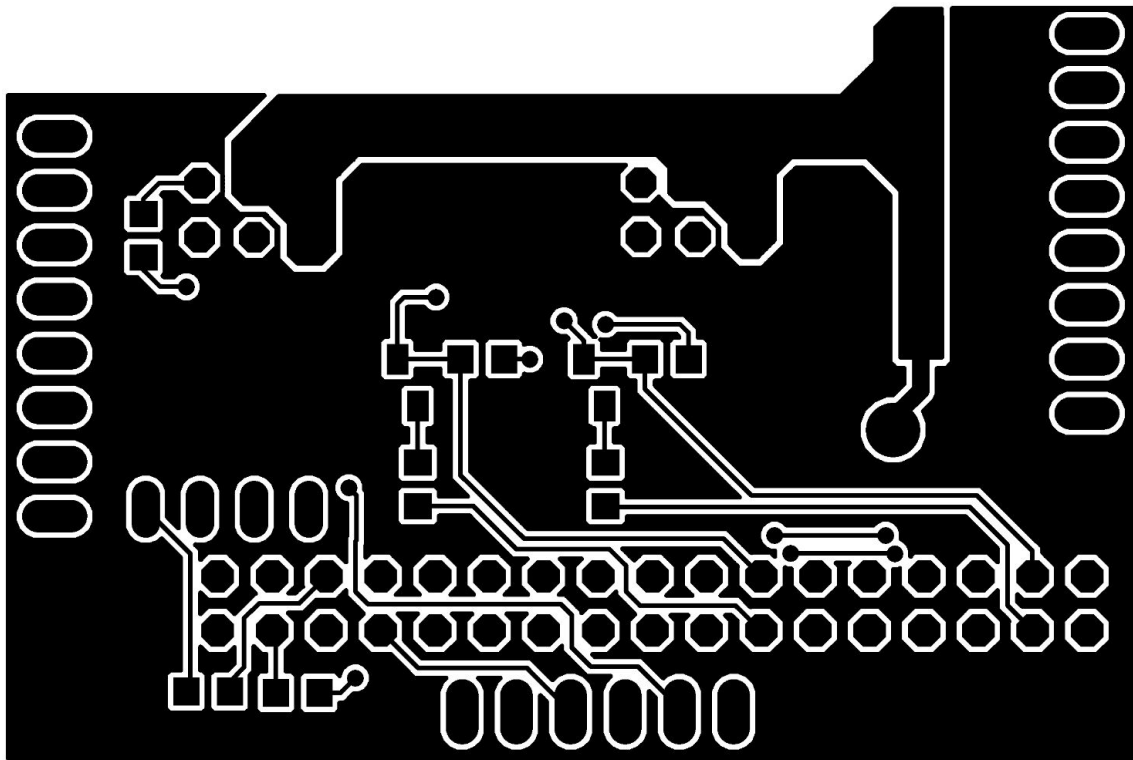
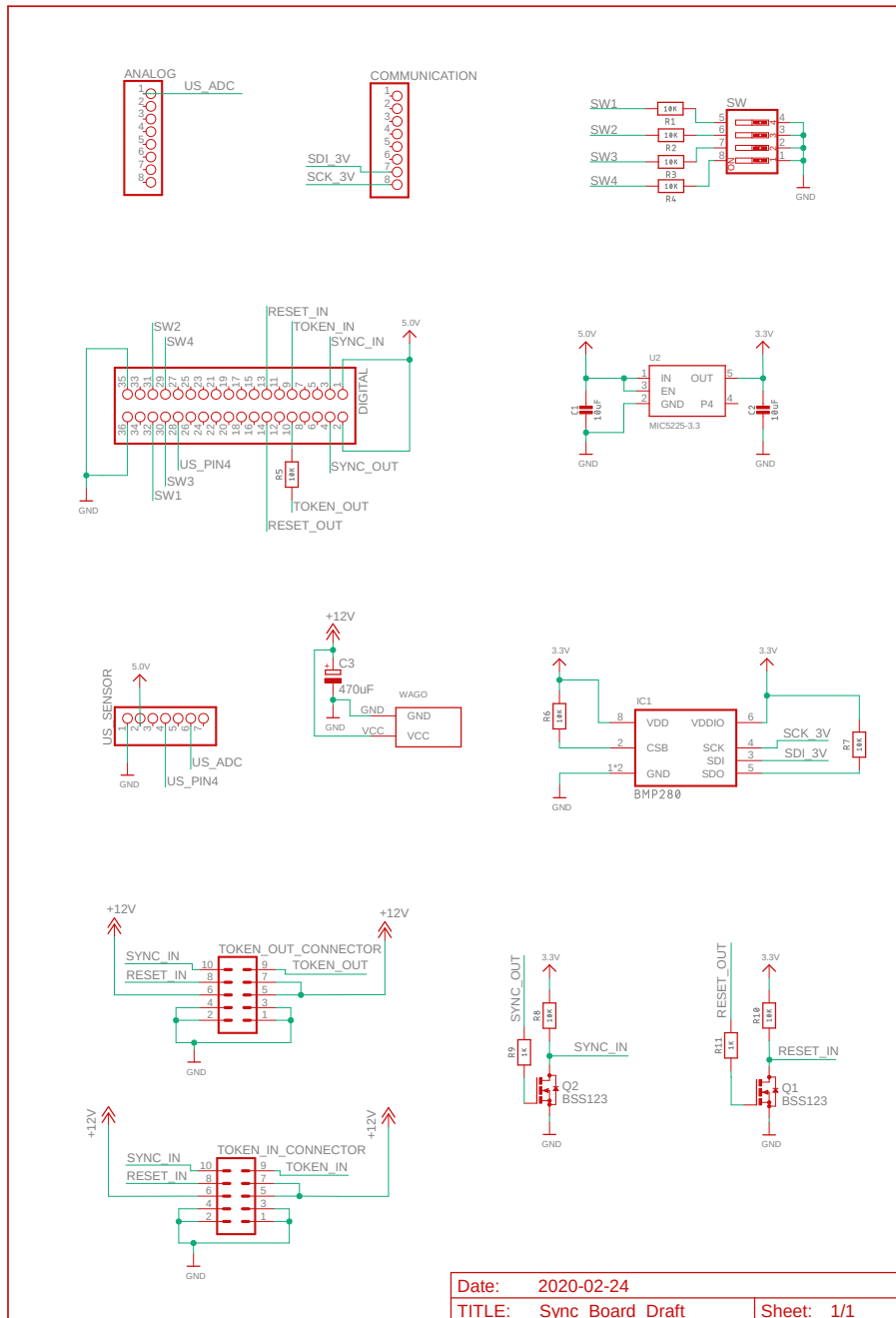


Abbildung A.3.: Platinenlayout der Unterseite

A.3. Schaltplan der Platine



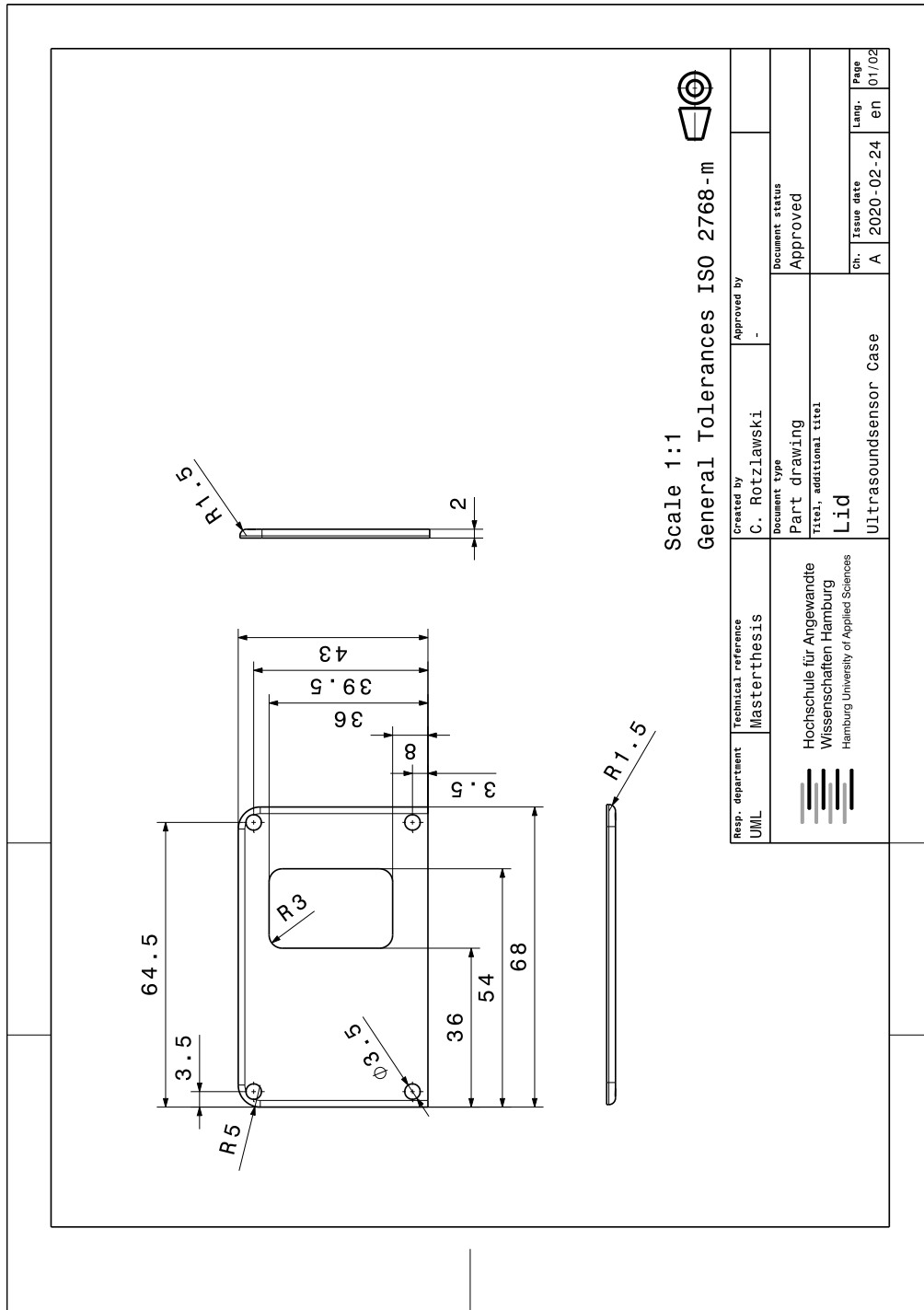
Sync Board	Arduino	Sync Board	Arduino
US_ADC	ADC10	US_PIN4	D47
SDI_3V	TWI1 SDA	SCK_3V	TWI1 SCL
SW1	D51	SW2	D50
SW3	D49	SW4	D48
RESET_IN	D32	RESET_OUT	D33
TOKEN_IN	D28	TOKEN_OUT	D29
SYNC_IN	D24	SYNC_OUT	D25

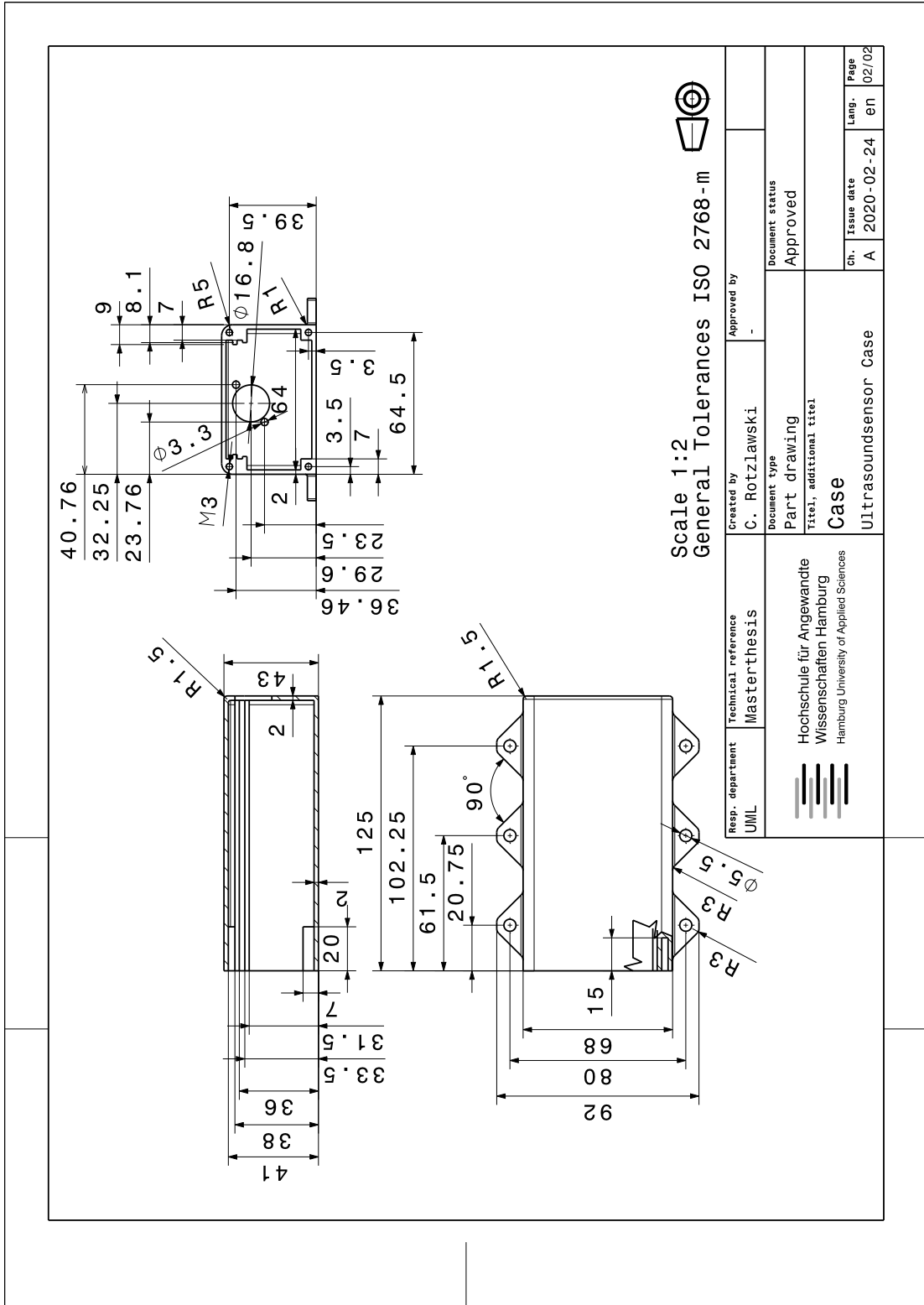
Tabelle A.2.: Pinbelegung des Synchronisationsboards auf dem Arduino Due

Bezeichnung	Bauteil / Wert
R1 ... R8, R10	10 k Ω SMD-Widerstand
R9, R11	1k k Ω SMD-Widerstand
C1, C2	10 μ F SMD-Kondensator
C3	470 μ F Elektrolytkondensator
Q1, Q2	BSS123 N-MOSFET
U2	MIC5225-3.3 Spannungsregler
IC1	Bosch BMP280
SW	Dip-Schalter 4-polig
WAGO	SMD-Leiterplattenklemme 2-polig
US_SENSOR	Stiftleiste 7-polig
ANALOG, COMMUNICATION	Stiftleiste 8-polig
DIGITAL	Stiftleiste 2x18-polig
TOKEN_IN_CONNECTOR, TOKEN_OUT_CONNECTOR	Wannenstecker 2x5-polig

Tabelle A.3.: Bauteilliste des Synchronisationsboards

A.4. Technische Zeichnungen des Ultraschallsensorgehäuses





B. Programmabläufe

B.1. Programmabläufe des Ultraschallsensors

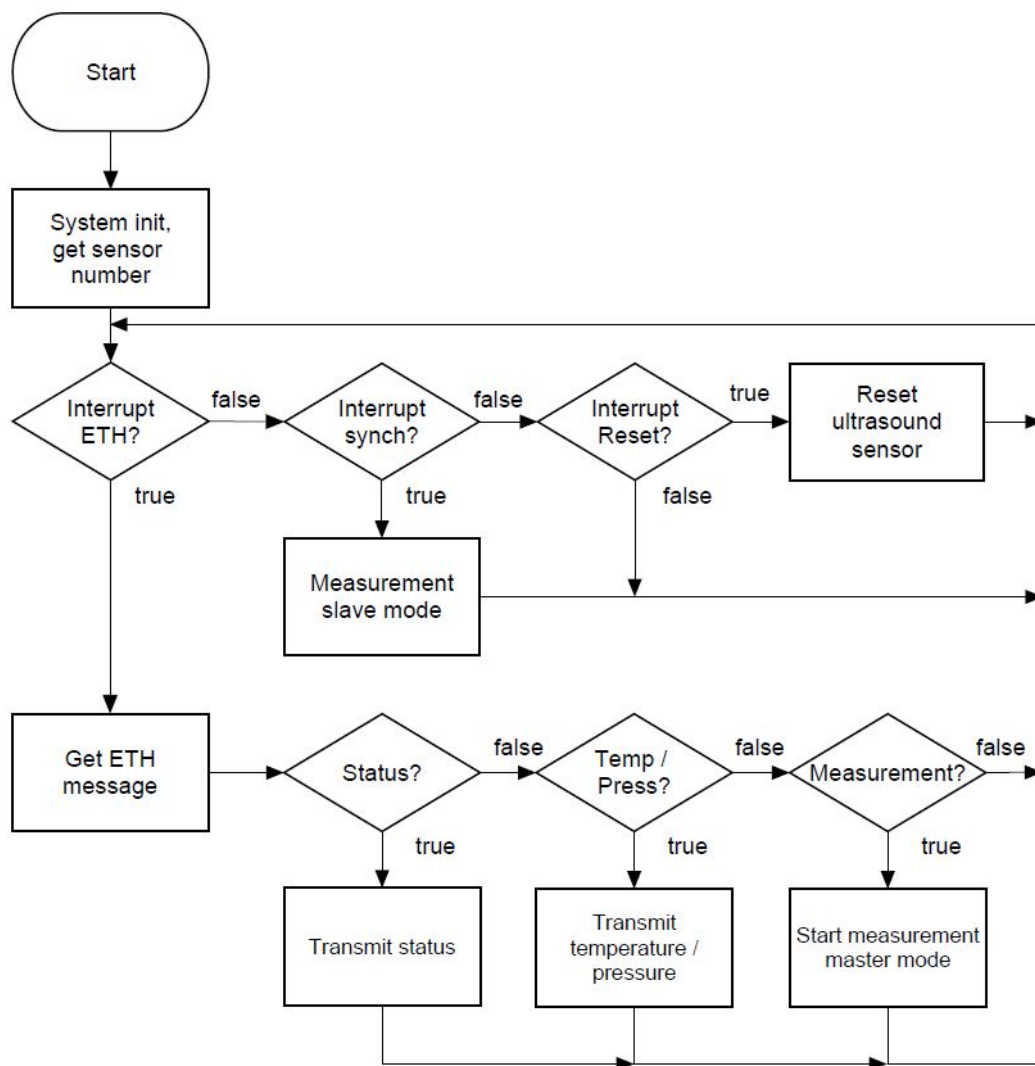


Abbildung B.1.: Ablauf des Hauptprogramms des Ultraschallsensors

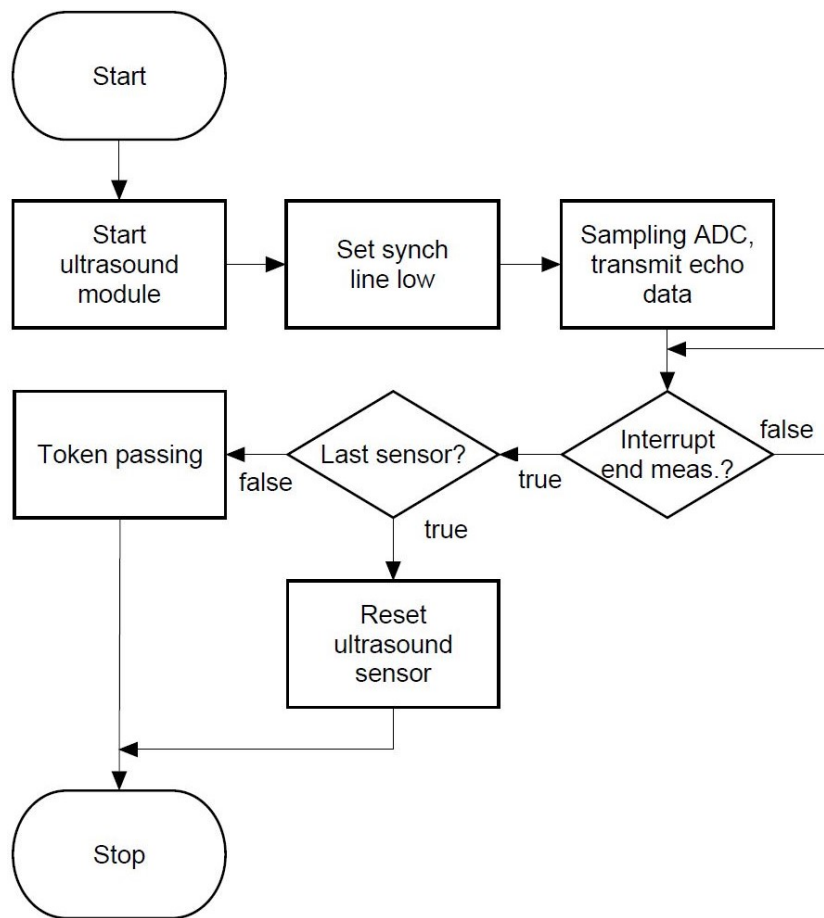


Abbildung B.2.: Ablauf des Mastermode des Ultraschallsensors

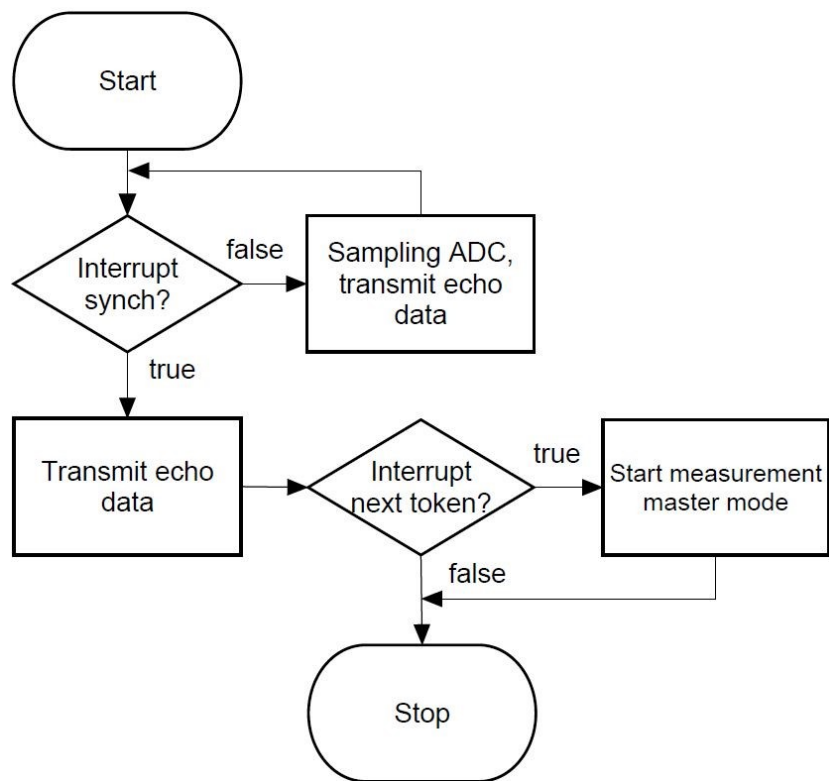


Abbildung B.3.: Ablauf des Slavemode des Ultraschallsensors

B.2. Programmabläufe des ultraschallbasierten Positionierungssystems

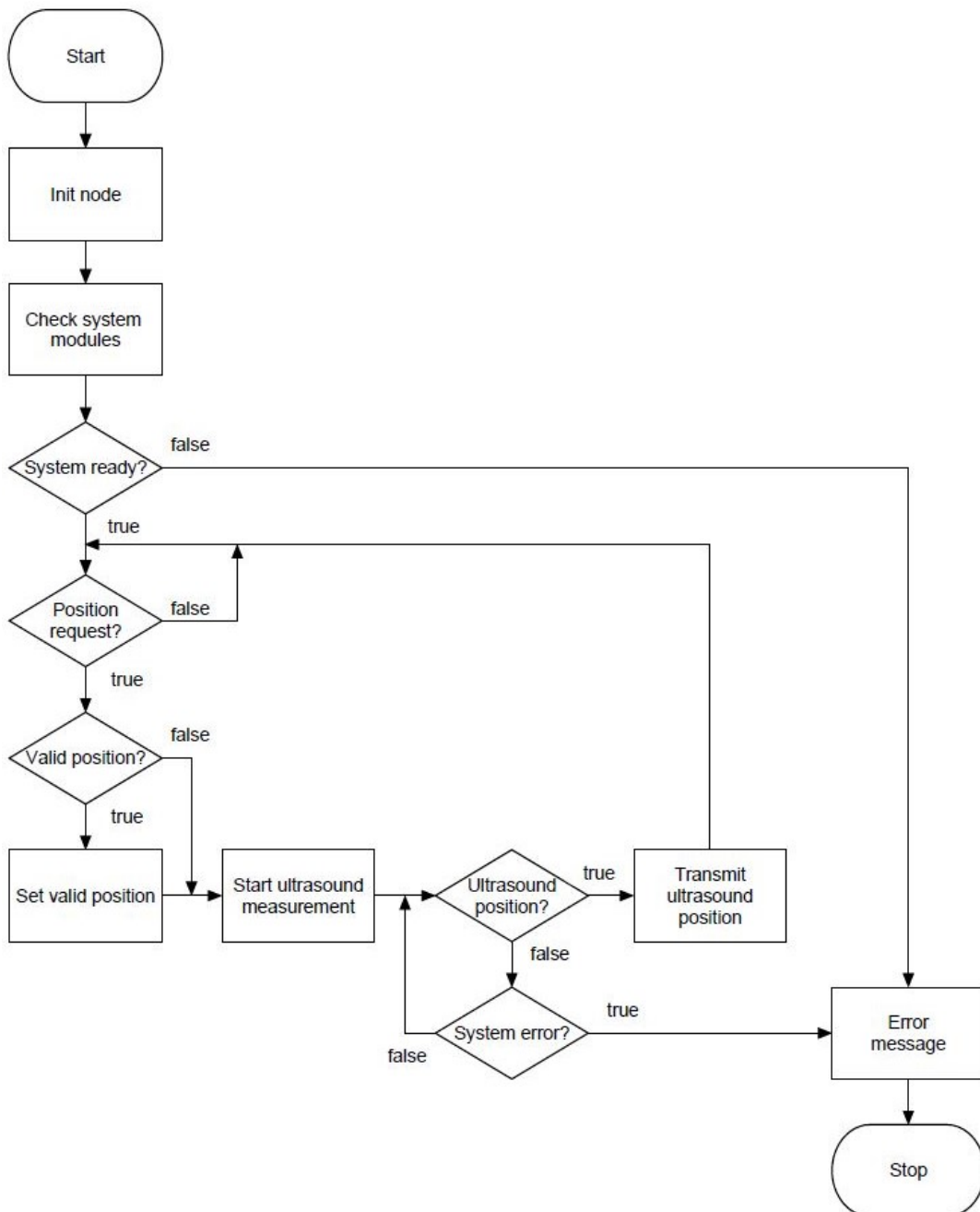


Abbildung B.4.: Ablauf der Systemschnittstelle des ultraschallbasierten Positionierungssystems

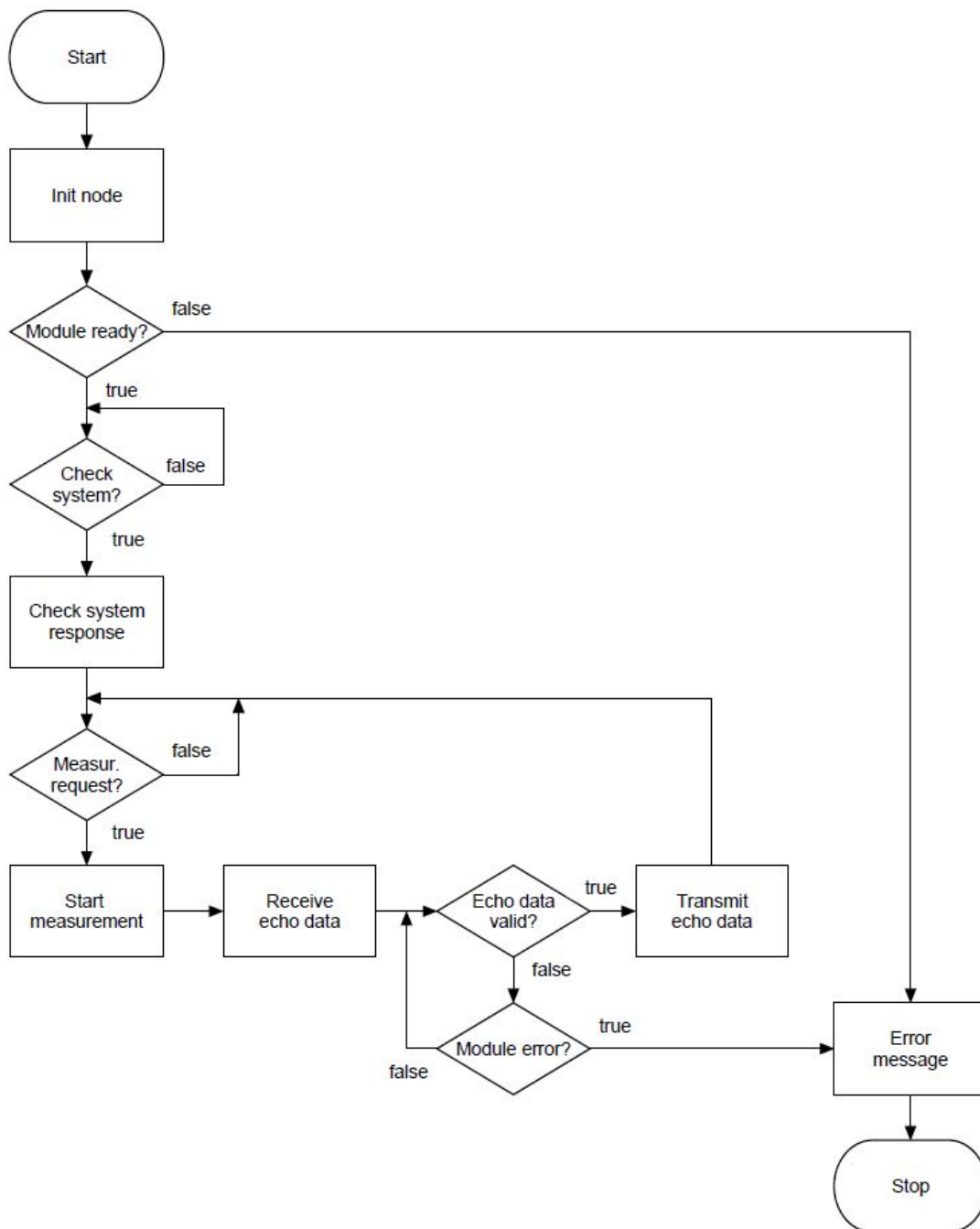


Abbildung B.5.: Ablauf der Ultraschallsensorschnittstelle des ultraschallbasierten Positionierungssystems

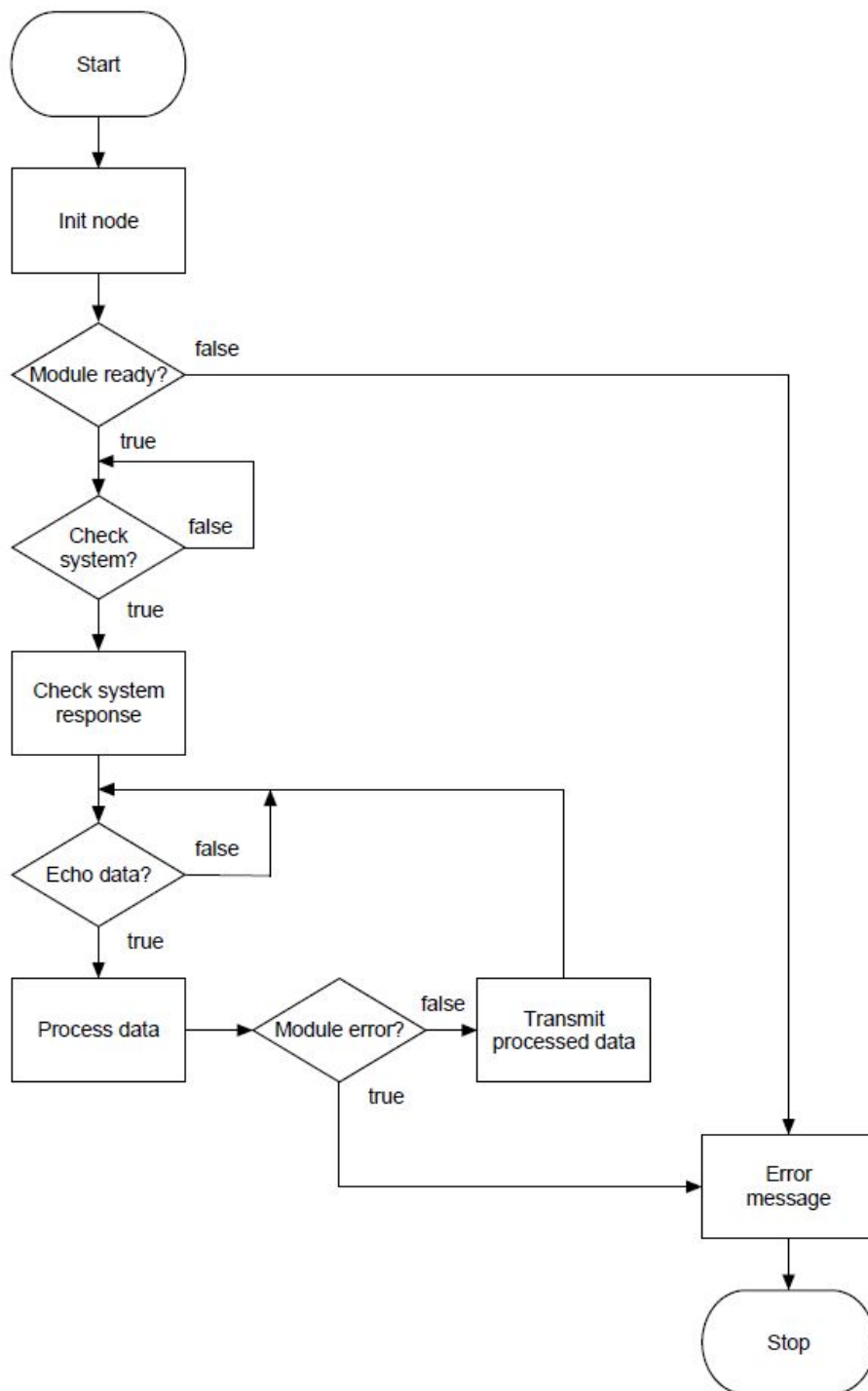


Abbildung B.6.: Ablauf der Ultraschallmerkmalsextraktion des ultraschallbasierten Positionierungssystems

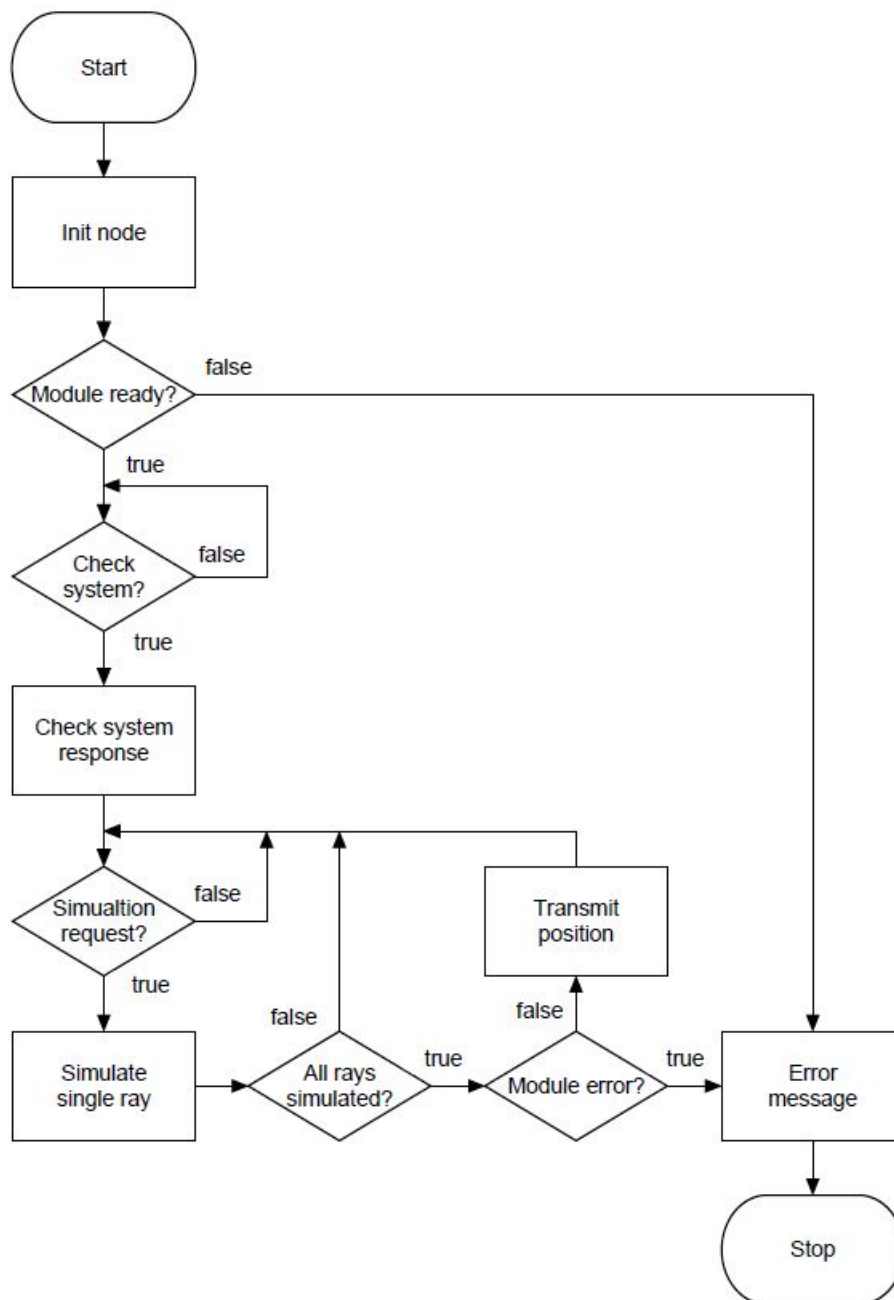


Abbildung B.7.: Ablauf der 3D-Raytracing-Simulation des ultraschallbasierten Positionierungssystems

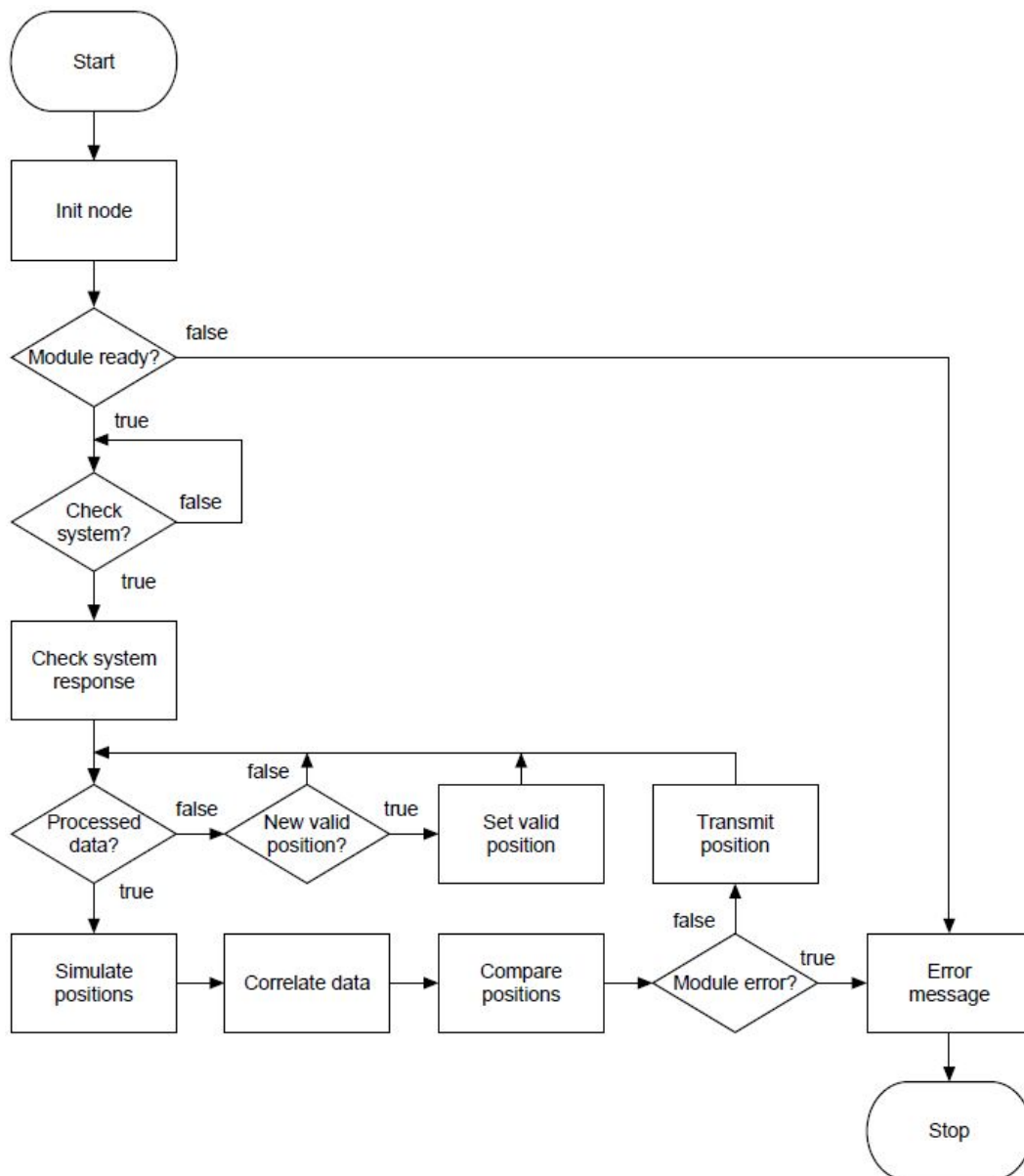


Abbildung B.8.: Ablauf der Positionsbestimmung des ultraschallbasierten Positionierungssystems

C. Quellcode des Ultraschallsensors

main.c

```
1  /*****  
2  /* University: HAW Hamburg */  
3  /* Author: Christopher Rotzlawski */  
4  /* */  
5  /* Project: US_Sensor_Firmware */  
6  /* Version: 1.0 */  
7  /*****/  
8  
9  #include <asf.h>  
10 #include <conf_board.h>  
11 #include <conf_uart_serial.h>  
12 #include <string.h>  
13 #include <w5500.h>  
14 #include <bmp280.h>  
15  
16 /*****/  
17 /* Definitions */  
18 /*****/  
19 // Debug mode  
20 #define DEBUGGING // Uncommented for save ethernet transmission  
21 // Token passing mode  
22 // #define TOKEN_PASSING // Uncomment for token passing  
23 // Sensor number automatic  
24 #define AUTO_SENSOR_NUMBER  
25 // Sensor number  
26 #define SENSOR 1 // Default  
27 #define SENSOR_OFFSET 101  
28 // Master mode  
29 #define MASTER 1  
30 #define SLAVE 0  
31 // Sensor mode definitions  
32 #define STATUS_MODE 0x4242  
33 #define TEMP_PRESS_MODE 0xABCD  
34 #define MEASUREMENT_MODE 0xF00F  
35 // General definitions  
36 #define MEGA_HZ 1000000  
37 #define KILO_HZ 1000  
38 #define DIV_MS 1000  
39 #define DIV_US 1000000  
40 #define BYTE_0_MASK 0xFF  
41 #define BYTE_1_MASK 0xFF00  
42 #define BYTE_2_MASK 0xFF0000  
43 #define BYTE_3_MASK 0xFF000000  
44 #define BYTE_0_SHIFT 0  
45 #define BYTE_1_SHIFT 8  
46 #define BYTE_2_SHIFT 16  
47 #define BYTE_3_SHIFT 24  
48 // SPI definitions  
49 #define SPI_CLOCK 21  
50 #define SPI_CHIP_SEL 0  
51 #define SPI_CHIP_PCS spi_get_pcs(SPI_CHIP_SEL)  
52 #define SPI_CLK_POLARITY 1  
53 #define SPI_CLK_PHASE 0  
54 #define SPI_DLYBS 0x00  
55 #define SPI_DLYBCT 0x00  
56 // TWI definitions  
57 #define TWI_CLK 400000  
58 // Ethernet Shield definitions  
59 #define MAX_DATA_FRAME_SIZE 20  
60 #define BUFFER_ECHO_SIZE_KB 2  
61 #define BUFFER_TEMP_PRESS_KB 2  
62 #define BUFFER_STATUS_KB 2  
63 #define BUFFER_RX_SIZE_KB 2  
64 #define MAX_ETHERNET_PAYLOAD 1460  
65 #define TRANSMIT_SOCKET 0  
66 #define RECEIVE_SOCKET TRANSMIT_SOCKET  
67 #define SEND_MANUAL 1
```

```

68 #define SEND_AUTO 0
69 // Communication
70 #define END_MEASUREMENT 0xF0420000
71 #define NULL_MESSAGE 0x0000
72 #define ERROR_MESSAGE 0xFFFFFFFF
73 // ADC definitions
74 #define SAMPLE_RATE_ADC_KHZ 100
75 #define ADC_CLOCK 6400000
76 // Interrupt definitions
77 #define INT_PRIOR_ETHERNET 3
78 #define INT_PRIOR_ADC 2
79 #define INT_PRIOR_TC 1
80 // Timer definitions
81 #define TIMER_MCK_2 2
82 #define POWER_UP 200 // Wait time for power up in ms
83 #define START_MEASUREMENT 20 // Time to start measurement in ms
84 #define MEASUREMENT 100 // Measurement time in ms
85 #define TC_CHANNEL0 0
86 #define TC_CHANNEL1 1
87 #define TC_CHANNEL2 2
88 #define TC_CHANNEL3 3
89
90 /*****
91 /* Declarations */
92 /*****
93 // Network informations of the Sensor
94 wiz_NetInfo Sensor_Info = {
95     .mac = {0x42,0x42,0x42,0x42,0x42,0x42,SENSOR},
96     .ip = {192,168,42,(SENSOR+SENSOR_OFFSET)},
97     .sn = {255,255,255,0},
98     .gw = {192,168,42,0},
99 };
100 const uint8_t destination_ip[4] = {192,168,42,SENSOR_OFFSET-1};
101 const uint8_t port_base[2] = {0xC3,0x50}; // 50000
102 // Power up
103 volatile uint8_t power_ready = 1;
104 // Master status
105 volatile uint8_t master_status = SLAVE;
106 // UDP package counter
107 volatile uint16_t udp_counter = 0;
108
109 /*****
110 /* Function Prototypes */
111 /*****
112 static void system_init(void);
113 static void spi_master_init(void);
114 static void spi_transmit(uint32_t addr, uint8_t *data, uint8_t data_len);
115 static void spi_receive(uint32_t addr, uint8_t *data, uint8_t data_len);
116 static void ethernet_init(void);
117 static void ethernet_init_socket(uint8_t socket, uint8_t buffer_size);
118 static void ethernet_transmit_echo(uint16_t *data, uint8_t send_manuell);
119 static void ethernet_transmit_data(uint32_t *data, uint8_t data_len);
120 static void ethernet_receive_data(uint32_t *data);
121 static void twi_init(void);
122 static void bmp280_sensor_init(void);
123 static void bmp280_get_calibration(uint8_t *bmp280_calib);
124 static void bmp280_measurement(void);
125 static void adc_init_config(void);
126 static void timer_init(void);
127 static void timer_power_up(void);
128 static void nvicc_init(void);
129 static void sync_pins_init(void);
130 static void Int_Handler_Ethernet(uint32_t ul_id, uint32_t ul_mask);
131 static void Int_Handler_Sync(uint32_t ul_id, uint32_t ul_mask);
132 static void Int_Handler_Next-Token(uint32_t ul_id, uint32_t ul_mask);
133 static void Int_Handler_Reset(uint32_t ul_id, uint32_t ul_mask);
134 static void init_sensor_pins(void);
135 static void init_sensor_number_pins(void);
136 static void get_sensor_number(uint8_t *number);
137 // Debug function
138 #ifdef DEBUGGING
139 static void debugging_init(void);
140 static void configure_console(void);
141 #endif
142
143 /*****
144 /* Main Function */
145 /*****
146 int main(void)
147 {
148     // Init microcontroller
149     system_init();
150
151 #ifdef DEBUGGING
152     puts("System started\n");

```

```

153 #endif
154
155     while (1){
156         __asm__ __volatile__ ("nop");
157     }
158
159     return 0;
160 }
161
162 /*****
163  /*          Interrupt Handler          */
164  *****/
165 // ADC handler
166 void ADC_Handler(void)
167 {
168     static uint16_t adc_value;
169
170     // Get value from register
171     adc_value = (uint16_t)(ADC->ADC_LCDR & ADC_LCDR_LDATA_Msk);
172
173     // Transmit value via ethernet in automatic mode
174     ethernet_transmit_echo(&adc_value, SEND_AUTO);
175 }
176
177 // Timer0 A1 power up
178 void TC1_Handler(void)
179 {
180     // Disable interrupt Timer0 A1
181     tc_get_status(TC0, TC_CHANNEL1);
182     tc_disable_interrupt(TC0, TC_CHANNEL1, TC_IER_CPCS);
183
184     // Set power up ready
185     power_nready = 0;
186 }
187
188 // Timer0 A2 start
189 void TC2_Handler(void)
190 {
191     // Disable interrupt Timer0 A2 start time
192     tc_get_status(TC0, TC_CHANNEL2);
193     tc_disable_interrupt(TC0, TC_CHANNEL2, TC_IER_CPCS);
194
195     // Set US-Sensor pin 4 low
196     ioport_set_pin_level(PIO_PC16_IDX, IOPORT_PIN_LEVEL_LOW);
197
198     // Set sync link high
199     ioport_set_pin_level(PIO_PA14_IDX, IOPORT_PIN_LEVEL_HIGH);
200
201     // Start Timer1 A3 for measurement time
202     tc_enable_interrupt(TC1, TC_CHANNEL0, TC_IER_CPCS);
203     tc_start(TC1, TC_CHANNEL0);
204 }
205
206 // Timer1 A3 measurement
207 void TC3_Handler(void)
208 {
209     // Set sync link low
210     ioport_set_pin_level(PIO_PA14_IDX, IOPORT_PIN_LEVEL_LOW);
211
212     // Disable interrupt Timer1 A3 measurement time
213     tc_get_status(TC1, TC_CHANNEL0);
214     tc_disable_interrupt(TC1, TC_CHANNEL0, TC_IER_CPCS);
215
216     // Enable reset interrupt
217     pio_enable_interrupt(PIOD, PIO_PD10);
218
219     // Set next token high
220     ioport_set_pin_level(PIO_PD6_IDX, IOPORT_PIN_LEVEL_HIGH);
221 }
222
223 // Ethernet shield handler
224 static void Int_Handler_Ethernet(uint32_t ul_id, uint32_t ul_mask)
225 {
226     uint8_t clear_reg[1] = {Sn_IR_RECV};
227     uint32_t data_receive[2];
228     uint32_t data_transmit[1];
229     uint16_t identifier;
230     uint16_t check;
231
232     // Disable interrupt ethernet shield
233     pio_disable_interrupt(PIOB, PIO_PB25);
234
235     // Get ethernet data
236     ethernet_receive_data(&data_receive[0]);
237     spi_transmit((Sn_IR(RECEIVE_SOCKET) | _W5500_SPI_WRITE_), &clear_reg[0], 1);

```

```

238
239 // Get identifier and check
240 identifier = (uint16_t)(data_receive[0] >> BYTE_2_SHIFT);
241 check = (uint16_t)(data_receive[0] & 0xFFFF);
242
243 // Status query
244 if (identifier == STATUS_MODE)
245 {
246     // Response for status query
247     data_transmit[0] = (STATUS_MODE << BYTE_2_SHIFT) | check;
248
249     // Transmit response
250     ethernet_transmit_data(&data_transmit[0],1);
251
252     // Enable interrupt ethernet shield
253     pio_enable_interrupt(PIOB,PIO_PB25);
254
255     // Enable interrupt sync
256     pio_enable_interrupt(PIOB,PIO_PB26);
257 }
258 // Temperature and pressure query
259 else if (identifier == TEMP_PRESS_MODE)
260 {
261     // Response for temperature and pressure query
262     data_transmit[0] = (TEMP_PRESS_MODE << BYTE_2_SHIFT) | check;
263
264     // Transmit response
265     ethernet_transmit_data(&data_transmit[0],1);
266
267     // Start measuring and transmit data
268     bmp280_measurement();
269
270     // Enable interrupt ethernet shield
271     pio_enable_interrupt(PIOB,PIO_PB25);
272 }
273 // Measurement mode
274 else if (identifier == MEASUREMENT_MODE)
275 {
276     // Response for master
277     data_transmit[0] = (MEASUREMENT_MODE << BYTE_2_SHIFT) | check;
278
279     // Transmit response
280     ethernet_transmit_data(&data_transmit[0],1);
281
282     // Set master status
283     master_status = MASTER;
284
285     // Set US-Sensor pin 4 high
286     ioport_set_pin_level(PIO_PC16_IDX,IOPORT_PIN_LEVEL_HIGH);
287
288     // Start timer0 A2 start
289     tc_enable_interrupt(TC0,TC_CHANNEL2,TC_IER_CPCS);
290     tc_start(TC0,TC_CHANNEL2);
291 }
292 // Default
293 else
294 {
295     // Response for error
296     data_transmit[0] = ERROR_MESSAGE;
297
298     // Transmit response
299     ethernet_transmit_data(&data_transmit[0],1);
300
301     // Enable interrupt ethernet shield
302     pio_enable_interrupt(PIOB,PIO_PB25);
303 }
304 }
305
306 // Sync handler measurement
307 static void Int_Handler_Sync(uint32_t ul_id, uint32_t ul_mask)
308 {
309     uint16_t null_value = NULL_MESSAGE;
310     uint32_t data_transmit[1];
311
312     // Disable interrupt PB26
313     pio_disable_interrupt(PIOB,PIO_PB26);
314
315     // If pin level high, start ADC
316     if (!ioport_get_pin_level(PIO_PB26_IDX))
317     {
318         // Change interrupt edge
319         pio_handler_set(PIOB,ID_PIOB,PIO_PB26,(PIO_PULLUP | PIO_IT_RISE_EDGE),Int_Handler_Sync);
320
321         // Start timer0 A0 ADC
322         tc_start(TC0,TC_CHANNEL0);

```

```

323     adc_enable_interrupt(ADC,ADC_IER_DRDY);
324
325     // Set next token low
326     ioport_set_pin_level(PIO_PD6_IDX,IOPORT_PIN_LEVEL_LOW);
327
328     // Disable next token interrupt
329     pio_disable_interrupt(PIOD,PIO_PD3);
330
331     // Disable reset interrupt
332     pio_disable_interrupt(PIOD,PIO_PD10);
333 }
334 // If pin level low, stop ADC
335 else
336 {
337     // Stop Timer0 A0 ADC
338     tc_stop(TC0,TC_CHANNEL0);
339     adc_disable_interrupt(ADC,ADC_IER_DRDY);
340
341     // Enable next token interrupt
342     pio_enable_interrupt(PIOD,PIO_PD3);
343
344     // Enable reset interrupt
345     pio_enable_interrupt(PIOD,PIO_PD10);
346
347     // Transmit remaining echo data
348     ethernet_transmit_echo(&null_value,SEND_MANUAL);
349
350     // Response for status end measurement
351     data_transmit[0] = END_MEASUREMENT | (udp_counter - 1);
352
353     // Transmit status response
354     ethernet_transmit_data(&data_transmit[0],1);
355
356     // Change interrupt edge
357     pio_handler_set(PIOB,ID_PIOB,PIO_PB26,(PIO_PULLUP | PIO_IT_FALL_EDGE),Int_Handler_Sync);
358 }
359
360 // Enable interrupt PB26
361 pio_enable_interrupt(PIOB,PIO_PB26);
362 }
363
364 // Next token handler (next master)
365 static void Int_Handler_Next-Token(uint32_t ul_id, uint32_t ul_mask)
366 {
367     if (master_status)
368     {
369         // Set reset high
370         ioport_set_pin_level(PIO_PC1_IDX,IOPORT_PIN_LEVEL_HIGH);
371     }
372     else
373     {
374 #ifdef TOKEN_PASSING
375         // Disable interrupts
376         pio_disable_interrupt(PIOD,PIO_PD3);
377         pio_disable_interrupt(PIOD,PIO_PD10);
378
379         // Set US-Sensor pin 4 high
380         ioport_set_pin_level(PIO_PC16_IDX,IOPORT_PIN_LEVEL_HIGH);
381
382         // Start timer0 A2 start
383         tc_enable_interrupt(TC0,TC_CHANNEL2,TC_IER_CPCS);
384         tc_start(TC0,TC_CHANNEL2);
385 #else
386         // Set reset high
387         ioport_set_pin_level(PIO_PC1_IDX,IOPORT_PIN_LEVEL_HIGH);
388 #endif
389     }
390 }
391
392 // Reset handler for end measurment
393 static void Int_Handler_Reset(uint32_t ul_id, uint32_t ul_mask)
394 {
395     // Disable interrupts
396     pio_disable_interrupt(PIOD,PIO_PD3);
397     pio_disable_interrupt(PIOD,PIO_PD10);
398
399     // Set pin level low
400     ioport_set_pin_level(PIO_PA14_IDX,IOPORT_PIN_LEVEL_LOW);
401     ioport_set_pin_level(PIO_PC1_IDX,IOPORT_PIN_LEVEL_LOW);
402     ioport_set_pin_level(PIO_PD6_IDX,IOPORT_PIN_LEVEL_LOW);
403
404     // Set UDP package counter to null
405     udp_counter = 0;
406
407     // Set master status

```

```

408     master_status = SLAVE;
409
410     // Enable interrupt ethernet shield
411     pio_enable_interrupt(PIOB,PIO_PB25);
412 }
413
414 /*****
415  *                               *
416  *                               *
417  *                               *
418  *                               *
419  *                               *
420  *                               *
421  *                               *
422  *                               *
423  *                               *
424  *                               *
425  *                               *
426  *                               *
427  *                               *
428  *                               *
429  *                               *
430  *                               *
431  *                               *
432  *                               *
433  *                               *
434  *                               *
435  *                               *
436  *                               *
437  *                               *
438  *                               *
439  *                               *
440  *                               *
441  *                               *
442  *                               *
443  *                               *
444  *                               *
445  *                               *
446  *                               *
447  *                               *
448  *                               *
449  *                               *
450  *                               *
451  *                               *
452  *                               *
453  *                               *
454  *                               *
455  *                               *
456  *                               *
457  *                               *
458  *                               *
459  *                               *
460  *                               *
461  *                               *
462  *                               *
463  *                               *
464  *                               *
465  *                               *
466  *                               *
467  *                               *
468  *                               *
469  *                               *
470  *                               *
471  *                               *
472  *                               *
473  *                               *
474  *                               *
475  *                               *
476  *                               *
477  *                               *
478  *                               *
479  *                               *
480  *                               *
481  *                               *
482  *                               *
483  *                               *
484  *                               *
485  *                               *
486  *                               *
487  *                               *
488  *                               *
489  *                               *
490  *                               *
491  *                               *
492  *                               *
493  *                               *
494  *                               *
495  *                               *
496  *                               *
497  *                               *
498  *                               *
499  *                               *
500  *                               *
501  *                               *
502  *                               *
503  *                               *
504  *                               *
505  *                               *
506  *                               *
507  *                               *
508  *                               *
509  *                               *
510  *                               *
511  *                               *
512  *                               *
513  *                               *
514  *                               *
515  *                               *
516  *                               *
517  *                               *
518  *                               *
519  *                               *
520  *                               *
521  *                               *
522  *                               *
523  *                               *
524  *                               *
525  *                               *
526  *                               *
527  *                               *
528  *                               *
529  *                               *
530  *                               *
531  *                               *
532  *                               *
533  *                               *
534  *                               *
535  *                               *
536  *                               *
537  *                               *
538  *                               *
539  *                               *
540  *                               *
541  *                               *
542  *                               *
543  *                               *
544  *                               *
545  *                               *
546  *                               *
547  *                               *
548  *                               *
549  *                               *
550  *                               *
551  *                               *
552  *                               *
553  *                               *
554  *                               *
555  *                               *
556  *                               *
557  *                               *
558  *                               *
559  *                               *
560  *                               *
561  *                               *
562  *                               *
563  *                               *
564  *                               *
565  *                               *
566  *                               *
567  *                               *
568  *                               *
569  *                               *
570  *                               *
571  *                               *
572  *                               *
573  *                               *
574  *                               *
575  *                               *
576  *                               *
577  *                               *
578  *                               *
579  *                               *
580  *                               *
581  *                               *
582  *                               *
583  *                               *
584  *                               *
585  *                               *
586  *                               *
587  *                               *
588  *                               *
589  *                               *
590  *                               *
591  *                               *
592  *                               *
593  *                               *
594  *                               *
595  *                               *
596  *                               *
597  *                               *
598  *                               *
599  *                               *
600  *                               *
601  *                               *
602  *                               *
603  *                               *
604  *                               *
605  *                               *
606  *                               *
607  *                               *
608  *                               *
609  *                               *
610  *                               *
611  *                               *
612  *                               *
613  *                               *
614  *                               *
615  *                               *
616  *                               *
617  *                               *
618  *                               *
619  *                               *
620  *                               *
621  *                               *
622  *                               *
623  *                               *
624  *                               *
625  *                               *
626  *                               *
627  *                               *
628  *                               *
629  *                               *
630  *                               *
631  *                               *
632  *                               *
633  *                               *
634  *                               *
635  *                               *
636  *                               *
637  *                               *
638  *                               *
639  *                               *
640  *                               *
641  *                               *
642  *                               *
643  *                               *
644  *                               *
645  *                               *
646  *                               *
647  *                               *
648  *                               *
649  *                               *
650  *                               *
651  *                               *
652  *                               *
653  *                               *
654  *                               *
655  *                               *
656  *                               *
657  *                               *
658  *                               *
659  *                               *
660  *                               *
661  *                               *
662  *                               *
663  *                               *
664  *                               *
665  *                               *
666  *                               *
667  *                               *
668  *                               *
669  *                               *
670  *                               *
671  *                               *
672  *                               *
673  *                               *
674  *                               *
675  *                               *
676  *                               *
677  *                               *
678  *                               *
679  *                               *
680  *                               *
681  *                               *
682  *                               *
683  *                               *
684  *                               *
685  *                               *
686  *                               *
687  *                               *
688  *                               *
689  *                               *
690  *                               *
691  *                               *
692  *                               *
693  *                               *
694  *                               *
695  *                               *
696  *                               *
697  *                               *
698  *                               *
699  *                               *
700  *                               *
701  *                               *
702  *                               *
703  *                               *
704  *                               *
705  *                               *
706  *                               *
707  *                               *
708  *                               *
709  *                               *
710  *                               *
711  *                               *
712  *                               *
713  *                               *
714  *                               *
715  *                               *
716  *                               *
717  *                               *
718  *                               *
719  *                               *
720  *                               *
721  *                               *
722  *                               *
723  *                               *
724  *                               *
725  *                               *
726  *                               *
727  *                               *
728  *                               *
729  *                               *
730  *                               *
731  *                               *
732  *                               *
733  *                               *
734  *                               *
735  *                               *
736  *                               *
737  *                               *
738  *                               *
739  *                               *
740  *                               *
741  *                               *
742  *                               *
743  *                               *
744  *                               *
745  *                               *
746  *                               *
747  *                               *
748  *                               *
749  *                               *
750  *                               *
751  *                               *
752  *                               *
753  *                               *
754  *                               *
755  *                               *
756  *                               *
757  *                               *
758  *                               *
759  *                               *
760  *                               *
761  *                               *
762  *                               *
763  *                               *
764  *                               *
765  *                               *
766  *                               *
767  *                               *
768  *                               *
769  *                               *
770  *                               *
771  *                               *
772  *                               *
773  *                               *
774  *                               *
775  *                               *
776  *                               *
777  *                               *
778  *                               *
779  *                               *
780  *                               *
781  *                               *
782  *                               *
783  *                               *
784  *                               *
785  *                               *
786  *                               *
787  *                               *
788  *                               *
789  *                               *
790  *                               *
791  *                               *
792  *                               *
793  *                               *
794  *                               *
795  *                               *
796  *                               *
797  *                               *
798  *                               *
799  *                               *
800  *                               *
801  *                               *
802  *                               *
803  *                               *
804  *                               *
805  *                               *
806  *                               *
807  *                               *
808  *                               *
809  *                               *
810  *                               *
811  *                               *
812  *                               *
813  *                               *
814  *                               *
815  *                               *
816  *                               *
817  *                               *
818  *                               *
819  *                               *
820  *                               *
821  *                               *
822  *                               *
823  *                               *
824  *                               *
825  *                               *
826  *                               *
827  *                               *
828  *                               *
829  *                               *
830  *                               *
831  *                               *
832  *                               *
833  *                               *
834  *                               *
835  *                               *
836  *                               *
837  *                               *
838  *                               *
839  *                               *
840  *                               *
841  *                               *
842  *                               *
843  *                               *
844  *                               *
845  *                               *
846  *                               *
847  *                               *
848  *                               *
849  *                               *
850  *                               *
851  *                               *
852  *                               *
853  *                               *
854  *                               *
855  *                               *
856  *                               *
857  *                               *
858  *                               *
859  *                               *
860  *                               *
861  *                               *
862  *                               *
863  *                               *
864  *                               *
865  *                               *
866  *                               *
867  *                               *
868  *                               *
869  *                               *
870  *                               *
871  *                               *
872  *                               *
873  *                               *
874  *                               *
875  *                               *
876  *                               *
877  *                               *
878  *                               *
879  *                               *
880  *                               *
881  *                               *
882  *                               *
883  *                               *
884  *                               *
885  *                               *
886  *                               *
887  *                               *
888  *                               *
889  *                               *
890  *                               *
891  *                               *
892  *                               *
893  *                               *
894  *                               *
895  *                               *
896  *                               *
897  *                               *
898  *                               *
899  *                               *
900  *                               *
901  *                               *
902  *                               *
903  *                               *
904  *                               *
905  *                               *
906  *                               *
907  *                               *
908  *                               *
909  *                               *
910  *                               *
911  *                               *
912  *                               *
913  *                               *
914  *                               *
915  *                               *
916  *                               *
917  *                               *
918  *                               *
919  *                               *
920  *                               *
921  *                               *
922  *                               *
923  *                               *
924  *                               *
925  *                               *
926  *                               *
927  *                               *
928  *                               *
929  *                               *
930  *                               *
931  *                               *
932  *                               *
933  *                               *
934  *                               *
935  *                               *
936  *                               *
937  *                               *
938  *                               *
939  *                               *
940  *                               *
941  *                               *
942  *                               *
943  *                               *
944  *                               *
945  *                               *
946  *                               *
947  *                               *
948  *                               *
949  *                               *
950  *                               *
951  *                               *
952  *                               *
953  *                               *
954  *                               *
955  *                               *
956  *                               *
957  *                               *
958  *                               *
959  *                               *
960  *                               *
961  *                               *
962  *                               *
963  *                               *
964  *                               *
965  *                               *
966  *                               *
967  *                               *
968  *                               *
969  *                               *
970  *                               *
971  *                               *
972  *                               *
973  *                               *
974  *                               *
975  *                               *
976  *                               *
977  *                               *
978  *                               *
979  *                               *
980  *                               *
981  *                               *
982  *                               *
983  *                               *
984  *                               *
985  *                               *
986  *                               *
987  *                               *
988  *                               *
989  *                               *
990  *                               *
991  *                               *
992  *                               *
993  *                               *
994  *                               *
995  *                               *
996  *                               *
997  *                               *
998  *                               *
999  *                               *
1000  *                               *

```

```

493     uint8_t frame_len = 3 + data_len;
494
495     // Ethernet shield address and control
496     frame[0] = (addr & BYTE_2_MASK) >> BYTE_2_SHIFT;
497     frame[1] = (addr & BYTE_1_MASK) >> BYTE_1_SHIFT;
498     frame[2] = (addr & BYTE_0_MASK) >> BYTE_0_SHIFT;
499
500     // Receive data
501     for (uint8_t i = 0; i < frame_len; i++)
502     {
503         while (!(SPI_MASTER_BASE->SPI_SR & SPI_SR_TDRE));
504         SPI_MASTER_BASE->SPI_TDR = SPI_TDR_TD(frame[i]);
505         frame[i] = (uint8_t)(SPI_MASTER_BASE->SPI_RDR & SPI_RDR_RD_Msk);
506     }
507
508     // Delay of 3 bits
509     for (uint8_t i = 0; i < data_len; i++)
510     {
511         data[i] = frame[i+3];
512     }
513 }
514
515 // Init ethernet shield
516 static void ethernet_init(void)
517 {
518     uint8_t phy_reset[1] = {0xFF & PHYCFGR_RST};
519     uint8_t phy_config[1] = {~PHYCFGR_RST | PHYCFGR_OPMD | PHYCFGR_OPMD100F};
520     uint8_t phy_check[3] = {};
521     uint8_t mode_reg[1] = {MR_RST | MR_FARP | MR_WOL | MR_PB};
522     uint8_t interrupt_mask[1] = {0};
523     uint8_t socket_int_mask[1] = {0x1};
524     uint8_t socket_buf_rx_size[1] = {BUFFER_RX_SIZE_KB};
525     uint8_t socket_ready[3] = {Sn_CR_SEND};
526
527 #ifdef AUTO_SENSOR_NUMBER
528     // Get sensor number
529     uint8_t sensor_number;
530     get_sensor_number(&sensor_number);
531
532     // Set sensor number
533     Sensor_Info.mac[5] = sensor_number;
534     Sensor_Info.ip[3] = sensor_number + SENSOR_OFFSET;
535 #endif
536
537     // Set pins as input, not to disturb SPI
538     ioport_enable_pin(PIO_PB27_IDX);
539     ioport_set_pin_dir(PIO_PB27_IDX, IOPORT_DIR_INPUT);
540     ioport_enable_pin(PIO_PD8_IDX);
541     ioport_set_pin_dir(PIO_PD8_IDX, IOPORT_DIR_INPUT);
542     ioport_enable_pin(PIO_PD7_IDX);
543     ioport_set_pin_dir(PIO_PD7_IDX, IOPORT_DIR_INPUT);
544
545     // Reset and configure PHY register
546     spi_transmit((PHYCFGR | _W5500_SPI_WRITE_), &phy_reset[0], 1);
547     spi_transmit((PHYCFGR | _W5500_SPI_WRITE_), &phy_config[0], 1);
548     do
549     {
550         // Wait if link down
551         spi_receive(PHYCFGR, &phy_check[0], 3);
552     } while (!(phy_check[2] & PHYCFGR_LNK_ON));
553
554     // Configure mode register and interrupts
555     spi_transmit((MR | _W5500_SPI_WRITE_), &mode_reg[0], 1);
556     spi_transmit((IMR | _W5500_SPI_WRITE_), &interrupt_mask[0], 1);
557     spi_transmit((SIMR | _W5500_SPI_WRITE_), &socket_int_mask[0], 1);
558
559     // Configure sensor ethernet address
560     spi_transmit((SHAR | _W5500_SPI_WRITE_), &Sensor_Info.mac[0], 6);
561     spi_transmit((GAR | _W5500_SPI_WRITE_), &Sensor_Info.gw[0], 4);
562     spi_transmit((SUBR | _W5500_SPI_WRITE_), &Sensor_Info.sn[0], 4);
563     spi_transmit((SIPR | _W5500_SPI_WRITE_), &Sensor_Info.ip[0], 4);
564
565     // Init sockets
566     ethernet_init_socket(TRANSMIT_SOCKET, BUFFER_ECHO_SIZE_KB);
567
568     // Set RX buffer size
569     spi_transmit((Sn_RXBUF_SIZE(RECEIVE_SOCKET) | _W5500_SPI_WRITE_), &socket_buf_rx_size[0], 1);
570
571     // Transmit NULL data
572     spi_transmit((Sn_CR(TRANSMIT_SOCKET) | _W5500_SPI_WRITE_), &socket_ready[0], 2);
573     do
574     {
575         // Wait if data not transmit
576         spi_receive((Sn_IR(TRANSMIT_SOCKET)), &socket_ready[0], 3);
577     } while (!(socket_ready[2] & Sn_IR_SENDDOK));

```

```

578 }
579
580 // Init ethernet shield sockets
581 static void ethernet_init_socket(uint8_t socket,uint8_t buffer_size)
582 {
583     uint8_t socket_mode[1] = {Sn_MR_UDP};
584     uint8_t socket_buf_size[1];
585     uint8_t socket_int_en[1] = {Sn_IR_RECV};
586     uint8_t socket_open[1] = {Sn_CR_OPEN};
587     uint8_t socket_check[3] = {};
588     uint8_t port[2];
589     uint8_t ip[4];
590
591     socket_buf_size[0] = buffer_size;
592     port[0] = port_base[0];
593     port[1] = port_base[1] + socket;
594
595     for (uint8_t i = 0; i < 4; i++)
596     {
597         ip[i] = destination_ip[i];
598     }
599
600     // Configure socket registers
601     spi_transmit((Sn_MR(socket) | _W5500_SPI_WRITE_),&socket_mode[0],1);
602     spi_transmit((Sn_PORT(socket) | _W5500_SPI_WRITE_),&port[0],2);
603     spi_transmit((Sn_DPORT(socket) | _W5500_SPI_WRITE_),&port[0],2);
604     spi_transmit((Sn_DIPR(socket) | _W5500_SPI_WRITE_),&ip[0],4);
605     spi_transmit((Sn_TXBUF_SIZE(socket) | _W5500_SPI_WRITE_),&socket_buf_size[0],1);
606     spi_transmit((Sn_IMR(socket) | _W5500_SPI_WRITE_),&socket_int_en[0],1);
607     spi_transmit((Sn_CR(socket) | _W5500_SPI_WRITE_),&socket_open[0],1);
608     do
609     {
610         // Wait if socket is not in UDP mode
611         spi_receive(Sn_SR(socket),&socket_check[0],3);
612     } while (!(socket_check[2] & SOCK_UDP));
613 }
614
615 // Transmit echo data via ethernet
616 static void ethernet_transmit_echo(uint16_t *data,uint8_t send_manuell)
617 {
618     static uint8_t socket_send[1] = {Sn_CR_SEND};
619     static uint8_t socket_tx_wr_ptr[4] = {};
620     static uint16_t transmit_counter = 0x0000;
621     static uint8_t data_frame[MAX_DATA_FRAME_SIZE];
622     static uint32_t addr = 0;
623     static uint16_t tx_wr_ptr = 0x0000;
624
625     // If send manual, transmit echo data in TX register
626     if (send_manuell == SEND_MANUAL)
627     {
628         // Built TX write pointer frame
629         socket_tx_wr_ptr[0] = ((tx_wr_ptr + 0x0) & BYTE_1_MASK) >> BYTE_1_SHIFT;
630         socket_tx_wr_ptr[1] = ((tx_wr_ptr + 0x0) & BYTE_0_MASK) >> BYTE_0_SHIFT;
631
632         // Set TX write pointer
633         spi_transmit((Sn_TX_WR(TRANSMIT_SOCKET) | _W5500_SPI_WRITE_),&socket_tx_wr_ptr[0],2);
634
635         // Transmit echo data package
636         spi_transmit((Sn_CR(TRANSMIT_SOCKET) | _W5500_SPI_WRITE_),&socket_send[0],1);
637
638         // Set transmit counter and to null
639         transmit_counter = 0x00;
640     }
641     // Transmit echo data in automatic mode
642     else
643     {
644         // Ethernet shield address and control
645         addr = (WIZCHIP_TXBUF_BLOCK(TRANSMIT_SOCKET) << 3) | _W5500_SPI_WRITE_ | ((uint32_t)tx_wr_ptr << 8);
646
647         // Get tx_wr_ptr and transmit identifier and udp_counter
648         if (transmit_counter == 0)
649         {
650             // Get TX write pointer
651             spi_receive(Sn_TX_WR(TRANSMIT_SOCKET),&socket_tx_wr_ptr[0],4);
652
653             tx_wr_ptr = ((socket_tx_wr_ptr[2] << BYTE_1_SHIFT) | socket_tx_wr_ptr[3]);
654
655             // Ethernet shield address and control
656             addr = (WIZCHIP_TXBUF_BLOCK(TRANSMIT_SOCKET) << 3) | _W5500_SPI_WRITE_ | ((uint32_t)tx_wr_ptr << 8);
657
658             // Built data frame, identifier and UDP counter
659             data_frame[0] = (MEASUREMENT_MODE & BYTE_1_MASK) >> BYTE_1_SHIFT;
660             data_frame[1] = (MEASUREMENT_MODE & BYTE_0_MASK) >> BYTE_0_SHIFT;
661             data_frame[2] = (udp_counter & BYTE_1_MASK) >> BYTE_1_SHIFT;
662             data_frame[3] = (udp_counter & BYTE_0_MASK) >> BYTE_0_SHIFT;

```

```

663
664 // Transmit data frame to TX register , 4 byte
665 spi_transmit(addr,&data_frame[0],4);
666
667 // Build data frame , echo data
668 data_frame[0] = (*data & BYTE_1_MASK) >> BYTE_1_SHIFT;
669 data_frame[1] = (*data & BYTE_0_MASK) >> BYTE_0_SHIFT;
670
671 // Increment transmit counter , pointer and UDP counter
672 transmit_counter += 0x2;
673 tx_wr_ptr += 0x4;
674 udp_counter += 1;
675 }
676 // Transmit echo data 4 byte
677 else if (transmit_counter == 2)
678 {
679 // Built data frame
680 data_frame[2] = (*data & BYTE_1_MASK) >> BYTE_1_SHIFT;
681 data_frame[3] = (*data & BYTE_0_MASK) >> BYTE_0_SHIFT;
682
683 // Transmit echo data to TX register , 4 byte
684 spi_transmit(addr,&data_frame[0],4);
685
686 // Increment transmit counter and pointer
687 transmit_counter += 0x2;
688 tx_wr_ptr += 0x4;
689 }
690 // Transmit echo data 2 byte
691 else if (transmit_counter > 2)
692 {
693 // Built data frame
694 data_frame[0] = (*data & BYTE_1_MASK) >> BYTE_1_SHIFT;
695 data_frame[1] = (*data & BYTE_0_MASK) >> BYTE_0_SHIFT;
696
697 // Transmit echo data to TX register , 2 byte
698 spi_transmit(addr,&data_frame[0],2);
699
700 // Increment transmit counter and pointer
701 transmit_counter += 0x2;
702 tx_wr_ptr += 0x2;
703
704 // Set tx_wr_ptr and send package
705 if (transmit_counter >= MAX_ETHERNET_PAYLOAD)
706 {
707 // Built TX write pointer frame
708 socket_tx_wr_ptr[0] = (tx_wr_ptr & BYTE_1_MASK) >> BYTE_1_SHIFT;
709 socket_tx_wr_ptr[1] = (tx_wr_ptr & BYTE_0_MASK) >> BYTE_0_SHIFT;
710
711 // Set TX write pointer
712 spi_transmit((Sn_TX_WR(TRANSMIT_SOCKET) | _W5500_SPI_WRITE_),&socket_tx_wr_ptr[0],2);
713
714 // Transmit echo data package
715 spi_transmit((Sn_CR(TRANSMIT_SOCKET) | _W5500_SPI_WRITE_),&socket_send[0],1);
716
717 // Set pointer to null
718 transmit_counter = 0x0;
719 }
720 }
721 }
722 }
723
724 // Transmit data via ethernet
725 static void ethernet_transmit_data(uint32_t *data,uint8_t data_len)
726 {
727 uint8_t socket_send[1] = {Sn_CR_SEND};
728 uint8_t socket_tx_wr_ptr[4] = {};
729 uint8_t data_frame[MAX_DATA_FRAME_SIZE];
730 uint32_t addr;
731 static uint16_t tx_wr_ptr = 0x0000;
732
733 // Get TX write pointer
734 spi_receive(Sn_TX_WR(TRANSMIT_SOCKET),&socket_tx_wr_ptr[0],4);
735
736 tx_wr_ptr = ((socket_tx_wr_ptr[2] << BYTE_1_SHIFT) | socket_tx_wr_ptr[3]);
737
738 // Transmit data to TX register
739 for (uint8_t i = 0; i < data_len; i++)
740 {
741 // Ethernet shield address and control
742 addr = (WIZCHIP_TXBUF_BLOCK(TRANSMIT_SOCKET) << 3) | _W5500_SPI_WRITE_ | ((uint32_t)tx_wr_ptr << 8);
743
744 // Built data frame
745 data_frame[0] = (data[i] & BYTE_3_MASK) >> BYTE_3_SHIFT;
746 data_frame[1] = (data[i] & BYTE_2_MASK) >> BYTE_2_SHIFT;
747 data_frame[2] = (data[i] & BYTE_1_MASK) >> BYTE_1_SHIFT;

```

```

748     data_frame[3] = (data[i] & BYTE_0_MASK) >> BYTE_0_SHIFT;
749
750     // Transmit data to TX register
751     spi_transmit(addr,&data_frame[0],4);
752
753     // Increment pointer
754     tx_wr_ptr += 0x4;
755 }
756
757 // Built TX write pointer frame
758 socket_tx_wr_ptr[0] = (tx_wr_ptr & BYTE_1_MASK) >> BYTE_1_SHIFT;
759 socket_tx_wr_ptr[1] = (tx_wr_ptr & BYTE_0_MASK) >> BYTE_0_SHIFT;
760
761 // Set TX write pointer and transmit data
762 spi_transmit((Sn_TX_WR(TRANSMIT_SOCKET) | _W5500_SPI_WRITE_),&socket_tx_wr_ptr[0],2);
763 spi_transmit((Sn_CR(TRANSMIT_SOCKET) | _W5500_SPI_WRITE_),&socket_send[0],1);
764 }
765
766 // Receive data via ethernet
767 static void ethernet_receive_data(uint32_t *data)
768 {
769     static uint8_t set_recv[1] = {Sn_CR_RECV};
770     static uint8_t received_data_size[4] = {};
771     static uint8_t rx_read_ptr[4] = {};
772     static uint16_t data_size;
773     static uint16_t read_ptr = 0x0000;
774     static uint8_t data_frame[MAX_DATA_FRAME_SIZE];
775
776     // Ethernet shield address and control
777     uint32_t addr = (WIZCHIP_RXBUF_BLOCK(RECEIVE_SOCKET) << 3) | ((uint32_t)read_ptr << BYTE_1_SHIFT);
778
779     // Get received data size
780     spi_receive(Sn_RX_RSR(RECEIVE_SOCKET),&received_data_size[0],4);
781
782     // Calculate data size and RX read pointer
783     data_size = (received_data_size[2] << BYTE_1_SHIFT) | received_data_size[3];
784     read_ptr += data_size;
785
786     // Built RX read pointer
787     rx_read_ptr[0] = (read_ptr & BYTE_1_MASK) >> BYTE_1_SHIFT;
788     rx_read_ptr[1] = (read_ptr & BYTE_0_MASK) >> BYTE_0_SHIFT;
789
790     // Receive data from RX register
791     spi_receive(addr,&data_frame[0],(data_size+2));
792
793     // Built data frame
794     data[0] = 0;
795     data[0] |= (uint32_t)(data_frame[data_size-2] << BYTE_3_SHIFT);
796     data[0] |= (uint32_t)(data_frame[data_size-1] << BYTE_2_SHIFT);
797     data[0] |= (uint32_t)(data_frame[data_size-0] << BYTE_1_SHIFT);
798     data[0] |= (uint32_t)(data_frame[data_size+1] << BYTE_0_SHIFT);
799
800     // Set RX read pointer
801     spi_transmit((Sn_RX_RD(RECEIVE_SOCKET) | _W5500_SPI_WRITE_),&rx_read_ptr[0],2);
802     spi_transmit((Sn_CR(RECEIVE_SOCKET) | _W5500_SPI_WRITE_),&set_recv[0],1);
803 }
804
805 // Init I2C
806 static void twi_init(void)
807 {
808     twi_options_t opt;
809
810     // Enable peripheral clock for TWI1
811     pmc_enable_periph_clk(ID_TWI1);
812
813     // Define I2C clock
814     opt.master_clk = sysclk_get_peripheral_hz();
815     opt.speed = TWI_CLK;
816
817     // Set I2C clock
818     twi_master_init(TWI1,&opt);
819 }
820
821 // Init BMP280 Sensor
822 static void bmp280_sensor_init(void)
823 {
824     twi_packet_t reset;
825     twi_packet_t status;
826
827     uint8_t bmp280_reset[1] = {BMP280_SOFT_RESET_CODE};
828     uint8_t bmp280_get_status[1];
829
830     // Define soft reset
831     reset.chip = BMP280_I2C_ADDRESS2;
832     reset.addr[0] = BMP280_RST_REG;

```

```

833     reset.addr_length = 1;
834     reset.buffer = &bmp280_reset[0];
835     reset.length = 1;
836
837     // Define status register
838     status.chip = BMP280_I2C_ADDRESS2;
839     status.addr[0] = BMP280_STAT_REG;
840     status.addr_length = 1;
841     status.buffer = &bmp280_get_status[0];
842     status.length = 1;
843
844     // Reset BMP280
845     twi_master_write(TWI1,&reset);
846
847     // Wait if BMP280 is not reset
848     do
849     {
850         twi_master_read(TWI1,&status);
851     } while (bmp280_get_status[0] & BMP280_STATUS_REG_IM_UPDATE_MSK);
852 }
853
854 // Get calibration data
855 static void bmp280_get_calibration(uint8_t *bmp280_calib)
856 {
857     twi_packet_t read_calib;
858
859     // Define calibration register
860     read_calib.chip = BMP280_I2C_ADDRESS2;
861     read_calib.addr[0] = BMP280_TEMPERATURE_CALIB_DIG_T1_LSB_REG;
862     read_calib.addr_length = 1;
863     read_calib.buffer = &bmp280_calib[0];
864     read_calib.length = BMP280_CALIB_DATA_SIZE;
865
866     // Get calibration data via I2C
867     twi_master_read(TWI1,&read_calib);
868 }
869
870 // Start measuring and transmit data
871 static void bmp280_measurement(void)
872 {
873     uint8_t bmp280_calib[BMP280_CALIB_DATA_SIZE];
874     uint32_t transmit_data[8];
875
876     // Get calibration data
877     bmp280_get_calibration(&bmp280_calib[0]);
878
879     twi_packet_t ctrl_meas;
880     twi_packet_t measurement;
881     twi_packet_t status;
882
883     // Define temperature oversampling
884     uint8_t temperature_oversampling = (BMP280_ULTRAHIGHRESOLUTION_OVERSAMP_TEMPERATURE
885     << BMP280_CTRL_MEAS_REG_OVERSAMP_TEMPERATURE_POS)
886     & BMP280_CTRL_MEAS_REG_OVERSAMP_TEMPERATURE_MSK;
887
888     // Define pressure oversampling
889     uint8_t pressure_oversampling = (BMP280_ULTRAHIGHRESOLUTION_OVERSAMP_PRESSURE
890     << BMP280_CTRL_MEAS_REG_OVERSAMP_PRESSURE_POS)
891     & BMP280_CTRL_MEAS_REG_OVERSAMP_PRESSURE_MSK;
892
893     uint8_t bmp280_meas[6];
894     uint8_t bmp280_ctrl_meas[1] = {temperature_oversampling | pressure_oversampling | BMP280_FORCED_MODE};
895     uint8_t bmp280_get_status[1];
896
897     // Define control measurement register
898     ctrl_meas.chip = BMP280_I2C_ADDRESS2;
899     ctrl_meas.addr[0] = BMP280_CTRL_MEAS_REG;
900     ctrl_meas.addr_length = 1;
901     ctrl_meas.buffer = &bmp280_ctrl_meas[0];
902     ctrl_meas.length = 1;
903
904     // Define data start address
905     measurement.chip = BMP280_I2C_ADDRESS2;
906     measurement.addr[0] = BMP280_PRESSURE_MSB_REG;
907     measurement.addr_length = 1;
908     measurement.buffer = &bmp280_meas[0];
909     measurement.length = 6;
910
911     // Define status register
912     status.chip = BMP280_I2C_ADDRESS2;
913     status.addr[0] = BMP280_STAT_REG;
914     status.addr_length = 1;
915     status.buffer = &bmp280_get_status[0];
916     status.length = 1;
917
918     // Start measurement

```

```

918     twi_master_write(TWI1, &ctrl_meas);
919
920     // Wait if measurement not started
921     do
922     {
923         twi_master_read(TWI1,&status);
924     } while (!(bmp280_get_status[0] & BMP280_STATUS_REG_MEASURING_MSK));
925
926     // Wait if measurement not finished
927     do
928     {
929         twi_master_read(TWI1,&status);
930     } while (bmp280_get_status[0] & BMP280_STATUS_REG_MEASURING_MSK);
931
932     // Get temperature and pressure
933     twi_master_read(TWI1,&measurement);
934
935     // Pressure
936     transmit_data[0] = (TEMP_PRESS_MODE << BYTE_2_SHIFT) | (bmp280_meas[0] << 4) | ((bmp280_meas[1] & 0xF0) >> 4);
937     // Temperature
938     transmit_data[1] = ((bmp280_meas[1] & 0x0F) << 28) | ((bmp280_meas[2] & 0xF0) << 20) | (bmp280_meas[3] << 12)
939     | (bmp280_meas[4] << 4) | ((bmp280_meas[5] & 0xF0) >> 4);
940     // Calibration data
941     transmit_data[2] = (bmp280_calib[0] << BYTE_3_SHIFT) | (bmp280_calib[1] << BYTE_2_SHIFT)
942     | (bmp280_calib[2] << BYTE_1_SHIFT) | (bmp280_calib[3] << BYTE_0_SHIFT);
943     transmit_data[3] = (bmp280_calib[4] << BYTE_3_SHIFT) | (bmp280_calib[5] << BYTE_2_SHIFT)
944     | (bmp280_calib[6] << BYTE_1_SHIFT) | (bmp280_calib[7] << BYTE_0_SHIFT);
945     transmit_data[4] = (bmp280_calib[8] << BYTE_3_SHIFT) | (bmp280_calib[9] << BYTE_2_SHIFT)
946     | (bmp280_calib[10] << BYTE_1_SHIFT) | (bmp280_calib[11] << BYTE_0_SHIFT);
947     transmit_data[5] = (bmp280_calib[12] << BYTE_3_SHIFT) | (bmp280_calib[13] << BYTE_2_SHIFT)
948     | (bmp280_calib[14] << BYTE_1_SHIFT) | (bmp280_calib[15] << BYTE_0_SHIFT);
949     transmit_data[6] = (bmp280_calib[16] << BYTE_3_SHIFT) | (bmp280_calib[17] << BYTE_2_SHIFT)
950     | (bmp280_calib[18] << BYTE_1_SHIFT) | (bmp280_calib[19] << BYTE_0_SHIFT);
951     transmit_data[7] = (bmp280_calib[20] << BYTE_3_SHIFT) | (bmp280_calib[21] << BYTE_2_SHIFT)
952     | (bmp280_calib[22] << BYTE_1_SHIFT) | (bmp280_calib[23] << BYTE_0_SHIFT);
953
954     // Transmit data via ethernet
955     ethernet_transmit_data(&transmit_data[0],8);
956 }
957
958 // Init ADC
959 static void adc_init_config(void)
960 {
961     pmc_enable_periph_clk(ID_ADC);
962     adc_init(ADC, sysclk_get_cpu_hz(),ADC_CLOCK,ADC_STARTUP_TIME_4);
963     adc_configure_timing(ADC,1,ADC_SETTLING_TIME_3,1);
964     adc_enable_tag(ADC);
965     adc_stop_sequencer(ADC);
966     // ADC channel 10 == Arduino Due A8
967     adc_enable_channel(ADC,ADC_CHANNEL_10);
968     adc_disable_anch(ADC);
969     adc_set_channel_input_gain(ADC,ADC_CHANNEL_10,ADC_GAINVALUE_0);
970     adc_disable_channel_input_offset(ADC,ADC_CHANNEL_10);
971     // Enable interrupt
972     NVIC_SetPriority(ADC_IRQn,INT_PRIOR_ADC);
973     NVIC_EnableIRQ(ADC_IRQn);
974 }
975
976 // Timer power up init and start
977 static void timer_power_up(void)
978 {
979     // Timer0 A1 for power up
980     ioport_set_pin_mode(PIO_PA2_IDX,IOPORT_MODE_MUX_A);
981     ioport_disable_pin(PIO_PA2_IDX);
982
983     pmc_enable_periph_clk(ID_TC1);
984
985     // Calculate power up time
986     uint32_t time_power_up = sysclk_get_cpu_hz() / DIV_MS / TIMER_MCK_2 * POWER_UP;
987
988     // Init timer for power up
989     tc_init(TC0, TC_CHANNEL1,0 | TC_CMR_WAVE | TC_CMR_CPCTRIG | TC_CMR_ACPA_CLEAR | TC_CMR_ACPC_SET
990     | TC_CMR_TCCCLKS_TIMER_CLOCK1 | TC_CMR_CPCDIS);
991
992     // Set power up time
993     TC0->TC_CHANNEL[TC_CHANNEL1].TC_RA = time_power_up;
994     TC0->TC_CHANNEL[TC_CHANNEL1].TC_RC = time_power_up;
995
996     // Enable interrupt
997     NVIC_DisableIRQ(TC1_IRQn);
998     NVIC_ClearPendingIRQ(TC1_IRQn);
999     NVIC_SetPriority(TC1_IRQn,INT_PRIOR_TC);
1000     NVIC_EnableIRQ(TC1_IRQn);
1001
1002     // Start timer0 A1 channel1

```

```

1003     tc_enable_interrupt(TC0,TC_CHANNEL1,TC_IER_CPCS);
1004     tc_start(TC0,TC_CHANNEL1);
1005 }
1006
1007 // Init Timer
1008 static void timer_init(void)
1009 {
1010     // Timer0 A0 for ADC
1011     pmc_enable_periph_clk(ID_TC0);
1012
1013     // Calculate ADC sample time
1014     uint32_t time_adc = sysclk_get_cpu_hz() / SAMPLE_RATE_ADC_KHZ / KILO_HZ / TIMER_MCK_2;
1015
1016     // Init timer for ADC
1017     pio_configure_pin(PIO_PB25_IDX,(PIO_INPUT | PIO_DEFAULT));
1018     tc_init(TC0, TC_CHANNEL0,0 | TC_CMR_CPCTR | TC_CMR_WAVE | TC_CMR_ACPC_CLEAR | TC_CMR_ACPC_SET | TC_CMR_TCCLKS_TIMER_CLOCK1);
1019
1020     // Set sample time
1021     TC0->TC_CHANNEL[TC_CHANNEL0].TC_RA = time_adc/2;
1022     TC0->TC_CHANNEL[TC_CHANNEL0].TC_RC = time_adc;
1023     adc_configure_trigger(ADC,ADC_TRIG_TIO_CH_0,0);
1024
1025     // Timer0 A2 for start measurement
1026     ioport_set_pin_mode(PIO_PA5_IDX,IOPORT_MODE_MUX_A);
1027     ioport_disable_pin(PIO_PA5_IDX);
1028
1029     pmc_enable_periph_clk(ID_TC2);
1030
1031     // Calculate start time
1032     uint32_t time_start = sysclk_get_cpu_hz() / DIV_MS / TIMER_MCK_2 * START_MEASUREMENT;
1033
1034     // Init timer for start measurement
1035     tc_init(TC0, TC_CHANNEL2,0 | TC_CMR_WAVE | TC_CMR_CPCTR | TC_CMR_ACPC_CLEAR | TC_CMR_ACPC_SET
1036           | TC_CMR_TCCLKS_TIMER_CLOCK1 | TC_CMR_CPCDIS);
1037
1038     // Set start time
1039     TC0->TC_CHANNEL[TC_CHANNEL2].TC_RA = time_start;
1040     TC0->TC_CHANNEL[TC_CHANNEL2].TC_RC = time_start;
1041
1042     // Enable interrupt
1043     NVIC_DisableIRQ(TC2_IRQn);
1044     NVIC_ClearPendingIRQ(TC2_IRQn);
1045     NVIC_SetPriority(TC2_IRQn,INT_PRIOR_TC);
1046     NVIC_EnableIRQ(TC2_IRQn);
1047
1048     // Timer1 A3 for measurement time
1049     ioport_set_pin_mode(PIO_PB0_IDX, IOPORT_MODE_MUX_B);
1050     ioport_disable_pin(PIO_PB0_IDX);
1051
1052     pmc_enable_periph_clk(ID_TC3);
1053
1054     // Calculate measurement time
1055     uint32_t time_measurement = sysclk_get_cpu_hz() / DIV_MS / TIMER_MCK_2 * MEASUREMENT;
1056
1057     // Init timer for measurement time
1058     tc_init(TC1, TC_CHANNEL0,0 | TC_CMR_WAVE | TC_CMR_CPCTR | TC_CMR_ACPC_CLEAR | TC_CMR_ACPC_SET
1059           | TC_CMR_TCCLKS_TIMER_CLOCK1 | TC_CMR_CPCDIS);
1060
1061     // Set measurement time
1062     TC1->TC_CHANNEL[TC_CHANNEL0].TC_RA = time_measurement;
1063     TC1->TC_CHANNEL[TC_CHANNEL0].TC_RC = time_measurement;
1064
1065     // Enable interrupt
1066     NVIC_DisableIRQ(TC3_IRQn);
1067     NVIC_ClearPendingIRQ(TC3_IRQn);
1068     NVIC_SetPriority(TC3_IRQn,INT_PRIOR_TC);
1069     NVIC_EnableIRQ(TC3_IRQn);
1070 }
1071
1072 // Init NVIC
1073 static void nvicc_init(void)
1074 {
1075     WDT->WDT_MR = WDT_MR_WDDIS;
1076
1077     pmc_enable_periph_clk(ID_PIOB);
1078     pmc_enable_periph_clk(ID_PIOD);
1079
1080     // Set ethernet handler
1081     pio_set_debounce_filter(PIOB,PIO_PB25,10);
1082     pio_handler_set(PIOB,ID_PIOB,PIO_PB25,(PIO_PULLUP | PIO_IT_FALL_EDGE),Int_Handler_Ethernet);
1083
1084     // Set sync handler
1085     pio_set_debounce_filter(PIOB,PIO_PB26,10);
1086     pio_handler_set(PIOB,ID_PIOB,PIO_PB26,(PIO_PULLUP | PIO_IT_FALL_EDGE),Int_Handler_Sync);
1087

```

```

1088 // Set next token handler
1089 pio_set_debounce_filter(PIOD,PIO_PD3,10);
1090 pio_handler_set(PIOD,ID_PIOD,PIO_PD3,(PIO_PULLUP | PIO_IT_RISE_EDGE),Int_Handler_Next-Token);
1091
1092 // Set reset handler
1093 pio_set_debounce_filter(PIOD,PIO_PD10,10);
1094 pio_handler_set(PIOD,ID_PIOD,PIO_PD10,(PIO_PULLUP | PIO_IT_FALL_EDGE),Int_Handler_Reset);
1095
1096 // Disable interrupts PIOB
1097 pio_disable_interrupt(PIOB,0xFFFFFFFF);
1098 pio_get_interrupt_status(PIOB);
1099
1100 // Disable interrupts PIOD
1101 pio_disable_interrupt(PIOD,0xFFFFFFFF);
1102 pio_get_interrupt_status(PIOD);
1103
1104 // Enable interrupts PIOB
1105 NVIC_DisableIRQ((IRQn_Type)ID_PIOB);
1106 NVIC_ClearPendingIRQ((IRQn_Type)ID_PIOB);
1107 NVIC_SetPriority((IRQn_Type)ID_PIOB,INT_PRIOR_ETHERNET);
1108 NVIC_EnableIRQ((IRQn_Type)ID_PIOB);
1109
1110 // Enable interrupts PIOD
1111 NVIC_DisableIRQ((IRQn_Type)ID_PIOD);
1112 NVIC_ClearPendingIRQ((IRQn_Type)ID_PIOD);
1113 NVIC_SetPriority((IRQn_Type)ID_PIOD,INT_PRIOR_ETHERNET);
1114 NVIC_EnableIRQ((IRQn_Type)ID_PIOD);
1115
1116 // Enable interrupt ethernet shield
1117 pio_enable_interrupt(PIOB,PIO_PB25);
1118 }
1119
1120 // Init sync pins
1121 static void sync_pins_init(void)
1122 {
1123 // Set PA14 as output for sync measurement
1124 pmc_enable_periph_clk(ID_PIOA);
1125 // pio_set_debounce_filter(PIOA,PIO_PA14,10);
1126 ioport_enable_pin(PIO_PA14_IDX);
1127 ioport_set_pin_dir(PIO_PA14_IDX,IOPORT_DIR_OUTPUT);
1128 ioport_set_pin_level(PIO_PA14_IDX,IOPORT_PIN_LEVEL_LOW);
1129
1130 // Set PD6 as output for next token
1131 pmc_enable_periph_clk(ID_PIOD);
1132 // pio_set_debounce_filter(PIOD,PIO_PD6,10);
1133 ioport_enable_pin(PIO_PD6_IDX);
1134 ioport_set_pin_dir(PIO_PD6_IDX,IOPORT_DIR_OUTPUT);
1135 ioport_set_pin_level(PIO_PD6_IDX,IOPORT_PIN_LEVEL_LOW);
1136
1137 // Set PC1 as output for reset
1138 pmc_enable_periph_clk(ID_PIOC);
1139 // pio_set_debounce_filter(PIOC,PIO_PC1,10);
1140 ioport_enable_pin(PIO_PC1_IDX);
1141 ioport_set_pin_dir(PIO_PC1_IDX,IOPORT_DIR_OUTPUT);
1142 ioport_set_pin_level(PIO_PC1_IDX,IOPORT_PIN_LEVEL_LOW);
1143 }
1144
1145 // Init pins for US-Sensor
1146 static void init_sensor_pins(void)
1147 {
1148 // Configure PC16 for US-Sensor pin 4
1149 pmc_enable_periph_clk(ID_PIOC);
1150 pio_set_debounce_filter(PIOC,PIO_PC16,10);
1151 ioport_enable_pin(PIO_PC16_IDX);
1152 ioport_set_pin_dir(PIO_PC16_IDX,IOPORT_DIR_OUTPUT);
1153 ioport_set_pin_level(PIO_PC16_IDX,IOPORT_PIN_LEVEL_LOW);
1154 }
1155
1156 // Init pins for sensor number
1157 static void init_sensor_number_pins(void)
1158 {
1159 // Configure PC12 ... PC15 for sensor number
1160 pmc_enable_periph_clk(ID_PIOC);
1161
1162 // PC12
1163 pio_set_debounce_filter(PIOC,PIO_PC12,10);
1164 ioport_enable_pin(PIO_PC12_IDX);
1165 ioport_set_pin_dir(PIO_PC12_IDX,IOPORT_DIR_INPUT);
1166
1167 // PC13
1168 pio_set_debounce_filter(PIOC,PIO_PC13,10);
1169 ioport_enable_pin(PIO_PC13_IDX);
1170 ioport_set_pin_dir(PIO_PC13_IDX,IOPORT_DIR_INPUT);
1171
1172 // PC14

```

```
1173     pio_set_debounce_filter(PIOC,PIO_PC14,10);
1174     ioport_enable_pin(PIO_PC14_IDX);
1175     ioport_set_pin_dir(PIO_PC14_IDX,IOPORT_DIR_INPUT);
1176
1177     // PC15
1178     pio_set_debounce_filter(PIOC,PIO_PC15,10);
1179     ioport_enable_pin(PIO_PC15_IDX);
1180     ioport_set_pin_dir(PIO_PC15_IDX,IOPORT_DIR_INPUT);
1181 }
1182
1183 // Get sensor number form io-pins
1184 static void get_sensor_number(uint8_t *number)
1185 {
1186     *number = 0 | !ioport_get_pin_level(PIO_PC15_IDX);
1187     *number |= (!ioport_get_pin_level(PIO_PC14_IDX) << 1);
1188     *number |= (!ioport_get_pin_level(PIO_PC13_IDX) << 2);
1189     *number |= (!ioport_get_pin_level(PIO_PC12_IDX) << 3);
1190 }
1191
1192 #ifdef DEBUGGING
1193 // Init debug mode
1194 static void debugging_init(void)
1195 {
1196     // Configure PC23
1197     ioport_enable_pin(PIO_PC23_IDX);
1198     ioport_set_pin_dir(PIO_PC23_IDX,IOPORT_DIR_OUTPUT);
1199     ioport_set_pin_level(PIO_PC23_IDX,IOPORT_PIN_LEVEL_LOW);
1200
1201     // Configure PC24
1202     ioport_enable_pin(PIO_PC24_IDX);
1203     ioport_set_pin_dir(PIO_PC24_IDX,IOPORT_DIR_OUTPUT);
1204     ioport_set_pin_level(PIO_PC24_IDX,IOPORT_PIN_LEVEL_LOW);
1205
1206     // Configure PC25
1207     ioport_enable_pin(PIO_PC25_IDX);
1208     ioport_set_pin_dir(PIO_PC25_IDX,IOPORT_DIR_OUTPUT);
1209     ioport_set_pin_level(PIO_PC25_IDX,IOPORT_PIN_LEVEL_LOW);
1210 }
1211
1212 // Configure UART for debug message output
1213 static void configure_console(void)
1214 {
1215     const usart_serial_options_t uart_serial_options = {
1216         .baudrate = CONF_UART_BAUDRATE,
1217         .paritytype = CONF_UART_PARITY
1218     };
1219
1220     /* Configure console UART. */
1221     sysclk_enable_peripheral_clock(CONSOLE_UART_ID);
1222     stdio_serial_init(CONF_UART, &uart_serial_options);
1223 }
1224 #endif
```

D. Quellcode des ultraschallbasierten Positionierungssystems

D.1. Systemschnittstelle

ultrasoundPositioningSystem.py

```
1  #!/usr/bin/env python3
2  #*****#
3  ## University: HAW Hamburg                                     ##
4  ## Author: Christopher Rotzlawski                             ##
5  ##                                                         ##
6  ## Project: Surrounding Sensor-based Navigationssystem       ##
7  ## Version: 1.0                                             ##
8  #*****#
9  import rospy
10 import rospkg
11 from commonMsgUVPS.msg import checkUltrasoundSystem
12 from commonMsgUVPS.msg import responseCheckUltrasoundSystem
13 from commonMsgUVPS.msg import startUltrasoundMeasurement
14 from commonMsgUVPS.msg import ultrasoundSystemPosition
15 from commonMsgUVPS.msg import ultrasoundPositionRequest
16 from commonMsgUVPS.msg import responseUltrasoundPosition
17 from commonMsgUVPS.msg import validUltrasoundPosition
18 import time
19
20 class ultrasoundPositioningSystem:
21     # Initialize class
22     def __init__(self):
23         # Definitions
24         self.PUBLISHCHECK = 'checkUltrasoundSystem'
25         self.PUBLISHSTART = 'startUltrasoundMeasurement'
26         self.PUBLISHPOSITION = 'responseUltrasoundPosition'
27         self.PUBLISHVALID = 'validUltrasoundPosition'
28         self.LISTNERCHECK = 'responseUltrasoundSystem'
29         self.LISTNERPOSITION = 'ultrasoundSystemPosition'
30         self.LISTNERREQUEST = 'ultrasoundPositionRequest'
31         self.ROSNODE = 'ultrasoundPositioningSystem'
32
33         self.systems = ['ultrasoundInterface', 'ultrasoundFeatures', 'ultrasoundSimulation', 'ultrasoundMatcher']
34         self.systemReadyCounter = 0
35         self.numberSystems = len(self.systems)
36         self.systemReady = False
37
38         self.errorCounter = 0
39         error = False
40
41         # Start node and publisher
42         rospy.init_node(self.ROSNODE, disable_signals=True)
43
44         self.pubCheck = rospy.Publisher(self.PUBLISHCHECK, checkUltrasoundSystem, queue_size=10)
45         self.pubStart = rospy.Publisher(self.PUBLISHSTART, startUltrasoundMeasurement, queue_size=10)
46         self.pubPosition = rospy.Publisher(self.PUBLISHPOSITION, responseUltrasoundPosition, queue_size=10)
47         self.pubValidPosition = rospy.Publisher(self.PUBLISHVALID, validUltrasoundPosition, queue_size=10)
48
49         self.messageCheck = checkUltrasoundSystem()
50         self.messageStart = startUltrasoundMeasurement()
51         self.messagePosition = responseUltrasoundPosition()
52         self.messageValidPosition = validUltrasoundPosition()
53
54         # Check number of system components
55         while self.pubCheck.get_num_connections() < 3:#len(self.systems)
56             self.errorCounter += 1
57
```

```

58         if self.errorCounter >= 50:
59             error = True
60             print("ERROR: not enough system components available in ultrasoundPositioningSystem!")
61             print("Number of expected system componets: "+str(len(self.systems)))
62             print("Number of connected system components: "+str(self.pubCheck.get_num_connections()))
63             break
64
65         rospy.sleep(0.5)
66
67     if not error:
68         # Wait for startup of system components
69         print('Waiting for start of system components...')
70         rospy.sleep(5)
71
72         # Start listner callbacks
73         self.listner()
74     else:
75         print('ERROR: start ultrasound position system failed!')
76
77 # Start listner callbacks
78 def listner(self):
79     rospy.Subscriber(self.LISTNERCHECK, responseCheckUltrasoundSystem, self.listnerCheckSystem)
80     rospy.Subscriber(self.LISTNERPOSITION, ultrasoundSystemPosition, self.listnerPosition)
81
82     time.sleep(0.1)
83
84     self.checkSystem()
85
86     rospy.spin()
87
88 # Check system components
89 def checkSystem(self):
90     self.messageCheck.system = self.systems[self.systemReadyCounter]
91     self.pubCheck.publish(self.messageCheck)
92
93 # Listner for check system response
94 def listnerCheckSystem(self, msg):
95     if msg.ready and msg.system == self.systems[self.systemReadyCounter]:
96         self.systemReadyCounter += 1
97
98     if self.systemReadyCounter < len(self.systems):
99         self.checkSystem()
100    else:
101        self.systemReady = True
102        print("ultrasoundPositioningSystem ready.")
103        rospy.Subscriber(self.LISTNERREQUEST, ultrasoundPositionRequest, self.listnerPositionRequest)
104
105    else:
106        print("ERROR: component "+msg.system+" not ready!")
107        rospy.signal_shutdown("ERROR: ultrasoundPositioningSystem not ready!")
108
109 # Listner for ultrasound position data
110 def listnerPosition(self, data):
111     self.messagePosition.longitude = data.longitude
112     self.messagePosition.latitude = data.latitude
113     self.messagePosition.direction = data.direction
114     self.messagePosition.accuracy = data.accuracy
115
116     self.pubPosition.publish(self.messagePosition)
117
118 # Listner for position request
119 def listnerPositionRequest(self, data):
120     if data.getPosition:
121         self.startUltrasoundPositioningSystem()
122
123     elif data.validPosition:
124         self.messageValidPosition.latitudeValid = data.latitudeOld
125         self.messageValidPosition.longitudeValid = data.longitudeOld
126         self.messageValidPosition.directionValid = data.directionOld
127
128         self.pubValidPosition.publish(self.messageValidPosition)
129
130 # Start ultrasound measurement
131 def startUltrasoundPositioningSystem(self):
132     if self.systemReady:
133         print("ultrasoundPositioningSystem started.")
134
135         self.messageStart.start = True
136         self.pubStart.publish(self.messageStart)
137     else:
138         print("ERROR: ultrasoundPositioningSystem not ready.")
139         rospy.signal_shutdown("ERROR: ultrasoundPositioningSystem not ready!")
140
141 if __name__ == '__main__':
142     try:

```

```

143     node = ultrasoundPositioningSystem ()
144     except rospy.ROSInterruptException:
145         print('ERROR: start ultrasound positioning system failed!')
```

D.2. Ultraschallsensorschnittstelle

ultrasoundInterface.cpp

```

1  /*****
2  /* University: HAW Hamburg
3  /* Author: Christopher Rotzlawski
4  /*
5  /* Project: Surrounding Sensor-based Navigationssystem
6  /* Version: 1.0
7  *****/
8  #include "../include/ultrasoundInterface/ultrasoundInterfaceNode.hpp"
9
10 #define PACKAGENAME "ultrasoundPositioningSystem"
11 #define NODENAME "ultrasoundInterface"
12 #define ECHOTOPICNAME "rawUltrasoundData"
13 #define RESPONSENAME "responseUltrasoundSystem"
14 #define LISTNERCHECKNAME "checkUltrasoundSystem"
15 #define LISTNERSTARTNAME "startUltrasoundMeasurement"
16 #define FILEPATH (ros::package::getPath(PACKAGENAME)+"/config/positioningSystemConfig.json").c_str()
17
18 // Start node
19 int main(int argc, char **argv)
20 {
21     uml::ultrasoundInterfaceNode* node = new uml::ultrasoundInterfaceNode(FILEPATH);
22
23     node->startNode(argc, argv, NODENAME, ECHOTOPICNAME, RESPONSENAME, LISTNERCHECKNAME, LISTNERSTARTNAME);
24
25     std::cout << "ERROR: System not ready. Node ultrasoundInterface stopped." << std::endl;
26
27     return 0;
28 }
```

ultrasoundInterfaceNode.hpp

```

1  /*****
2  /* University: HAW Hamburg
3  /* Author: Christopher Rotzlawski
4  /*
5  /* Project: Surrounding Sensor-based Navigationssystem
6  /* Version: 1.0
7  *****/
8  #ifndef ULTRASOUNDINTERFACENODE_HPP
9  #define ULTRASOUNDINTERFACENODE_HPP
10
11 // Includes
12 #include <ros/ros.h>
13 #include <ros/package.h>
14 #include "commonMsgUVPS/rawUltrasoundData.h"
15 #include "commonMsgUVPS/startUltrasoundMeasurement.h"
16 #include "commonMsgUVPS/checkUltrasoundSystem.h"
17 #include "commonMsgUVPS/responseCheckUltrasoundSystem.h"
18 #include "../include/ultrasoundInterface/USSensorAPI.hpp"
19 #include <vector>
20 #include <string>
21
22 namespace uml
23 {
24     class ultrasoundInterfaceNode
25     {
26     private:
27         // Attributes
28         bool error;
29         bool systemReady;
30         bool sendInstruction;
31         int masterSensor;
32         int count;
33         int numberSensors;
```

```

34     int dataLen;
35     double temperature;
36     double pressure;
37     std::vector<uint16_t> measurementResults;
38     uml::USSensorAPI* sensorSystem;
39     ros::Subscriber subCheckSystem;
40     ros::Subscriber subStartMeasurement;
41     ros::Publisher pubCheckSystem;
42     ros::Publisher pubEchoData;
43     commonMsgUVPS::rawUltrasoundData echoDataMsg;
44     commonMsgUVPS::responseCheckUltrasoundSystem responseSystemMsg;
45
46     // Methods
47 public:
48     ultrasoundInterfaceNode(std::string filepath);
49     ~ultrasoundInterfaceNode(void);
50     void startNode(int argc, char** argv, std::string nodeName, std::string echoName, std::string responseName
51                   , std::string listenerCheckName, std::string listenerStartName);
52 private:
53     void checkCallback(const commonMsgUVPS::checkUltrasoundSystemPtr& msg);
54     void startCallback(const commonMsgUVPS::startUltrasoundMeasurementPtr& msg);
55 };
56 }
57
58 #endif // ULTRASOUNDINTERFACENODE_HPP

```

ultrasoundInterfaceNode.cpp

```

1  /*****
2  /* University: HAW Hamburg
3  /* Author: Christopher Rotzlawski
4  /*
5  /* Project: Surrounding Sensor-based Navigationssystem
6  /* Version: 1.0
7  *****/
8  #include "ultrasoundInterfaceNode.hpp"
9
10 namespace uml
11 {
12     // Initialize node
13     ultrasoundInterfaceNode::ultrasoundInterfaceNode(std::string filepath)
14     {
15         error = false;
16         systemReady = false;
17         sendInstruction = false;
18         masterSensor = 0;
19         count = 0;
20         numberSensors = 0;
21         dataLen = 0;
22
23         sensorSystem = new uml::USSensorAPI(filepath);
24
25         systemReady = sensorSystem->getSystemStatus();
26         if(systemReady) sensorSystem->getTemperaturePressure(&temperature, &pressure);
27
28         // Check system
29         if(systemReady)
30         {
31             if(sensorSystem->getNumberSensors(&numberSensors))
32             {
33                 systemReady = false;
34                 std::cout << "ERROR: Can't get number of sensors!" << std::endl;
35             }
36             else measurementResults.reserve(10000 * numberSensors);
37         }
38     }
39
40     ultrasoundInterfaceNode::~ultrasoundInterfaceNode()
41     {
42         // NOP
43     }
44
45     // Start node
46     void ultrasoundInterfaceNode::startNode(int argc, char** argv, std::string nodeName, std::string echoName, std::string responseName
47                                           , std::string listenerCheckName, std::string listenerStartName)
48     {
49         ros::init(argc, argv, nodeName);
50         ros::NodeHandle n;
51
52         subCheckSystem = n.subscribe(listenerCheckName, 1000, &ultrasoundInterfaceNode::checkCallback, this);
53         subStartMeasurement = n.subscribe(listenerStartName, 1000, &ultrasoundInterfaceNode::startCallback, this);

```

```

54     pubCheckSystem = n.advertise<commonMsgUVPS::responseCheckUltrasoundSystem>(responseName,1000);
55     pubEchoData = n.advertise<commonMsgUVPS::rawUltrasoundData>(echoName,1000);
56
57     ros::spin();
58 }
59
60 // Callback for check system request
61 void ultrasoundInterfaceNode::checkCallback(const commonMsgUVPS::checkUltrasoundSystemPtr& msg)
62 {
63     if(msg->system == "ultrasoundInterface")
64     {
65         responseSystemMsg.system = msg->system;
66         responseSystemMsg.ready = systemReady;
67
68         pubCheckSystem.publish(responseSystemMsg);
69     }
70 }
71
72 // Callback for start ultrasound measurement
73 void ultrasoundInterfaceNode::startCallback(const commonMsgUVPS::startUltrasoundMeasurementPtr& msg)
74 {
75     masterSensor = 0;
76     count = 0;
77     sendInstruction = true;
78
79     while(count < numberSensors && systemReady)
80     {
81         echoDataMsg.header.stamp = ros::Time::now();
82
83         sensorSystem->measurement(&measurementResults,&dataLen,&masterSensor,&sendInstruction);
84         systemReady = sensorSystem->getSystemStatus();
85
86         echoDataMsg.pressure = pressure;
87         echoDataMsg.temperature = temperature;
88         echoDataMsg.numberSensors = numberSensors;
89         echoDataMsg.dataLen = dataLen;
90         echoDataMsg.echoData = measurementResults;
91
92         pubEchoData.publish(echoDataMsg);
93
94         measurementResults.clear();
95
96         masterSensor++;
97         count++;
98
99         // sendInstruction = false;
100     }
101 }
102 }

```

USSensorAPI.hpp

```

1  /*****
2  /* University: HAW Hamburg
3  /* Author: Christopher Rotzlawski
4  /*
5  /* Project: Surrounding Sensor-based Navigationssystem
6  /* Version: 1.0
7  /*****
8  #ifndef USSENSORAPI_HPP
9  #define USSENSORAPI_HPP
10
11 // Includes
12 #include "SensorAPI.hpp"
13 #include <string>
14 #include <iostream>
15 #include <vector>
16
17 namespace uml
18 {
19     class USSensorAPI : private SensorAPI
20     {
21     // Attributes
22     private:
23         std::vector<std::vector<uint16_t>> echoData;
24         std::vector<uint16_t> checkUDPCounter;
25
26     // Methods
27     public:
28         USSensorAPI(std::string filePath);
29         ~USSensorAPI();

```

```

30     bool measurement(std::vector<uint16_t>* results, int* vecLen, int* startSensor, bool* sendInstruction);
31     bool getSystemStatus(void);
32     bool getTemperaturePressure(double* temperature, double* pressure);
33     bool calculateTemperature(uint8_t* rawData, double* temperature);
34     bool calculatePressure(uint8_t* rawData, double* pressure, double* temperature);
35     bool getNumberSensors(int* numSensors);
36 };
37 }
38
39 #endif // USSENSORAPI_HPP

```

USSensorAPI.cpp

```

1  /*****
2  /* University: HAW Hamburg
3  /* Author: Christopher Rotzlawski
4  /*
5  /* Project: Surrounding Sensor-based Navigationssystem
6  /* Version: 1.0
7  *****/
8  #include "USSensorAPI.hpp"
9
10 #define SENSORSYSTEM "US_Sensor"
11
12 namespace uml
13 {
14     // Initialize API
15     USSensorAPI::USSensorAPI(std::string filePath)
16     {
17         bool error = false;
18
19         systemReady = false;
20         configFile = filePath;
21
22         // Initialize socket
23         error = initSocket();
24
25         // Check system
26         if(!error && sensorsystem.compare(SENSORSYSTEM))
27         {
28             error = true;
29             std::cout << "Wrong config file." << std::endl;
30         }
31
32         // Check sensors
33         if(!error)
34         {
35             error = checkSensors();
36             if(error) error = checkNumSensors();
37             else systemReady = true;
38         }
39
40         if(!error)
41         {
42             // Initialize echoData with identifier
43             for(int i = 0; i < numberSensors; i++)
44             {
45                 std::vector<uint16_t> initVec;
46                 echoData.push_back(initVec);
47                 echoData[i].push_back(i);
48                 echoData[i].reserve(10000 + 1);
49             }
50
51             // Clear checkUDPCounter
52             for(int i = 0; i < numberSensors; i++) checkUDPCounter.push_back(0);
53         }
54
55         // If error print number of found sensors
56         if(error)
57         {
58             std::cout << "ERROR: Systemstart failed! " << std::endl;
59         }
60     }
61 }
62
63 // Destructor to close sockets
64 USSensorAPI::~USSensorAPI()
65 {
66     bool error = false;
67
68     error = closeSocket();

```

```

69     }
70
71     // Ultrasound measurement function
72     bool USSensorAPI::measurement(std::vector<uint16_t*> results, int* vecLen, int* startSensor, bool* sendInstruction)
73     {
74         bool error = false;
75         bool recLoop = true;
76         std::string srcIP;
77         int sensorNum;
78         char chrSrcAddr[INET_ADDRSTRLEN];
79         uint8_t checkSumByteOne;
80         uint8_t checkSumByteTwo;
81         int16_t checkMsgLen;
82         uint8_t buffer[1470];
83         uint16_t lenBuffer = sizeof(buffer);
84         int countEnd = 0;
85         struct sockaddr_in src_addr;
86         socklen_t lenSrcAddr = sizeof(src_addr);
87
88         // Check if nullptr
89         if((results == nullptr)) error = true;
90         if((vecLen == nullptr)) error = true;
91         if((startSensor == nullptr)) error = true;
92         if((sendInstruction == nullptr)) error = true;
93
94         // If sendInstruction
95         if(*sendInstruction && !error)
96         {
97             // Clear checkUDPCounter
98             for(int i = 0; i < numberSensors; i++) checkUDPCounter[i] = 0;
99
100            // Build message
101            checkSumByteOne = checkSum & 0xFF;
102            checkSumByteTwo = (checkSum & 0xFF00) >> 8;
103            uint8_t data[4] = {measurementMsg[0], measurementMsg[1], checkSumByteTwo, checkSumByteOne};
104            uint8_t lenData = sizeof(data);
105
106            // Increment checkSum
107            checkSum++;
108
109            // Send message
110            sendMessage(&dstIP[*startSensor], &data[0], &lenData);
111
112            // Check response
113            checkMsgLen = recvfrom(sock, &buffer[0], lenBuffer, 0, (struct sockaddr*)&src_addr, &lenSrcAddr);
114
115            // Get response IP
116            inet_ntop(AF_INET, &src_addr.sin_addr, chrSrcAddr, INET_ADDRSTRLEN);
117            srcIP = chrSrcAddr;
118
119            // Check response and IP
120            for(int i = 0; i < lenData; i++)
121            {
122                if(!(buffer[i] == data[i]))
123                {
124                    error = true;
125                    std::cout << "error" << std::endl;
126                }
127            }
128
129            if(srcIP.compare(dstIP[*startSensor])) error = true;
130            if(checkMsgLen != 4) error = true;
131
132            if(error) std::cout << "Failure in send instructions." << std::endl;
133        }
134
135        // Get messages and sort
136        while(!error && recLoop)
137        {
138            // Get data
139            checkMsgLen = recvfrom(sock, &buffer[0], lenBuffer, 0, (struct sockaddr*)&src_addr, &lenSrcAddr);
140
141            // Get response IP
142            inet_ntop(AF_INET, &src_addr.sin_addr, chrSrcAddr, INET_ADDRSTRLEN);
143            srcIP = chrSrcAddr;
144
145            // Check if timeout
146            if(checkMsgLen <= 0)
147            {
148                std::cout << "Missing identifier in echo data response." << std::endl;
149                error = true;
150                break;
151            }
152
153            // Get sensor number

```

```

154     sensorNum = -1;
155     for(int i = 0; i < numberSensors; i++)
156     {
157         if(srcIP == dstIP[i])
158         {
159             sensorNum = i;
160         }
161     }
162
163     // Check if IP in range
164     if(!(sensorNum >= 0 && sensorNum < numberSensors)) continue;
165     // Check if end measurement
166     else if (buffer[0] == endMeasurement[0] && buffer[1] == endMeasurement[1])
167     {
168         countEnd++;
169         if(countEnd == numberSensors) recLoop = false;
170     }
171     // Else push data in vector
172     else
173     {
174         // Check if data fits into buffer
175         if (echoData[sensorNum].size() + (checkMsgLen - 4) / 2 > 10000 + 1)
176         {
177             std::cout << "Failure in push data into buffer. Too much data from sensor " << sensorName[sensorNum]
178                 << ". " << std::endl;
179             error = true;
180         }
181         // Check UDP counter
182         else if (!(buffer[2] == (checkUDPCounter[sensorNum] >> 8) || !(buffer[3] == (checkUDPCounter[sensorNum] & 0xFF))))
183         {
184             printf("%d %d\n", buffer[3], (checkUDPCounter[sensorNum] & 0xFF));
185             std::cout << "Missing UDP package from sensor " << sensorName[sensorNum] << ". " << std::endl;
186             error = true;
187         }
188         // Push data in vector
189         else
190         {
191             for(int i = 4; i < checkMsgLen; i += 2)
192             {
193                 echoData[sensorNum].push_back(buffer[i] << 8 | buffer[i+1]);
194             }
195
196             // Increment UDP counter
197             checkUDPCounter[sensorNum]++;
198         }
199
200         // Check if error
201         if(error) break;
202     }
203 }
204
205 // Check sensor data length
206 if(!error)
207 {
208     for(int i = 0; i < numberSensors; i++)
209     {
210         if (echoData[i].size() < 10000 - 5)
211         {
212             std::cout << "Difference between sensor data length to big." << std::endl;
213             std::cout << "Threshold: " << 10000 - 5 << std::endl;
214             std::cout << "Sensor " << sensorName[i] << " length of data: " << echoData[i].size() << std::endl;
215             error = true;
216         }
217         else while(echoData[i].size() < 10000+1) echoData[i].push_back(0);
218     }
219 }
220
221 // Check if error
222 if(error) systemReady = false;
223 // Else push echo data in results
224 else for(int i = 0; i < numberSensors; i++) results->insert(results->end(), echoData[i].begin(), echoData[i].end());
225
226 *vecLen = results->size();
227
228 // Clear echo data vector
229 for(int i = 0; i < numberSensors; i++)
230 {
231     echoData[i].clear();
232     echoData[i].push_back(i);
233     echoData[i].reserve(10000 + 1);
234 }
235
236 return error;
237 }
238

```

```

239 // Environmental measurement function
240 bool USSensorAPI::getTemperaturePressure(double* temperature, double* pressure)
241 {
242     bool error = false;
243     bool errorLoop;
244     struct sockaddr_in src_addr;
245     socklen_t lenSrcAddr = sizeof(src_addr);
246     char chrSrcAddr[INET_ADDRSTRLEN];
247     std::string strSrcAddr;
248     uint8_t checksumByteOne;
249     uint8_t checksumByteTwo;
250     uint8_t buffer[32];
251     uint8_t lenBuffer = sizeof(buffer);
252     int16_t checksumLen;
253     double temperatureTemp[numberSensors];
254     double pressureTemp[numberSensors];
255
256     if((temperature == nullptr)) error = true;
257     if((pressure == nullptr)) error = true;
258
259     for(int i = 0; i < numberSensors; i++)
260     {
261         errorLoop = false;
262
263         // Build message
264         checksumByteOne = checksum & 0xFF;
265         checksumByteTwo = (checksum & 0xFF00) >> 8;
266         uint8_t data[4] = {tempMsg[0], tempMsg[1], checksumByteTwo, checksumByteOne};
267         uint8_t lenData = sizeof(data);
268
269         // Increment checksum
270         checksum++;
271
272         // Send message
273         sendMessage(&dstIP[i], &data[0], &lenData);
274
275         // Get response
276         checksumLen = recvfrom(sock, &buffer[0], lenBuffer, 0, (struct sockaddr*)&src_addr, &lenSrcAddr);
277
278         // Get response IP
279         inet_ntop(AF_INET, &src_addr.sin_addr, chrSrcAddr, INET_ADDRSTRLEN);
280         strSrcAddr = chrSrcAddr;
281
282         // Check response and IP
283         for(int i = 0; i < lenData; i++)
284             if(!(buffer[i] == data[i])) errorLoop = true;
285         if(strSrcAddr.compare(dstIP[i])) errorLoop = true;
286         if(checksumLen != 4) errorLoop = true;
287
288         // Clear buffer
289         for(int8_t i = 0; i < lenBuffer; i++) buffer[i] = 0;
290
291         // Get data
292         checksumLen = recvfrom(sock, &buffer[0], lenBuffer, 0, (struct sockaddr*)&src_addr, &lenSrcAddr);
293
294         // Get response IP
295         inet_ntop(AF_INET, &src_addr.sin_addr, chrSrcAddr, INET_ADDRSTRLEN);
296         strSrcAddr = chrSrcAddr;
297
298         // Check response and IP
299         for(int i = 0; i < lenData/2; i++)
300             if(!(buffer[i] == data[i])) errorLoop = true;
301         if(strSrcAddr.compare(dstIP[i])) errorLoop = true;
302         if(checksumLen != 32) errorLoop = true;
303
304         // If error print message
305         if(errorLoop) std::cout << "No temperature response form sensor " << i+1 << std::endl;
306
307         if(!errorLoop)
308         {
309             // Calculate sensor temperature
310             if(calculateTemperature(&buffer[0], &temperatureTemp[i]))
311             {
312                 errorLoop = true;
313                 std::cout << "Calculating temperature sensor " << i+1 << " failed." << std::endl;
314             }
315
316             // Calculate sensor pressure
317             if(calculatePressure(&buffer[0], &pressureTemp[i], &temperatureTemp[i]))
318             {
319                 errorLoop = true;
320                 std::cout << "Calculating pressure sensor " << i+1 << " failed." << std::endl;
321             }
322         }
323     }

```

```

324         // Clear buffer
325         for(int8_t i = 0; i < lenBuffer; i++) buffer[i] = 0;
326
327         // Check if error
328         if(errorLoop) error = true;
329     }
330
331     // Calculate temperature and pressure
332     if(!error)
333     {
334         *temperature = 0;
335         *pressure = 0;
336         for(int8_t i = 0; i < numberSensors; i++)
337         {
338             *temperature += temperatureTemp[i];
339             *pressure += pressureTemp[i];
340         }
341         *temperature /= numberSensors;
342         *pressure /= numberSensors;
343     }
344     else systemReady = false;
345
346     return error;
347 }
348
349 // Calculate temperature
350 // Calculation in Bosch BMP280 datasheet p. 23
351 bool USSensorAPI::calculateTemperature(uint8_t* rawData, double* temperature)
352 {
353     bool error = false;
354     int32_t adcT;
355     uint16_t digT1;
356     int16_t digT2, digT3;
357     double var1, var2, tFine;
358
359     // Check if nullptr
360     if(rawData == nullptr || temperature == nullptr) error = true;
361
362     if(!error)
363     {
364         // Get values
365         try
366         {
367             adcT = rawData[5] << 16 | rawData[6] << 8 | rawData[7];
368             digT1 = rawData[9] << 8 | rawData[8];
369             digT2 = rawData[11] << 8 | rawData[10];
370             digT3 = rawData[13] << 8 | rawData[12];
371         }
372         catch(const std::exception& e)
373         {
374             error = true;
375         }
376
377         // Calculate temperature
378         if(!error)
379         {
380             var1 = (((double)adcT) / 16384.0 - ((double)digT1) / 1024.0) * ((double)digT2);
381             var2 = (((double)adcT) / 131072.0 - ((double)digT1) / 8192.0) * (((double)adcT) / 131072.0 - ((double)digT1) / 8192.0) * ((double)digT3);
382             tFine = var1 + var2;
383             *temperature = tFine / 5120.0;
384         }
385     }
386
387     return error;
388 }
389
390 // Calculate pressure
391 // Calculation in Bosch BMP280 datasheet p. 23
392 bool USSensorAPI::calculatePressure(uint8_t* rawData, double* pressure, double *temperature)
393 {
394     bool error = false;
395     int32_t adcP;
396     uint16_t digP1;
397     int16_t digP2, digP3, digP4, digP5, digP6, digP7, digP8, digP9;
398     double var1, var2, tFine;
399
400     // Check if nullptr
401     if(rawData == nullptr || pressure == nullptr) error = true;
402
403     if(!error)
404     {
405         // Get values
406         try
407         {
408

```

```

409         adcP = rawData[2] << 16 | rawData[3] << 8 | rawData[4];
410         digP1 = rawData[15] << 8 | rawData[14];
411         digP2 = rawData[17] << 8 | rawData[16];
412         digP3 = rawData[19] << 8 | rawData[18];
413         digP4 = rawData[21] << 8 | rawData[20];
414         digP5 = rawData[23] << 8 | rawData[22];
415         digP6 = rawData[25] << 8 | rawData[24];
416         digP7 = rawData[27] << 8 | rawData[26];
417         digP8 = rawData[29] << 8 | rawData[28];
418         digP9 = rawData[31] << 8 | rawData[30];
419     }
420     catch(const std::exception& e)
421     {
422         error = true;
423     }
424
425     // Calculate temperature
426     if(!error)
427     {
428         tFine = *temperature * 5120.0;
429         var1 = (tFine / 2.0) - 64000.0;
430         var2 = var1 * var1 * ((double)digP6) / 32768.0;
431         var2 = var2 + var1 * ((double)digP5) * 2.0;
432         var2 = (var2 / 4.0) + (((double)digP4) * 65536.0);
433         var1 = (((double)digP3) * var1 * var1 / 524288.0 + ((double)digP2) * var1) / 524288.0;
434         var1 = (1.0 + var1 / 32768.0) * ((double)digP1);
435         *pressure = 1048576.0 - (double)adcP;
436         *pressure = (*pressure - (var2 / 4096.0)) * 6250.0 / var1;
437         var1 = ((double)digP9) * *pressure * *pressure / 2147483648.0;
438         var2 = *pressure * ((double)digP8) / 32768.0;
439         *pressure = *pressure + (var1 + var2 + ((double)digP7)) / 16.0;
440     }
441 }
442
443     return error;
444 }
445
446 // Get number of sensors
447 bool USSensorAPI::getNumberSensors(int* numSensors)
448 {
449     bool error = false;
450
451     // Check if number of sensors unequal / greater than null
452     if(numberSensors > 0) *numSensors = numberSensors;
453     else error = true;
454
455     return error;
456 }
457
458 // Get system status
459 bool USSensorAPI::getSystemStatus(void)
460 {
461     return systemReady;
462 }
463 }

```

SensorAPI.hpp

```

1  /*****
2  /* University: HAW Hamburg */
3  /* Author: Christopher Rotzlawski */
4  /* */
5  /* Project: Surrounding Sensor-based Navigationssystem */
6  /* Version: 1.0 */
7  /*****
8  #ifndef SENSORAPI_HPP
9  #define SENSORAPI_HPP
10
11 // Includes
12 #include <string>
13 #include <cstring>
14 #include <fstream>
15 #include <sstream>
16 #include <iostream>
17 #include <vector>
18 #include <unistd.h>
19 #include <sys/socket.h>
20 #include <sys/ioctl.h>
21 #include <net/if.h>
22 #include <netinet/in.h>
23 #include <arpa/inet.h>

```

```

24 #include <jsoncpp/json/reader.h>
25
26 namespace uml
27 {
28     class SensorAPI
29     {
30     // Attributes
31     protected:
32         std::string ip;
33         std::string srcIP;
34         std::vector<std::string> dstIP;
35         std::vector<std::string> sensorName;
36         int port;
37         int sock;
38         int sensorOffset;
39         int numberSensors;
40         int systemSensors;
41         bool systemReady;
42         uint16_t checksum;
43         std::string networkInterface;
44         std::string sensorsystem;
45         std::string configFilepath;
46         struct sockaddr_in sockAddr;
47         struct sockaddr_in destinationAddr;
48         uint8_t statusMsg[2];
49         uint8_t tempMsg[2];
50         uint8_t measurementMsg[2];
51         uint8_t endMeasurement[2];
52
53     // Methods
54     public:
55         SensorAPI();
56         ~SensorAPI();
57     protected:
58         bool initSocket(void);
59         bool getMachineIP(void);
60         bool readConfig(void);
61         bool openSocket(void);
62         bool closeSocket(void);
63         void setDestination(void);
64         void sendMessage(std::string* dstIP, uint8_t* messagePtr, uint8_t* messageLen);
65         bool checkSensors(void);
66         bool checkStatus(std::string* dstIP);
67         bool checkNumSensors(void);
68     };
69 }
70
71 #endif // SENSORAPI_HPP

```

SensorAPI.cpp

```

1  /*****
2  /* University: HAW Hamburg
3  /* Author: Christopher Rotzlawski
4  /*
5  /* Project: Surrounding Sensor-based Navigationssystem
6  /* Version: 1.0
7  *****/
8  #include "SensorAPI.hpp"
9
10 namespace uml
11 {
12     // Methode implementation
13     SensorAPI::SensorAPI()
14     {
15         // NOP
16     }
17
18     SensorAPI::~SensorAPI()
19     {
20         // NOP
21     }
22
23     // Initialize socket
24     bool SensorAPI::initSocket(void)
25     {
26         bool error = false;
27
28         error = readConfig();
29         if (!error) error = getMachineIP();
30         if (!error) error = openSocket();

```

```

31     if (!error) setDestination();
32
33     return error;
34 }
35
36 // Get IP of the machine
37 bool SensorAPI::getMachineIP(void)
38 {
39     bool error = false;
40
41     int netSock;
42     struct ifreq ifr;
43
44     // Open socket
45     netSock = socket(AF_INET, SOCK_DGRAM, 0);
46
47     // Get IPv4 address
48     ifr.ifr_addr.sa_family = AF_INET;
49
50     // Get ethernet address
51     strncpy(ifr.ifr_name, networkIface.c_str(), IFNAMSIZ-1);
52
53     ioctl(netSock, SIOCGIFADDR, &ifr);
54
55     // Close socket
56     close(netSock);
57
58     // Set ip
59     ip = inet_ntoa(((struct sockaddr_in *)&ifr.ifr_addr)->sin_addr);
60
61     try
62     {
63         if (!ip.compare(ip.size()-2, 2, ".0"))
64         {
65             std::cout << "Get wrong machine IP: " << ip << std::endl;
66             error = true;
67         }
68         else if (ip.compare(srcIP))
69         {
70             std::cout << "Get wrong machine IP: " << ip << std::endl;
71             std::cout << "Expected IP: " << srcIP << std::endl;
72             error = true;
73         }
74     }
75     catch(const std::exception& e)
76     {
77         std::cout << "Get machine IP failed. Failure in str.compare()." << std::endl;
78         error = true;
79     }
80
81     return error;
82 }
83
84 // Read config file
85 bool SensorAPI::readConfig(void)
86 {
87     bool error = false;
88
89     Json::Reader reader;
90     Json::Value file;
91
92     // Load config file
93     std::ifstream configFile(configFilePath);
94
95     // Check if file exist
96     if (configFile.fail()) error = true;
97
98     if (!error)
99     {
100         // Parse config file
101         reader.parse(configFile, file);
102
103         // Get values
104         try
105         {
106             sensorsystem.assign(file["positioningSystem"].asString());
107             networkIface.assign(file["network"]["iface"].asString());
108             port = file["network"]["port"].asInt();
109             srcIP = file["network"]["ip"].asString();
110             numberSensors = file["sensors"].size();
111             statusMsg[0] = file["messages"]["status"][0].asInt();
112             statusMsg[1] = file["messages"]["status"][1].asInt();
113             tempMsg[0] = file["messages"]["temp"][0].asInt();
114             tempMsg[1] = file["messages"]["temp"][1].asInt();
115             measurementMsg[0] = file["messages"]["measurement"][0].asInt();

```

```

116     measurementMsg[1] = file ["messages"] ["measurement"] [1].asInt();
117     endMeasurement[0] = file ["messages"] ["end measurement"] [0].asInt();
118     endMeasurement[1] = file ["messages"] ["end measurement"] [1].asInt();
119
120     dstIP.reserve(numberSensors);
121     sensorName.reserve(numberSensors);
122     for(int i = 0; i < numberSensors; i++)
123     {
124         dstIP.push_back(file ["sensors"] [i] ["sensorIp"].asString());
125         sensorName.push_back(file ["sensors"] [i] ["name"].asString());
126     }
127 }
128 catch(const std::exception& e)
129 {
130     error = true;
131 }
132 }
133
134 if(error) std::cout << "Read config file failed." << std::endl;
135
136 return error;
137 }
138
139 // Open socket
140 bool SensorAPI::openSocket(void)
141 {
142     bool error = false;
143     struct timeval tv;
144
145     // Open socket
146     if((sock = socket(AF_INET, SOCK_DGRAM, IPPROTO_UDP)) == -1) error = true;
147
148     if(!error)
149     {
150         // Set adress
151         memset((char*)&sockAddr, 0, sizeof(sockAddr));
152         sockAddr.sin_addr.s_addr = inet_addr(ip.c_str());
153         sockAddr.sin_family = AF_INET;
154         sockAddr.sin_port = htons(port);
155
156         // Bind socket
157         if(bind(sock, (struct sockaddr*)&sockAddr, sizeof(sockAddr)) == -1) error = true;
158
159         // Set timeout
160         tv.tv_sec = 0;
161         tv.tv_usec = 100000;
162         if(setsockopt(sock, SOL_SOCKET, SO_RCVTIMEO, (struct timeval *)&tv, sizeof(struct timeval))) error = true;
163     }
164
165     if(error) std::cout << "Open socket failed." << std::endl;
166
167     return error;
168 }
169
170 // Close socket
171 bool SensorAPI::closeSocket(void)
172 {
173     bool error = false;
174
175     error = close(sock);
176
177     if(error) std::cout << "Close socket failed." << std::endl;
178
179     return error;
180 }
181
182 // Set Destination
183 void SensorAPI::setDestination(void)
184 {
185     // Set adress
186     memset((char*)&destinationAddr, 0, sizeof(destinationAddr));
187     destinationAddr.sin_family = AF_INET;
188     destinationAddr.sin_port = htons(port);
189 }
190
191 // Send message
192 void SensorAPI::sendMessage(std::string* dstIP, uint8_t* messagePtr, uint8_t* messageLen)
193 {
194     // Set destination IP
195     destinationAddr.sin_addr.s_addr = inet_addr((*dstIP).c_str());
196
197     // Send message
198     sendto(sock, messagePtr, *messageLen, 0, (struct sockaddr*)&destinationAddr, sizeof(sockAddr));
199 }
200

```

```

201 // Check sensors
202 bool SensorAPI::checkSensors(void)
203 {
204     bool error = false;
205     bool errorTemp = false;
206
207     systemSensors = 0;
208     checkSum = 0;
209
210     for(int i = 0; i < numberSensors; i++)
211     {
212         // Check sensor
213         if(checkStatus(&dstIP[i])) errorTemp = true;
214         else errorTemp = false;
215
216         // Check if error
217         if(!errorTemp) systemSensors++;
218         else
219         {
220             std::cout << sensorName[i] << " not found!" << std::endl;
221             error = true;
222         }
223     }
224
225     return error;
226 }
227
228 // Check status
229 bool SensorAPI::checkStatus(std::string* dstIP)
230 {
231     bool error = false;
232     uint8_t checkSumByteOne;
233     uint8_t checkSumByteTwo;
234     uint8_t buffer[4] = {0,0,0,0};
235     uint8_t lenBuffer = sizeof(buffer);
236
237     // Check if ptr is nullptr
238     if(dstIP == nullptr) error = true;
239
240     if(!error)
241     {
242         // Build message
243         checkSumByteOne = checkSum & 0xFF;
244         checkSumByteTwo = (checkSum & 0xFF00) >> 8;
245         uint8_t data[4] = {statusMsg[0], statusMsg[1], checkSumByteTwo, checkSumByteOne};
246
247         // Send message
248         sendMessage(dstIP, &data[0], &lenBuffer);
249
250         // Check response
251         recv(sock, &buffer[0], sizeof(buffer), 0);
252         for(int i = 0; i < lenBuffer; i++)
253             if(!(buffer[i] == data[i])) error = true;
254
255         // Clear buffer
256         for(int8_t i = 0; i < lenBuffer; i++) buffer[i] = 0;
257
258         // Increment checkSum
259         checkSum++;
260     }
261
262     return error;
263 }
264
265 // Check number of sensors
266 bool SensorAPI::checkNumSensors(void)
267 {
268     bool error = false;
269
270     // If number of found sensors != expected sensors print message
271     if(systemSensors != numberSensors)
272     {
273         std::cout << "Expected number of sensors: " << numberSensors << std::endl;
274         std::cout << "Found number of sensors: " << systemSensors << std::endl;
275
276         error = true;
277     }
278
279     return error;
280 }
281 }

```

D.3. Ultraschallmerkmalsextraktion

ultrasoundFeatureExtraction.cpp

```

1  /*****
2  /* University: HAW Hamburg */
3  /* Author: Christopher Rotzlawski */
4  /* */
5  /* Project: Surrounding Sensor-based Navigationssystem */
6  /* Version: 1.0 */
7  *****/
8  #include <iostream>
9  #include <ros/package.h>
10 #include "../include/ultrasoundFeatureExtraction/extractFeatures.hpp"
11
12 #define PACKAGENAME "ultrasoundPositioningSystem"
13 #define NODENAME "ultrasoundFeatureExtraction"
14 #define SUBSCRIBECHECK "checkUltrasoundSystem"
15 #define SUBSCRIBECHODATA "rawUltrasoundData"
16 #define PUBLISHCHECKRESPONSE "responseUltrasoundSystem"
17 #define PUBLISHFEATURES "ultrasoundFeatures"
18 #define PUBLISHNORMALIZED "ultrasoundNormalized"
19 #define CONFIGFILEPATH (ros::package::getPath(PACKAGENAME)+"/config/positioningSystemConfig.json").c_str()
20
21 // Start node
22 int main(int argc, char** argv)
23 {
24     bool error = false;
25
26     uml::extractFeatures* extractFeatures = new uml::extractFeatures(CONFIGFILEPATH);
27     error = !extractFeatures->getStatus();
28
29     if(!error)
30         extractFeatures->startNode(argc, argv, NODENAME, SUBSCRIBECHODATA, PUBLISHFEATURES, PUBLISHNORMALIZED
31                                     ,SUBSCRIBECHECK, PUBLISHCHECKRESPONSE);
32     else
33         std::cout << "ERROR: System not ready. Node ultrasoundFeatureExtraction stopped." << std::endl;
34
35     if(!error)
36         std::cout << "Node ultrasoundFeatureExtraction stopped." << std::endl;
37
38     return 0;
39 }

```

extractFeatures.hpp

```

1  /*****
2  /* University: HAW Hamburg */
3  /* Author: Christopher Rotzlawski */
4  /* */
5  /* Project: Surrounding Sensor-based Navigationssystem */
6  /* Version: 1.0 */
7  *****/
8  #ifndef EXTRACTFEATURES_HPP
9  #define EXTRACTFEATURES_HPP
10
11 #include <iostream>
12 #include <string>
13 #include <fstream>
14 #include <vector>
15 #include <jsoncpp/json/reader.h>
16 #include <ros/ros.h>
17 #include "commonMsgUVPS/checkUltrasoundSystem.h"
18 #include "commonMsgUVPS/responseCheckUltrasoundSystem.h"
19 #include "commonMsgUVPS/rawUltrasoundData.h"
20 #include "commonMsgUVPS/ultrasoundFeatures.h"
21 #include "commonMsgUVPS/normalizedUltrasoundData.h"
22
23 // #define FEATURES
24
25 namespace uml
26 {
27     class extractFeatures
28     {
29     private:
30         // Attributes
31         std::string configFilePath;
32         std::vector<std::string> sensorName;

```

```

33     std::vector<std::vector<uint16_t>> echoData;
34     std::vector<std::vector<double>> normalizedData;
35     std::vector<std::vector<double>> maxima;
36     std::vector<std::vector<double>> timeMaxima;
37     Json::Value configFile;
38     uint8_t numberSensors;
39     double sampleRate;
40     int measurementOffset;
41     int dataLength;
42     bool featureExtractionReady;
43     ros::Subscriber subCheckSystem;
44     ros::Subscriber subEchoData;
45     ros::Publisher pubCheckSystem;
46     ros::Publisher pubFeatures;
47     ros::Publisher pubNormalized;
48     commonMsgUVPS::responseCheckUltrasoundSystem responseSystem;
49     commonMsgUVPS::ultrasoundFeatures messageFeatures;
50     commonMsgUVPS::normalizedUltrasoundData messageNormalized;
51
52     // Methodes
53 public:
54     extractFeatures(std::string filePath);
55     ~extractFeatures();
56     bool getStatus();
57     void startNode(int argc, char** argv, std::string nodeName, std::string subscribeEchoData, std::string publishFeatures
58                   , std::string publishNormalized, std::string subscribeCheck, std::string publishCheckResponse);
59 private:
60     bool readConfig();
61     void listenerCheckSystem(const commonMsgUVPS::checkUltrasoundSystemPtr& msg);
62     void listenerEchoData(const commonMsgUVPS::rawUltrasoundDataPtr& msg);
63     void publishFeatures();
64     void publishNormalized();
65     bool splitData(const commonMsgUVPS::rawUltrasoundDataPtr& msg);
66     bool normalizeData();
67     bool findMaxima();
68     void setMaxima(uint16_t maximum, int timeValue, int sensorNumber);
69     void convertTime(double& temperature);
70 };
71 }
72
73 #endif // EXTRACTFEATURES_HPP

```

extractFeatures.cpp

```

1  /******
2  /* University: HAW Hamburg
3  /* Author: Christopher Rotzlawski
4  /*
5  /* Project: Surrounding Sensor-based Navigationssystem
6  /* Version: 1.0
7  /******
8  #include "extractFeatures.hpp"
9
10 namespace uml
11 {
12     // Initialize node
13     extractFeatures::extractFeatures(std::string filePath)
14     {
15         bool error = false;
16         configFilePath = filePath;
17
18         // Read config file
19         error = readConfig();
20
21         // Initialize sensorData and maxima vector
22         if(!error)
23         {
24             for(int i = 0; i < numberSensors; i++)
25             {
26                 std::vector<uint16_t> intVec;
27                 std::vector<double> doubleVec;
28                 std::vector<double> doubleVecShort(5,0.0);
29                 echoData.push_back(intVec);
30                 normalizedData.push_back(doubleVec);
31                 maxima.push_back(doubleVecShort);
32                 timeMaxima.push_back(doubleVecShort);
33             }
34         }
35
36         // Check if error
37         if(error) featureExtractionReady = false;

```

```

38     else featureExtractionReady = true;
39 }
40
41 extractFeatures::~extractFeatures ()
42 {
43     // NOP
44 }
45
46 // Read config file
47 bool extractFeatures::readConfig ()
48 {
49     bool error = false;
50     Json::Reader reader;
51
52     // Load config file
53     std::ifstream configStream(configFilePath);
54
55     // Check if file exist
56     if(configStream.fail()) error = true;
57
58     if(!error)
59     {
60         // Parse config file
61         reader.parse(configStream, configFile);
62
63         // Get number and names of sensors and sample rate os system
64         try
65         {
66             numberSensors = configFile["sensors"].size ();
67             sampleRate = configFile["sensorProperties"]["sampleRate[KHz]"].asDouble () *1000.0;
68             measurementOffset = configFile["sensorProperties"]["measurementOffset"].asInt ();
69
70             for(int i = 0; i < numberSensors; i++)
71                 sensorName.push_back( configFile["sensors"][i]["name"].asString ());
72         }
73         catch (const std::exception& e)
74         {
75             error = true;
76         }
77     }
78
79     if(error) std::cout << "Read config file failed." << std::endl;
80
81     return error;
82 }
83
84 // Get status of node
85 bool extractFeatures::getStatus ()
86 {
87     return featureExtractionReady;
88 }
89
90 // Start node
91 void extractFeatures::startNode(int argc, char** argv, std::string nodeName, std::string subscribeEchoData, std::string publishFeatures
92     ,std::string publishNormalized, std::string subscribeCheck, std::string publishCheckResponse)
93 {
94     ros::init (argc, argv, nodeName);
95     ros::NodeHandle n;
96
97     subCheckSystem = n.subscribe (subscribeCheck, 10, &extractFeatures::listenerCheckSystem, this);
98     subEchoData = n.subscribe (subscribeEchoData, 10, &extractFeatures::listenerEchoData, this);
99     pubCheckSystem = n.advertise <commonMsgUVPS::responseCheckUltrasoundSystem>(publishCheckResponse, 10);
100    pubFeatures = n.advertise <commonMsgUVPS::ultrasoundFeatures>(publishFeatures, 10);
101    pubNormalized = n.advertise <commonMsgUVPS::normalizedUltrasoundData>(publishNormalized, 10);
102
103    ros::spin ();
104 }
105
106 // Callback for check system
107 void extractFeatures::listenerCheckSystem(const commonMsgUVPS::checkUltrasoundSystemPtr& msg)
108 {
109     if(msg->system == "ultrasoundFeatures")
110     {
111         responseSystem.system = msg->system;
112         responseSystem.ready = featureExtractionReady;
113
114         pubCheckSystem.publish (responseSystem);
115     }
116 }
117
118 // Callback for extract features
119 void extractFeatures::listenerEchoData(const commonMsgUVPS::rawUltrasoundDataPtr& msg)
120 {
121     bool error = false;
122

```

```

123         // Split echoData
124         error = splitData(msg);
125
126     #ifndef FEATURES
127         // Normalize data
128         if(!error) error = normalizeData();
129
130         // Publish message
131         if(!error) publishNormalized();
132     #else
133         // Find maxima in sensorData
134         if(!error) error = findMaxima();
135
136         // Convert time values of maxima
137         if(!error) convertTime(msg->temperature);
138
139         // Publish message
140         if(!error) publishFeatures();
141     #endif // FEATURES
142
143         // Clear sensorData vector
144         for(int i = 0; i < numberSensors; i++)
145         {
146             std::fill(maxima[i].begin(),maxima[i].end(),0.0);
147             std::fill(timeMaxima[i].begin(),timeMaxima[i].end(),0.0);
148             echoData[i].clear();
149             normalizedData[i].clear();
150         }
151     }
152
153     // Publish extracted features
154     void extractFeatures::publishFeatures()
155     {
156         std::vector<double> tempVector;
157
158         for(int i = 0; i < numberSensors; i++)
159             tempVector.insert(tempVector.end(),maxima[i].begin(),maxima[i].end());
160         messageFeatures.maxima = tempVector;
161
162         tempVector.clear();
163
164         for(int i = 0; i < numberSensors; i++)
165             tempVector.insert(tempVector.end(),timeMaxima[i].begin(),timeMaxima[i].end());
166         messageFeatures.timeMaxima = tempVector;
167
168         pubFeatures.publish(messageFeatures);
169     }
170
171     // Publish normalized echo data
172     void extractFeatures::publishNormalized()
173     {
174         std::vector<double> tempVector;
175
176         for(int i = 0; i < numberSensors; i++)
177         {
178             //tempVector.push_back(static_cast<double>(i));
179             tempVector.insert(tempVector.end(),normalizedData[i].begin(),normalizedData[i].end());
180         }
181
182         messageNormalized.dataLen = tempVector.size();
183         messageNormalized.numberSensors = numberSensors;
184         messageNormalized.normalizedData = tempVector;
185
186         pubNormalized.publish(messageNormalized);
187     }
188
189     // Split echo data
190     bool extractFeatures::splitData(const commonMsgUVPS::rawUltrasoundDataPtr& msg)
191     {
192         bool error = false;
193
194         dataLength = msg->dataLen/numberSensors;
195
196         try
197         {
198             for(int i = 0; i < numberSensors; i++)
199             {
200                 echoData[i].insert(echoData[i].begin(),&msg->echoData[(i*dataLength+(i+1)*measurementOffset)+1]
201                                     ,&msg->echoData[(i+1)*dataLength]);
202                 while(echoData[i].size() < (dataLength-1)) echoData[i].push_back(0);
203             }
204         }
205         catch(const std::exception& e)
206         {
207             error = true;

```

```

208         std::cout << "Split data failed." << std::endl;
209     }
210
211     return error;
212 }
213
214 // Normalize echo data
215 bool extractFeatures::normalizeData()
216 {
217     bool error = false;
218     double tempValue;
219
220     try
221     {
222         for(int i = 0; i < numberSensors; i++)
223         {
224             for(int j = 0; j < dataLength-1; j++)
225             {
226                 tempValue = (static_cast<double>(echoData[i][j])/static_cast<double>(0xFF)-0.3)/(1-0.3);
227
228                 if(tempValue < 0.0) tempValue = 0.0;
229
230                 normalizedData[i].push_back(tempValue);
231             }
232         }
233     }
234     catch(const std::exception& e)
235     {
236         error = true;
237         std::cout << "Normalize data failed." << std::endl;
238     }
239
240     return error;
241 }
242
243 // Find peaks in echo data
244 bool extractFeatures::findMaxima()
245 {
246     bool error = false;
247     int timeValue = 0;
248     uint16_t localMaxima;
249
250     try
251     {
252         for(int i = 0; i < numberSensors; i++)
253         {
254             localMaxima = 0.0;
255
256             for(int j = 300; j < dataLength-1; j++)
257             {
258                 if(echoData[i][j] > 1433 && echoData[i][j] > echoData[i][j-1] && echoData[i][j] > echoData[i][j+1])
259                 {
260                     if(echoData[i][j] > localMaxima)
261                     {
262                         localMaxima = echoData[i][j];
263                         timeValue = j;
264                     }
265                 }
266
267                 if(timeValue != 0 && j-timeValue > 50)
268                 {
269                     setMaxima(localMaxima,timeValue,i);
270                     timeValue = 0;
271                     localMaxima = 0.0;
272                 }
273             }
274         }
275     }
276     catch(const std::exception& e)
277     {
278         error = true;
279         std::cout << "Find maxima in sensor data failed." << std::endl;
280     }
281
282     return error;
283 }
284
285 // Set peaks in echo data
286 void extractFeatures::setMaxima(uint16_t maximum,int timeValue,int sensorNumber)
287 {
288     int index = 0;
289     double maximumTemp;
290
291     // Find lowest value in maxima
292     for(int i = 1; i < 5; i++)

```

```

293         if (maxima[sensorNumber][i] < maxima[sensorNumber][index]) index = i;
294
295         // Cast maximum to double
296         maximumTemp = (static_cast<double>(maximum) / static_cast<double>(0xFF) - 0.3) / (1 - 0.3);
297
298         // Set maxima
299         if (maximumTemp > maxima[sensorNumber][index])
300         {
301             maxima[sensorNumber][index] = maximumTemp;
302             timeMaxima[sensorNumber][index] = static_cast<double>(timeValue);
303         }
304     }
305
306     // Convert time
307     void extractFeatures :: convertTime (double& temperature)
308     {
309         for (int i = 0; i < numberSensors; i++)
310             for (int j = 0; j < 5; j++) timeMaxima[i][j] = timeMaxima[i][j] / sampleRate;
311     }
312 }

```

D.4. 3D-Raytracing-Simulation

ultrasoundRaytracingSimulation.py

```

1  #!/usr/bin/env python3
2  #*****#
3  #* University: HAW Hamburg                *#
4  #* Author: Christopher Rotzlawski         *#
5  #*                                       *#
6  #* Project: Surrounding Sensor-based Navigationssystem *#
7  #* Version: 1.0                          *#
8  #*****#
9  import rospy
10 import rospkg
11 import os
12 import simulateImpulseResponse
13 from commonMsgUVPS.msg import checkUltrasoundSystem
14 from commonMsgUVPS.msg import responseCheckUltrasoundSystem
15 from commonMsgUVPS.msg import startUltrasoundSimulation
16 from commonMsgUVPS.msg import visualizeUltrasoundRays
17 from commonMsgUVPS.msg import simulatedImpulseResponse
18
19 class ultrasoundRaytracingSimulation:
20     # Initialize node
21     def __init__(self):
22         self.PACKAGENAME = 'ultrasoundPositioningSystem'
23         self.ROSNODE = os.path.basename(os.path.dirname(os.path.realpath(__file__)))
24         self.PUBLISHCHECKRESPONSE = 'responseUltrasoundSystem'
25         self.PUBLISHVISUALIZERAYS = 'ultrasoundSimulationRaytrace'
26         self.PUBLISHIMPULSERESPONSE = 'simulatedImpulseResponse'
27         self.LISTNERCHECK = 'checkUltrasoundSystem'
28         self.LISTNERSTART = 'startUltrasoundSimulation'
29         self.CONFIGFILEPATH = '/config/positioningSystemConfig.json'
30         self.MAPFILEPATH = '/config/map.json'
31
32         rospack = rospkg.RosPack()
33         rospack.list()
34         configFilePATH = rospack.get_path(self.PACKAGENAME) + self.CONFIGFILEPATH
35         mapFilePATH = rospack.get_path(self.PACKAGENAME) + self.MAPFILEPATH
36
37         # Initialize simulation
38         self.simulation = simulateImpulseResponse.simulateImpulseResponse (configFilePATH , mapFilePATH)
39
40         self.pubCheckResponse = rospy.Publisher (self.PUBLISHCHECKRESPONSE, responseCheckUltrasoundSystem , queue_size=10)
41         self.pubVisualizeRays = rospy.Publisher (self.PUBLISHVISUALIZERAYS, visualizeUltrasoundRays , queue_size=10)
42         self.pubImpulseResponse = rospy.Publisher (self.PUBLISHIMPULSERESPONSE, simulatedImpulseResponse , queue_size=10)
43
44         self.checkResponseMessage = responseCheckUltrasoundSystem ()
45         self.visualizeMessage = visualizeUltrasoundRays ()
46         self.impulseResponseMessage = simulatedImpulseResponse ()
47
48         rospy.init_node (self.ROSNODE)
49
50     # Publish simulation results
51     def talker (self, data):
52         timeStamp = data.header.stamp

```

```

53     latitude = data.latitude
54     longitude = data.longitude
55     direction = data.direction
56     temperature = data.temperature
57     transmitter = data.transmitterSensor
58
59     if self.simulation.systemReady:
60         error, impulseResponse, rayTrace = self.simulation.simulate(longitude, latitude, direction, temperature, transmitter)
61
62         self.impulseResponseMessage.length = len(impulseResponse)
63         self.impulseResponseMessage.impulseResponse = impulseResponse
64         self.pubImpulseResponse.publish(self.impulseResponseMessage)
65
66         if not error:
67             # Publish raytrace
68             for i in range(len(rayTrace)):
69                 self.visualizeMessage.rayTrace = rayTrace[i]
70                 self.visualizeMessage.length = len(rayTrace[i])
71                 self.pubVisualizeRays.publish(self.visualizeMessage)
72
73     # Listner for check system
74     def checkSystem(self, data):
75         if data.system == 'ultrasoundSimulation':
76             self.checkResponseMessage.system = 'ultrasoundSimulation'
77             self.checkResponseMessage.ready = self.simulation.systemReady
78
79             self.pubCheckResponse.publish(self.checkResponseMessage)
80
81     # Start subscriber
82     def listener(self):
83         rospy.Subscriber(self.LISTNERCHECK, checkUltrasoundSystem, self.checkSystem)
84         rospy.Subscriber(self.LISTNERSTART, startUltrasoundSimulation, self.talker)
85         rospy.spin()
86
87 if __name__ == '__main__':
88     try:
89         node = ultrasoundRaytracingSimulation()
90         node.listener()
91     except rospy.ROSInterruptException:
92         print('ERROR: start ultrasound raytracing simulation failed!')
```

simulateImpulseResponse.py mit Simulation

```

1  #!/usr/bin/env python3
2  #*****#
3  ** University: HAW Hamburg                **
4  ** Author: Christopher Rotzlawski         **
5  **                                       **
6  ** Project: Surrounding Sensor-based Navigationssystem **
7  ** Version: 1.0                          **
8  #*****#
9  import getParameter
10 import math
11 import numpy
12 import json
13 from scipy.special import jv
14 from multiprocessing import Process, Queue, cpu_count
15
16 import time
17
18 class simulateImpulseResponse:
19     # Initialize simulation
20     def __init__(self, configFile, mapFilePath):
21         self.systemReady = False
22
23         self.parameter = getParameter.getParameter(configFile, mapFilePath)
24
25         self.systemReady = self.parameter.isParameterReady()
26
27     # Simulate position
28     def simulate(self, positionX, positionY, vehicleDirection, temperature, transmitter):
29         error = True
30         impulseResponse = []
31         rayTrace = []
32
33         if self.systemReady:
34             self.parameter.setTemperature(temperature)
35
36             vehicleDirection = vehicleDirection * math.pi / 180
37             vehicleDirection = vehicleDirection % (2 * math.pi)
38             vehiclePosition = [positionX, positionY, 0.0]
```

```

39
40     startX = positionX+self.parameter.sensors[transmitter][1]*math.cos(vehicleDirection)
41             -self.parameter.sensors[transmitter][2]*math.sin(vehicleDirection)
42     startY = positionY+self.parameter.sensors[transmitter][1]*math.sin(vehicleDirection)
43             +self.parameter.sensors[transmitter][2]*math.cos(vehicleDirection)
44     startZ = self.parameter.sensors[transmitter][3]
45     startOfRay = [startX, startY, startZ]
46
47     startTime = time.time()
48
49     # Get number of workers
50     numberProcesses = cpu_count()-2
51     numberChunks = numberProcesses*2
52
53     # Split simulation angles for multiprocessing
54     simulationAngles = []
55     simulationAngelSize = int(self.parameter.numberSimulationAngles/numberChunks)
56     for i in range(numberChunks):
57         if i < numberChunks-1:
58             simulationAngles.append(self.parameter.simulationAngles[i*simulationAngelSize:(i+1)*simulationAngelSize])
59         else:
60             simulationAngles.append(self.parameter.simulationAngles[i*simulationAngelSize:])
61
62     # Start processes
63     self.queue = []
64     processes = []
65     for i in range(numberProcesses):
66         self.queue.append(Queue())
67         processes.append(Process(target=self.simulateRays, args=(simulationAngles[i], startOfRay, vehicleDirection
68             , vehiclePosition, transmitter, i)))
69         processes[i].start()
70         print("Process "+str(i)+" started.")
71
72     simulationAngleMarker = i
73
74     # Get simulation results
75     results = []
76     activeProcesses = numberProcesses
77     while activeProcesses > 0:
78         for i in range(numberProcesses):
79             if self.queue[i]:
80                 try:
81                     results.append(self.queue[i].get(False))
82
83                     if simulationAngleMarker < numberChunks-1:
84                         print("Process "+str(i)+" succeeded.")
85                         simulationAngleMarker += 1
86                         self.queue[i] = Queue()
87                         processes[i] = Process(target=self.simulateRays, args=(simulationAngles[simulationAngleMarker]
88                             , startOfRay, vehicleDirection, vehiclePosition, transmitter, i))
89
90                         processes[i].start()
91                         print("Process "+str(i)+" restarted.")
92                     else:
93                         self.queue[i] = None
94                         activeProcesses -= 1
95                         print("Process "+str(i)+" finished.")
96             except:
97                 pass
98
99         time.sleep(0.01)
100
101     # Split and sort results
102     impulseResponse = []
103     rayTrace = []
104     for result in results:
105         output = json.loads(result)
106         if not output[0]:
107             impulseResponse += output[1]
108             rayTrace += output[2]
109
110     endTime = time.time()
111     print(str(endTime-startTime)+" s")
112     print("Hits: "+str(len(rayTrace)))
113     print("SimAngles: "+str(self.parameter.numberSimulationAngles))
114
115     return error, impulseResponse, rayTrace
116
117 # Simulate rays
118 def simulateRays(self, simulationAngles, startOfRay, vehicleDirection, vehiclePosition, transmitter, processNumber):
119     error = False
120     rayTrace = []
121     impulseResponse = []
122     sensorStartRay = startOfRay
123
124     # For each simulationAngles

```

```

124     for ray in simulationAngels:
125         rayLoop = True
126
127         startOfRay = sensorStartRay
128
129         rayOrientationAzimut = vehicleDirection+self.parameter.sensors[transmitter][4]+ray[1]
130         rayOrientationAzimut = rayOrientationAzimut%(2*math.pi)
131         rayOrientationElevation = ray[0]
132         rayOrientation = [rayOrientationElevation , rayOrientationAzimut]
133
134         reflexionElement = self.parameter.sensors[transmitter][0]
135         newReflexionElement = ""
136
137         rayLength = 0.0
138         newRayLength = 0.0
139         newReflectionFactor = 0.0
140         rayLengthObject = 0.0
141         rayLengthSensor = 0.0
142         newRayTrace = []
143
144         angle = self.calculateVectorAngle(ray[1],ray[0])
145         rayIntensity = self.beamPattern(angle)
146
147         sensorNumber = -1
148
149         for i in range(len(startOfRay)):
150             newRayTrace.append(startOfRay[i])
151
152         while rayLoop:
153             for mapObject in self.parameter.objects:
154                 if mapObject[0] != reflexionElement:
155                     # Check if object is hit
156                     isHit , pointObjectHit , rayLengthObject = self.calculateRayHit3D(startOfRay , rayOrientation , mapObject)
157
158                     # Calculate angle of reflexion
159                     if isHit:
160                         error , reflexionDirection = self.calculateAngle(mapObject , pointObjectHit , startOfRay)
161
162                     if isHit and not error:
163                         # Check ray length
164                         if rayLengthObject < newRayLength or not newRayLength:
165                             newRayLength = rayLengthObject
166                             newStartOfRay = pointObjectHit
167                             newRayOrientation = reflexionDirection
168                             newReflexionElement = mapObject[0]
169                             newReflectionFactor = mapObject[4]
170
171                     # Check if sensor is hit
172                     isHit , sensorNumber , rayLengthSensor = self.calculateSensorHit3D(startOfRay , rayOrientation , vehiclePosition
173                                                                                       , vehicleDirection , reflexionElement)
174
175                     # Check ray and sensor direction
176                     if isHit:
177                         isHit , angle = self.checkSensorRayDirection(rayOrientation , vehicleDirection , sensorNumber)
178
179                     # Get sensor hit
180                     if isHit:
181                         if rayLengthSensor < newRayLength or not newRayLength:
182                             newRayLength = rayLengthSensor
183                             newReflexionElement = self.parameter.sensors[sensorNumber][0]
184                             positionX = vehiclePosition[0]+self.parameter.sensors[sensorNumber][1]*math.cos(vehicleDirection)
185                                 -self.parameter.sensors[sensorNumber][2]*math.sin(vehicleDirection)
186                             positionY = vehiclePosition[1]+self.parameter.sensors[sensorNumber][1]*math.sin(vehicleDirection)
187                                 +self.parameter.sensors[sensorNumber][2]*math.cos(vehicleDirection)
188                             positionZ = self.parameter.sensors[sensorNumber][3]+vehiclePosition[2]
189                             newStartOfRay = [positionX , positionY , positionZ]
190                             newReflectionFactor = self.beamPattern(angle)
191                             rayLoop = False
192
193                     # Check if ray hits
194                     if newReflexionElement != "":
195                         rayLength += newRayLength
196                         startOfRay = newStartOfRay
197                         rayOrientation = newRayOrientation
198                         reflexionElement = newReflexionElement
199                         newReflexionElement = ""
200                         newRayLength = 0.0
201                         rayIntensity *= newReflectionFactor
202                         newReflectionFactor = 0.0
203
204                     for i in range(len(startOfRay)):
205                         newRayTrace.append(startOfRay[i])
206
207                     # Check if length of ray is in range when sensor is hit
208                     if rayLength <= self.parameter.maxRayLength and not rayLoop:

```

```

209         # impulseResponse = [sensor,timeValue,intensity,...]
210         timeValue = rayLength/self.parameter.speedOfSound
211         impulseResponse.append(sensorNumber)
212         impulseResponse.append(timeValue)
213         if timeValue <= 0.015:
214             rayIntensityTemp = 1.0
215         else:
216             rayIntensityTemp = 1.0-16*(timeValue-0.015)
217         rayIntensity = rayIntensity*rayIntensityTemp
218         impulseResponse.append(rayIntensity)
219         rayTrace.append(newRayTrace)
220
221     # Check ray length
222     elif rayLength > self.parameter.maxRayLength:
223         rayLoop = False
224
225     # Check amplitude of ray
226     if rayIntensity < 0.05:
227         rayLoop = False
228
229     else:
230         rayLoop = False
231
232     # Check return vectors
233     if len(impulseResponse) < 1:
234         error = True
235     else:
236         error = False
237
238     outputString = json.dumps([error,impulseResponse,rayTrace])
239     self.queue[processNumber].put(outputString)
240
241 # Check if ray hits object
242 def calculateRayHit3D(self,startOfRay,rayOrientation,mapObject):
243     error = False
244     isHit = False
245     equationMatrix = [[0.0,0.0,0.0],[0.0,0.0,0.0],[0.0,0.0,0.0]]
246     equationResolution = [0.0,0.0,0.0]
247     equationParameter = [0.0,0.0,0.0]
248     pointObjectHit = [0.0,0.0,0.0]
249     rayLength = 0.0
250
251     rayDirectionX = math.cos(rayOrientation[1])
252     rayDirectionY = math.sin(rayOrientation[1])
253     rayDirectionZ = math.sin(rayOrientation[0])
254     rayDirectionVector = [rayDirectionX,rayDirectionY,rayDirectionZ]
255
256     for i in range(len(equationMatrix)):
257         equationMatrix[i] = [mapObject[2][i],mapObject[3][i],-rayDirectionVector[i]]
258         equationResolution[i] = startOfRay[i]-mapObject[1][i]
259
260     # Calculate equation parameter [u,v,t] of vectorU, vectorV and rayDirection
261     try:
262         equationParameter = numpy.linalg.solve(equationMatrix,equationResolution)
263     except:
264         error = True
265
266     # Check if point hits object
267     if not error:
268         isHit = self.checkHitObject(equationParameter)
269
270     if isHit:
271         # Direction parameter of equationParameter is length of ray
272         rayLength = equationParameter[2]
273         for i in range(len(pointObjectHit)):
274             pointObjectHit[i] = startOfRay[i]+equationParameter[2]*rayDirectionVector[i]
275
276     return isHit,pointObjectHit,rayLength
277
278 # Check if ray hits sensor
279 def calculateSensorHit3D(self,startOfRay,rayOrientation,vehiclePosition,vehicleDirection,reflexionElement):
280     rayLengthSensor = 0.0
281     rayLength = 0.0
282     sensorPosition = [0.0,0.0,0.0]
283     lambdaVec = [0.0,0.0,0.0]
284     sensorNumber = -1
285
286     rayDirectionX = math.cos(rayOrientation[1])
287     rayDirectionY = math.sin(rayOrientation[1])
288     rayDirectionZ = math.sin(rayOrientation[0])
289     rayDirectionVector = [rayDirectionX,rayDirectionY,rayDirectionZ]
290
291     try:
292         for i in range(len(self.parameter.sensors)):
293             isHit = True

```

```

294
295     if self.parameter.sensors[i][0] != reflexionElement:
296         # Calculate position of sensor
297         sensorPosition[0] = vehiclePosition[0]+self.parameter.sensors[i][1]*math.cos(vehicleDirection)
298             -self.parameter.sensors[i][2]*math.sin(vehicleDirection)
299         sensorPosition[1] = vehiclePosition[1]+self.parameter.sensors[i][1]*math.sin(vehicleDirection)
300             +self.parameter.sensors[i][2]*math.cos(vehicleDirection)
301         sensorPosition[2] = self.parameter.sensors[i][3]
302
303         # Calculate parameter of vector direction
304         directionValue = 0.0
305         directionParameter = 0.0
306         for j in range(len(rayDirectionVector)):
307             if round(rayDirectionVector[j],3):
308                 directionValue = rayDirectionVector[j]
309                 directionParameter = (sensorPosition[j]-startOfRay[j])/directionValue
310                 break
311
312         # Check if ray hits sensor
313         squareValue = 0.0
314         for j in range(len(sensorPosition)):
315             value = startOfRay[j]+directionParameter*rayDirectionVector[j]
316             squareValue += (value-sensorPosition[j])*(value-sensorPosition[j])
317
318         squareValue = math.sqrt(squareValue)
319         if squareValue > self.parameter.sensorDiameter:
320             isHit = False
321
322         # Calculate length of ray
323         if isHit:
324             error, rayLengthSensor = self.calculateRayLength(startOfRay, sensorPosition)
325
326             if not error:
327                 if rayLengthSensor < rayLength or not rayLength:
328                     rayLength = rayLengthSensor
329                     sensorNumber = i
330
331         except:
332             isHit = False
333
334         if rayLength:
335             isHit = True
336         else:
337             isHit = False
338
339         return isHit, sensorNumber, rayLength
340
341     # Check if ray has correct direction to hit sensor
342     def checkSensorRayDirection(self, rayOrientation, vehicleDirection, sensorNumber):
343         isHit = False
344         sensorOrientationAzimut = 0.0
345         rayOrientationAzimut = 0.0
346         rayOrientationElevation = 0.0
347
348         try:
349             sensorOrientationAzimut = vehicleDirection+self.parameter.sensors[sensorNumber][4]
350             rayOrientationAzimut = rayOrientation[1]-math.pi-sensorOrientationAzimut
351             rayOrientationAzimut = rayOrientationAzimut%(2*math.pi)
352             rayOrientationElevation = -rayOrientation[0]
353             rayOrientationElevation = rayOrientationElevation%(2*math.pi)
354
355             angle = self.calculateVectorAngle(rayOrientationAzimut, rayOrientationElevation)
356
357             if angle <= self.parameter.angelBorder and angle >= -self.parameter.angelBorder:
358                 isHit = True
359
360         except:
361             isHit = False
362
363         return isHit, angle
364
365     # Check if object hit in boundary
366     def checkHitObject(self, parameter):
367         isHit = False
368         # Check if parameter of vectorU 0 < u < 1
369         if parameter[0] > 0.0 and parameter[0] < 1.0:
370             # Check if parameter of vectorV 0 < v < 1
371             if parameter[1] > 0.0 and parameter[1] < 1.0:
372                 # Check if object is in line of sight, parameter of rayDirection is t > 0
373                 if parameter[2] > 0.0:
374                     isHit = True
375
376         return isHit
377
378     # Calculate reflexion angle

```

```

379 def calculateAngle(self, mapObject, pointObjectHit, startOfRay):
380     error = False
381     norm = [0.0, 0.0, 0.0]
382     perpendicularPoint = [0.0, 0.0, 0.0]
383     vectorPerpendicular = [0.0, 0.0, 0.0]
384     mirrorPoint = [0.0, 0.0, 0.0]
385     deltaMirrorHit = [0.0, 0.0, 0.0]
386     reflexionDirection = [0.0, 0.0]
387     pointParameter = 0.0
388     pointResult = 0.0
389
390     try:
391         # Calculate normal vector of plane
392         norm[0] = mapObject[2][1]*mapObject[3][2] - mapObject[2][2]*mapObject[3][1]
393         norm[1] = mapObject[2][2]*mapObject[3][0] - mapObject[2][0]*mapObject[3][2]
394         norm[2] = mapObject[2][0]*mapObject[3][1] - mapObject[2][1]*mapObject[3][0]
395
396         # Calculate point on perpendicular straight
397         for i in range(len(norm)):
398             pointParameter += norm[i]*norm[i]
399             pointResult += startOfRay[i]*norm[i] - pointObjectHit[i]*norm[i]
400
401         parameterStraight = pointResult/pointParameter
402
403         for i in range(len(norm)):
404             perpendicularPoint[i] = pointObjectHit[i] + parameterStraight*norm[i]
405
406         # Vector from startOfRay to perpendicularPoint
407         for i in range(len(vectorPerpendicular)):
408             vectorPerpendicular[i] = perpendicularPoint[i] - startOfRay[i]
409
410         # Calculate mirror point
411         for i in range(len(mirrorPoint)):
412             mirrorPoint[i] = startOfRay[i] + 2*vectorPerpendicular[i]
413
414         # Calculate delta between mirrorPoint and pointObjectHit
415         for i in range(len(deltaMirrorHit)):
416             deltaMirrorHit[i] = mirrorPoint[i] - pointObjectHit[i]
417
418         # Calculate azimuth and elevation of reflexion
419         azimuth = math.atan2(deltaMirrorHit[1], deltaMirrorHit[0])
420         lengthXY = math.sqrt(deltaMirrorHit[0]*deltaMirrorHit[0] + deltaMirrorHit[1]*deltaMirrorHit[1])
421         elevation = math.atan2(deltaMirrorHit[2], lengthXY)
422         reflexionDirection = [elevation, azimuth]
423     except:
424         print("Failure in calculate reflexion angle.")
425         error = True
426
427     return error, reflexionDirection
428
429 # Calculate ray length
430 def calculateRayLength(self, startOfRay, pointObjectHit):
431     error = False
432     squareSum = 0.0
433     rayLength = 0.0
434
435     try:
436         for i in range(len(startOfRay)):
437             deltaPoint = pointObjectHit[i] - startOfRay[i]
438             squareSum += deltaPoint*deltaPoint
439
440         rayLength = math.sqrt(squareSum)
441     except:
442         print("Failure in calculate ray length.")
443         error = True
444
445     return error, rayLength
446
447 # Calculate vector angle
448 def calculateVectorAngle(self, azimuth, elevation):
449     hPoint = math.tan(azimuth)*self.parameter.adjacentSide
450     bPoint = math.tan(elevation)*self.parameter.adjacentSide
451     rLength = math.sqrt(hPoint*hPoint + bPoint*bPoint)
452     angle = math.atan(rLength/self.parameter.adjacentSide)
453
454     return angle
455
456 # Beam pattern modelling
457 def beamPattern(self, angle):
458     # Calculate bessel function
459     b = 0.49
460     value = (2*math.pi*self.parameter.sensorPiston/self.parameter.lambdaWave)*math.sin(angle)
461     j1 = jv(1, value)
462
463     if value != 0.0:

```

```

464         h = 2*j1/value
465     else:
466         h = 1
467
468     hb = abs(h*(b+(1-b)*math.cos(angle)))*0.2+0.8
469
470     return hb

```

simulateImpulseResponse.py ohne Simulation

```

1  #!/usr/bin/env python3
2  #*****#
3  ** University: HAW Hamburg          **
4  ** Author: Christopher Rotzlawski   **
5  **                                  **
6  ** Project: Surrounding Sensor-based Navigtionssystem **
7  ** Version: 1.0                    **
8  #*****#
9  import getParameter
10 import os
11 import os.path
12 import ast
13 import rospkg
14
15 class simulateImpulseResponse:
16     # Initialize simulation
17     def __init__(self, configFile, mapFile):
18         self.systemReady = False
19         error = False
20
21         rospack = rospkg.RosPack()
22         rospack.list()
23
24         SIMULATIONRESULTSPATH = rospack.get_path('ultrasoundPositioningSystem')+'src/ultrasoundRaytracingSimulation/simResults.csv'
25
26         self.parameter = getParameter.getParameter(configFile, mapFile)
27
28         error = self.readSimulationResults(SIMULATIONRESULTSPATH)
29
30         if not error:
31             self.systemReady = self.parameter.isParameterReady()
32         else:
33             self.systemReady = False
34
35     # Load simulation data
36     def simulate(self, positionX, positionY, vehicleDirection, temperature, transmitter):
37         error = True
38         self.impulseResponse = []
39         self.rayTrace = []
40
41         if self.systemReady:
42             # Get simulation results
43             self.getValues(positionX, positionY, vehicleDirection, transmitter)
44
45             if len(self.rayTrace) > 0:
46                 error = False
47
48         return error, self.impulseResponse, self.rayTrace
49
50     # Read simulation file
51     def readSimulationResults(self, simulationresultspath):
52         error = False
53
54         # Check if file exists
55         if type(simulationresultspath) is not str:
56             error = True
57             print("Wrong simulation results file path.")
58         else:
59             error = not os.path.isfile(simulationresultspath)
60             if error:
61                 print("Simulation results file doesn't exist.")
62
63         if not error:
64             with open(simulationresultspath, 'r') as readfile:
65                 self.data = readfile.read().split('\n')
66
67         return error
68
69     # Get simulation values
70     def getValues(self, positionX, positionY, vehicleDirection, transmitter):
71         for i in range(0, len(self.data)-1, 3):

```

```

72         positionValues = list(map(float, self.data[i].split(',')))
73         if positionValues[0] == positionX and positionValues[1] == positionY:
74             if positionValues[2] == vehicleDirection:
75                 if positionValues[4] == transmitter:
76                     self.impulseResponse = ast.literal_eval(self.data[i+1])
77                     self.rayTrace = ast.literal_eval(self.data[i+2])

```

getParameter.py

```

1  #!/usr/bin/env python3
2  #*****#
3  #* University: HAW Hamburg *#
4  #* Author: Christopher Rotzlawski *#
5  #* *#
6  #* Project: Surrounding Sensor-based Navigationssystem *#
7  #* Version: 1.0 *#
8  #*****#
9  import os.path
10 import json
11 import math
12 import numpy
13
14 class getParameter:
15     # Initialize parameter
16     def __init__(self, configFilePath, mapFilePath):
17         self.parameterReady = False
18         self.temperature = 20 #default
19
20     # Check if file exists
21     if type(configFilePath) is not str:
22         error = True
23         print("Wrong config file path.")
24     else:
25         error = not os.path.isfile(configFilePath)
26         if error:
27             print("Config file doesn't exist.")
28
29     if type(mapFilePath) is not str:
30         error = True
31         print("Wrong map file path.")
32     else:
33         error = not os.path.isfile(mapFilePath)
34         if error:
35             print("Map file doesn't exist.")
36
37     # Parse json files
38     if not error:
39         with open(configFilePath, 'r') as configFile:
40             self.parsedConfig = json.load(configFile)
41         with open(mapFilePath, 'r') as mapFile:
42             self.parsedMap = json.load(mapFile)
43     else:
44         print("Read files failed.")
45
46     # Read config file
47     if not error:
48         error = self.readConfig()
49         if error:
50             print("Get config parameter failed.")
51
52     # Read map file
53     if not error:
54         error = self.loadMap()
55         if error:
56             print("Get map parameter failed.")
57
58     if not error:
59         self.parameterReady = True
60         self.calculateSimulationParameter()
61         self.calculateSimulationAngels()
62
63     # Get parameter status
64     def isParameterReady(self):
65         return self.parameterReady
66
67     # Read config
68     def readConfig(self):
69         error = False
70
71         try:
72             self.readEnvironment()

```

```

73         self.readSensorProperties()
74         self.readSensorsystem()
75     except:
76         error = True
77
78     return error
79
80 # Read environmental values
81 def readEnvironment(self):
82     self.maxSimulationTime = self.parsedConfig["generalEnvironment"]["maxSimulationTime[s]"]
83     self.minObjectSize = self.parsedConfig["generalEnvironment"]["minObjectSize[m]"]
84
85 # Read sensor properties
86 def readSensorProperties(self):
87     self.maxRayLength = self.parsedConfig["sensorProperties"]["maxRayLength[m]"]
88     self.maxDistance = self.parsedConfig["sensorProperties"]["maxDistance[m]"]
89     self.beamSpread = self.parsedConfig["sensorProperties"]["beamSpread[deg]"]
90     self.angelBorder = self.beamSpread*math.pi/180
91     self.sensorDiameter = self.parsedConfig["sensorProperties"]["sensorDiameter[m]"]
92     self.sensorPiston = self.parsedConfig["sensorProperties"]["sensorPistonRadius[m]"]
93     self.sensorFrequency = self.parsedConfig["sensorProperties"]["frequency[kHz"]]*1000
94
95 # Read system parameter
96 def readSensorsystem(self):
97     self.numberSensors = len(self.parsedConfig["sensors"])
98     self.sensors = []
99
100     for i in range(self.numberSensors):
101         sensorName = self.parsedConfig["sensors"][i]["name"]
102         positionX = self.parsedConfig["sensors"][i]["simPositionX[m]"]
103         positionY = self.parsedConfig["sensors"][i]["simPositionY[m]"]
104         positionZ = self.parsedConfig["sensors"][i]["simPositionZ[m]"]
105         direction = self.parsedConfig["sensors"][i]["simDirectionToVehicle[deg]"]*math.pi/180
106         self.sensors.append([sensorName, positionX, positionY, positionZ, direction])
107
108 # Calculate simulation parameter
109 def calculateSimulationParameter(self):
110     w = self.minObjectSize/2
111     self.angleResolution = 2*math.atan((w/2)/(self.maxDistance))
112     self.speedOfSound = 331.4+0.6*self.temperature #default
113     self.lambdaWave = self.speedOfSound/self.sensorFrequency
114
115     self.unitCircle = 1
116     self.adjacentSide = self.unitCircle/math.tan(self.angelBorder)
117
118 # Set temperature
119 def setTemperature(self, temperature):
120     self.temperature = temperature
121     self.speedOfSound = 331.4+0.6*self.temperature
122     self.lambdaWave = self.speedOfSound/self.sensorFrequency
123
124 # Calculate rays
125 def calculateSimulationAngels(self):
126     self.simulationAngels = []
127
128     # Elevation
129     for el in numpy.arange(0, self.angelBorder, self.angleResolution):
130         bPoint = math.tan(el)*self.adjacentSide
131
132     # Azimut
133     for az in numpy.arange(0, self.angelBorder, self.angleResolution):
134         hPoint = math.tan(az)*self.adjacentSide
135
136     # Check length
137     rLength = math.sqrt(bPoint*bPoint+hPoint*hPoint)
138     if rLength <= self.unitCircle:
139         # [Elevation, Azimut] in all quadrant Q1 = [El, Az], Q2 = [El, -Az], Q3 = [-El, -Az], Q4 = [-El, Az]
140         self.simulationAngels.append([el, az])
141         if az != 0.0:
142             self.simulationAngels.append([el, -az])
143         if el != 0.0:
144             self.simulationAngels.append([-el, az])
145         if el != 0.0 and az != 0.0:
146             self.simulationAngels.append([-el, -az])
147     else:
148         break
149
150     self.numberSimulationAngels = len(self.simulationAngels)
151
152 # Load map
153 def loadMap(self):
154     error = False
155     self.numberMapObjects = len(self.parsedMap["objects"])
156     self.objects = []
157

```

```

158     try:
159         for i in range(self.numberMapObjects):
160             name = self.parsedMap["objects"][i]["name"]
161             positionStart = self.parsedMap["objects"][i]["positionStart"]
162             vectorU = self.parsedMap["objects"][i]["vectorU"]
163             vectorV = self.parsedMap["objects"][i]["vectorV"]
164             reflectionFactor = self.parsedMap["objects"][i]["reflectionFactor"]
165
166             self.objects.append([name, positionStart, vectorU, vectorV, reflectionFactor])
167     except:
168         error = True
169
170     return error

```

D.5. Positionsbestimmung

ultrasoundPositionMatcher.py

```

1  #!/usr/bin/env python3
2  #*****#
3  #* University: HAW Hamburg *#
4  #* Author: Christopher Rotzlawski *#
5  #* *#
6  #* Project: Surrounding Sensor-based Navigationssystem *#
7  #* Version: 1.0 *#
8  #*****#
9  import rospy
10 import rospkg
11 import os
12 import json
13 import math
14 import numpy
15 from scipy import signal
16 from commonMsgUVPS.msg import checkUltrasoundSystem
17 from commonMsgUVPS.msg import responseCheckUltrasoundSystem
18 from commonMsgUVPS.msg import normalizedUltrasoundData
19 from commonMsgUVPS.msg import startUltrasoundSimulation
20 from commonMsgUVPS.msg import simulatedImpulseResponse
21 from commonMsgUVPS.msg import ultrasoundSystemPosition
22 from commonMsgUVPS.msg import validUltrasoundPosition
23
24 class ultrasoundPositionMatcher:
25     # Initialize node
26     def __init__(self):
27         self.PACKAGENAME = 'ultrasoundPositioningSystem'
28         self.ROSNODE = os.path.basename(os.path.dirname(os.path.realpath(__file__)))
29         self.PUBLISHCHECKRESPONSE = 'responseUltrasoundSystem'
30         self.PUBLISHSIMULATION = 'startUltrasoundSimulation'
31         self.PUBLISHPOSITION = 'ultrasoundSystemPosition'
32         self.LISTNERCHECK = 'checkUltrasoundSystem'
33         self.LISTNERIMPULSERESPONSE = 'simulatedImpulseResponse'
34         self.LISTNERULTRASOUNDNDATA = 'ultrasoundNormalized'
35         self.LISTNERVALID = 'validUltrasoundPosition'
36         self.POSITIONSFILEPATH = '/config/positions.json'
37
38         rospack = rospkg.RosPack()
39         rospack.list()
40         self.positionsFilePath = rospack.get_path(self.PACKAGENAME) + self.POSITIONSFILEPATH
41
42         self.numberSensors = 0
43         self.sensorData = []
44         self.tempPosition = []
45         self.simulationPosition = []
46         self.impulseResponses = []
47         self.accuracyValues = []
48
49         self.position = None
50         self.positionValue = None
51         self.accuracy = None
52
53         self.systemReady = not self.readConfig()
54
55         self.pubCheckResponse = rospy.Publisher(self.PUBLISHCHECKRESPONSE, responseCheckUltrasoundSystem, queue_size=10)
56         self.pubStartSimulation = rospy.Publisher(self.PUBLISHSIMULATION, startUltrasoundSimulation, queue_size=10)
57         self.pubPosition = rospy.Publisher(self.PUBLISHPOSITION, ultrasoundSystemPosition, queue_size=10)
58
59         self.checkResponseMessage = responseCheckUltrasoundSystem()

```

```

60     self.startSimulationMessage = startUltrasoundSimulation()
61     self.positionMessage = ultrasoundSystemPosition()
62
63     rospy.init_node(self.ROSNODE)
64
65     # Publish position
66     def publishPosition(self):
67         self.positionMessage.latitude = self.position[1]
68         self.positionMessage.longitude = self.position[0]
69         self.positionMessage.direction = self.position[4]
70         self.positionMessage.accuracy = self.accuracy
71
72         self.pubPosition.publish(self.positionMessage)
73
74     # Set simulation request
75     def startSimulation(self):
76         self.startSimulationMessage.latitude = self.tempPosition[0][1]
77         self.startSimulationMessage.longitude = self.tempPosition[0][0]
78         self.startSimulationMessage.direction = self.tempPosition[0][4]
79         self.startSimulationMessage.temperature = 20.0
80         self.startSimulationMessage.transmitterSensor = self.tempPosition[0][5]
81
82         self.pubStartSimulation.publish(self.startSimulationMessage)
83
84     # Set simulation position
85     if self.tempPosition[0][5] == 0:
86         self.simulationPosition = [self.tempPosition[0][0], self.tempPosition[0][1], self.tempPosition[0][2]
87                                     , self.tempPosition[0][3], self.tempPosition[0][4]]
88
89     self.tempPosition.pop(0)
90
91     # Start subscriber
92     def listener(self):
93         rospy.Subscriber(self.LISTNERCHECK, checkUltrasoundSystem, self.listenerCheckSystem)
94         rospy.Subscriber(self.LISTNERULTRASOUND, normalizedUltrasoundData, self.listenerUltrasoundData)
95         rospy.Subscriber(self.LISTNERIMPULSE, simulatedImpulseResponse, self.listenerSimulation)
96         rospy.Subscriber(self.LISTNERVALID, validUltrasoundPosition, self.listenerValidPosition)
97
98     rospy.spin()
99
100    # Listener for check system
101    def listenerCheckSystem(self, data):
102        if data.system == 'ultrasoundMatcher':
103            self.checkResponseMessage.system = 'ultrasoundMatcher'
104            self.checkResponseMessage.ready = self.systemReady
105
106        self.pubCheckResponse.publish(self.checkResponseMessage)
107
108    # Listener to start position matching
109    def listenerUltrasoundData(self, ultrasoundData):
110        self.splitUltrasoundData(ultrasoundData)
111
112        #self.position = None
113        self.positionValue = None
114        self.accuracy = None
115
116        # If all ultrasound data are received, start position estimation
117        if len(self.sensorData) == self.numberSensors:
118            #self.iterationNumber = 1
119            self.tempTemp = [None, None, None, None, None, None, None, None, None, None]
120            self.positionEstimation()
121
122    # Listener to get simulation data
123    def listenerSimulation(self, simulationData):
124        self.sortImpulseResponses(simulationData)
125
126        # If all simulation data are received, correlate data
127        if len(self.impulseResponses) == len(self.sensorData):
128            positionValue, accuracy = self.correlateData()
129
130            tempValue = 100000000
131            tempPos = -1
132            for q in range(len(self.tempTemp)):
133                if self.tempTemp[q] == None:
134                    tempPos = q
135                    break
136                elif self.tempTemp[q][1] < positionValue and self.tempTemp[q][1] < tempValue:
137                    tempPos = q
138                    tempValue = positionValue
139
140            if tempPos > -1:
141                self.tempTemp[tempPos] = [self.simulationPosition, positionValue, accuracy]
142
143        # Save best position
144        if not self.positionValue or self.positionValue < positionValue:

```

```

145         self.position = self.simulationPosition
146         self.positionValue = positionValue
147         self.accuracy = accuracy
148
149         # If simulation positions left, start next simulation
150         if len(self.tempPosition) > 0:
151             self.startSimulation()
152         else:
153             self.publishPosition()
154     else:
155         self.startSimulation()
156
157 # Listner to set valid position
158 def listnerValidPosition(self, data):
159     self.position[0] = data.longitudeValid
160     self.position[1] = data.latitudeValid
161     self.position[4] = data.directionValid
162
163 # Read config file
164 def readConfig(self):
165     error = False
166
167     # Check if file exists
168     if type(self.positionsFilePath) is not str:
169         error = True
170         print("Wrong config file path.")
171     else:
172         error = not os.path.isfile(self.positionsFilePath)
173         if error:
174             print("Positions file doesn't exist.")
175
176     # Parse json file
177     if not error:
178         with open(self.positionsFilePath, 'r') as positionsFile:
179             parsedFile = json.load(positionsFile)
180     else:
181         print("Read file failed.")
182
183     # Get positions
184     if not error:
185         try:
186             self.getPositions(parsedFile)
187         except:
188             error = True
189             print("Get positions failed.")
190
191     return error
192
193 # Get position parameter
194 def getPositions(self, parsedFile):
195     self.numberPositions = len(parsedFile["positions"])
196     self.seedPoint = []
197     self.positions = []
198
199     for i in range(self.numberPositions):
200         name = parsedFile["positions"][i]["name"]
201         centerX = parsedFile["positions"][i]["centerX[m]"]
202         centerY = parsedFile["positions"][i]["centerY[m]"]
203         lengthX = parsedFile["positions"][i]["lengthX[m]"]
204         lengthY = parsedFile["positions"][i]["lengthY[m]"]
205
206         if i == 0:
207             direction = parsedFile["positions"][i]["direction"]
208             self.seedPoint = [centerX, centerY, lengthX, lengthY, direction]
209             self.position = self.seedPoint
210         else:
211             self.positions.append([name, centerX, centerY, lengthX, lengthY])
212
213 # Split ultrasound data
214 def splitUltrasoundData(self, ultrasoundData):
215     self.numberSensors = ultrasoundData.numberSensors
216
217     self.dataLength = int(ultrasoundData.dataLen / self.numberSensors)
218
219     if len(self.sensorData) >= self.numberSensors:
220         self.sensorData = []
221         self.sensorData.append(ultrasoundData.normalizedData)
222
223 # Estimate position
224 def positionEstimation(self):
225     # -----
226     # Globale position
227     """posXTemp = self.positions[0][1]
228     posYTemp = self.positions[0][2]
229     lenX = self.positions[0][3]/4.0

```

```

230     lenY = self.positions[0][4]/4.0
231
232     for deltaX in range(-3,4):
233         posX = posXTemp+deltaX*lenX
234
235         for deltaY in range(-3,4):
236             posY = posYTemp+deltaY*lenY
237
238             for deltaDir in range(8):
239                 direction = deltaDir*360.0/8.0
240
241                 for sensor in range(self.numberSensors):
242                     self.tempPosition.append([posX,posY,lenX,lenY,direction,sensor])
243
244     self.startSimulation()"""
245
246     # -----
247     # Predicted area
248     if not self.position:
249         self.position = self.seedPoint
250
251     for sensor in range(self.numberSensors):
252         self.tempPosition.append([self.position[0],self.position[1],self.position[2],self.position[3],self.position[4],sensor])
253
254     for deltaX in range(-1,2):
255         posX = self.position[0]+deltaX*self.position[2]
256
257         for deltaY in range(-1,2):
258             posY = self.position[1]+deltaY*self.position[3]
259
260             delta = [posX-self.position[0],posY-self.position[1]]
261             angle = (math.atan2(delta[1],delta[0])/math.pi*180.0)%360.0
262
263             for deltaDir in range(-2,3):
264                 direction = (self.position[4]+deltaDir*45.0)%360.0
265
266                 angleDiffOld = (angle-self.position[4])%180
267                 if angleDiffOld > 90:
268                     angleDiffOld -= 180
269
270                 angleDiffNew = (self.position[4]+angleDiffOld-direction)%360
271                 if angleDiffNew > 180:
272                     angleDiffNew -= 360
273
274                 if deltaX == 0 and deltaY == 0:
275                     samePos = True
276                 else:
277                     samePos = False
278
279                 if angleDiffOld >= -65.0 and angleDiffOld <= 65.0:
280                     if angleDiffNew >= -65.0 and angleDiffNew <= 65.0 and not samePos:
281
282                         for sensor in range(self.numberSensors):
283                             self.tempPosition.append([posX,posY,self.position[2],self.position[3],direction,sensor])
284
285     self.startSimulation()
286
287     # Sort simulation data
288     def sortImpulseResponses(self,simulationData):
289         self.tempResponses = [[0.0]*self.dataLength for i in range(self.numberSensors)]
290         for i in range(0,simulationData.length,3):
291             sensorIndex = int(simulationData.impulseResponse[i])
292             timeIndex = int(simulationData.impulseResponse[i+1]/0.1*self.dataLength+0.5)
293             if simulationData.impulseResponse[i+2] > self.tempResponses[sensorIndex][timeIndex]:
294                 self.tempResponses[sensorIndex][timeIndex] = simulationData.impulseResponse[i+2]
295
296         for i in range(self.numberSensors):
297             self.tempResponses[i][0] = 1.0
298
299     self.envelopeSimulationData()
300
301     if len(self.impulseResponses) >= self.numberSensors:
302         self.impulseResponses = []
303
304     self.impulseResponses.append([])
305     for i in range(self.numberSensors):
306         self.impulseResponses[len(self.impulseResponses)-1] += self.envelopedResponses[i]
307
308     # Envelope simulation data
309     def envelopeSimulationData(self):
310         self.envelopedResponses = [[0.0]*self.dataLength for i in range(self.numberSensors)]
311         for i in range(self.numberSensors):
312             for j in range(self.dataLength-60):
313                 if self.tempResponses[i][j] != 0.0:
314                     for k in range(-60,61):

```

```
315         value = self.tempResponses[i][j]*math.cos(2*math.pi/240*k)
316         if value > self.envelopedResponses[i][j+k] and j+k >= 0:
317             self.envelopedResponses[i][j+k] = value
318
319     # Correlate data
320     def correlateData(self):
321         correlateResult = []
322         maxValue = [0.0]*self.numberSensors
323         pos = [0]*self.numberSensors
324         for i in range(self.numberSensors):
325             correlateResult.append(numpy.correlate(self.sensorData[i][:], self.impulseResponses[i][:], 'same'))
326
327             for j in range(len(correlateResult[i])):
328                 if correlateResult[i][j] > maxValue[i]:
329                     pos[i] = j
330                     maxValue[i] = correlateResult[i][j]
331
332         positionValue = 0.0
333         accuracy = 0.0
334
335         if len(self.accuracyValues) < 1:
336             self.accuracyValues = signal.gaussian(len(correlateResult[0]), std=len(correlateResult[0])/7)
337
338         for i in range(self.numberSensors):
339             accuracyValue = self.accuracyValues[pos[i]]
340             positionValue += maxValue[i]*accuracyValue
341             accuracy += accuracyValue
342         positionValue /= self.numberSensors
343         accuracy /= self.numberSensors
344
345         return positionValue, accuracy
346
347     if __name__ == '__main__':
348         try:
349             node = ultrasoundPositionMatcher()
350             node.listener()
351         except rospy.ROSInterruptException:
352             print('ERROR: start ultrasound position matcher failed!')
```

E. Quellcode des umfeldsensorbasierten Navigationssystems

universalVehiclePositioningSystemNode.py

```
1  #!/usr/bin/env python3
2  #*****#
3  #* University: HAW Hamburg          *#
4  #* Author: Christopher Rotzlawski  *#
5  #*                               *#
6  #* Project: Surrounding Sensor-based Navigationssystem *#
7  #* Version: 1.0                   *#
8  #*****#
9  import rospy
10 import os
11 from commonMsgUVPS.msg import ultrasoundPositionRequest
12 from commonMsgUVPS.msg import responseUltrasoundPosition
13 from sbg_ros_driver.msg import SbgGpsRaw
14 from sbg_ros_driver.msg import SbgImuData
15
16 class universalVehiclePositioningSystem:
17     # Initialize node
18     def __init__(self):
19         self.ROSNODE = os.path.basename(os.path.dirname(os.path.realpath(__file__)))
20         self.PUBLISHPOSITIONREQUEST = 'ultrasoundPositionRequest'
21         self.LISTNERPOSITION = 'responseUltrasoundPosition'
22
23         self.pub = rospy.Publisher(self.PUBLISHPOSITIONREQUEST, ultrasoundPositionRequest, queue_size=10)
24         rospy.init_node(self.ROSNODE)
25
26         rospy.Subscriber(self.LISTNERPOSITION, responseUltrasoundPosition, self.listenerPosition)
27         self.message = ultrasoundPositionRequest()
28
29         # Position request
30         self.publishPositionRequest()
31
32         rospy.spin()
33
34     # Publish position request
35     def publishPositionRequest(self):
36         newPos = input('New valid position? (Y/N)')
37         if newPos == 'Y' or newPos == 'y':
38             self.message.getPosition = False
39             self.message.validPosition = True
40             self.message.latitudeOld = float(input('X: '))
41             self.message.longitudeOld = float(input('Y: '))
42             self.message.directionOld = float(input('Dir: '))
43
44         else:
45             input('Position request...')
46
47             self.message.getPosition = True
48             self.message.validPosition = False
49             self.message.latitudeOld = 0.0
50             self.message.longitudeOld = 0.0
51             self.message.directionOld = 0.0
52
53         self.pub.publish(self.message)
54
55     # Listener for ultrasound position
56     def listenerPosition(self, data):
57         print('----- Position -----')
58         print('X: ' + str(data.longitude))
59         print('Y: ' + str(data.latitude))
60         print('Direction: ' + str(data.direction))
61         print('Accuracy: ' + str(data.accuracy))
62
63         self.publishPositionRequest()
64
```

```
65 if __name__ == '__main__':  
66     try:  
67         node = universalVehiclePositioningSystem ()  
68     except rospy.ROSInterruptException:  
69         pass
```

Versicherung über die Selbstständigkeit

Hiermit versichere ich, dass ich die vorliegende Arbeit nach § 22 (6) PStO ohne fremde Hilfe selbstständig verfasst und nur die angegebenen Hilfsmittel benutzt habe. Wörtlich oder dem Sinn nach aus anderen Werken entnommene Stellen habe ich unter Angabe der Quellen kenntlich gemacht.

Hamburg, 19. März 2020

Ort, Datum

Unterschrift